

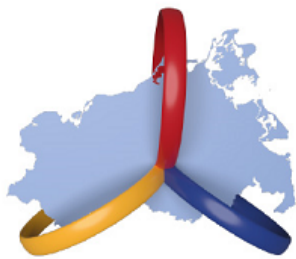


# Jahresbericht 2023 des Krebsregisters Mecklenburg-Vorpommern

Diagnosejahre 2019-2021

```
an_Geburtsname></tns:Patienten_Geburtsname>  
an_Geschlecht>M</tns:Patienten_Geschlecht>  
an_Geburtsdatum>10.10.1910</tns:Patienten_Geburtsdatum>  
n_Stammdaten>  
dung>  
Meldung_ID="123" Melder_ID="011">  
atum>02.07.2018</tns:Meldedatum>  
begrundung>D</tns:Meldebegrundung>  
anlass>statusaenderung</tns:Meldeanlass>  
zuordnung Tumor_ID="String">  
aertumor_ICD_Code>C00</tns:Primaertumor_ICD_Code>  
aertumor_ICD_Version>10 2015 GM</tns:Primaertumor_ICD_Version>  
nosedatum>00.00.1800</tns:Diagnosedatum>  
enlokalisation>L</tns:Seitenlokalisation>  
zuordnung>  
se Tumor_ID="String">  
aertumor_ICD_Code>C00</tns:Primaertumor_ICD_Code>  
aertumor_ICD_Version>10 2015 GM</tns:Primaertumor_ICD_Version>
```





KREBSREGISTER  
MECKLENBURG-VORPOMMERN

Registerstelle Treuhandstelle Zentralstelle

# **Jahresbericht 2023 des Krebsregisters Mecklenburg-Vorpommern**

## **Behandlungsort Mecklenburg-Vorpommern**

**Impressum**

Krebsregister Mecklenburg-Vorpommern  
c/o Zentralstelle der Krebsregistrierung  
Institut für Community Medicine  
Universitätsmedizin Greifswald, K.d.ö.R.  
Ellernholzstr. 1-2  
17487 Greifswald

**Projektleitung:**

Prof. Dr. med. Wolfgang Hoffmann, MPH  
Tel.: 03834-86-7751  
Fax: 03834-86-6919  
E-Mail: [zentralstelle@krebsregister-mv.de](mailto:zentralstelle@krebsregister-mv.de)

**Mitarbeit:**

Prof. Dr. med. Gottfried Dölken (Experte für Hämatologie, Onkologie)  
Gabriele Robers, M.Sc. (Wiss. Mitarbeiterin)  
Dr. rer. med. Kerstin Weitmann (Wiss. Mitarbeiterin)  
Arne Thode (Medizinischer Dokumentar)

**Kontakt für Rückfragen:**

Tel.: 03834-86-7784  
E-Mail: [zentralstelle@krebsregister-mv.de](mailto:zentralstelle@krebsregister-mv.de)

**Registerstellen Klinisches Krebsregister M-V gGmbH**

Christin Dück, Jan Meiering  
Fleischmannstraße 8  
17489 Greifswald  
Tel.: 03834-86-5006  
E-Mail: [registerstelle@krebsregister-mv.de](mailto:registerstelle@krebsregister-mv.de)

**Unabhängige Treuhandstelle des KR M-V**

Sarah Theen, M.Sc.  
Universitätsmedizin Greifswald, K.d.ö.R.  
Ellernholzstr. 1-2  
17487 Greifswald  
Tel.: 03834-86-7522  
E-Mail: [treuhandstelle@krebsregister-mv.de](mailto:treuhandstelle@krebsregister-mv.de)

# Grußwort der Ministerin für Soziales, Gesundheit und Sport in Mecklenburg-Vorpommern

Liebe Patientinnen und Patienten,  
Liebe Ärztinnen und Ärzte,  
Liebe Leserinnen und Leser,

noch immer sind bösartige Neubildungen (Krebserkrankungen) die zweithäufigste Todesursache in Deutschland. Umso wichtiger ist es, diese Erkrankungen möglichst frühzeitig zu diagnostizieren und die Behandlung stetig weiterzuentwickeln.

Mit in Kraft treten des Krebsfrüherkennungs- und -registergesetzes (KFRG) am 9. April 2013 wurden die Bundesländer verpflichtet, flächendeckende und bevölkerungsbezogene unabhängige klinische Krebsregister mit dem Ziel der Verbesserung der onkologischen Forschung, Behandlungs- und Versorgungsqualität einzurichten. Mecklenburg-Vorpommern war damals schon in Vorleistung getreten – unser Landeskrebsregistergesetz datiert schon von 2011.



© Ecki Raff

Durch die Meldungen über jede neue Diagnose, den gesamten Behandlungsverlauf und die Nachsorge können die Daten des Krebsregisters vielfältig ausgewertet werden und sowohl der klinisch-onkologischen wie auch der Versorgungsforschung zur Verfügung gestellt werden. Aus allen Meldungen aller onkologisch tätigen Ärztinnen und Ärzte an das Krebsregister Mecklenburg-Vorpommern können zentrale Rückschlüsse zur Qualität der onkologischen Behandlung in unserem Land gewonnen werden.

Der vorliegende Bericht gibt hierzu einen ersten Überblick über die im Zeitraum 2019-2021 neudiagnostizierten Krebserkrankungen, die in Mecklenburg-Vorpommern behandelt worden sind. Es werden Auswertungen und Kennzahlen zu den häufigsten soliden Tumorerkrankungen sowie den häufigsten bösartigen systemischen Erkrankungen, die in Mecklenburg-Vorpommern behandelt wurden, vorgestellt. Um einen bundesweiten Vergleich der Jahresberichte der klinischen Krebsregister zu ermöglichen, wurden im vergangenen Jahr bundesweit einheitliche Empfehlungen und Festlegungen zu den zu berichtenden Entitäten, Kennzahlen und Berechnungsvorschriften gemeinschaftlich durch die Krebsregister aller Bundesländer festgelegt.

Besonderer Dank gilt allen onkologisch tätigen Ärztinnen und Ärzten für Ihre engagierte Versorgung der Krebspatientinnen und Krebspatienten in unserem Land sowie den Mitarbeiterinnen und Mitarbeitern des Krebsregisters Mecklenburg-Vorpommern für den erfolgreichen Aufbau und aktiven weiteren Ausbau.

Schwerin, im November 2023

Stefanie Drese  
Ministerin für Soziales, Gesundheit und Sport in Mecklenburg-Vorpommern

# Grußwort der Krebsgesellschaft Mecklenburg-Vorpommern e.V.



Liebe Kolleg\*innen,  
liebe Patient\*innen,  
liebe Leser\*innen,

durch den demografischen Wandel und der dadurch älter werdenden Bevölkerung in Mecklenburg-Vorpommern nimmt die Anzahl der Menschen, die an Krebserkrankungen erkranken immer weiter zu. Aus diesem Grund wird es immer wichtiger, die medizinische und dort vor allem die onkologische Forschung voranzubringen.

Eine unverzichtbare Datenbasis liefern hierbei die Krebsregister. Die vollständige Erfassung der Diagnose-, Therapie- und Verlaufsdaten jedes und jeder einzelnen Krebspatient\*innen dienen auch dazu, die Qualität der medizinischen Versorgung zu sichern und zu optimieren. Dies erfolgt beispielhaft durch die regelmäßige Rückmeldung an die Leistungserbringer und Melder (Rückmeldeberichte) und durch den Jahresbericht des Krebsregisters.

Im aktuellen Jahresbericht stellt das Krebsregister Mecklenburg-Vorpommern aktuelle Auswertungen und Kennzahlen der in Mecklenburg-Vorpommern behandelten Krebserkrankungen für ausgewählte Entitäten vor. Die dargestellten Auswertungen und Kennzahlen beziehen sich auf die Diagnosejahre 2019 bis 2021 sowie den 12 häufigsten behandelten soliden Tumorerkrankungen und den drei häufigsten behandelten bösartigen systemischen Erkrankungen in Mecklenburg-Vorpommern.

An dieser Stelle möchte ich mich bei allen meldenden Ärztinnen und Ärzten bedanken! Ihr Einsatz und Ihre stetige Meldetätigkeit ist die Grundlage für die Erfüllung aller Aufgaben der klinischen Krebsregistrierung.

Im Namen der Krebsgesellschaft Mecklenburg-Vorpommern spreche ich dem Krebsregister ganz großen Dank für Ihren Einsatz und Ihr Engagement aus und hoffe auf eine weitere erfolgreiche Zusammenarbeit!

Rostock, November 2023



Prof. Dr. med. Christian Junghanß  
1. Vorsitzender

# Inhaltsverzeichnis

<b>1</b>	<b>Abkürzungsverzeichnis</b>	<b>2</b>
<b>2</b>	<b>Krebsregistrierung in Mecklenburg-Vorpommern</b>	<b>4</b>
<b>3</b>	<b>Auswertungen des Krebsregisters Mecklenburg-Vorpommern</b>	<b>6</b>
<b>4</b>	<b>Methoden</b>	<b>6</b>
<b>5</b>	<b>Krebs gesamt nach §65c SGB V</b>	<b>11</b>
<b>6</b>	<b>Naso-, Oro-, Hypopharynx C01, C09 - C14 ohne C14.8</b>	<b>15</b>
<b>7</b>	<b>Magen C16</b>	<b>26</b>
<b>8</b>	<b>Kolon C18</b>	<b>37</b>
<b>9</b>	<b>Rektum C19, C20</b>	<b>48</b>
<b>10</b>	<b>Leber C22</b>	<b>59</b>
<b>11</b>	<b>Bauchspeicheldrüse C25</b>	<b>70</b>
<b>12</b>	<b>Lunge C34</b>	<b>80</b>
<b>13</b>	<b>Lunge C34 - Adenokarzinome</b>	<b>92</b>
<b>14</b>	<b>Lunge C34 - Plattenepithelkarzinome</b>	<b>102</b>
<b>15</b>	<b>Lunge C34 - Kleinzellige Lungenkarzinome (SCLC)</b>	<b>111</b>
<b>16</b>	<b>Malignes Melanom der Haut C43</b>	<b>120</b>
<b>17</b>	<b>Brustdrüse C50</b>	<b>131</b>
<b>18</b>	<b>Prostata C61</b>	<b>148</b>
<b>19</b>	<b>Niere C64</b>	<b>160</b>
<b>20</b>	<b>Harnblase C67</b>	<b>171</b>
<b>21</b>	<b>Diffuses großzelliges B-Zell-Lymphom (DLBCL) C83.3</b>	<b>182</b>
<b>22</b>	<b>Multiples Myelom C90</b>	<b>186</b>
<b>23</b>	<b>Chronische lymphatische Leukämie (CLL/SLL) C91.1</b>	<b>190</b>
<b>24</b>	<b>Gastrointestinaler Stromatumor (GIST)</b>	<b>194</b>
<b>25</b>	<b>Weichteilsarkome ohne Gynäkologische Weichteilsarkome C53-C56</b>	<b>200</b>
<b>26</b>	<b>Gynäkologische Weichteilsarkome C53-C56</b>	<b>208</b>
	<b>Literaturverzeichnis</b>	<b>214</b>

# 1 Abkürzungsverzeichnis

<b>c</b>	klinisch
<b>cTNM</b>	klinischer TNM
<b>ICD</b>	International Statistical Classification of Diseases and Related Health Problems
<b>ICD-O</b>	International Classification of Diseases for Oncology
<b>DCN</b>	Death Certificate Notified
<b>DCO</b>	Death Certificate Only
<b>k.A.</b>	keine Angabe
<b>KFRG</b>	Krebsfüherkennungs- und -registergesetz
<b>KKR</b>	Klinisches Krebsregister
<b>KlinKrebsRG</b>	Klinisches Krebsregistergesetz des Landes
<b>KrebsRG M-V</b>	Krebsregistergesetz M-V
<b>M</b>	Fernmetastasen
<b>M-V</b>	Mecklenburg-Vorpommern
<b>n</b>	Anzahl
<b>N</b>	reginäre Lymphknoten
<b>o.n.A.</b>	ohne nähere Angaben
<b>OKZ</b>	Ortskennzahlen
<b>OP</b>	Operation
<b>OPS</b>	Operationen- und Prozedurenschlüssel
<b>p</b>	pathologisch
<b>pTNM</b>	pathologisches TNM
<b>pUICC</b>	pathologisches UICC
<b>R-Klassifikation</b>	Residualklassifikation
<b>RÜD</b>	Registerübergreifender Datenaustausch
<b>system.</b>	systemische
<b>T</b>	Ausbreitung des Primärtumors
<b>T/NK-Zell-Lymphom</b>	T-Zell-Lymphom/Natürliche Killerzellen-Zell-Lymphom
<b>THS</b>	Treuhandstelle
<b>TNM</b>	Tumor, Nodes (Lymphknoten), Metastasen
<b>UICC</b>	Union Internationale contre le cancer

<b>unb.</b>	unbekannt
<b>ZKKR</b>	Zentrales Klinisches Krebsregister
<b>ZKR</b>	Zentralstelle der Krebsregistrierung

# 2 Krebsregistrierung in Mecklenburg-Vorpommern

## 2.1 Gesetzliche Grundlage

Durch das Gesetz zur Weiterentwicklung der Krebsfrüherkennung und zur Qualitätssicherung durch Klinische Krebsregister (Krebsfrüherkennungs- und -registergesetz – KFRG) vom 3. April 2013 wurde bundesweit der flächendeckende Ausbau von Klinischen Krebsregistern (KKR) sowie jährliche landesbezogene Auswertungen der Registerdaten in allen Bundesländern verpflichtend.

In dem Klinischen Krebsregistergesetz des Landes Mecklenburg-Vorpommern (KlinKrebsRG M-V vom 6. Juli 2011) wurde die registerübergreifende Datenzusammenführung und -auswertung zur onkologischen Qualitätssicherung in einem Zentralen Klinischen Krebsregister Mecklenburg-Vorpommern (ZKKR) bereits vor dem Entwurf für das bundesweite KFRG festgeschrieben. Parallel zum Aufbau des ehemaligen ZKKR gemäß dem KlinKrebsRG erfuhr die Gesetzgebung bzgl. der klinischen und epidemiologischen Krebsregistrierung in M-V eine Novellierung, welche am 11. Juli 2016 im Gesetz über die Krebsregistrierung in Mecklenburg-Vorpommern (KrebsRG M-V) mündete. Das Krebsregistrierungsgesetz M-V trat am 01.01.2017 in Kraft und sieht unter anderem die Einrichtung eines landesweiten klinischen Krebsregisters vor. Mit der Änderung der gesetzlichen Grundlage in M-V erfolgte auch eine Neuorganisation der bestehenden Einrichtungen (siehe Abschnitt 2.2).

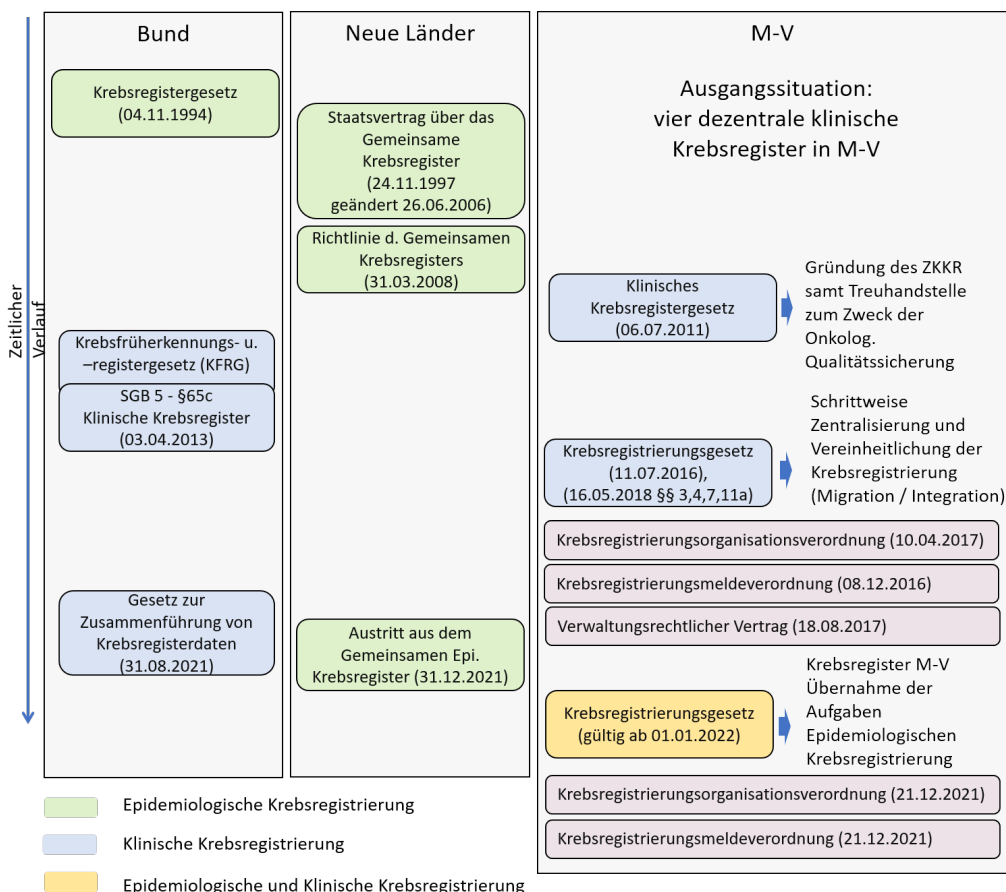


Abb. 2.1. Gesetzliche Grundlage der Krebsregistrierung auf Bundesebene und dem Bundesland Mecklenburg-Vorpommern.

Mit dem Austritt aus dem Gemeinsamen Epidemiologischen Krebsregisters (GKR) und der damit verbundenen Novellierung des Krebsregistergesetzes M-V nimmt das ehemals Klinische Krebsregister M-V seit dem 01.01.2022 ebenfalls die Aufgaben der epidemiologischen Krebsregistrierung wahr. Hierzu zählen

die Evaluierung des Mammographie-Screening Programmes, die Datenübermittlung an das Zentrum für Krebsregisterdaten (ZfKD) am Robert Koch-Institut und die bevölkerungsbezogene Analyse der Krebshäufigkeiten in Mecklenburg-Vorpommern.

Auch auf Bundesebene erfolgte eine Weiterentwicklung bzgl. der Krebsregistrierung. Zur weiteren Nutzung der Krebsregisterdaten wurde am 31.08.2021 das Gesetz zur Zusammenführung von Krebsregisterdaten reformiert. Diese zweite Stufe des Gesetzes soll eine bundesweite anlassbezogene Datenzusammenführung und Analyse von Krebsregisterdaten aus den einzelnen Bundesländern der Republik ermöglichen.

## 2.2 Struktur des Krebsregisters Mecklenburg-Vorpommern

Nach dem in Kraft treten des Krebsregistrierungsgesetz M-V am 01.01.2017 und der zugehörigen Krebsregistrierungsorganisationsverordnung wurden die drei Einrichtungen des Registers die Registerstellen gGmbH, die Treuhandstelle des Krebsregister M-V und die Zentralstelle der Krebsregistrierung mit der gemeinsamen Verantwortlichkeit für die Datenverarbeitung des Krebsregister M-V beauftragt. Zusätzlich wurde eine Auswertestelle des Landes Mecklenburg-Vorpommern eingerichtet.

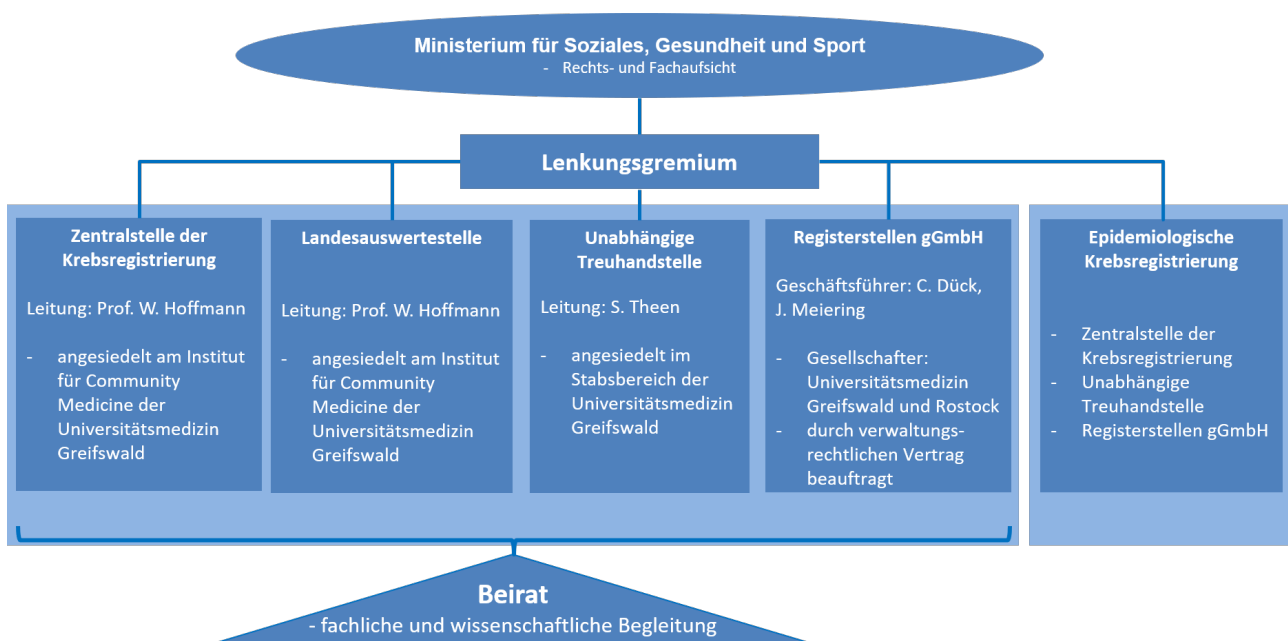


Abb. 2.2. Struktur des Krebsregisters Mecklenburg-Vorpommern, Stand August 2023.

In der Registerstellen gGmbH werden die Meldungen über das Auftreten, die Behandlung, der Nachsorge sowie den weiteren Verlauf der Krebserkrankung von den Krankenhäusern und den niedergelassenen Ärzten erfasst. Die Registerstelle bildet die Schnittstelle zwischen dem Krebsregister und den diagnostizierenden bzw. behandelten Ärzten.

Die Treuhandstelle des Krebsregisters M-V ist verantwortlich für den Schutz der Identitätsdaten. Zu den Hauptaufgaben der Treuhandstelle zählen unter anderem die Pseudonymisierung aller Patientendaten nach den gesetzlichen Vorgaben, sowie die Verarbeitung und Weiterleitung von Widersprüchen der Patienten.

Zu den Aufgaben der Zentralstelle der Krebsregistrierung gehören zum einen der Austausch der medizinischen Daten mit Dritten (z.B. RÜD), die Qualitäts- und Vollständigkeitssicherung der medizinischen Daten und zum anderen die standortübergreifende Datenauswertung. Die in der ZKR erstellten Auswertungen dienen der onkologischen Qualitätssicherung und sollen zur Erhöhung der Wirksamkeit und Effizienz der

Krebsdiagnostik und -behandlung in Mecklenburg-Vorpommern beitragen.

Als weitere Einheit nimmt die Auswertestelle des Landes Aufgaben bzgl. der Auswertungen zur onkologischen Qualitätssicherung wahr. Somit kann die Auswertestelle des Landes auf Anforderung durch das für Gesundheit zuständige Ministerium Daten für die Gesundheitsplanung und Gesundheitsberichtserstattung zur Verfügung stellen.

Zur fachlichen Begleitung der Einheiten des klinischen Krebsregisters wurde ein Beirat eingerichtet. Der Beirat setzt sich aus je einem Vertreter der Einrichtungen des Krebsregisters, der Landesverbände der Krankenkassen und Verbände der Ersatzkassen, des Medizinischen Dienstes der Krankenkassen, der Kassenärztlichen Vereinigung, der Landeskrankenhausgesellschaft, der Kassenzahnärztlichen Vereinigung, der Ärztekammer, der Zahnärztekammer, des Landesbeauftragten für Datenschutz und Informationsfreiheit, einer in Mecklenburg-Vorpommern tätigen Organisation für die Wahrnehmung der Interessen von an Krebs erkrankten Patienten und Patientinnen und das für Gesundheit zuständigen Ministeriums zusammen.

Zusätzlich erfolgt eine fachliche Aufsicht durch das für Gesundheit zuständige Ministerium. Gemeinsam mit der Fachaufsicht (Ministerium für Soziales, Gesundheit und Sport M-V) bilden Vertreter der einzelnen Einrichtungen des Krebsregisters das Lenkungsgremium.

## 3 Auswertungen des Krebsregisters Mecklenburg-Vorpommern

### 3.1 Interaktiver Bericht

Seit 2022 finden Sie auf der Internetseite des Krebsregisters Mecklenburg-Vorpommern aktuelle Auswertungen in Form eines interaktiven Berichtes. Dieser Bericht des Krebsregisters Mecklenburg-Vorpommern bietet eine Übersicht über Krebserkrankungen in Mecklenburg-Vorpommern. Über einen Filter können Sie die für Sie interessante Krebserkrankung sowie den Diagnosezeitraum auswählen.

### 3.2 Aggregierte Rückmeldeberichte an Leistungserbringer

Regelmäßig stellt das Krebsregister Mecklenburg-Vorpommern den Leistungserbringern und somit den Meldern Auswertungen in aggregierter Form als Rückmeldeberichte zur Verfügung. Ziel dieser Rückmeldeberichte ist es, den onkologisch tätigen Ärzten einen Überblick über ihre gemeldeten Daten, behandelten Patienten und Tumoren zugeben. Hierzu werden folgende Auswertungen den Leistungserbringern zur Verfügung gestellt:

- Anzahl und Vollständigkeit der Meldungen
- Patientencharakteristika z.B. Alter bei Diagnose, Geschlecht, Wohnort nach Landkreisen
- Auswertung der fünf häufigsten Tumorentitäten, die vom Leistungserbringer behandelt oder diagnostiziert wurden, inkl. Therapie- und Überlebensauswertungen.

# 4 Methoden

Um deutschlandweit eine Vereinheitlichung bzw. Harmonisierung der Jahresberichte der §65c-Register zu schaffen, wurde eine Unterarbeitsgruppe der Plattform §65c gegründet. Die Plattform §65c ist ein bundesweiter Zusammenschluss aller klinischen Krebsregister, in dem fachliche Fragestellungen und Verfahrensabläufe zwischen den klinischen Krebsregistern abgestimmt und einheitliche Empfehlungen dazu erarbeitet werden. Ziel der Unterarbeitsgruppe AG Berichtsformate ist es, eine bundesweit verbindliche länderübergreifende Harmonisierung eines Kernteils der Jahresberichte der §65c-Register zu schaffen. Die Harmonisierung umfasst sowohl die Inhalte als auch die methodischen Aspekte des Jahresberichtes. Als erste Grundlage der Harmonisierung wurden die in den Jahresberichten aufzunehmenden Entitäten definiert [1]. Anschließend folgten Beschlüsse zur Aufnahme der darzustellenden Parameter [2] sowie allgemeine Empfehlung und Festlegungen zu den Auswertungen der Jahresberichte der §65c Register inkl. Berechnungsvorschriften [3].

## 4.1 Einschlusskriterien

Die Grundgesamtheit für die Auswertungen des Jahresberichtes entspricht der an das Krebsregister Mecklenburg-Vorpommern gemeldeten Daten über Tumorerkrankungen und deren Verläufe von erwachsenen Patienten (Alter mind. 18 Jahre), die in Mecklenburg-Vorpommern behandelt wurden. Dies bedeutet, dass in den Auswertungen alle Patienten eingeschlossen wurden, zu denen mindestens eine Diagnose-, Therapie- oder Verlaufsmeldung von mindestens einem Leistungserbringer aus Mecklenburg-Vorpommern vorliegt. Aufgrund der Unvollständigkeit des Krankheitsverlaufs wurden folgende Fälle ausgeschlossen: Patienten mit Wohnort im Ausland, Patienten, deren Tumorerkrankung allein durch eine Todesbescheinigung bekannt wurde (DCO (Death Certificate Only)) und Tumorerkrankungen, mit alleiniger Pathologiemeldungen sowie Fälle, deren Diagnose und Behandlung ausschließlich außerhalb von Mecklenburg-Vorpommern durchgeführt wurde und somit ausschließlich über den registerübergreifenden Datenausschluss (RÜD) eines anderen Krebsregisters bekannt wurden. Die Daten, die diesem Jahresbericht zugrunde liegen, entsprechen dem zum 31.03.2023 in der Auswertedatenbank vorliegenden Datenstand.

Eingeschlossen werden in die Auswertungen alle Primärtumoren, deren Diagnose in den Jahren 2019 bis 2021 erfolgte und dem Krebsregister Mecklenburg-Vorpommern gemeldet wurden. Krebspatientinnen und Krebspatienten mit einem Alter von unter 18 Jahren wurden aus den Auswertungen ausgeschlossen. Des Weiteren erfolgte sowohl auf Patientenebene als auch auf Entitätenebene ein Dopplerausschluss. Hierbei wurde der Datensatz in Bezug auf mehrfach dokumentierte Patienten bzw. Tumoren (Doppler) bereinigt. Wurden identische Primärtumoren mehrfach dokumentiert, erfolgte der Einschluss des zuerst dokumentierten Tumors. Alle Ausschlüsse hinsichtlich des Gesamtdatensatzes werden in Abbildung 4.1 dargestellt.

Auf den Entitätenebenen erfolgen zusätzliche Ausschlüsse. Zum einen wurden für die jeweilige entitätenspezifische Auswertung nur Tumoren mit einer spezifischen Lokalisation nach ICD-O-3 beibehalten. Zum anderen wurden Tumoren mit „Organ-fremder“ Histologie/Morphologie, unbestimmter Histologie und ohne histologische Sicherung aus der Auswertung ausgeschlossen. Die Ausschlüsse auf Entitätenebene werden zu Beginn eines jeden Kapitels dargestellt.

## 4.2 Kennzahlen

Aus Gründen der Vergleichbarkeit mit den Auswertungen anderer Krebsregister werden die C- und D-Diagnosen getrennt voneinander ausgewiesen. Die Entität „Krebs gesamt nach §65c SGB V“ beinhaltet alle meldepflichtigen Diagnosen nach § 65c SGB V [7]. Hinsichtlich der Auswertungen von Therapien werden nur Therapien mit einem Therapiebeginn innerhalb von 365 Tagen nach Diagnose berücksichtigt.

## Krebs gesamt nach §65c SGB V

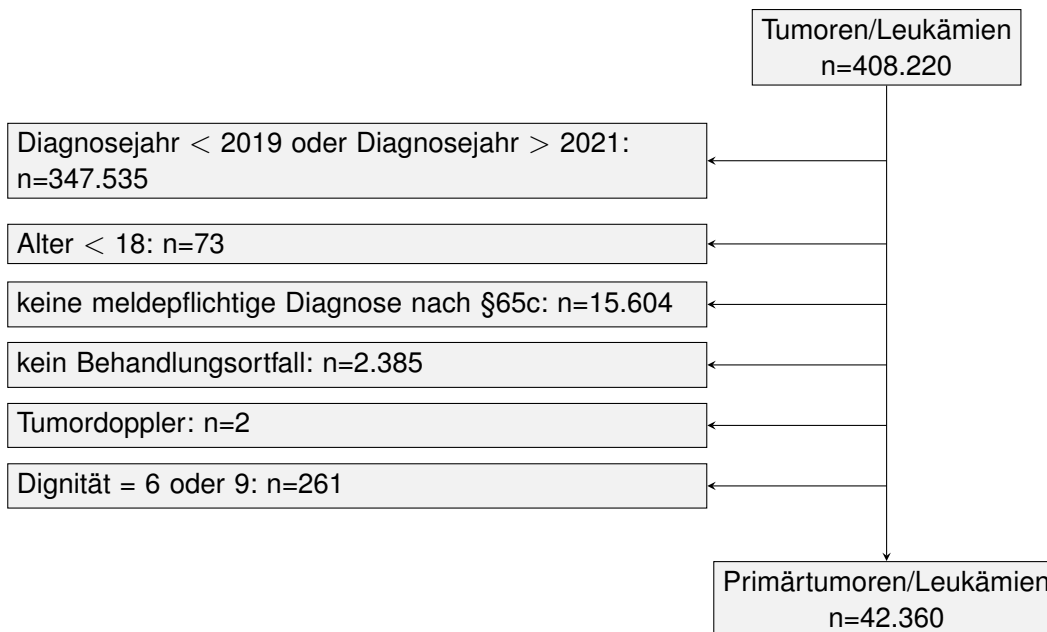


Abb. 4.1. Consort Krebs gesamt nach §65c SGB V

Wenn möglich, werden Rezidivtherapien, soweit dies bei einzelnen Parametern nicht abweichend festgelegt ist, ausgeschlossen.

Zu Beginn eines jeden Kapitels erfolgt eine Darstellung der absoluten Anzahl der Fälle getrennt nach Geschlecht mit Erstdiagnose im entsprechenden Diagnosejahr. Aufgrund der geringen Fallzahlen werden Fälle, deren Angaben zum Geschlecht „divers“, „sonstige“ oder „unbekannt“ entspricht, gesondert ausgewiesen.

**Lokalisation und Morphologie:** Je Entität wird die Anzahl aller Fälle mit Erstdiagnose im entsprechenden Diagnosejahr und der Angabe zur Hauptlokalisierung nach gültiger ICD-O des Auswertjahres getrennt nach Sublokalisierung dargestellt. Beim Vorliegen von mehr als einer Lokalisation werden alle Lokalisationen dargestellt. Analog zur Lokalisation wird je Entität, die Anzahl aller Fälle mit Erstdiagnose im entsprechenden Diagnosejahr getrennt nach dem Histologieschlüssel für die jeweils gültige ICD-O tabellarisch dargestellt.

**TNM und UICC-Stadium:** Das pathologische TNM (pTNM) bildet die Grundlage der Analyse. Das klinische TNM (cTNM) wird herangezogen, wenn das pathologische TNM nicht vorhanden ist oder der Operation eine neoadjuvante Behandlung vorausging. Eine TNM-Angabe wird in dem Jahresbericht dargestellt, wenn sie innerhalb von 92 Tagen nach Erstdiagnose erhoben wurde. Die TNM-Klassifikation beschreibt die anatomische Ausbreitung des Tumorgeschehens in drei Parametern: der lokalen Ausbreitung des Primärtumors (T), der Metastasierung in die regionären Lymphknoten (N) und dem Fehlen oder Vorhandensein von Fernmetastasen (M). Die Auswertung erfolgt gemäß der Liste „Tumoren/Entitäten mit Anwendbarkeit der TNM-Klassifikation“ der §65c-Plattform (2019/25/13) [5]. Tumoren, bei denen aufgrund ihrer Lokalisation oder Histologie kein TNM angegeben werden kann, werden der Kategorie „nicht anwendbar“ zugeordnet.

Die Analyse des UICC-Stadiums (Union Internationale contre le Cancer) erfolgte unter Berücksichtigung der Angabe des TNM und der verwendeten Auflage der TNM-Klassifikation. Die Anteile „UICC unbekannt“ und „UICC nicht anwendbar“ werden ausgewiesen.

Bei den systemischen Erkrankungen erfolgt eine Auswertung der Anzahl aller Fälle nach Angabe der Stadienklassifikation im entsprechenden Diagnosejahr. Die verwendete Stadieneinteilung entspricht der Empfehlung des Manuals der Krebsregistrierung [8] und der Liste „Weitere Klassifikationen“ [6]. Die Angabe wird nur dann berücksichtigt, wenn die Stadieneinteilung innerhalb von 3 Monaten (92 Tagen) nach Erstdiagnose erhoben wurde.

Metastasenlokalisierung: Eingeschlossen in die Analyse der Fernmetastasen werden Metastasen, die in einem Zeitraum von 92 Tagen nach Erstdiagnose diagnostiziert wurden. Die Darstellung erfolgt nach der Angabe der Lokalisation der Metastasen, wobei bei einem Vorliegen von drei oder mehr Metastasen von einer generalisierten Metastasierung ausgegangen und dies entsprechend so angegeben wird.

Tumorbezogene Therapien:

Häufigkeit: Zu Beginn der Auswertung der tumorbezogenen Therapien erfolgt die Darstellung der Häufigkeiten der tumorbezogenen Therapien. Diese Auswertung erfolgt pro Diagnosejahr und unterscheidet die Kategorien systemische Therapien, abwartende Strategien, tumorrelevante Operationen [4] und die Strahlentherapie. Zusätzlich wird die Kategorie „keine Therapie gemeldet“ dargestellt. Pro Fall werden mehrere Therapien der gleichen Kategorie nur einmal gezählt.

Therapie-Kombination: Im Anschluss erfolgt eine Auswertung der Kombinationen der Therapieoptionen. Die Auswertung erfolgt zum einen pro Diagnosejahr und zum anderen unter Berücksichtigung des klinischen Stadiums. Folgende Kategorien werden dargestellt: alleinige tumorrelevante OP, alleinige systemische Therapie, alleinige Strahlentherapie, tumorrelevante OP und systemische Therapie, tumorrelevante OP und Strahlentherapie, systemische- und Strahlentherapie, tumorrelevante OP und systemische- und Strahlentherapie, alleinige abwartende Strategie, keine systemische Therapie oder Strahlentherapie oder tumorrelevante OP. Die Kategorie „systemische Therapie“ beinhaltet hierbei nicht die abwartende Strategie.

Intention: Neben dem Parameter der Stellung der Therapie zur Operation erfolgt eine Auswertung der Intention bei der Ersttherapie. Die Darstellung erfolgt getrennt nach Art und Intention der tumorrelevanten Operation/Strahlentherapie/systemischen Therapie. Bei der Auswertung ist nur die jeweils erste Therapie im ersten Jahr der Erkrankung berücksichtigt.

Zeitraum zwischen Diagnose und Beginn der Therapie: Dargestellt wird das Minimum, das Maximum und der Median des zeitlichen Abstandes zwischen Diagnose und tumorbezogener Therapie. In die Auswertung eingeschlossen werden lediglich Therapien mit taggenauen Angaben.

Operationsschlüssel der ersten tumorrelevanten Operation nach UICC und Residualtumorklassifikation: Im Bereich der tumorspezifischen Operationen werden alle Fälle mit Angaben zum Operationsdatum und Operationsschlüssels einbezogen. Innerhalb der Auswertungen erfolgt die Definition der tumorrelevanten Operation gemäß dem § 65c-Beschluss 2020/35/07 „OPS-Code, Lokalisation, R-Klassifikation“ [4]. Die Auswertung erfolgt hinsichtlich der ersten durchgeführten tumorrelevanten Operation und dem UICC-Stadium. Operationen für Rezidive werden, wenn möglich, nicht berücksichtigt. Die Operationsschlüssel werden 5-stellig (x-xxx) kategorisiert.

Im Anschluss erfolgt die Darstellung der R-Klassifikation. Da bei einigen Operationen die Tumorfreiheit des Resektionsrandes nicht ausreichend beurteilt werden kann, z.B. kein ausreichender Sicherheitsabstand oder keine Komplettresektion möglich ist, bei Verfahren der minimalinvasiven Chirurgie, bei Verfahren der Laser-, Photo- oder Kryotechnik und bei Verfahren der Thermotherapie, wurde innerhalb der Plattform § 65c eine Liste der tumorresezierend OPS-Codes beschlossen [4]. Die Tabelle beinhaltet, für welche Lokalisation welcher OPS-Codes zulässig ist und ob die Abgabe des Residualstatus erwartet werden kann. Die Darstellung erfolgt für das UICC-Stadium sowie grafisch für das pathologische T und pathologische UICC.

Therapie nach Stellung zur Operation: Für die operierten Fälle mit durchgeführter systemischer Therapie bzw. Strahlentherapie erfolgt die Darstellung der neoadjuvanten und adjuvanten Therapien getrennt nach Therapieart. Die Stellung zur Operation kann über die meldepflichtige Variable „Strahlentherapie bzw. Systemische Therapie Stellung zu operativer Therapie“ oder anhand der zeitlichen Einordnung von Therapie- und Operationsdatum erfolgen. Bei widersprüchlichen Angaben wurde die Datumsangabe bevorzugt.

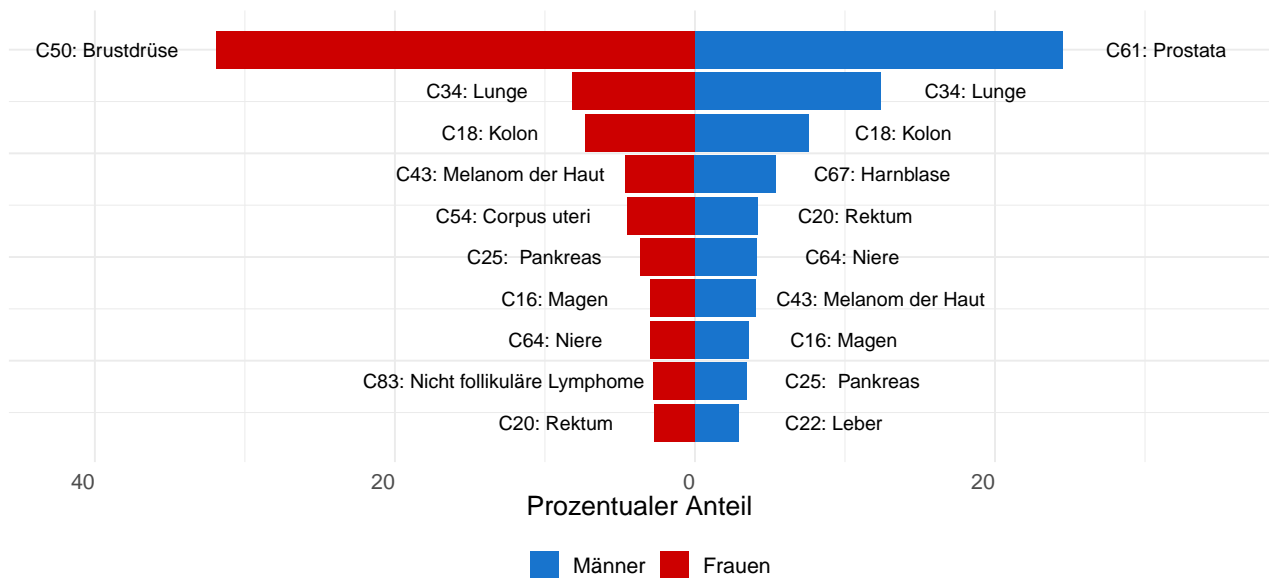
Durchführung Bestrahlung nach UICC/Klassifikation: Je Entität erfolgt die Auswertung der durchgeführten Bestrahlung nach dem UICC-Stadium bzw. der Klassifikation des Tumors.

5-Jahresüberleben: Die Berechnung des beobachteten 5-Jahresüberlebens erfolgt nach der Kaplan-Meier Methode. Eingeschlossen werden alle Fälle, die im Einzugsgebiet des Krebsregisters M-V diagnostiziert bzw. behandelt wurden und dort auch wohnten. Es erfolgen jeweils Auswertungen nach dem Geschlecht, der Tumorgroße und dem UICC-Stadium bzw. der Klassifikation. In die Analyse gehen alle Sterbefälle unabhängig der Todesursache ein.

# 5 Krebs gesamt nach §65c SGB V

Die Auswertungen des Kapitels Krebs gesamt beinhaltet alle meldepflichtigen Diagnosen nach dem §65c SGB V. Die Darstellungen der bösartigen Neubildungen und der in situ bzw. gutartigen Neubildungen erfolgt hierbei durchgehend getrennt.

Die zehn häufigsten gemeldeten Diagnosen sind in den unten stehenden Abbildungen dargestellt. Dabei beinhaltet die Grafik lediglich die nach §65c meldepflichtigen bösartigen Neubildungen.



© KR-MV 2023

Abb. 5.1. Krebs gesamt (bösartige Neubildungen, sog. C-Diagnosen): Anteil der häufigsten gemeldeten bösartigen Krebsdiagnosen pro Geschlecht in Mecklenburg-Vorpommern im Diagnosejahr 2021

Tab. 5.1. Krebs gesamt (bösartige Neubildungen, sog. C-Diagnosen): Absolute Anzahl der gemeldeten Diagnosen

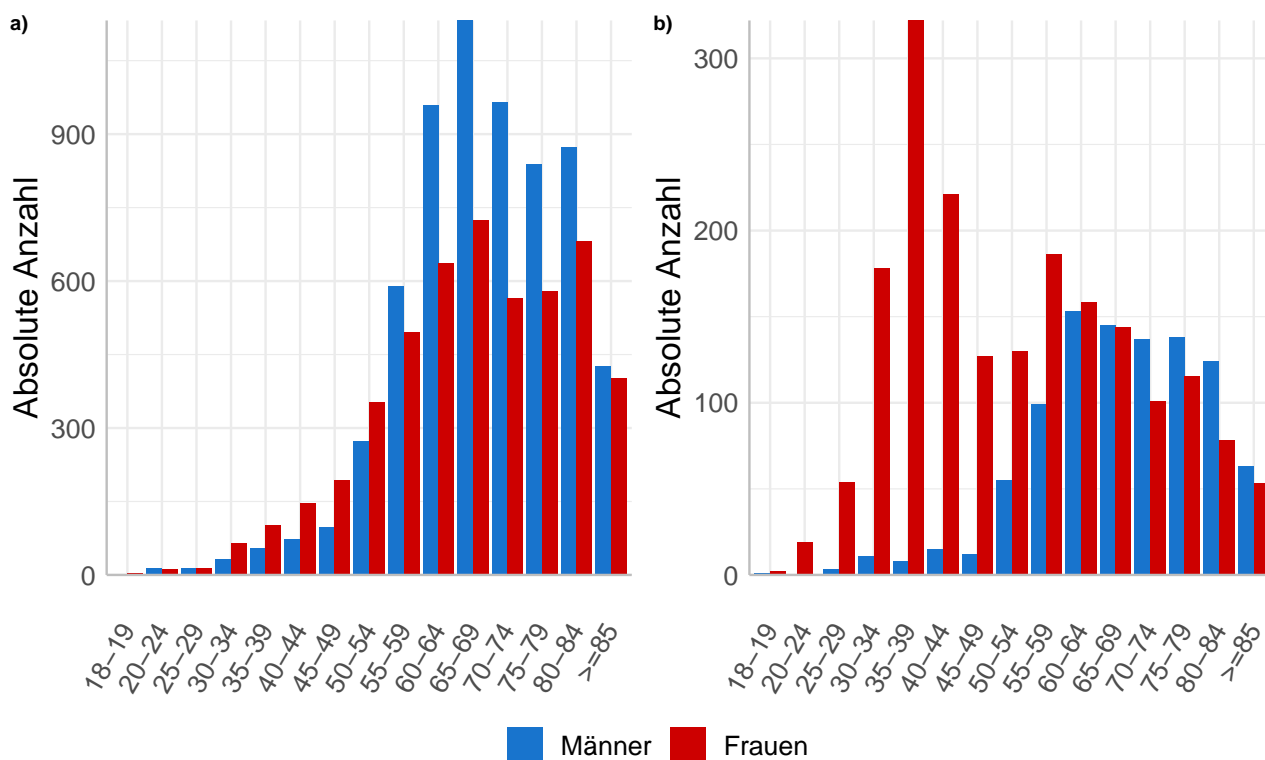
ICD-10	2019				2020				2021			
	Männer	Frauen	Gesamt	Prozent	Männer	Frauen	Gesamt	Prozent	Männer	Frauen	Gesamt	Prozent
C00	10	8	18	0.2	10	8	18	0.2	14	12	26	0.2
C01	20	3	23	0.2	26	4	30	0.3	27	7	34	0.3
C02	40	19	59	0.5	45	19	64	0.6	49	19	68	0.6
C03	12	9	21	0.2	26	12	38	0.3	14	15	29	0.3
C04	52	13	65	0.6	46	13	59	0.5	51	12	63	0.6
C05	20	6	26	0.2	20	10	30	0.3	17	11	28	0.2
C06	10	8	18	0.2	8	6	14	0.1	12	6	18	0.2
C07	6	9	15	0.1	14	11	25	0.2	18	6	24	0.2
C08	0	3	3	0	5	3	8	0.1	1	4	5	0
C09	83	21	104	0.9	63	17	80	0.7	55	23	78	0.7
C10	43	13	56	0.5	41	4	45	0.4	28	7	35	0.3
C11	4	0	4	0	6	4	10	0.1	6	1	7	0.1
C12	16	1	17	0.1	18	5	23	0.2	18	1	19	0.2
C13	42	5	47	0.4	48	2	50	0.4	34	3	37	0.3
C14	0	0	0	0	1	0	1	0	3	0	3	0
C15	162	41	203	1.7	159	46	205	1.8	142	37	179	1.6
C16	249	136	385	3.3	221	143	364	3.3	226	148	374	3.3
C17	35	26	61	0.5	32	21	53	0.5	38	29	67	0.6
C18	526	463	989	8.5	465	372	837	7.5	478	362	840	7.4
C19	5	1	6	0.1	6	4	10	0.1	13	4	17	0.2
C20	301	143	445	3.8	267	135	402	3.6	263	135	398	3.5
C21	8	26	34	0.3	12	27	39	0.4	13	27	40	0.4
C22	168	57	225	1.9	215	72	287	2.6	184	75	259	2.3
C23	19	29	48	0.4	17	32	49	0.4	11	22	33	0.3
C24	62	29	91	0.8	38	38	76	0.7	44	36	80	0.7
C25	221	203	424	3.6	231	235	466	4.2	217	179	396	3.5
C30	9	4	13	0.1	6	5	11	0.1	7	6	13	0.1
C31	14	3	17	0.1	4	1	5	0	2	4	6	0.1
C32	90	17	107	0.9	80	19	99	0.9	95	10	105	0.9
C33	0	0	0	0	0	0	0	0	1	1	2	0
C34	865	418	1283	11	856	417	1274	11.5	782	405	1188	10.5
C37	2	7	9	0.1	4	2	6	0.1	3	5	8	0.1
C38	4	1	5	0	4	2	6	0.1	1	3	4	0
C40	2	1	3	0	1	0	1	0	0	3	3	0
C41	7	2	9	0.1	2	4	6	0.1	2	1	3	0
C43	239	201	440	3.8	222	192	414	3.7	255	229	484	4.3
C45	11	1	12	0.1	11	2	13	0.1	12	5	17	0.2
C46	0	0	0	0	1	0	1	0	0	1	1	0
C48	6	7	13	0.1	6	9	15	0.1	2	11	13	0.1
C49	21	23	44	0.4	25	20	45	0.4	20	18	38	0.3
C50	19	1550	1569	13.5	21	1472	1493	13.4	11	1584	1595	14.1
C51	0	53	53	0.5	0	53	53	0.5	0	70	70	0.6
C52	0	7	7	0.1	0	1	1	0	0	5	5	0
C53	0	90	90	0.8	0	78	78	0.7	0	96	96	0.8
C54	0	239	239	2.1	0	224	224	2	0	222	222	2
C55	0	6	6	0.1	0	6	6	0.1	0	7	7	0.1
C56	0	115	115	1	0	124	124	1.1	0	93	93	0.8
C57	0	19	19	0.2	0	11	11	0.1	0	13	13	0.1
C60	48	0	48	0.4	44	0	44	0.4	40	0	40	0.4
C61	1551	0	1551	13.3	1430	0	1430	12.9	1554	0	1554	13.7
C62	78	0	78	0.7	67	0	67	0.6	77	0	77	0.7
C63	4	0	4	0	4	0	4	0	4	0	4	0
C64	284	144	428	3.7	243	123	366	3.3	262	146	408	3.6
C65	38	17	55	0.5	30	23	53	0.5	37	18	55	0.5
C66	17	5	22	0.2	14	6	20	0.2	16	12	28	0.2
C67	288	127	415	3.6	326	100	426	3.8	342	104	446	3.9
C68	4	2	6	0.1	5	1	6	0.1	3	5	8	0.1
C69	8	6	14	0.1	5	5	10	0.1	6	9	15	0.1
C71	92	73	165	1.4	89	65	154	1.4	91	72	163	1.4
C72	2	4	6	0.1	3	3	6	0.1	1	1	2	0
C73	25	86	111	1	26	57	83	0.7	32	66	98	0.9

C74	2	6	8	0.1	4	2	6	0.1	1	6	7	0.1
C75	0	2	2	0	1	1	2	0	1	2	3	0
C76	1	0	1	0	4	1	5	0	2	4	6	0.1
C80	133	96	229	2	122	103	225	2	119	94	213	1.9
C81	24	24	48	0.4	27	18	45	0.4	19	21	40	0.4
C82	41	54	95	0.8	46	38	84	0.8	39	43	82	0.7
C83	139	109	248	2.1	153	122	275	2.5	163	136	299	2.6
C84	10	11	21	0.2	27	11	38	0.3	19	9	28	0.2
C85	13	17	30	0.3	26	22	48	0.4	22	16	38	0.3
C86	6	6	12	0.1	3	5	8	0.1	2	4	6	0.1
C88	20	16	36	0.3	21	15	36	0.3	21	13	34	0.3
C90	89	88	177	1.5	81	73	154	1.4	88	59	147	1.3
C91	127	94	222	1.9	136	79	215	1.9	125	74	199	1.8
C92	67	53	120	1	55	54	109	1	63	62	125	1.1
C93	14	7	21	0.2	13	6	19	0.2	13	9	22	0.2
C94	1	0	1	0	1	2	3	0	3	0	3	0
C95	0	3	3	0	0	1	1	0	2	2	4	0
C96	3	1	4	0	5	0	5	0	3	4	7	0.1
Summe	6538	5089	11629	100	6299	4825	11125	100	6339	4964	11304	100

Tab. 5.2. Krebs gesamt (sog. D-Diagnosen\*): Absolute Anzahl der gemeldeten Diagnosen

ICD-10	2019				2020				2021			
	Männer	Frauen	Gesamt	Prozent	Männer	Frauen	Gesamt	Prozent	Männer	Frauen	Gesamt	Prozent
D00	15	10	25	0.9	17	1	18	0.6	15	10	25	0.9
D01	396	229	625	23.4	390	211	601	21.6	287	140	427	15
D02	7	1	8	0.3	10	2	12	0.4	8	0	8	0.3
D03	87	79	166	6.2	92	83	175	6.3	91	101	192	6.7
D05	2	144	146	5.5	0	133	133	4.8	0	137	137	4.8
D06	0	576	576	21.6	0	823	823	29.6	0	1035	1035	36.3
D07	21	67	88	3.3	13	69	82	2.9	10	62	72	2.5
D09	312	87	399	15	345	93	438	15.7	342	88	430	15.1
D32.0	47	127	174	6.5	29	81	110	4	32	92	124	4.3
D32.1	5	15	20	0.8	6	8	14	0.5	5	8	13	0.5
D32.9	2	9	11	0.4	2	6	8	0.3	2	15	17	0.6
D33.0	3	3	6	0.2	1	0	1	0	1	2	3	0.1
D33.1	0	2	2	0.1	0	4	4	0.1	1	0	1	0
D33.2	2	0	2	0.1	1	1	2	0.1	1	2	3	0.1
D33.3	15	16	31	1.2	14	15	29	1	22	13	35	1.2
D33.4	2	5	7	0.3	3	3	6	0.2	4	1	5	0.2
D33.7	0	0	0	0	0	0	0	0	0	1	1	0
D33.9	1	1	2	0.1	3	4	7	0.3	3	2	5	0.2
D35.2	22	15	37	1.4	22	13	35	1.3	26	19	45	1.6
D39.1	0	48	48	1.8	0	30	30	1.1	0	38	38	1.3
D41.4	3	1	4	0.2	3	0	3	0.1	6	4	10	0.4
D42	5	5	10	0.4	3	7	10	0.4	2	7	10	0.4
D43	4	12	16	0.6	1	5	6	0.2	3	10	13	0.5
D44.3	0	0	0	0	0	1	1	0	1	0	1	0
D45	18	19	37	1.4	16	20	36	1.3	11	13	24	0.8
D46	58	38	96	3.6	57	36	93	3.3	46	30	76	2.7
D47.1	10	18	28	1.1	22	21	43	1.5	24	25	49	1.7
D47.3	28	46	74	2.8	7	33	40	1.4	15	30	45	1.6
D47.4	20	8	28	1.1	11	10	21	0.8	6	3	9	0.3
Summe	1085	1581	2666	100	1069	1714	2783	100	964	1888	2853	100

\* teils in situ Karzinome, teils gutartige Neoplasien, teils mittlerweile [2022/2023] auch als bösartige Neoplasien eingestufte Erkrankungen, wie z.B. D46.\* und D45.\*, D47.\*



© KR-MV 2023

Abb. 5.2. Krebs gesamt: absolute Anzahl der im Jahr 2021 neu diagnostizierten Neoplasien aufgelistet in 5-Jahres-Altersgruppen getrennt nach Geschlecht. a) bösartige Neubildungen (sog. C-Diagnosen nach ICD-10) b) sog. D-Diagnosen (nach ICD-10), d.h. teils in situ Neoplasien, teils gutartige Neoplasien und einige erst kürzlich [2022/2023] von der WHO ebenfalls als eindeutig bösartige Neoplasien eingestufte Neubildungen

Tab. 5.3. Krebs gesamt (bösartige Neubildungen, sog. C-Diagnosen): Erkrankungsalter (Behandlungsort)

Diagnosejahre	Männer				Frauen			
	Anzahl	Median	Minimum	Maximum	Anzahl	Median	Minimum	Maximum
2019	6538	68	18	98	5089	68	18	101
2020	6299	69	18	98	4825	68	18	101
2021	6339	69	19	99	4964	68	18	99

Tab. 5.4. Krebs gesamt (sog. D-Diagnosen\*): Erkrankungsalter (Behandlungsort)

Diagnosejahre	Männer				Frauen			
	Anzahl	Median	Minimum	Maximum	Anzahl	Median	Minimum	Maximum
2019	1085	68	26	97	1581	57	21	96
2020	1069	69	21	94	1714	52	19	95
2021	964	69	19	94	1888	50	19	96

\* teils in situ Karzinome, teils gutartige Neoplasien, teils mittlerweile [2022/2023] auch als bösartige Neoplasien eingestufte Erkrankungen, wie z.B. D46.\* und D45.\*, D47.\*

# 6 Naso-, Oro-, Hypopharynx C01, C09 - C14 ohne C14.8

## 6.1 Consort-Statement: Darstellung der Auswertepopulation

### Bösartige Neubildungen Naso-, Oro-, Hypopharynx (C01, C09 - C14 ohne C14.8)

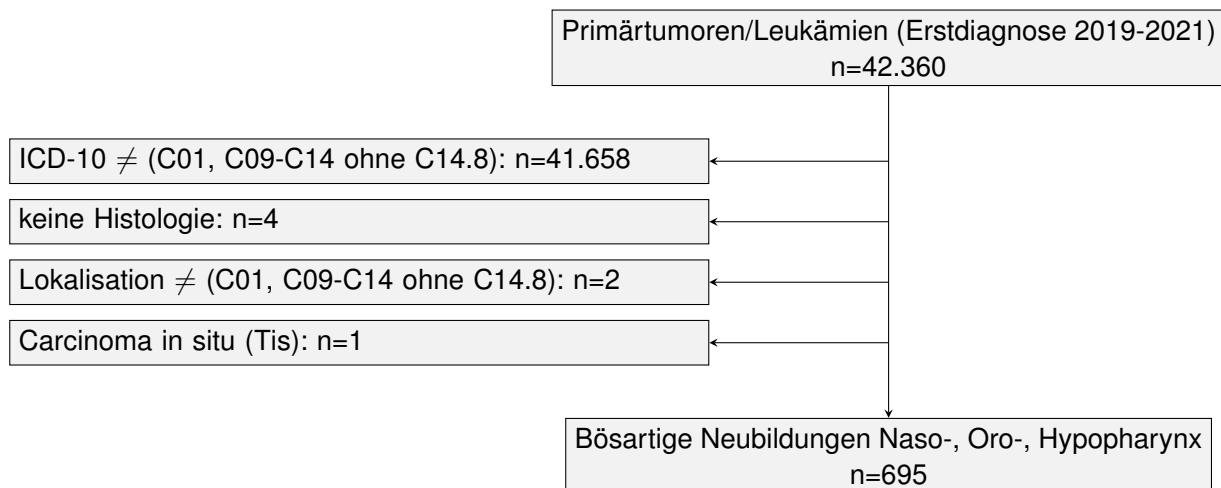
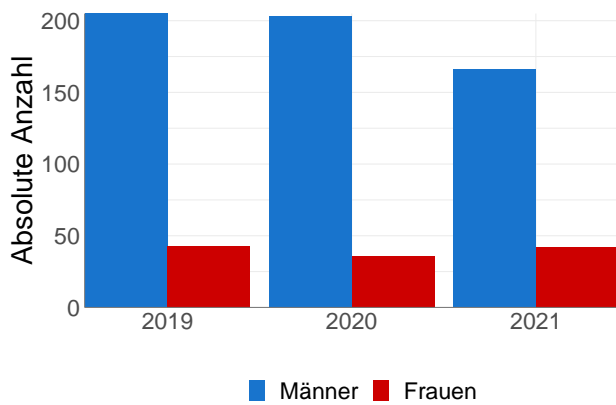


Abb. 6.1. Consort zu den bösartigen Neubildungen des Naso-, Oro-, Hypopharynx

## 6.2 Absolute Anzahl der erfassten Neuerkrankungen in M-V in den Jahren 2019-2021 nach Geschlecht und Alter

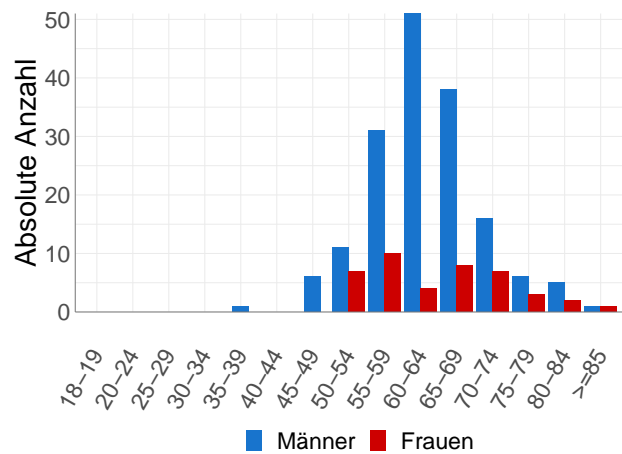
Tab. 6.1. C01, C09 - C14 ohne C14.8: Absolute Anzahl der Neuerkrankungen nach Geschlecht

Geschlecht	Männer		Frauen		Summe
	Anzahl	%	Anzahl	%	
2019	205	82.7	43	17.3	248
2020	203	84.9	36	15.1	239
2021	166	79.8	42	20.2	208
Summe	574	82.6	121	17.4	695



© KR-MV 2023

Abb. 6.2. C01, C09 - C14 ohne C14.8: Absolute Anzahl der Neuerkrankungen nach Geschlecht



© KR-MV 2023

Abb. 6.3. C01, C09 - C14 ohne C14.8: Absolute Anzahl der Neuerkrankungen aufgelistet in 5-Jahres-Altersgruppen und nach Geschlecht für das Diagnosejahr 2021

Tab. 6.2. C01, C09 - C14 ohne C14.8: Erkrankungsalter

Diagnosejahre	Männer				Frauen			
	Anzahl	Median	Minimum	Maximum	Anzahl	Median	Minimum	Maximum
2019	205	62	34	93	43	63	46	90
2020	203	63	36	88	36	66	48	83
2021	166	63	39	91	42	64	51	89

### 6.3 Absolute Anzahl der erfassten Neuerkrankungen in M-V in den Jahren 2019-2021 nach Lokalisation

Tab. 6.3. C01, C09 - C14 ohne C14.8: Absolute Anzahl und prozentualer Anteil der Neuerkrankungen nach der Lokalisation

Lokalisationen	2019	2020	2021	Summe	
				Anzahl	%
Zungengrund (Hinteres Zungendrittel, Zungenwurzel) (ICD-O: C01.9)	23	30	34	87	12.5
Tonsillennische (ICD-O: C09.0)	16	8	3	27	3.9
Gaumenbogen (ICD-O: C09.1)	25	12	20	57	8.2
Tonsille (mehrere Teilbereiche überlappend) (ICD-O: C09.8)	26	20	14	60	8.6
Gaumentonsille, Tonsille o.n.A. (ICD-O: C09.9)	37	40	40	117	16.8
Vallecula epiglottica (ohne Zungengrund, =C01.9) (ICD-O: C10.0)	7	7	6	20	2.9
Vordere, linguale Epiglottisfläche (ICD-O: C10.1)	2	4	2	8	1.1
Oropharynx, Seitenwand (auch Glossotonsillarfurche) (ICD-O: C10.2)	12	6	6	24	3.4
Oropharynx, Hinterwand (ICD-O: C10.3)	5	5	4	14	2.0
Oropharynx (mehrere Teilbereiche überlappend) (ICD-O: C10.8)	11	7	8	26	3.7
Oropharynx o.n.A. (ICD-O: C10.9)	17	16	10	43	6.2
Nasopharynx, Dach (ICD-O: C11.0)	1	0	0	1	0.1
Nasopharynx, Hinterwand (einschl. Rachentonsille) (ICD-O: C11.1)	1	2	1	4	0.6

Nasopharynx, Seitenwand (einschl. Rosenmüller-Grube) (ICD-O: C11.2)	0	2	1	3	0.4
Nasopharynx, Vorderwand (einschl. Choanen und nasopharyngeale Fläche des Gaumens) (ICD-O: C11.3)	1	0	1	2	0.3
Nasopharynx (mehrere Teilbereiche überlappend) (ICD-O: C11.8)	0	2	1	3	0.4
Nasopharynx o.n.A. (ICD-O: C11.9)	1	5	3	9	1.3
Sinus piriformis (ICD-O: C12.9)	17	23	18	58	8.3
Postkrikoidbezirk, Krikoid o.n.A. (ICD-O: C13.0)	5	2	0	7	1.0
Aryepiglottische Falte (ohne Larynx-Anteil, =C32.1) (ICD-O: C13.1)	3	8	5	16	2.3
Hypopharynxhinterwand (ICD-O: C13.2)	17	4	3	24	3.4
Hypopharynx (mehrere Teilbereiche überlappend) (ICD-O: C13.8)	8	16	17	41	5.9
Hypopharynx o.n.A. (ICD-O: C13.9)	13	20	10	43	6.2
Pharynx o.n.A., Retropharynx (ICD-O: C14.0)	0	0	2	2	0.3
Laryngopharynx (ICD-O: C14.1)	0	1	0	1	0.1
<b>Summe</b>	<b>248</b>	<b>240</b>	<b>209</b>	<b>697</b>	<b>100.0</b>

## 6.4 Histologische Befunde bei allen neuerkrankten Patienten in M-V in den Jahren 2019-2021

Tab. 6.4. C01, C09 - C14 ohne C14.8: Histologische Befunde bei neuerkrankten Patienten

	2019		2020		2021	
	Anzahl	%	Anzahl	%	Anzahl	%
8052/3: Papilläres Plattenepithelkarzinom	1	0.4	0	0.0	0	0.0
8070/3: Plattenepithelkarzinom o.n.A.	110	44.4	122	51.0	105	50.5
8071/3: Verhornendes Plattenepithelkarzinom o.n.A.	68	27.4	50	20.9	35	16.8
8072/3: Großzelliges nichtverhornendes Plattenepithelkarzinom o.n.A.	30	12.1	19	7.9	19	9.1
8074/3: Spindelzelliges Plattenepithelkarzinom	1	0.4	1	0.4	0	0.0
8075/3: Adenoides Plattenepithelkarzinom	1	0.4	0	0.0	0	0.0
8083/3: Basaloides Plattenepithelkarzinom	5	2.0	3	1.3	4	1.9
8085/3: Plattenepithelkarzinom, HPV-positiv	12	4.8	11	4.6	15	7.2
8086/3: Plattenepithelkarzinom, HPV-negativ	13	5.2	25	10.5	25	12.0
<b>Plattenepithelkarzinome</b>	<b>241</b>	<b>97.2</b>	<b>231</b>	<b>96.7</b>	<b>203</b>	<b>97.6</b>
8010/3: Karzinom o.n.A.	0	0.0	1	0.4	2	1.0
8012/3: Großzelliges Karzinom o.n.A.	0	0.0	1	0.4	0	0.0
8020/3: Undifferenziertes Karzinom o.n.A.	1	0.4	1	0.4	0	0.0
8041/3: Kleinzelliges Karzinom o.n.A.	1	0.4	0	0.0	1	0.5
<b>epitheliale Neoplasien o.n.A.</b>	<b>2</b>	<b>0.8</b>	<b>3</b>	<b>1.3</b>	<b>3</b>	<b>1.4</b>
8140/3: Adenokarzinom o.n.A.	0	0.0	1	0.4	0	0.0
8147/3: Basalzell-Adenokarzinom	0	0.0	1	0.4	0	0.0
8200/3: Adenoid-zystisches Karzinom	1	0.4	0	0.0	1	0.5
8230/3: Solides Karzinom o.n.A.	1	0.4	0	0.0	0	0.0
8430/3: Mukoepidermoid-Karzinom	0	0.0	1	0.4	0	0.0
8982/3: Myoepitheliales Karzinom	1	0.4	0	0.0	0	0.0
<b>Adenokarzinome</b>	<b>3</b>	<b>1.2</b>	<b>3</b>	<b>1.3</b>	<b>1</b>	<b>0.5</b>
8000/3: Maligne Neoplasie	2	0.8	2	0.8	1	0.5
<b>Nicht näher bezeichnete maligne Neoplasien</b>	<b>2</b>	<b>0.8</b>	<b>2</b>	<b>0.8</b>	<b>1</b>	<b>0.5</b>
<b>Summe</b>	<b>248</b>	<b>100.0</b>	<b>239</b>	<b>100.0</b>	<b>208</b>	<b>100.0</b>

## 6.5 Tumorgröße und Ausdehnung (TNM)

Tab. 6.5. C01, C09 - C14 ohne C14.8: Absolute Anzahl der Neuerkrankungen klassifiziert nach der Tumorgröße

Tumorgröße (T)	2019		2020		2021		Summe	
	Anzahl	%	Anzahl	%	Anzahl	%	Anzahl	%
T1	38	15.3	44	18.4	41	19.7	123	17.7
T2	79	31.9	53	22.2	50	24.0	182	26.2
T3	50	20.2	45	18.8	44	21.2	139	20.0
T4	62	25.0	88	36.8	57	27.4	207	29.8
TX	5	2.0	2	0.8	3	1.4	10	1.4
k.A.	11	4.4	4	1.7	10	4.8	25	3.6
TNM nicht anwendbar	3	1.2	3	1.3	3	1.4	9	1.3
Summe	248	100.0	239	100.0	208	100.0	695	100.0

Tab. 6.6. C01, C09 - C14 ohne C14.8: Absolute Anzahl der Neuerkrankungen mit bzw. ohne Befall der regionären Lymphknoten

N-Kategorie	2019		2020		2021		Summe	
	Anzahl	%	Anzahl	%	Anzahl	%	Anzahl	%
N0	75	30.2	74	31.0	58	27.9	207	29.8
N1	49	19.8	40	16.7	41	19.7	130	18.7
N2	75	30.2	94	39.3	67	32.2	236	34.0
N3	29	11.7	21	8.8	28	13.5	78	11.2
NX	5	2.0	2	0.8	1	0.5	8	1.2
k.A.	12	4.8	5	2.1	10	4.8	27	3.9
TNM nicht anwendbar	3	1.2	3	1.3	3	1.4	9	1.3
Summe	248	100.0	239	100.0	208	100.0	695	100.0

Tab. 6.7. C01, C09 - C14 ohne C14.8: Absolute Anzahl der Neuerkrankungen mit Fernmetastasierung

M-Kategorie	2019		2020		2021		Summe	
	Anzahl	%	Anzahl	%	Anzahl	%	Anzahl	%
M0	216	87.1	219	91.6	178	85.6	613	88.2
M1	9	3.6	10	4.2	12	5.8	31	4.5
MX/k.A.	20	8.1	7	2.9	15	7.2	42	6.0
TNM nicht anwendbar	3	1.2	3	1.3	3	1.4	9	1.3
Summe	248	100.0	239	100.0	208	100.0	695	100.0

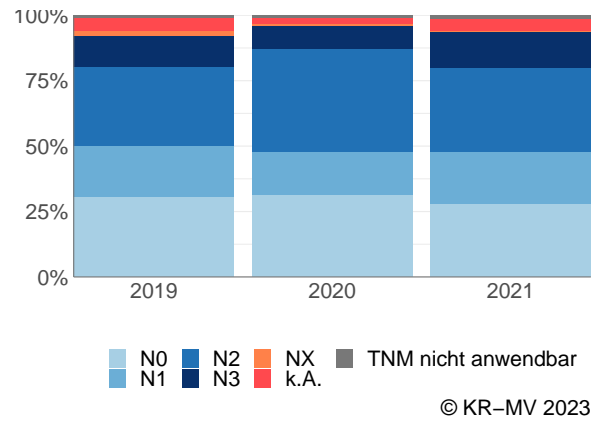
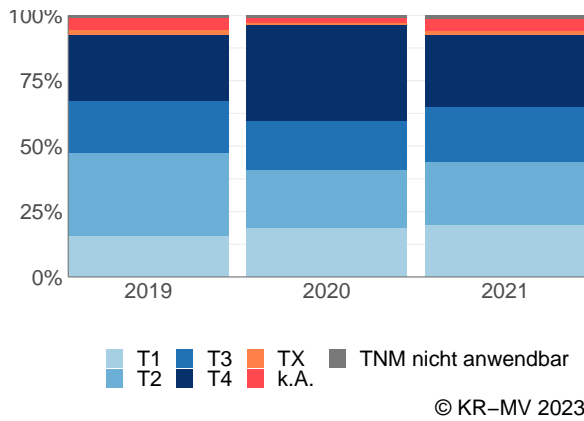


Abb. 6.4. C01, C09 - C14 ohne C14.8: Prozentualer Anteil der Neuerkrankungen nach Tumorgröße im Diagnosezeitraum 2019 bis 2021

Abb. 6.5. C01, C09 - C14 ohne C14.8: Prozentualer Anteil der Neuerkrankungen mit bzw. ohne Befall der regionären Lymphknoten im Diagnosezeitraum 2019 bis 2021

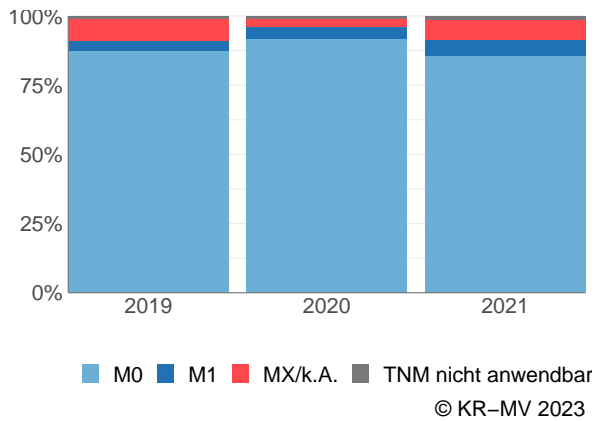


Abb. 6.6. C01, C09 - C14 ohne C14.8: Prozentualer Anteil der Neuerkrankungen mit bzw. ohne primäre Fernmetastasierung im Diagnosezeitraum 2019 bis 2021

## 6.6 Primäre Tumorstadien nach UICC

Tab. 6.8. C01, C09 - C14 ohne C14.8: Primäre UICC-Stadien

Diagnose- jahre	UICC I		UICC II		UICC III		UICC IV		Stadium unbekannt		nicht anwendbar*		Summe
	Anzahl	%	Anzahl	%	Anzahl	%	Anzahl	%	Anzahl	%	Anzahl	%	
2019	31	12.5	26	10.5	38	15.3	89	35.9	61	24.6	3	1.2	248
2020	32	13.4	29	12.1	40	16.7	100	41.8	35	14.6	3	1.3	239
2021	24	11.5	15	7.2	40	19.2	92	44.2	34	16.3	3	1.4	208
Summe	87	12.5	70	10.1	118	17.0	281	40.4	130	18.7	9	1.3	695

\* Für diese Neuerkrankungen war es nicht möglich eine TNM-Angabe (TNM Auflage 8) anzugeben.

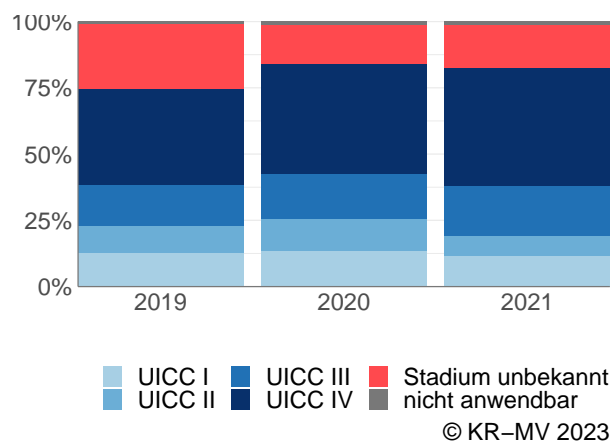


Abb. 6.7. C01, C09 - C14 ohne C14.8: Prozentuale Anteile der primären UICC-Tumorstadien in den Diagnosejahren 2019 bis 2021

## 6.7 Dokumentierte Therapie bis max. 12 Monate nach Diagnosestellung

### 6.7.1 Therapiekombinationen, Stellung der Therapie und Intention der dokumentierten Therapien

Tab. 6.9. C01, C09 - C14 ohne C14.8: Häufigkeit der tumorbezogenen Therapien

Tumorbezogene Therapien	2019	2020	2021	Summe	
				Anzahl	%
Tumorspezifische Operation	71	53	53	177	16.2
Systemische Therapie	105	103	93	301	27.5
Strahlentherapie	182	149	143	474	43.4
Keine Therapie gemeldet	43	59	39	141	12.9
<b>Summe</b>	<b>401</b>	<b>364</b>	<b>328</b>	<b>1093</b>	<b>100.0</b>

Tab. 6.10. C01, C09 - C14 ohne C14.8: Zeitraum zwischen Diagnose und Beginn der ersten Therapie nach Therapieart (Angabe in Tagen)

Tumorbezogene Therapien	Median	Minimum	Maximum
Strahlentherapie	49	2	361
Systemische Therapie	49	6	362
Tumorspezifische Operation	12	0	229

Tab. 6.11. C01, C09 - C14 ohne C14.8: Therapiekombinationen (Operation, Strahlentherapie, systemische Therapie) pro Diagnosejahr

Therapiekombination	2019	2020	2021	Summe	
				Anzahl	%
Alleinige tumorspezifische Operation	17	21	20	58	8.3
Alleinige systemische Therapie	5	5	6	16	2.3
Alleinige Strahlentherapie	54	45	35	134	19.3
Tumorspezifische Operation und systemische Therapie	1	5	0	6	0.9
Tumorspezifische Operation und Strahlentherapie	29	11	21	61	8.8
Systemische Therapie und Strahlentherapie	75	77	75	227	32.7

Tumorspezifische Operation und systemische Therapie und Strahlentherapie	24	16	12	52	7.5
Keine tumorspezifische Operation, systemische Therapie oder Strahlentherapie	43	59	39	141	20.3
Summe	248	239	208	695	100.0

Tab. 6.12. C01, C09 - C14 ohne C14.8: Therapiekombinationen (Operation, Strahlentherapie, systemische Therapie) in Abhängigkeit von dem UICC-Stadium

Therapiekombination	UICC I	UICC II	UICC III	UICC IV	Stadium unbekannt	nicht an- wendbar	Summe	
							Anzahl	%
Alleinige tumorspezifische Operation	21	11	8	9	8	1	58	8.3
Alleinige systemische Therapie	0	2	1	11	2	0	16	2.3
Alleinige Strahlentherapie	13	17	27	59	17	1	134	19.3
Tumorspezifische Operation und systemische Therapie	2	1	1	2	0	0	6	0.9
Tumorspezifische Operation und Strahlentherapie	15	5	17	12	12	0	61	8.8
Systemische Therapie und Strahlentherapie	12	19	33	118	44	1	227	32.7
Tumorspezifische Operation und systemische Therapie und Strahlentherapie	4	3	11	23	11	0	52	7.5
Keine tumorspezifische Operation, systemische Therapie oder Strahlentherapie	20	12	20	47	36	6	141	20.3
Summe	87	70	118	281	130	9	695	100.0

Tab. 6.13. C01, C09 - C14 ohne C14.8: Stellung der Strahlentherapie zur operativen Therapie im ersten Jahr der Erkrankung (adjuvant/neoadjuvant)

Stellung der Strahlentherapie zur operativen Therapie	2019	2020	2021	Summe	
				Anzahl	%
Adjuvante (postoperative) Strahlentherapie	48	26	30	104	92.0
Neoadjuvante (präoperative) Strahlentherapie	1	0	0	1	0.9
Therapie ohne Bezug zu einer operativen Therapie	4	1	3	8	7.1
Summe	53	27	33	113	100.0

Tab. 6.14. C01, C09 - C14 ohne C14.8: Stellung der systemischen Therapie zur operativen Therapie im ersten Jahr der Erkrankung (adjuvant/neoadjuvant)

Stellung der systemischen Therapie zur operativen Therapie	2019	2020	2021	Summe	
				Anzahl	%
Adjuvante (postoperative) Therapie	21	18	10	49	84.5
Therapie ohne Bezug zu einer operativen Therapie	4	3	2	9	15.5
Summe	25	21	12	58	100.0

Tab. 6.15. C01, C09 - C14 ohne C14.8: Intention bei der ersten Operation

Intention der Operation	2019	2020	2021	Summe	
				Anzahl	%
Kurativ	70	52	50	172	97.2
Diagnostisch	1	1	3	5	2.8
Summe	71	53	53	177	100.0

Tab. 6.16. C01, C09 - C14 ohne C14.8: Intention bei der initialen Bestrahlung

Intention der Bestrahlung	2019	2020	2021	Summe	
				Anzahl	%
Kurativ	165	135	134	434	91.6
Palliativ bzw. symptomatisch	16	14	9	39	8.2
Sonstige/Unbekannt/Keine Angabe	1	0	0	1	0.2
Summe	182	149	143	474	100.0

Tab. 6.17. C01, C09 - C14 ohne C14.8: Intention bei der ersten systemischen Therapie

Intention der systemischen Therapie	2019	2020	2021	Summe	
				Anzahl	%
Kurativ	94	86	78	258	85.7
Palliativ bzw. symptomatisch	11	16	14	41	13.6
Sonstige/Unbekannt/Keine Angabe	0	1	1	2	0.7
Summe	105	103	93	301	100.0

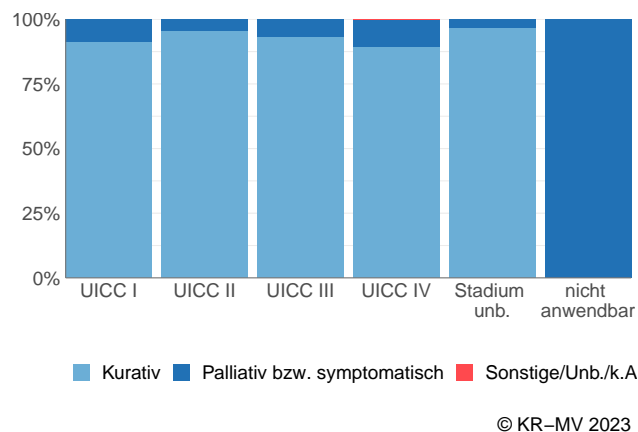
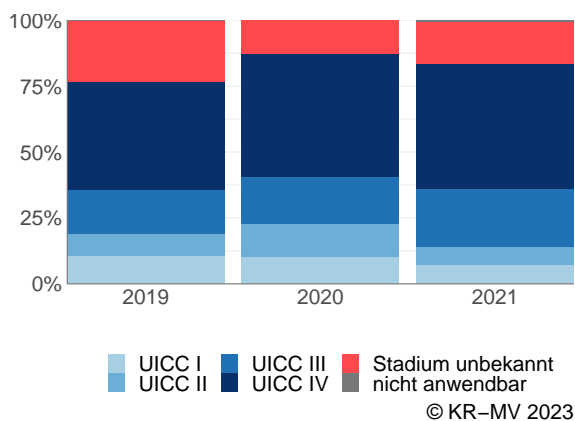


Abb. 6.8. C01, C09 - C14 ohne C14.8: Prozentuale Verteilung der UICC-Stadien bei allen in den Jahren 2019 bis 2021 bestrahlten Neuerkrankungen

Abb. 6.9. C01, C09 - C14 ohne C14.8: Intention der ersten Bestrahlung nach UICC-Klassifikation

## 6.7.2 Dokumentierte tumorspezifische Operation bis max. 12 Monate nach Diagnosestellung

Tab. 6.18. C01, C09 - C14 ohne C14.8: Dokumentierte tumorspezifische Operation nach UICC

Operation	UICC I	UICC II	UICC III	UICC IV	Stadium unbekannt	nicht an- wendbar	Summe	
							Anzahl	%
5-281: Tonsillektomie (ohne Adenotomie)	23	11	14	18	17	0	83	46.9
5-295: Partielle Resektion des Pharynx [Pharynxteilresektion]	5	2	9	12	5	0	33	18.6
5-292: Exzision und Destruktion von erkranktem Gewebe des Pharynx	4	2	5	6	3	0	20	11.3
5-296: Radikale Resektion des Pharynx [Pharyngektomie]	1	1	1	5	2	1	11	6.2
5-251: Partielle Glossektomie	1	1	4	3	0	0	9	5.1
5-289: Andere Operationen an Gaumen- und Rachenmandeln	2	1	2	1	2	0	8	4.5
5-250: Inzision, Exzision und Destruktion von erkranktem Gewebe der Zunge	3	1	0	0	1	0	5	2.8
5-252: Glossektomie	2	1	1	0	0	0	4	2.3
5-282: Tonsillektomie mit Adenotomie	1	0	0	0	1	0	2	1.1
5-284: Exzision und Destruktion einer Zungengrundtonsille	0	0	1	1	0	0	2	1.1
Summe	42	20	37	46	31	1	177	100.0

Tab. 6.19. C01, C09 - C14 ohne C14.8: Residualklassifikation nach Tumorresektion bei Neuerkrankungen in den UICC-Stadien I-IV

R-Klassifikation	UICC I	UICC II	UICC III	UICC IV	Stadium unbekannt	nicht an- wendbar	Summe	
							Anzahl	%
R0 (kein Residualtumor)	26	16	26	27	20	1	116	65.5
R1 (mikroskopischer Residualtumor)	11	2	6	12	4	0	35	19.8
R2 (makroskopischer Residualtumor)	0	0	1	2	1	0	4	2.3
RX (Vorhandensein eines Residualtumors kann nicht beurteilt werden)	2	1	2	3	3	0	11	6.2
keine Angabe	0	0	0	0	1	0	1	0.6
keine R-Klassifikation zu erwarten	3	1	2	2	2	0	10	5.6
Summe	42	20	37	46	31	1	177	100.0

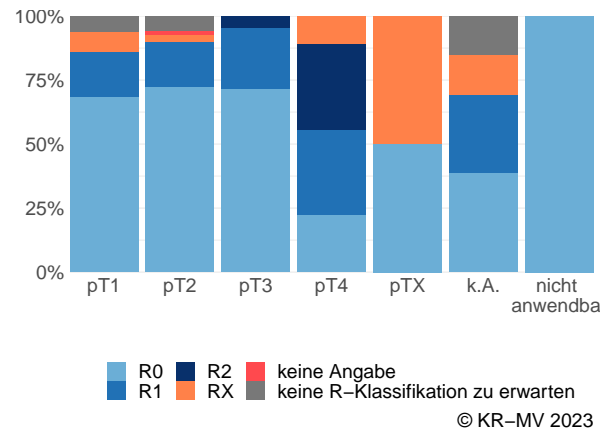
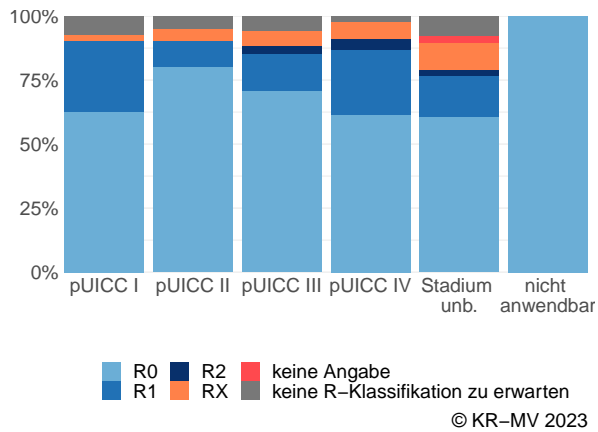
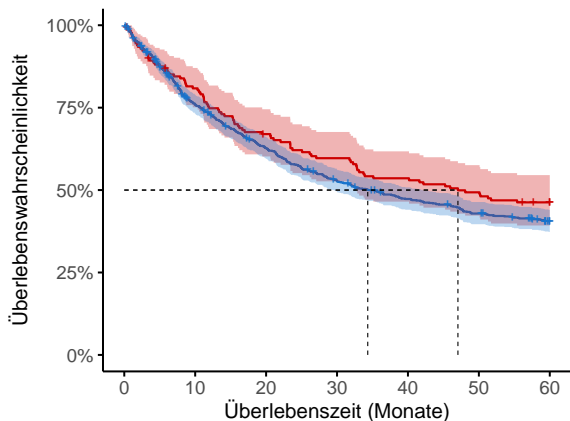


Abb. 6.10. C01, C09 - C14 ohne C14.8: R-Klassifikation nach tumorspezifischer Resektion bei Neuerkrankungen in pUICC Stadien I-IV

Abb. 6.11. C01, C09 - C14 ohne C14.8: R-Klassifikation nach tumorspezifischer Resektion bei Neuerkrankungen mit Tumoren unterschiedlicher pT-Kategorie

### 6.8 Überlebensanalysen (Kaplan-Meier) bei den in den Jahren 2013-2017 primär diagnostizierten Patienten (Wohnort und Behandlung in M-V)

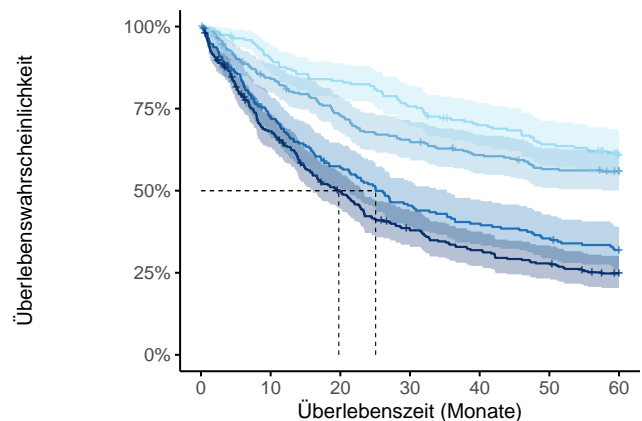


Anzahl der Neuerkrankungen unter Beobachtung

Frauen	169	134	110	98	88	81	73
Männer	865	638	521	435	386	349	317

© KR-MV 2023

Abb. 6.12. C01, C09 - C14 ohne C14.8: Wahrscheinlichkeit des Überlebens (Kaplan-Meier) nach Geschlecht bei Diagnosestellung in den Jahren 2013-2017.\*



Anzahl der Neuerkrankungen unter Beobachtung

T1	196	174	161	146	132	121	109
T2	265	219	189	169	156	144	138
T3	208	146	114	91	80	71	63
T4	326	214	152	113	95	83	69
TX	3	1	1	1	1	1	1
k.A.	24	13	9	9	6	6	6
nicht anwendbar	12	5	5	4	4	4	4

© KR-MV 2023

Abb. 6.13. C01, C09 - C14 ohne C14.8: Wahrscheinlichkeit des Überlebens (Kaplan-Meier) nach Tumorgöße bei Diagnosestellung in den Jahren 2013-2017.\*

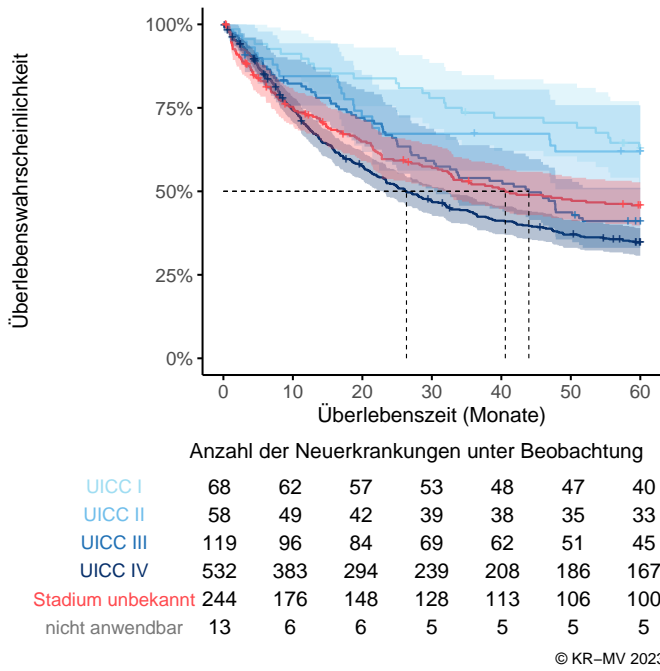


Abb. 6.14. C01, C09 - C14 ohne C14.8: Wahrscheinlichkeit des Überlebens (Kaplan-Meier) nach UICC bei Diagnosestellung in den Jahren 2013-2017.\*

\*Die 50%-Überlebensraten sind dort, wo sie bestimmbar sind, graphisch dargestellt. Zusätzlich erfolgt pro Überlebenskurve die Darstellung des 95%-Konfidenzintervalls. Kaplan-Meier Kurven werden für Kategorien mit weniger als 30 Neuerkrankungen nicht dargestellt.

# 7 Magen C16

## 7.1 Consort-Statement: Darstellung der Auswertepopulation

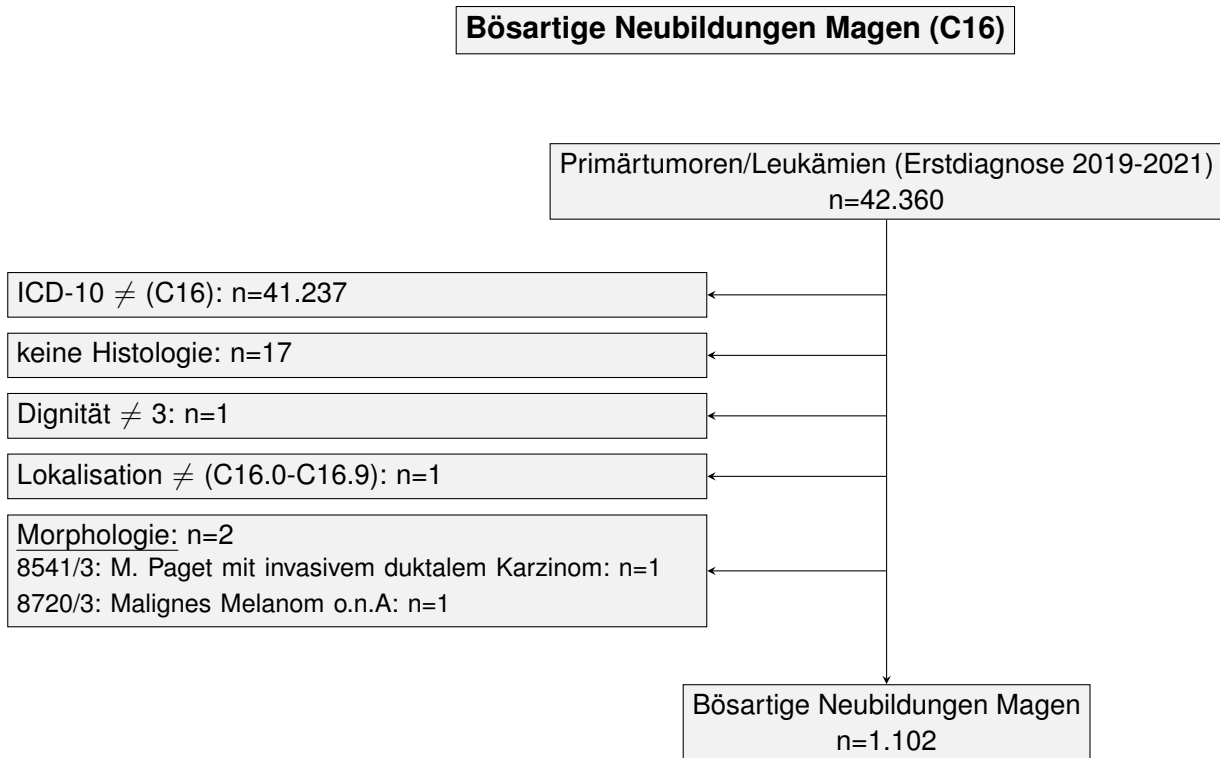
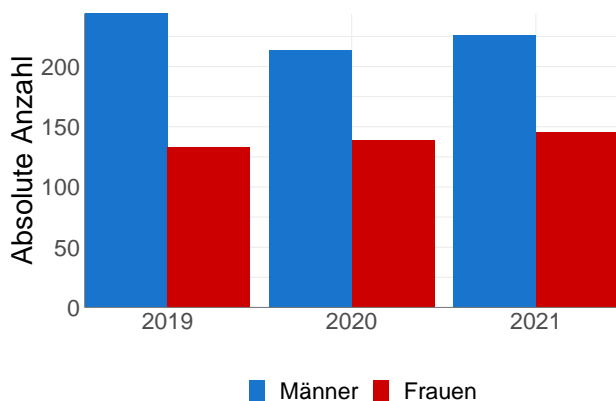


Abb. 7.1. Consort zu den bösartigen Neubildungen des Magens

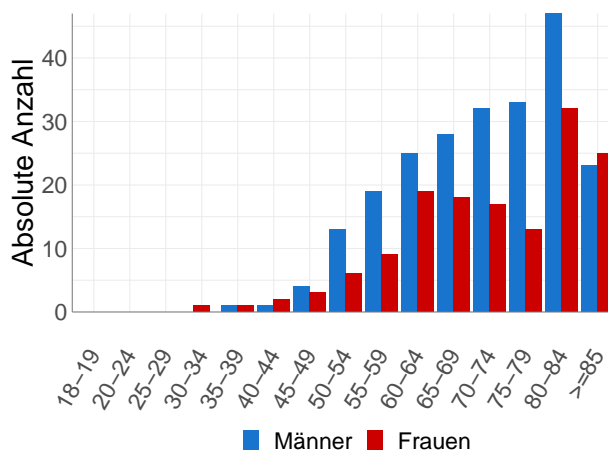
## 7.2 Absolute Anzahl der erfassten Neuerkrankungen in M-V in den Jahren 2019-2021 nach Geschlecht und Alter

Tab. 7.1. C16: Absolute Anzahl der Neuerkrankungen nach Geschlecht

Geschlecht	Männer		Frauen		Summe
	Anzahl	%	Anzahl	%	
2019	244	64.7	133	35.3	377
2020	214	60.6	139	39.4	353
2021	226	60.8	146	39.2	372
Summe	684	62.1	418	37.9	1102



© KR-MV 2023



© KR-MV 2023

Abb. 7.2. C16: Absolute Anzahl der Neuerkrankungen nach Geschlecht

Abb. 7.3. C16: Absolute Anzahl der Neuerkrankungen aufgelistet in 5-Jahres-Altersgruppen und nach Geschlecht für das Diagnosejahr 2021

Tab. 7.2. C16: Erkrankungsalter

Diagnosejahre	Männer				Frauen			
	Anzahl	Median	Minimum	Maximum	Anzahl	Median	Minimum	Maximum
2019	244	69	37	94	133	76	33	97
2020	214	70	46	95	139	75	34	99
2021	226	73	38	93	146	74	30	94

### 7.3 Absolute Anzahl der erfassten Neuerkrankungen in M-V in den Jahren 2019-2021 nach Lokalisation

Tab. 7.3. C16: Absolute Anzahl und prozentualer Anteil der Neuerkrankungen nach der Lokalisation

Lokalisationen	2019	2020	2021	Summe	
				Anzahl	%
Kardia (ösophago-kardialer Übergang) (ICD-O: C16.0)	71	83	91	245	22.2
Fundus (ICD-O: C16.1)	17	9	18	44	4.0
Fundus (kleine Krümmung) (ICD-O: C16.11)	2	1	0	3	0.3
Fundus (Vorderwand) (ICD-O: C16.12)	1	0	0	1	0.1
Fundus (Hinterwand) (ICD-O: C16.14)	1	2	0	3	0.3
Korpus (ICD-O: C16.2)	68	94	95	257	23.3
Korpus (kleine Krümmung) (ICD-O: C16.21)	6	3	0	9	0.8
Korpus (Vorderwand) (ICD-O: C16.22)	8	2	0	10	0.9
Korpus (große Krümmung) (ICD-O: C16.23)	8	5	0	13	1.2
Korpus (Hinterwand) (ICD-O: C16.24)	8	4	1	13	1.2
Antrum (ICD-O: C16.3)	68	67	73	208	18.9
Antrum (kleine Krümmung, Angulus) (ICD-O: C16.31)	8	6	0	14	1.3
Antrum (Vorderwand) (ICD-O: C16.32)	4	0	2	6	0.5
Antrum (große Krümmung) (ICD-O: C16.33)	1	1	0	2	0.2
Antrum (Hinterwand) (ICD-O: C16.34)	2	1	0	3	0.3
Pylorus (ICD-O: C16.4)	15	10	10	35	3.2
Pylorus (Hinterwand) (ICD-O: C16.44)	1	0	0	1	0.1
Kleine Krümmung o.n.A. (ICD-O: C16.5)	6	7	4	17	1.5
Große Krümmung o.n.A. (ICD-O: C16.6)	5	4	2	11	1.0

Magen (mehrere Teilbereiche überlappend) (ICD-O: C16.8)	27	16	25	68	6.2
Magen o.n.A. (ICD-O: C16.9)	50	38	51	139	12.6
Summe	377	353	372	1102	100.0

## 7.4 Histologische Befunde bei allen neuerkrankten Patienten in M-V in den Jahren 2019-2021

Tab. 7.4. C16: Histologische Befunde bei neuerkrankten Patienten

	2019		2020		2021	
	Anzahl	%	Anzahl	%	Anzahl	%
8140/3: Adenokarzinom o.n.A.	152	40.3	143	40.5	157	42.2
8144/3: Adenokarzinom vom intestinalen Typ	15	4.0	24	6.8	11	3.0
8145/3: Diffuses Karzinom	9	2.4	7	2.0	4	1.1
8211/3: Tubuläres Adenokarzinom	52	13.8	50	14.2	62	16.7
8230/3: Solides Karzinom o.n.A.	1	0.3	0	0.0	0	0.0
8245/3: Adenokarzinoidtumor	1	0.3	0	0.0	0	0.0
8255/3: Adenokarzinom mit gemischten Subtypen	11	2.9	10	2.8	3	0.8
8260/3: Papilläres Adenokarzinom o.n.A.	3	0.8	1	0.3	1	0.3
8323/3: Gemischtzelliges Adenokarzinom	1	0.3	0	0.0	0	0.0
8340/3: Papilläres Karzinom, follikuläre Variante	0	0.0	1	0.3	0	0.0
8430/3: Mukoepidermoid-Karzinom	0	0.0	1	0.3	0	0.0
8480/3: Muzinöses Adenokarzinom	6	1.6	4	1.1	3	0.8
8481/3: Schleimbildendes Adenokarzinom	0	0.0	5	1.4	0	0.0
Schleimbildendes Karzinom						
8490/3: Siegelringzellkarzinom	72	19.1	51	14.4	70	18.8
8512/3: Medulläres Karzinom mit lymphoidem Stroma	1	0.3	1	0.3	1	0.3
8560/3: Adenosquamöses Karzinom	0	0.0	0	0.0	1	0.3
8574/3: Adenokarzinom mit neuroendokriner Differenzierung	1	0.3	0	0.0	0	0.0
<b>Adenokarzinome</b>	<b>325</b>	<b>86.2</b>	<b>298</b>	<b>84.4</b>	<b>313</b>	<b>84.1</b>
8936/3: Gastrointestinaler Stromatumor	25	6.6	22	6.2	26	7.0
<b>GIST</b>	<b>25</b>	<b>6.6</b>	<b>22</b>	<b>6.2</b>	<b>26</b>	<b>7.0</b>
8013/3: Großzelliges neuroendokrines Karzinom	0	0.0	2	0.6	0	0.0
8240/3: Neuroendokriner Tumor o.n.A.	11	2.9	15	4.2	13	3.5
8242/3: Maligner Enterochromaffin-like-cell-Tumor	0	0.0	1	0.3	0	0.0
8246/3: Neuroendokrines Karzinom o.n.A.	2	0.5	1	0.3	6	1.6
8249/3: Neuroendokriner Tumor, Grad 2	2	0.5	1	0.3	2	0.5
<b>NET/NEC</b>	<b>15</b>	<b>4.0</b>	<b>20</b>	<b>5.7</b>	<b>21</b>	<b>5.6</b>
8000/3: Maligne Neoplasie	2	0.5	1	0.3	5	1.3
8004/3: Spindelzelliger maligner Tumor	1	0.3	0	0.0	1	0.3
<b>Nicht näher bezeichnete maligne Neoplasien</b>	<b>3</b>	<b>0.8</b>	<b>1</b>	<b>0.3</b>	<b>6</b>	<b>1.6</b>
8010/3: Karzinom o.n.A.	2	0.5	4	1.1	1	0.3
8012/3: Großzelliges Karzinom o.n.A.	0	0.0	0	0.0	1	0.3
8020/3: Undifferenziertes Karzinom o.n.A.	2	0.5	3	0.8	1	0.3
8041/3: Kleinzelliges Karzinom o.n.A.	1	0.3	0	0.0	0	0.0
<b>epitheliale Neoplasien ohne nähere Angaben</b>	<b>5</b>	<b>1.3</b>	<b>7</b>	<b>2.0</b>	<b>3</b>	<b>0.8</b>
8070/3: Plattenepithelkarzinom o.n.A.	2	0.5	3	0.8	3	0.8
8072/3: Großzelliges nichtverhornendes Plattenepithelkarzinom o.n.A.	0	0.0	1	0.3	0	0.0
8083/3: Basaloides Plattenepithelkarzinom	0	0.0	1	0.3	0	0.0
<b>Plattenepithelkarzinome</b>	<b>2</b>	<b>0.5</b>	<b>5</b>	<b>1.4</b>	<b>3</b>	<b>0.8</b>
8901/3: Adultes pleomorphes Rhabdomyosarkom	1	0.3	0	0.0	0	0.0
9120/3: Hämangiosarkom	1	0.3	0	0.0	0	0.0
<b>Sarkome</b>	<b>2</b>	<b>0.5</b>	<b>0</b>	<b>0.0</b>	<b>0</b>	<b>0.0</b>
<b>Summe</b>	<b>377</b>	<b>100.0</b>	<b>353</b>	<b>100.0</b>	<b>372</b>	<b>100.0</b>

## 7.5 Tumorgröße und Ausdehnung (TNM)

Tab. 7.5. C16: Absolute Anzahl der Neuerkrankungen klassifiziert nach der Tumorgröße

Tumorgröße (T)	2019		2020		2021		Summe	
	Anzahl	%	Anzahl	%	Anzahl	%	Anzahl	%
T1	73	19.4	69	19.5	64	17.2	206	18.7
T2	37	9.8	42	11.9	52	14.0	131	11.9
T3	108	28.6	87	24.6	94	25.3	289	26.2
T4	69	18.3	57	16.1	74	19.9	200	18.1
TX	32	8.5	58	16.4	45	12.1	135	12.3
k.A.	52	13.8	37	10.5	36	9.7	125	11.3
TNM nicht anwendbar	6	1.6	3	0.8	7	1.9	16	1.5
Summe	377	100.0	353	100.0	372	100.0	1102	100.0

Tab. 7.6. C16: Absolute Anzahl der Neuerkrankungen mit bzw. ohne Befall der regionären Lymphknoten

N-Kategorie	2019		2020		2021		Summe	
	Anzahl	%	Anzahl	%	Anzahl	%	Anzahl	%
N0	152	40.3	139	39.4	134	36.0	425	38.6
N1	79	21.0	62	17.6	76	20.4	217	19.7
N2	35	9.3	34	9.6	41	11.0	110	10.0
N3	24	6.4	32	9.1	37	9.9	93	8.4
NX	26	6.9	42	11.9	35	9.4	103	9.3
k.A.	55	14.6	41	11.6	42	11.3	138	12.5
TNM nicht anwendbar	6	1.6	3	0.8	7	1.9	16	1.5
Summe	377	100.0	353	100.0	372	100.0	1102	100.0

Tab. 7.7. C16: Absolute Anzahl der Neuerkrankungen mit Fernmetastasierung

M-Kategorie	2019		2020		2021		Summe	
	Anzahl	%	Anzahl	%	Anzahl	%	Anzahl	%
M0	225	59.7	189	53.5	202	54.3	616	55.9
M1	80	21.2	106	30.0	112	30.1	298	27.0
MX/k.A.	66	17.5	55	15.6	51	13.7	172	15.6
TNM nicht anwendbar	6	1.6	3	0.8	7	1.9	16	1.5
Summe	377	100.0	353	100.0	372	100.0	1102	100.0

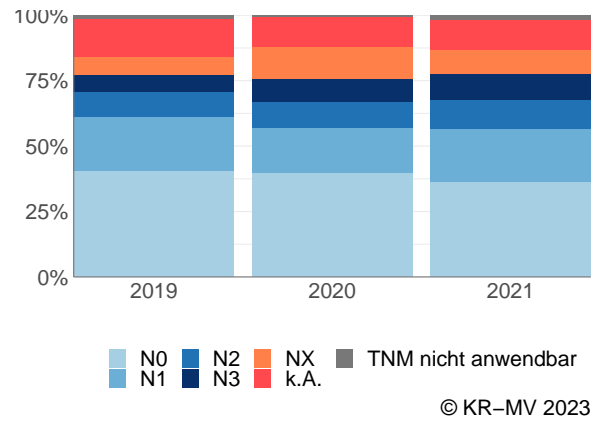
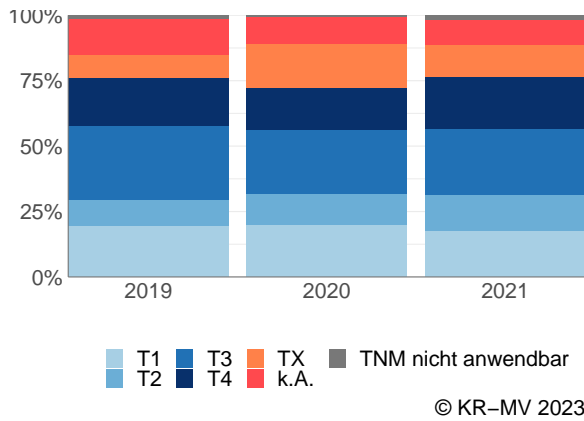


Abb. 7.4. C16: Prozentualer Anteil der Neuerkrankungen nach Tumorgöße im Diagnosezeitraum 2019 bis 2021

Abb. 7.5. C16: Prozentualer Anteil der Neuerkrankungen mit bzw. ohne Befall der regionären Lymphknoten im Diagnosezeitraum 2019 bis 2021

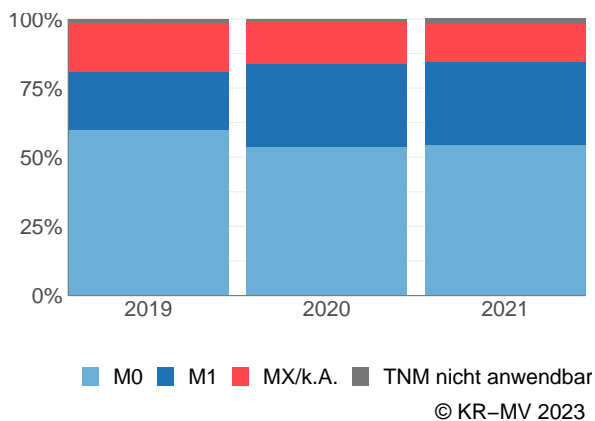


Abb. 7.6. C16: Prozentualer Anteil der Neuerkrankungen mit bzw. ohne primäre Fernmetastasierung im Diagnosezeitraum 2019 bis 2021

## 7.6 Primäre Tumorstadien nach UICC

Tab. 7.8. C16: Primäre UICC-Stadien

Diagnose- jahre	UICC I		UICC II		UICC III		UICC IV		Stadium unbekannt		nicht anwendbar*		Summe
	Anzahl	%	Anzahl	%	Anzahl	%	Anzahl	%	Anzahl	%	Anzahl	%	
2019	76	20.2	65	17.2	68	18.0	84	22.3	78	20.7	6	1.6	377
2020	71	20.1	40	11.3	60	17.0	110	31.2	69	19.5	3	0.8	353
2021	66	17.7	49	13.2	73	19.6	115	30.9	62	16.7	7	1.9	372
Summe	213	19.3	154	14.0	201	18.2	309	28.0	209	19.0	16	1.5	1102

\* Für diese Neuerkrankungen war es nicht möglich eine TNM-Angabe (TNM Auflage 8) anzugeben.

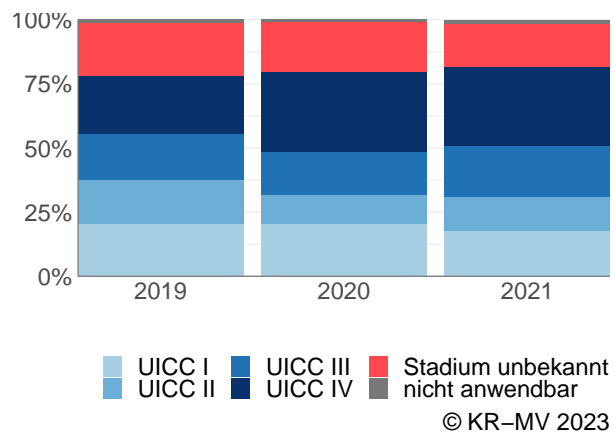
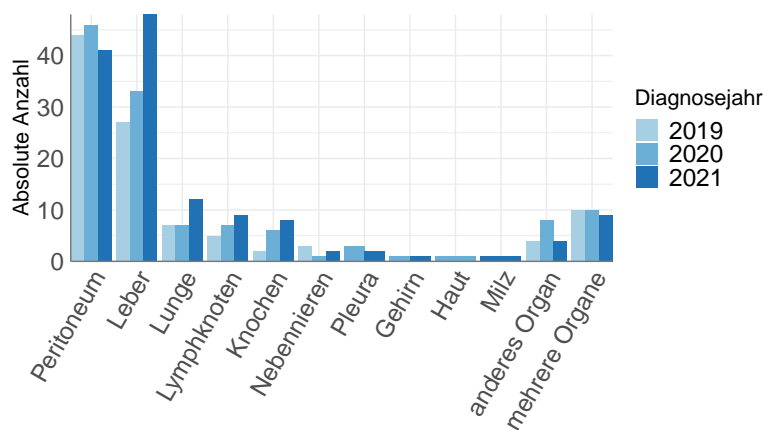


Abb. 7.7. C16: Prozentuale Anteile der primären UICC-Tumorstadien in den Diagnosejahren 2019 bis 2021

## 7.7 Lokalisation der primären Fernmetastasen



© KR-MV 2023

Abb. 7.8. C16: Lokalisation der primären Fernmetastasen bei Neuerkrankungen im Diagnosezeitraum 2019 bis 2021

## 7.8 Dokumentierte Therapie bis max. 12 Monate nach Diagnosestellung

### 7.8.1 Therapiekombinationen, Stellung der Therapie und Intention der dokumentierten Therapien

Tab. 7.9. C16: Häufigkeit der tumorbezogenen Therapien

Tumorbezogene Therapien	2019	2020	2021	Summe	
				Anzahl	%
Tumorspezifische Operation	185	174	178	537	39.7
Systemische Therapie	137	125	125	387	28.6
Strahlentherapie	11	7	16	34	2.5
Keine Therapie gemeldet	127	132	135	394	29.1
Summe	460	438	454	1352	100.0

Tab. 7.10. C16: Zeitraum zwischen Diagnose und Beginn der ersten Therapie nach Therapieart (Angabe in Tagen)

Tumorbezogene Therapien	Median	Minimum	Maximum
Strahlentherapie	40.5	11	361
Systemische Therapie	31.0	2	238
Tumorspezifische Operation	36.0	0	351

Tab. 7.11. C16: Therapiekombinationen (Operation, Strahlentherapie, systemische Therapie) pro Diagnosejahr

Therapiekombination	2019	2020	2021	Summe	
				Anzahl	%
Alleinige tumorspezifische Operation	110	94	106	310	28.1
Alleinige systemische Therapie	59	44	50	153	13.9
Alleinige Strahlentherapie	3	2	4	9	0.8
Tumorspezifische Operation und systemische Therapie	70	76	65	211	19.1
Tumorspezifische Operation und Strahlentherapie	0	0	2	2	0.2
Systemische Therapie und Strahlentherapie	3	1	5	9	0.8
Tumorspezifische Operation und systemische Therapie und Strahlentherapie	5	4	5	14	1.3
Keine tumorspezifische Operation, systemische Therapie oder Strahlentherapie	127	132	135	394	35.8
Summe	377	353	372	1102	100.0

Tab. 7.12. C16: Therapiekombinationen (Operation, Strahlentherapie, systemische Therapie) in Abhängigkeit von dem UICC-Stadium

Therapiekombination	UICC				Stadium unbekannt	nicht anwendbar	Summe	
	I	II	III	IV			Anzahl	%
Alleinige tumorspezifische Operation	130	62	58	22	35	3	310	28.1
Alleinige systemische Therapie	5	7	16	105	16	4	153	13.9
Alleinige Strahlentherapie	1	2	1	5	0	0	9	0.8
Tumorspezifische Operation und systemische Therapie	12	45	94	37	21	2	211	19.1
Tumorspezifische Operation und Strahlentherapie	0	1	0	0	1	0	2	0.2
Systemische Therapie und Strahlentherapie	0	1	1	7	0	0	9	0.8
Tumorspezifische Operation und systemische Therapie und Strahlentherapie	1	4	5	3	1	0	14	1.3
Keine tumorspezifische Operation, systemische Therapie oder Strahlentherapie	64	32	26	130	135	7	394	35.8
Summe	213	154	201	309	209	16	1102	100.0

Tab. 7.13. C16: Stellung der Strahlentherapie zur operativen Therapie im ersten Jahr der Erkrankung (adjuvant/neoadjuvant)

Stellung der Strahlentherapie zur operativen Therapie	2019	2020	2021	Summe	
				Anzahl	%
Neoadjuvante (präoperative) Strahlentherapie	4	2	4	10	62.5
Therapie ohne Bezug zu einer operativen Therapie	0	0	2	2	12.5
Adjuvante (postoperative) Strahlentherapie	1	2	1	4	25.0
Summe	5	4	7	16	100.0

Tab. 7.14. C16: Stellung der systemischen Therapie zur operativen Therapie im ersten Jahr der Erkrankung (adjuvant/neoadjuvant)

Stellung der systemischen Therapie zur operativen Therapie	2019	2020	2021	Summe	
				Anzahl	%
Neoadjuvante (präoperative) Therapie	52	56	44	152	67.6
Therapie ohne Bezug zu einer operativen Therapie	9	10	10	29	12.9
Adjuvante (postoperative) Therapie	13	14	15	42	18.7
Intraoperative Therapie	1	0	0	1	0.4
Sonstige/Keine Angabe	0	0	1	1	0.4
Summe	75	80	70	225	100.0

Tab. 7.15. C16: Intention bei der ersten Operation

Intention der Operation	2019	2020	2021	Summe	
				Anzahl	%
Kurativ	169	159	162	490	91.2
Palliativ bzw. symptomatisch	6	11	14	31	5.8
Diagnostisch	2	0	0	2	0.4
Sonstige/Unbekannt/Keine Angabe	8	4	2	14	2.6
Summe	185	174	178	537	100.0

Tab. 7.16. C16: Intention bei der initialen Bestrahlung

Intention der Bestrahlung	2019	2020	2021	Summe	
				Anzahl	%
Palliativ bzw. symptomatisch	4	2	8	14	41.2
Kurativ	7	5	8	20	58.8
Summe	11	7	16	34	100.0

Tab. 7.17. C16: Intention bei der ersten systemischen Therapie

Intention der systemischen Therapie	2019	2020	2021	Summe	
				Anzahl	%
Palliativ bzw. symptomatisch	55	45	60	160	41.3
Kurativ	82	78	65	225	58.1
Sonstige/Unbekannt/Keine Angabe	0	2	0	2	0.5
Summe	137	125	125	387	100.0

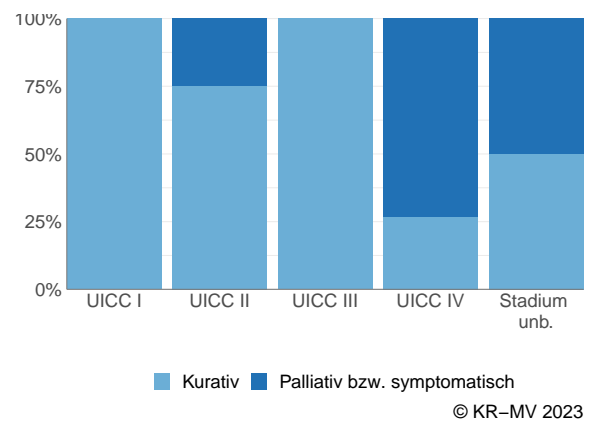
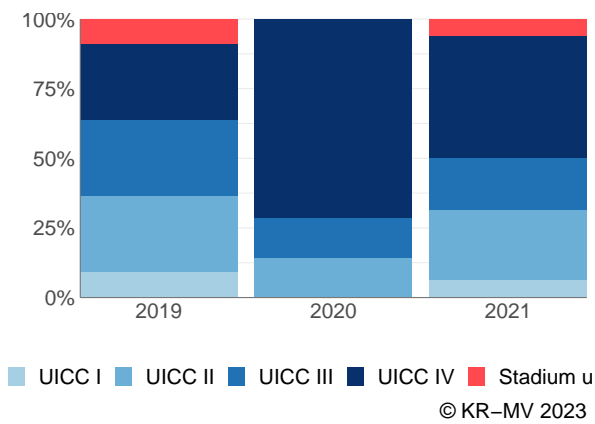


Abb. 7.9. C16: Prozentuale Verteilung der UICC-Stadien bei allen in den Jahren 2019 bis 2021 bestrahlten Neuerkrankungen

Abb. 7.10. C16: Intention der ersten Bestrahlung nach UICC-Klassifikation

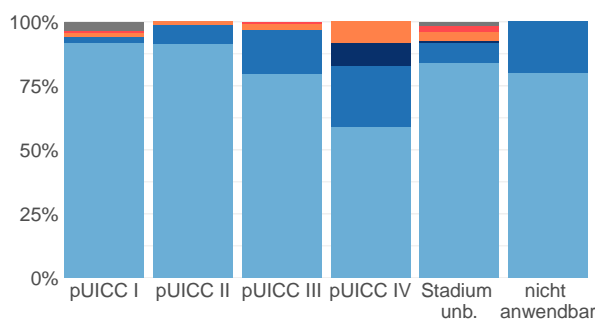
### 7.8.2 Dokumentierte tumorspezifische Operation bis max. 12 Monate nach Diagnosestellung

Tab. 7.18. C16: Dokumentierte tumorspezifische Operation nach UICC

Operation	UICC I	UICC II	UICC III	UICC IV	Stadium unbekannt	nicht anwendbar	Summe	
							Anzahl	%
5-437: (Totale) Gastrektomie	42	58	74	38	21	2	235	43.8
5-436: Subtotale Magenresektion (4/5-Resektion)	35	25	21	4	6	0	91	16.9
5-433: Lokale Exzision und Destruktion von erkranktem Gewebe des Magens	23	5	4	1	16	0	49	9.1
5-434: Atypische partielle Magenresektion	25	6	8	1	2	0	42	7.8
5-426: (Totale) Ösophagektomie mit Wiederherstellung der Kontinuität	1	8	15	1	5	0	30	5.6
5-435: Partielle Magenresektion (2/3-Resektion)	9	3	10	6	1	1	30	5.6
5-438: (Totale) Gastrektomie mit Ösophagusresektion	2	2	11	8	3	2	28	5.2
5-424: Partielle Ösophagusresektion mit Wiederherstellung der Kontinuität	3	5	13	3	2	0	26	4.8
5-422: Lokale Exzision und Destruktion von erkranktem Gewebe des Ösophagus	2	0	0	0	1	0	3	0.6
5-439: Andere Inzision, Exzision und Resektion am Magen	1	0	0	0	1	0	2	0.4
5-425: (Totale) Ösophagektomie ohne Wiederherstellung der Kontinuität	0	0	1	0	0	0	1	0.2
<b>Summe</b>	<b>143</b>	<b>112</b>	<b>157</b>	<b>62</b>	<b>58</b>	<b>5</b>	<b>537</b>	<b>100.0</b>

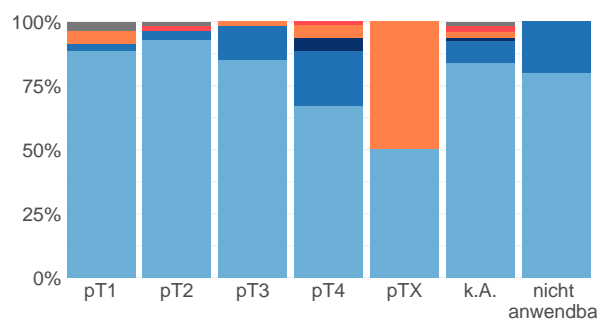
Tab. 7.19. C16: Residualklassifikation nach Tumorresektion bei Neuerkrankungen in den UICC-Stadien I-IV

R-Klassifikation	UICC I	UICC II	UICC III	UICC IV	Stadium unbekannt	nicht an- wendbar	Summe	
							Anzahl	%
R0 (kein Residualtumor)	131	102	129	38	43	4	447	83.2
R1 (mikroskopischer Residualtumor)	4	8	22	14	5	1	54	10.1
R2 (makroskopischer Residualtumor)	0	0	1	5	0	0	6	1.1
RX (Vorhandensein eines Residualtumors kann nicht beurteilt werden)	2	1	4	5	4	0	16	3.0
keine Angabe	1	1	1	0	3	0	6	1.1
keine R-Klassifikation zu erwarten	5	0	0	0	3	0	8	1.5
<b>Summe</b>	<b>143</b>	<b>112</b>	<b>157</b>	<b>62</b>	<b>58</b>	<b>5</b>	<b>537</b>	<b>100.0</b>



© KR-MV 2023

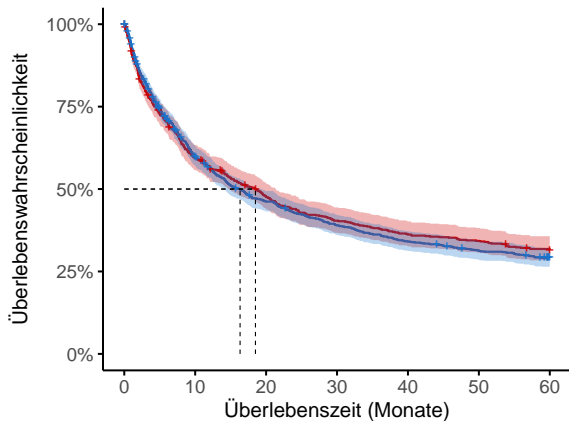
Abb. 7.11. C16: R-Klassifikation nach tumorspezifischer Resektion bei Neuerkrankungen in pUICC Stadien I-IV



© KR-MV 2023

Abb. 7.12. C16: R-Klassifikation nach tumorspezifischer Resektion bei Neuerkrankungen mit Tumoren unterschiedlicher pT-Kategorie

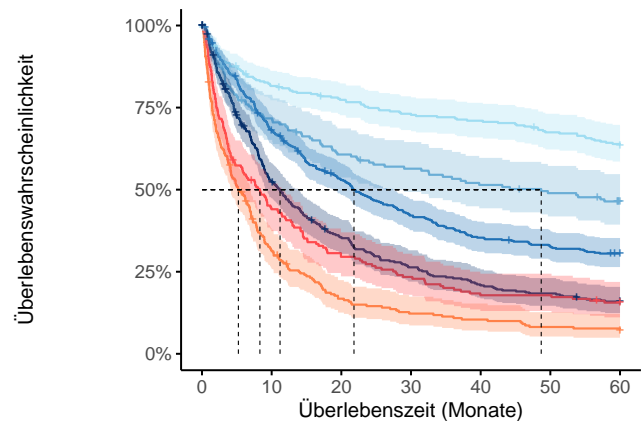
## 7.9 Überlebensanalysen (Kaplan-Meier) bei den in den Jahren 2013-2017 primär diagnostizierten Patienten (Wohnort und Behandlung in M-V)



Anzahl der Neuerkrankungen unter Beobachtung

Frauen	640	375	295	250	224	212	193
Männer	1026	596	454	382	334	304	277

© KR-MV 2023



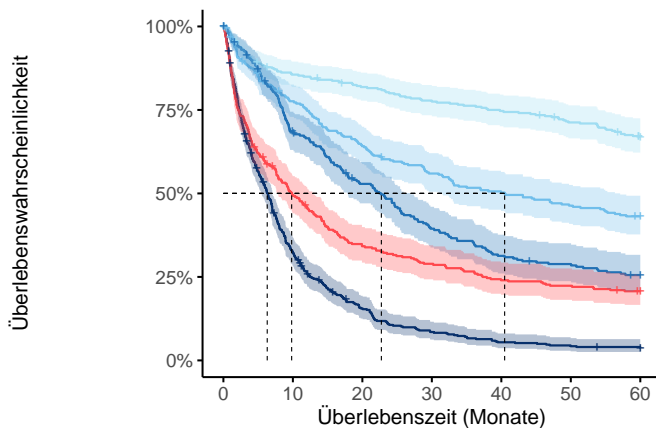
Anzahl der Neuerkrankungen unter Beobachtung

T1	290	233	219	206	201	190	179
T2	167	118	99	91	83	78	70
T3	432	289	220	175	147	135	124
T4	347	175	116	86	68	60	51
TX	237	71	37	27	23	18	16
k.A.	183	79	53	42	32	32	27
nicht anwendbar	10	6	5	5	4	3	3

© KR-MV 2023

Abb. 7.13. C16: Wahrscheinlichkeit des Überlebens (Kaplan-Meier) nach Geschlecht bei Diagnosestellung in den Jahren 2013-2017.\*

Abb. 7.14. C16: Wahrscheinlichkeit des Überlebens (Kaplan-Meier) nach Tumorgroße bei Diagnosestellung in den Jahren 2013-2017.\*



Anzahl der Neuerkrankungen unter Beobachtung

UICC I	328	277	263	249	240	227	210
UICC II	291	219	181	157	141	130	120
UICC III	259	172	130	97	77	70	61
UICC IV	465	146	66	36	23	18	15
Stadium unbekannt	313	151	104	88	73	68	61
nicht anwendbar	10	6	5	5	4	3	3

© KR-MV 2023

Abb. 7.15. C16: Wahrscheinlichkeit des Überlebens (Kaplan-Meier) nach UICC bei Diagnosestellung in den Jahren 2013-2017.\*

\*Die 50%-Überlebensraten sind dort, wo sie bestimmbar sind, graphisch dargestellt. Zusätzlich erfolgt pro Überlebenskurve die Darstellung des 95%-Konfidenzintervalls. Kaplan-Meier Kurven werden für Kategorien mit weniger als 30 Neuerkrankungen nicht dargestellt.

# 8 Kolon C18

## 8.1 Consort-Statement: Darstellung der Auswertepopulation

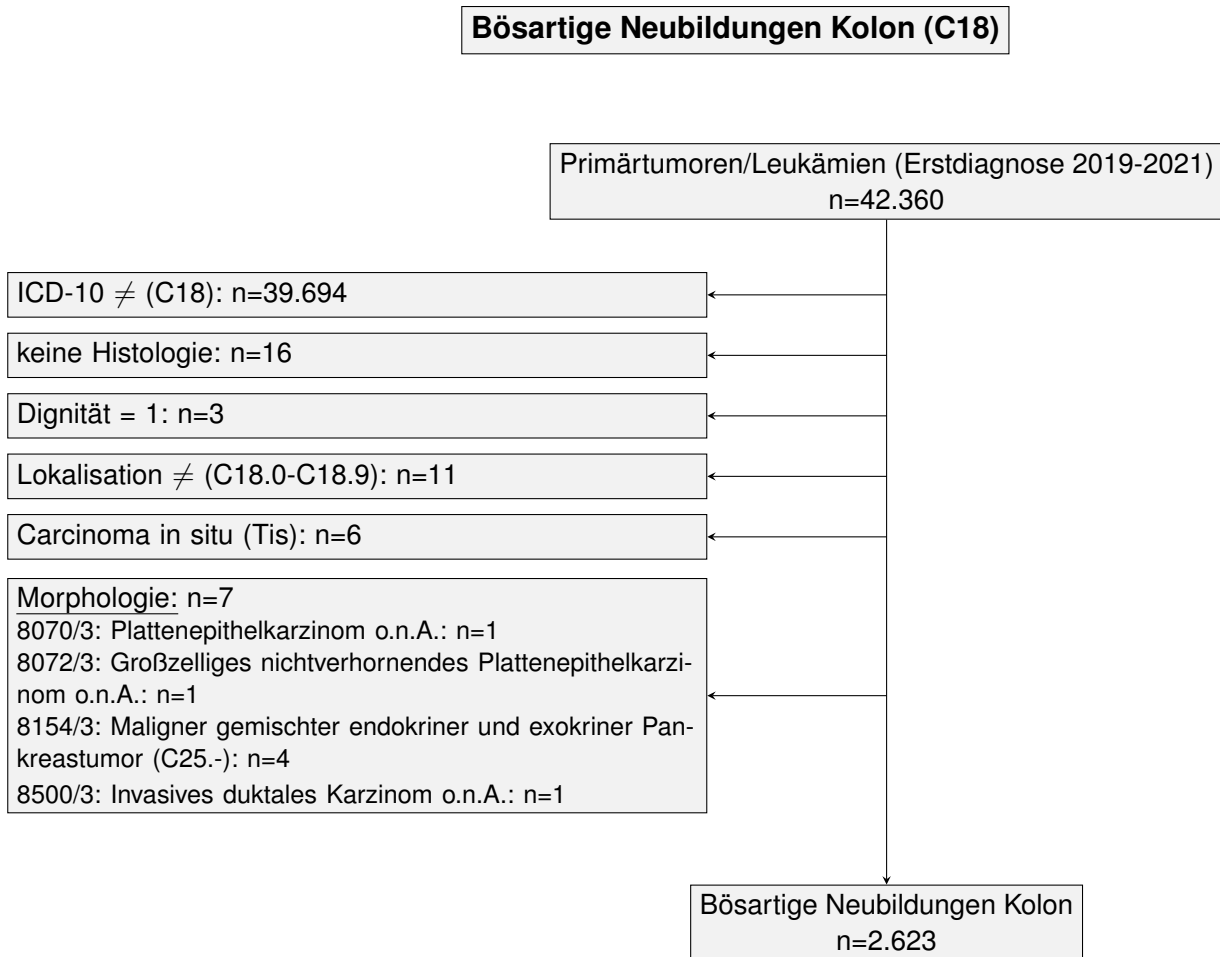
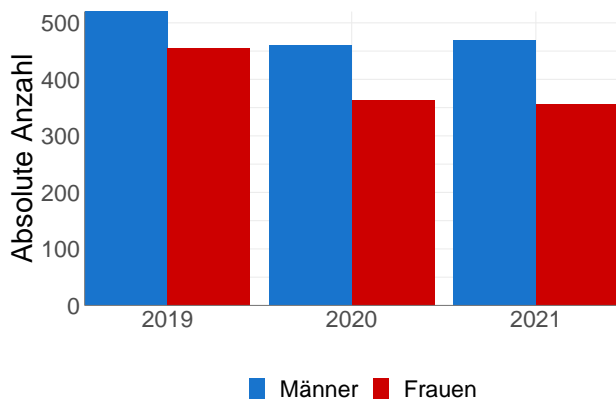


Abb. 8.1. Consort zu den bösartigen Neubildungen des Kolons

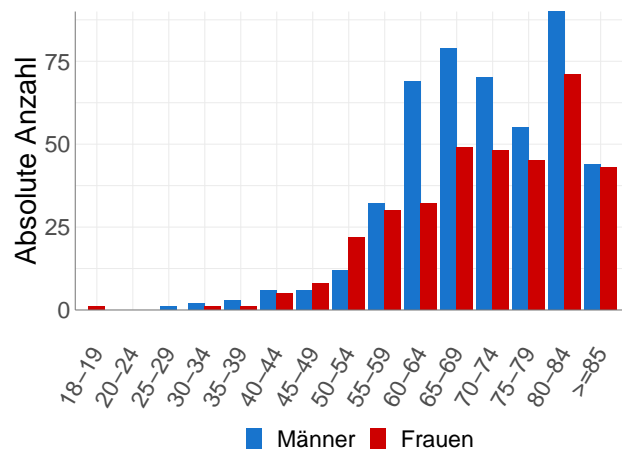
## 8.2 Absolute Anzahl der erfassten Neuerkrankungen in M-V in den Jahren 2019-2021 nach Geschlecht und Alter

Tab. 8.1. C18: Absolute Anzahl der Neuerkrankungen nach Geschlecht

Geschlecht	Männer		Frauen		Summe
	Anzahl	%	Anzahl	%	
2019	520	53.3	455	46.7	975
2020	460	55.9	363	44.1	823
2021	469	56.8	356	43.2	825
Summe	1449	55.2	1174	44.8	2623



© KR-MV 2023



© KR-MV 2023

Abb. 8.2. C18: Absolute Anzahl der Neuerkrankungen nach Geschlecht

Abb. 8.3. C18: Absolute Anzahl der Neuerkrankungen aufgelistet in 5-Jahres-Altersgruppen und nach Geschlecht für das Diagnosejahr 2021

Tab. 8.2. C18: Erkrankungsalter

Diagnosejahre	Männer				Frauen			
	Anzahl	Median	Minimum	Maximum	Anzahl	Median	Minimum	Maximum
2019	520	71	19	94	455	75	28	99
2020	460	71	24	95	363	76	26	97
2021	469	71	28	92	356	72	19	95

### 8.3 Absolute Anzahl der erfassten Neuerkrankungen in M-V in den Jahren 2019-2021 nach Lokalisation

Tab. 8.3. C18: Absolute Anzahl und prozentualer Anteil der Neuerkrankungen nach der Lokalisation

Lokalisationen	2019	2020	2021	Summe	
				Anzahl	%
Zäkum, einschl. Ileozäkalklappe (ICD-O: C18.0)	163	142	129	434	16.5
Appendix (ICD-O: C18.1)	29	25	29	83	3.2
Colon ascendens (ICD-O: C18.2)	210	182	170	562	21.4
Flexura hepatica (ICD-O: C18.3)	49	59	48	156	5.9
Colon transversum (ICD-O: C18.4)	71	64	61	196	7.5
Colon transversum, rechtes Drittel (ICD-O: C18.41)	6	2	0	8	0.3
Colon transversum, mittleres Drittel (ICD-O: C18.42)	3	0	0	3	0.1
Colon transversum, linkes Drittel (ICD-O: C18.43)	6	3	0	9	0.3
Flexura lienalis (ICD-O: C18.5)	27	30	32	89	3.4
Colon descendens (ICD-O: C18.6)	53	42	52	147	5.6
Colon sigmoideum (ohne Rektosigmoid, Übergang, =C19.9) (ICD-O: C18.7)	345	266	279	890	33.9
Dickdarm (mehrere Teilbereiche überlappend) (ICD-O: C18.8)	1	2	9	12	0.5
Dickdarm o.n.A. (ICD-O: C18.9)	13	7	16	36	1.4
Summe	976	824	825	2625	100.0

## 8.4 Histologische Befunde bei allen neuerkrankten Patienten in M-V in den Jahren 2019-2021

Tab. 8.4. C18: Histologische Befunde bei neuerkrankten Patienten

	2019		2020		2021	
	Anzahl	%	Anzahl	%	Anzahl	%
8140/3: Adenokarzinom o.n.A.	825	84.6	689	83.7	698	84.6
8144/3: Adenokarzinom vom intestinalen Typ	3	0.3	0	0.0	3	0.4
8147/3: Basalzell-Adenokarzinom	0	0.0	1	0.1	0	0.0
8190/3: Trabekuläres Adenokarzinom	0	0.0	0	0.0	1	0.1
8201/3: Kribriiformes Karzinom o.n.A.	0	0.0	2	0.2	1	0.1
8210/3: Adenokarzinom in adenomatösem Polypen	8	0.8	6	0.7	2	0.2
8211/3: Tubuläres Adenokarzinom	11	1.1	14	1.7	17	2.1
8213/3: Serrated adenocarcinoma	1	0.1	3	0.4	0	0.0
8230/3: Solides Karzinom o.n.A.	1	0.1	1	0.1	1	0.1
8244/3: Gemischtes adeno-neuroendokrines Karzinom	3	0.3	1	0.1	0	0.0
8262/3: Villöses Adenokarzinom	0	0.0	0	0.0	1	0.1
8263/3: Adenokarzinom in tubulovillösem Adenom	10	1.0	8	1.0	7	0.8
8480/3: Muzinöses Adenokarzinom	62	6.4	47	5.7	30	3.6
8481/3: Schleimbildendes Adenokarzinom	3	0.3	9	1.1	9	1.1
Schleimbildendes Karzinom						
8490/3: Siegelringzellkarzinom	8	0.8	7	0.9	5	0.6
8510/3: Medulläres Karzinom o.n.A.	5	0.5	3	0.4	3	0.4
8574/3: Adenokarzinom mit neuroendokriner Differenzierung	1	0.1	0	0.0	0	0.0
<b>Adenokarzinome</b>	<b>941</b>	<b>96.5</b>	<b>791</b>	<b>96.1</b>	<b>778</b>	<b>94.3</b>
8013/3: Großzelliges neuroendokrines Karzinom	1	0.1	0	0.0	2	0.2
8240/3: Neuroendokriner Tumor o.n.A.	5	0.5	12	1.5	17	2.1
8243/3: Becherzellkarzinoid	8	0.8	2	0.2	5	0.6
8246/3: Neuroendokrines Karzinom o.n.A.	4	0.4	3	0.4	1	0.1
8249/3: Neuroendokriner Tumor, Grad 2	3	0.3	0	0.0	1	0.1
<b>NET/NEC</b>	<b>21</b>	<b>2.2</b>	<b>17</b>	<b>2.1</b>	<b>26</b>	<b>3.2</b>
8000/3: Maligne Neoplasie	5	0.5	4	0.5	16	1.9
<b>Nicht näher bezeichnete maligne Neoplasien</b>	<b>5</b>	<b>0.5</b>	<b>4</b>	<b>0.5</b>	<b>16</b>	<b>1.9</b>
8010/3: Karzinom o.n.A.	4	0.4	7	0.9	3	0.4
8020/3: Undifferenziertes Karzinom o.n.A.	3	0.3	0	0.0	1	0.1
8033/3: Pseudosarkomatöses Karzinom	0	0.0	1	0.1	0	0.0
8041/3: Kleinzelliges Karzinom o.n.A.	0	0.0	1	0.1	0	0.0
<b>Nicht näher bezeichnete epitheliale Neoplasien</b>	<b>7</b>	<b>0.7</b>	<b>9</b>	<b>1.1</b>	<b>4</b>	<b>0.5</b>
8890/3: Leiomyosarkom o.n.A.	0	0.0	0	0.0	1	0.1
<b>Sarkome</b>	<b>0</b>	<b>0.0</b>	<b>0</b>	<b>0.0</b>	<b>1</b>	<b>0.1</b>
8936/3: Gastrointestinaler Stromatumor	1	0.1	2	0.2	0	0.0
<b>GIST</b>	<b>1</b>	<b>0.1</b>	<b>2</b>	<b>0.2</b>	<b>0</b>	<b>0.0</b>
<b>Summe</b>	<b>975</b>	<b>100.0</b>	<b>823</b>	<b>100.0</b>	<b>825</b>	<b>100.0</b>

## 8.5 Tumorgröße und Ausdehnung (TNM)

Tab. 8.5. C18: Absolute Anzahl der Neuerkrankungen klassifiziert nach der Tumorgröße

Tumorgröße (T)	2019		2020		2021		Summe	
	Anzahl	%	Anzahl	%	Anzahl	%	Anzahl	%
T1	162	16.6	125	15.2	99	12.0	386	14.7
T2	127	13.0	115	14.0	108	13.1	350	13.3
T3	396	40.6	368	44.7	356	43.2	1120	42.7
T4	209	21.4	143	17.4	169	20.5	521	19.9
TX	42	4.3	33	4.0	47	5.7	122	4.7
k.A.	34	3.5	34	4.1	28	3.4	96	3.7
TNM nicht anwendbar	5	0.5	5	0.6	18	2.2	28	1.1
Summe	975	100.0	823	100.0	825	100.0	2623	100.0

Tab. 8.6. C18: Absolute Anzahl der Neuerkrankungen mit bzw. ohne Befall der regionären Lymphknoten

N-Kategorie	2019		2020		2021		Summe	
	Anzahl	%	Anzahl	%	Anzahl	%	Anzahl	%
N0	556	57.0	470	57.1	437	53.0	1463	55.8
N1	188	19.3	158	19.2	162	19.6	508	19.4
N2	153	15.7	117	14.2	122	14.8	392	14.9
NX	36	3.7	25	3.0	33	4.0	94	3.6
k.A.	37	3.8	48	5.8	53	6.4	138	5.3
TNM nicht anwendbar	5	0.5	5	0.6	18	2.2	28	1.1
Summe	975	100.0	823	100.0	825	100.0	2623	100.0

Tab. 8.7. C18: Absolute Anzahl der Neuerkrankungen mit Fernmetastasierung

M-Kategorie	2019		2020		2021		Summe	
	Anzahl	%	Anzahl	%	Anzahl	%	Anzahl	%
M0	727	74.6	604	73.4	539	65.3	1870	71.3
M1	190	19.5	143	17.4	190	23.0	523	19.9
MX/k.A.	53	5.4	71	8.6	78	9.5	202	7.7
TNM nicht anwendbar	5	0.5	5	0.6	18	2.2	28	1.1
Summe	975	100.0	823	100.0	825	100.0	2623	100.0

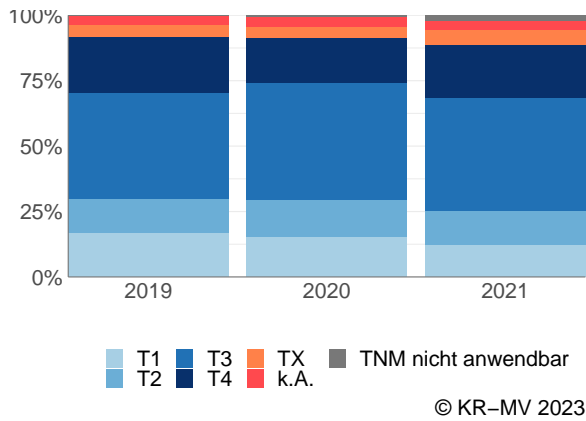


Abb. 8.4. C18: Prozentualer Anteil der Neuerkrankungen nach TumorgroÙe im Diagnosezeitraum 2019 bis 2021

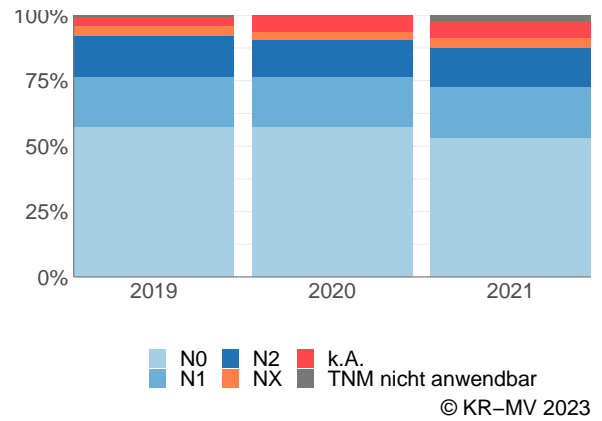


Abb. 8.5. C18: Prozentualer Anteil der Neuerkrankungen mit bzw. ohne Befall der regionären Lymphknoten im Diagnosezeitraum 2019 bis 2021

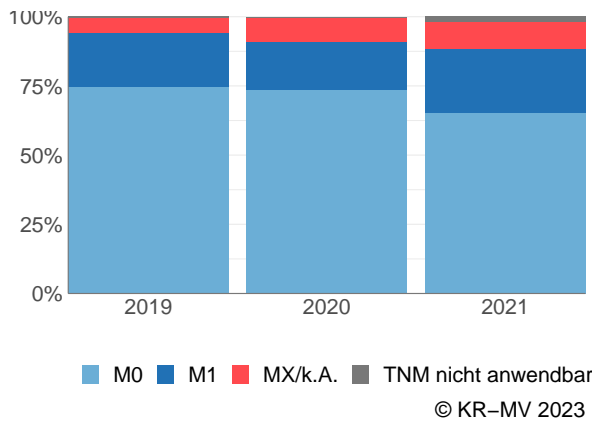


Abb. 8.6. C18: Prozentualer Anteil der Neuerkrankungen mit bzw. ohne primäre Fernmetastasierung im Diagnosezeitraum 2019 bis 2021

## 8.6 Primäre Tumorstadien nach UICC

Tab. 8.8. C18: Primäre UICC-Stadien

Diagnose- jahre	UICC I		UICC II		UICC III		UICC IV		Stadium unbekannt		nicht anwendbar*		Summe
	Anzahl	%	Anzahl	%	Anzahl	%	Anzahl	%	Anzahl	%	Anzahl	%	
2019	242	24.8	258	26.5	212	21.7	190	19.5	68	7.0	5	0.5	975
2020	192	23.3	224	27.2	181	22.0	143	17.4	78	9.5	5	0.6	823
2021	153	18.5	212	25.7	165	20.0	190	23.0	87	10.5	18	2.2	825
Summe	587	22.4	694	26.5	558	21.3	523	19.9	233	8.9	28	1.1	2623

\* Für diese Neuerkrankungen war es nicht möglich eine TNM-Angabe (TNM Auflage 8) anzugeben.

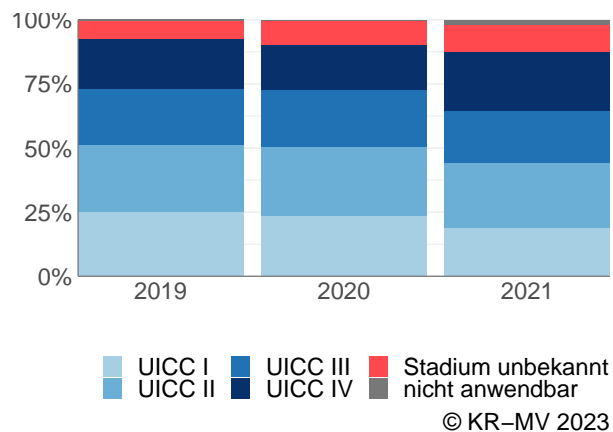
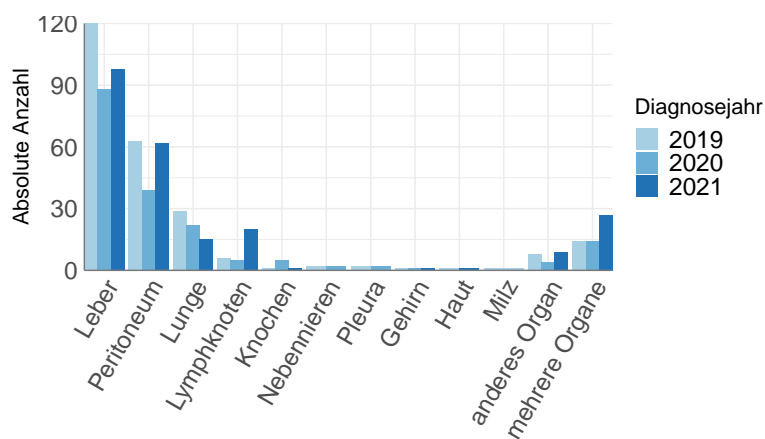


Abb. 8.7. C18: Prozentuale Anteile der primären UICC-Tumorstadien in den Diagnosejahren 2019 bis 2021

## 8.7 Lokalisation der primären Fernmetastasen



© KR-MV 2023

Abb. 8.8. C18: Lokalisation der primären Fernmetastasen bei Neuerkrankungen im Diagnosezeitraum 2019 bis 2021

## 8.8 Dokumentierte Therapie bis max. 12 Monate nach Diagnosestellung

### 8.8.1 Therapiekombinationen, Stellung der Therapie und Intention der dokumentierten Therapien

Tab. 8.9. C18: Häufigkeit der tumorbezogenen Therapien

Tumorbezogene Therapien	2019	2020	2021	Summe	
				Anzahl	%
Tumorspezifische Operation	756	615	574	1945	62.1
Systemische Therapie	249	199	209	657	21.0
Strahlentherapie	10	8	6	24	0.8
Keine Therapie gemeldet	168	157	179	504	16.1
Summe	1183	979	968	3130	100.0

Tab. 8.10. C18: Zeitraum zwischen Diagnose und Beginn der ersten Therapie nach Therapieart (Angabe in Tagen)

Tumorbezogene Therapien	Median	Minimum	Maximum
Strahlentherapie	136	8	364
Systemische Therapie	49	0	359
Tumorspezifische Operation	8	0	352

Tab. 8.11. C18: Therapiekombinationen (Operation, Strahlentherapie, systemische Therapie) pro Diagnosejahr

Therapiekombination	2019	2020	2021	Summe	
				Anzahl	%
Alleinige tumorspezifische Operation	557	466	436	1459	55.6
Alleinige systemische Therapie	49	48	68	165	6.3
Alleinige Strahlentherapie	0	1	0	1	0.0
Tumorspezifische Operation und systemische Therapie	191	144	136	471	18.0
Tumorspezifische Operation und Strahlentherapie	1	0	1	2	0.1
Systemische Therapie und Strahlentherapie	2	2	4	8	0.3
Tumorspezifische Operation und systemische Therapie und Strahlentherapie	7	5	1	13	0.5
Keine tumorspezifische Operation, systemische Therapie oder Strahlentherapie	168	157	179	504	19.2
Summe	975	823	825	2623	100.0

Tab. 8.12. C18: Therapiekombinationen (Operation, Strahlentherapie, systemische Therapie) in Abhängigkeit von dem UICC-Stadium

Therapiekombination	UICC				Stadium unbekannt	nicht anwendbar	Summe	
	I	II	III	IV			Anzahl	%
Alleinige tumorspezifische Operation	465	529	244	132	82	7	1459	55.6
Alleinige systemische Therapie	3	12	37	103	7	3	165	6.3
Alleinige Strahlentherapie	0	1	0	0	0	0	1	0.0
Tumorspezifische Operation und systemische Therapie	1	67	231	163	5	4	471	18.0
Tumorspezifische Operation und Strahlentherapie	0	0	1	1	0	0	2	0.1
Systemische Therapie und Strahlentherapie	0	0	2	4	1	1	8	0.3
Tumorspezifische Operation und systemische Therapie und Strahlentherapie	0	2	4	7	0	0	13	0.5
Keine tumorspezifische Operation, systemische Therapie oder Strahlentherapie	118	83	39	113	138	13	504	19.2
Summe	587	694	558	523	233	28	2623	100.0

Tab. 8.13. C18: Stellung der Strahlentherapie zur operativen Therapie im ersten Jahr der Erkrankung (adjuvant/neoadjuvant)

Stellung der Strahlentherapie zur operativen Therapie	2019	2020	2021	Summe	
				Anzahl	%
Neoadjuvante (präoperative) Strahlentherapie	1	0	1	2	13.3
Adjuvante (postoperative) Strahlentherapie	3	3	0	6	40.0
Therapie ohne Bezug zu einer operativen Therapie	4	2	1	7	46.7
Summe	8	5	2	15	100.0

Tab. 8.14. C18: Stellung der systemischen Therapie zur operativen Therapie im ersten Jahr der Erkrankung (adjuvant/neoadjuvant)

Stellung der systemischen Therapie zur operativen Therapie	2019	2020	2021	Summe	
				Anzahl	%
Adjuvante (postoperative) Therapie	165	127	111	403	83.3
Neoadjuvante (präoperative) Therapie	6	6	3	15	3.1
Therapie ohne Bezug zu einer operativen Therapie	25	14	19	58	12.0
Intraoperative Therapie	2	1	2	5	1.0
Sonstige/Keine Angabe	0	1	2	3	0.6
Summe	198	149	137	484	100.0

Tab. 8.15. C18: Intention bei der ersten Operation

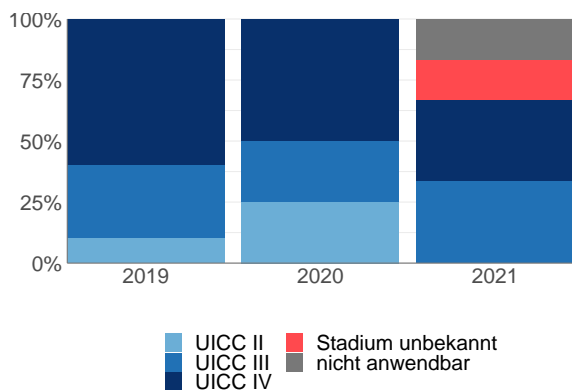
Intention der Operation	2019	2020	2021	Summe	
				Anzahl	%
Kurativ	658	543	509	1710	87.9
Palliativ bzw. symptomatisch	84	60	57	201	10.3
Diagnostisch	7	2	3	12	0.6
Sonstige/Unbekannt/Keine Angabe	7	10	5	22	1.1
Summe	756	615	574	1945	100.0

Tab. 8.16. C18: Intention bei der initialen Bestrahlung

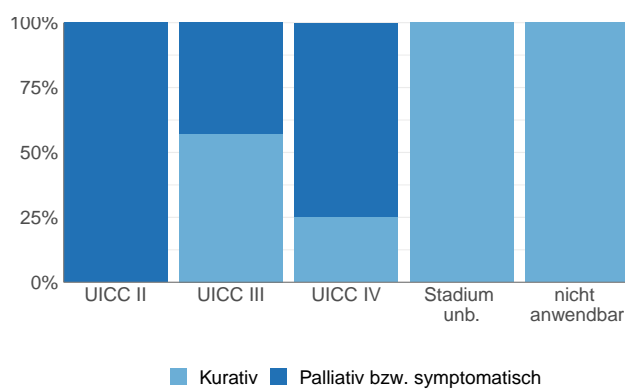
Intention der Bestrahlung	2019	2020	2021	Summe	
				Anzahl	%
Palliativ bzw. symptomatisch	6	7	2	15	62.5
Kurativ	4	1	4	9	37.5
Summe	10	8	6	24	100.0

Tab. 8.17. C18: Intention bei der ersten systemischen Therapie

Intention der systemischen Therapie	2019	2020	2021	Summe	
				Anzahl	%
Palliativ bzw. symptomatisch	96	66	88	250	38.1
Kurativ	153	132	120	405	61.6
Sonstige/Unbekannt/Keine Angabe	0	1	1	2	0.3
Summe	249	199	209	657	100.0



© KR-MV 2023



© KR-MV 2023

Abb. 8.9. C18: Prozentuale Verteilung der UICC-Stadien bei allen in den Jahren 2019 bis 2021 bestrahlten Neuerkrankungen

Abb. 8.10. C18: Intention der ersten Bestrahlung nach UICC-Klassifikation

### 8.8.2 Dokumentierte tumorspezifische Operation bis max. 12 Monate nach Diagnosestellung

Tab. 8.18. C18: Dokumentierte tumorspezifische Operation nach UICC

Operation	UICC I	UICC II	UICC III	UICC IV	Stadium unbekannt	nicht anwendbar	Summe	
							Anzahl	%
5-455: Partielle Resektion des Dickdarmes	306	567	458	288	66	10	1695	87.1
5-452: Lokale Exzision und Destruktion von erkranktem Gewebe des Dickdarmes	141	8	10	9	17	0	185	9.5
5-470: Appendektomie	11	16	5	0	3	1	36	1.9
5-456: (Totale) Kolektomie und Proktokolektomie	8	5	7	5	0	0	25	1.3
5-471: Simultane Appendektomie	0	2	0	1	1	0	4	0.2
Summe	466	598	480	303	87	11	1945	100.0

Tab. 8.19. C18: Residualklassifikation nach Tumorresektion bei Neuerkrankungen in den UICC-Stadien I-IV

R-Klassifikation	UICC I	UICC II	UICC III	UICC IV	Stadium unbekannt	nicht anwendbar	Summe	
							Anzahl	%
R0 (kein Residualtumor)	402	583	443	236	75	9	1748	89.9
R1 (mikroskopischer Residualtumor)	31	10	15	33	2	0	91	4.7
R2 (makroskopischer Residualtumor)	0	1	4	20	1	2	28	1.4
RX (Vorhandensein eines Residualtumors kann nicht beurteilt werden)	19	3	14	11	7	0	54	2.8
keine Angabe	8	1	4	2	2	0	17	0.9
keine R-Klassifikation zu erwarten	6	0	0	1	0	0	7	0.4
Summe	466	598	480	303	87	11	1945	100.0

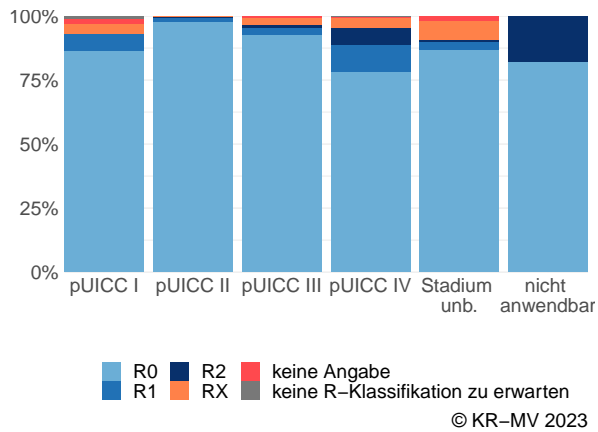


Abb. 8.11. C18: R-Klassifikation nach tumorspezifischer Resektion bei Neuerkrankungen in pUICC Stadien I-IV

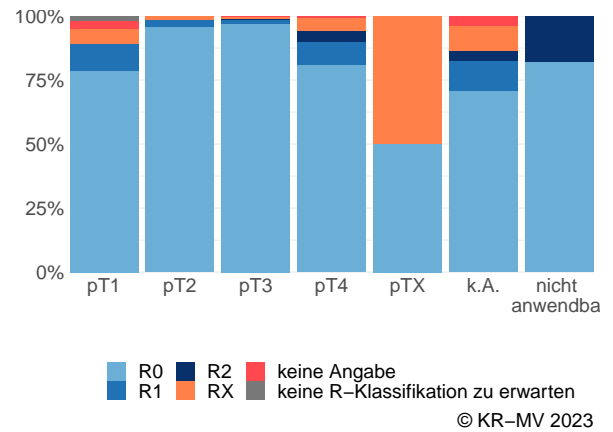
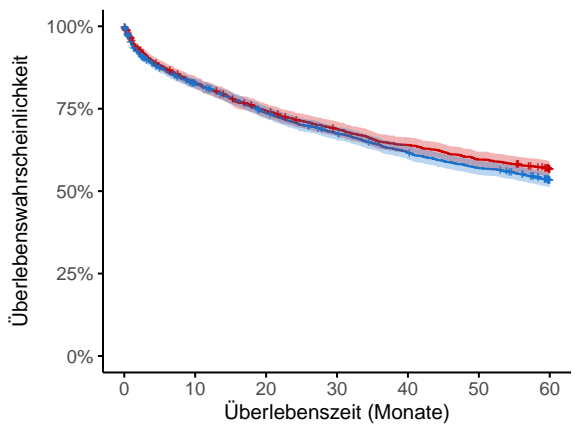


Abb. 8.12. C18: R-Klassifikation nach tumorspezifischer Resektion bei Neuerkrankungen mit Tumoren unterschiedlicher pT-Kategorie

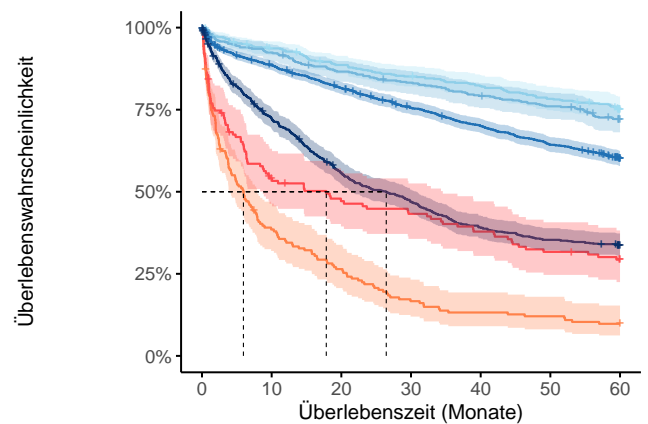
### 8.9 Überlebensanalysen (Kaplan-Meier) bei den in den Jahren 2013-2017 primär diagnostizierten Patienten (Wohnort und Behandlung in M-V)



Anzahl der Neuerkrankungen unter Beobachtung

Frauen	1684	1378	1229	1134	1054	981	914
Männer	2140	1742	1551	1412	1289	1191	1089

© KR-MV 2023



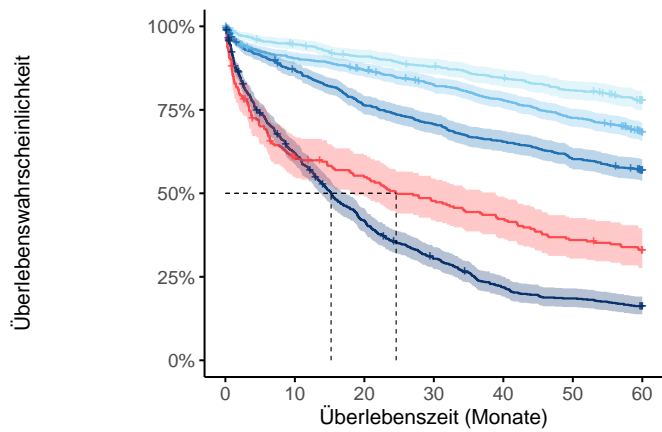
Anzahl der Neuerkrankungen unter Beobachtung

T1	522	484	456	438	422	402	379
T2	451	414	386	370	352	337	312
T3	1747	1526	1404	1292	1196	1099	1005
T4	783	556	425	359	299	270	252
TX	179	67	46	29	23	21	17
k.A.	139	71	61	56	49	41	36
nicht anwendbar	3	2	2	2	2	2	2

© KR-MV 2023

Abb. 8.13. C18: Wahrscheinlichkeit des Überlebens (Kaplan-Meier) nach Geschlecht bei Diagnosestellung in den Jahren 2013-2017.\*

Abb. 8.14. C18: Wahrscheinlichkeit des Überlebens (Kaplan-Meier) nach Tumorgroße bei Diagnosestellung in den Jahren 2013-2017.\*



	Anzahl der Neuerkrankungen unter Beobachtung						
UICC I	791	743	711	686	658	629	591
UICC II	1082	970	929	877	827	771	708
UICC III	922	788	692	641	593	547	507
UICC IV	774	470	315	226	162	137	118
Stadium unbekannt	252	147	131	114	101	86	77
nicht anwendbar	3	2	2	2	2	2	2

© KR-MV 2023

Abb. 8.15. C18: Wahrscheinlichkeit des Überlebens (Kaplan-Meier) nach UICC bei Diagnosestellung in den Jahren 2013-2017.\*

\*Die 50%-Überlebensraten sind dort, wo sie bestimmbar sind, graphisch dargestellt. Zusätzlich erfolgt pro Überlebenskurve die Darstellung des 95%-Konfidenzintervalls. Kaplan-Meier Kurven werden für Kategorien mit weniger als 30 Neuerkrankungen nicht dargestellt.

# 9 Rektum C19, C20

## 9.1 Consort-Statement: Darstellung der Auswertepopulation

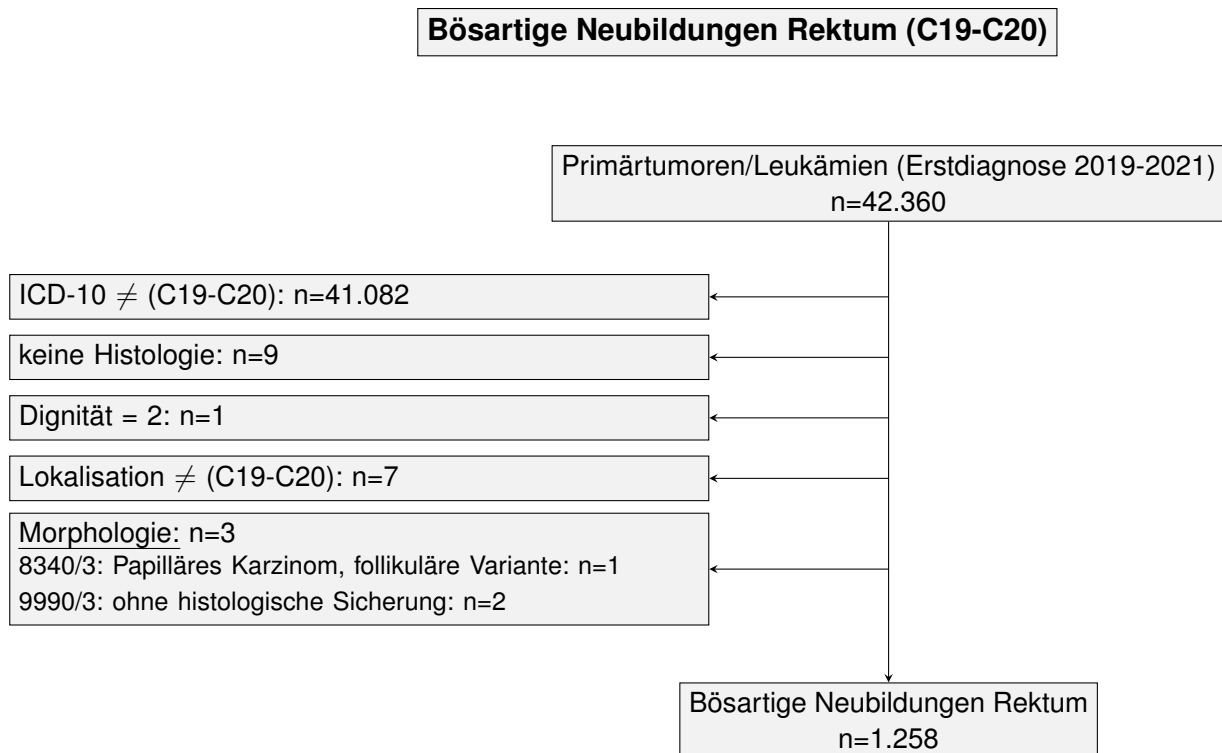


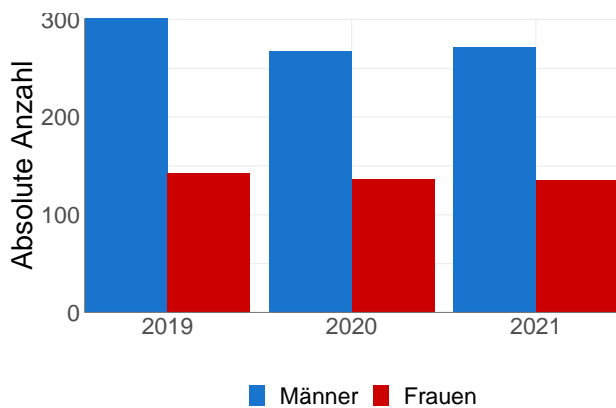
Abb. 9.1. Consort zu den bösartigen Neubildungen des Rektums

Hinweis: Für n=1 Patienten lag dem Krebsregister Mecklenburg-Vorpommern die Angabe „divers“, „sonstiges“ bzw. keine Angabe zum Geschlecht vor. Aufgrund der geringen Fallzahl werden diese Patienten in Auswertungen zum Geschlecht ausgeschlossen.

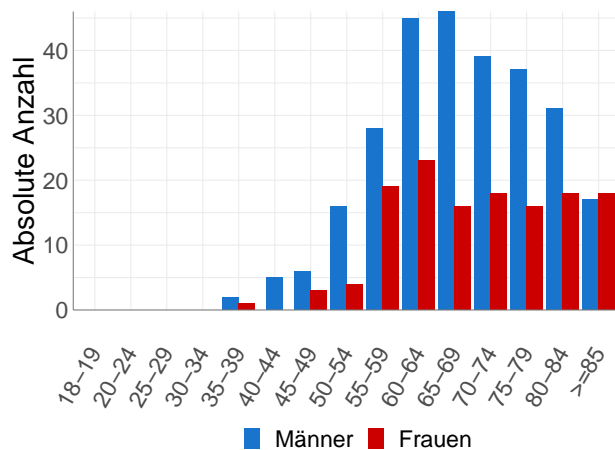
## 9.2 Absolute Anzahl der erfassten Neuerkrankungen in M-V in den Jahren 2019-2021 nach Geschlecht und Alter

Tab. 9.1. C19-C20: Absolute Anzahl der Neuerkrankungen nach Geschlecht

Geschlecht	Männer		Frauen		Summe
	Anzahl	%	Anzahl	%	
2019	301	67.8	143	32.2	444
2020	268	66.2	137	33.8	405
2021	272	66.7	136	33.3	408
Summe	841	66.9	416	33.1	1257



© KR-MV 2023



© KR-MV 2023

Abb. 9.2. C19-C20: Absolute Anzahl der Neuerkrankungen nach Geschlecht

Abb. 9.3. C19-C20: Absolute Anzahl der Neuerkrankungen aufgelistet in 5-Jahres-Altersgruppen und nach Geschlecht für das Diagnosejahr 2021

Tab. 9.2. C19-C20: Erkrankungsalter

Diagnosejahre	Männer				Frauen			
	Anzahl	Median	Minimum	Maximum	Anzahl	Median	Minimum	Maximum
2019	301	66	23	93	143	68	42	95
2020	268	66	33	90	137	72	34	99
2021	272	69	38	95	136	70	38	93

### 9.3 Absolute Anzahl der erfassten Neuerkrankungen in M-V in den Jahren 2019-2021 nach Lokalisation

Tab. 9.3. C19-C20: Absolute Anzahl und prozentualer Anteil der Neuerkrankungen nach der Lokalisation

Lokalisationen	2019	2020	2021	Summe	
				Anzahl	%
Rektumsigmoid, Übergang sowie Kolon und Rektum (ICD-O: C19.9)	6	10	16	32	2.5
Rektum o.n.A. (Ampulle) (ICD-O: C20.9)	64	234	386	684	54.4
Rektum 4 bis 7.5 cm Höhe (ICD-O: C20.91)	15	1	0	16	1.3
Rektum 7.5 bis 12 cm Höhe (ICD-O: C20.92)	17	7	1	25	2.0
Rektum 12cm und mehr aufwärts (ICD-O: C20.93)	21	0	1	22	1.7
Rektum, unteres Drittel, < 6 cm Höhe (neue Einteilung) (ICD-O: C20.91)	101	48	2	151	12.0
Rektum, mittleres Drittel, 6 cm bis < 12 cm Höhe (neue Einteilung) (ICD-O: C20.92)	127	61	1	189	15.0
Rektum, oberes Drittel, 12 cm bis <= 16 cm Höhe (neue Einteilung) (ICD-O: C20.93)	94	44	1	139	11.0
Summe	445	405	408	1258	100.0

## 9.4 Histologische Befunde bei allen neuerkrankten Patienten in M-V in den Jahren 2019-2021

Tab. 9.4. C19-C20: Histologische Befunde bei neuerkrankten Patienten

	2019		2020		2021	
	Anzahl	%	Anzahl	%	Anzahl	%
8140/3: Adenokarzinom o.n.A.	386	86.7	348	85.9	349	85.5
8144/3: Adenokarzinom vom intestinalen Typ	1	0.2	0	0.0	0	0.0
8145/3: Diffuses Karzinom	1	0.2	0	0.0	0	0.0
8210/3: Adenokarzinom in adenomatösem Polypen	1	0.2	1	0.2	3	0.7
8211/3: Tubuläres Adenokarzinom	12	2.7	17	4.2	14	3.4
8213/3: Serrated adenocarcinoma	1	0.2	0	0.0	0	0.0
8230/3: Solides Karzinom o.n.A.	1	0.2	0	0.0	0	0.0
8255/3: Adenokarzinom mit gemischten Subtypen	0	0.0	0	0.0	1	0.2
8263/3: Adenokarzinom in tubulovillösem Adenom	4	0.9	4	1.0	2	0.5
8480/3: Muzinöses Adenokarzinom	10	2.2	8	2.0	7	1.7
8481/3: Schleimbildendes Adenokarzinom	2	0.4	1	0.2	6	1.5
Schleimbildendes Karzinom						
8490/3: Siegelringzellkarzinom	2	0.4	1	0.2	0	0.0
8574/3: Adenokarzinom mit neuroendokriner Differenzierung	0	0.0	0	0.0	1	0.2
<b>Adenokarzinome</b>	<b>421</b>	<b>94.6</b>	<b>380</b>	<b>93.8</b>	<b>383</b>	<b>93.9</b>
8013/3: Großzelliges neuroendokrines Karzinom	1	0.2	2	0.5	0	0.0
8240/3: Neuroendokriner Tumor o.n.A.	11	2.5	10	2.5	11	2.7
8246/3: Neuroendokrines Karzinom o.n.A.	4	0.9	2	0.5	1	0.2
8249/3: Neuroendokriner Tumor, Grad 2	3	0.7	0	0.0	0	0.0
<b>NET/NEC</b>	<b>19</b>	<b>4.3</b>	<b>14</b>	<b>3.5</b>	<b>12</b>	<b>2.9</b>
8000/3: Maligne Neoplasie	2	0.4	3	0.7	8	2.0
<b>Nicht näher bezeichnete maligne Neoplasien</b>	<b>2</b>	<b>0.4</b>	<b>3</b>	<b>0.7</b>	<b>8</b>	<b>2.0</b>
8010/3: Karzinom o.n.A.	0	0.0	1	0.2	3	0.7
8020/3: Undifferenziertes Karzinom o.n.A.	0	0.0	1	0.2	0	0.0
8041/3: Kleinzelliges Karzinom o.n.A.	0	0.0	1	0.2	0	0.0
<b>nicht näher bezeichnete Karzinome</b>	<b>0</b>	<b>0.0</b>	<b>3</b>	<b>0.7</b>	<b>3</b>	<b>0.7</b>
8720/3: Malignes Melanom o.n.A. (Exkl.: Juveniles Melanom (8770/0))	1	0.2	1	0.2	1	0.2
<b>Andere näher bezeichnete Karzinome</b>	<b>1</b>	<b>0.2</b>	<b>1</b>	<b>0.2</b>	<b>1</b>	<b>0.2</b>
8890/3: Leiomyosarkom o.n.A.	0	0.0	0	0.0	1	0.2
8936/3: Gastrointestinaler Stromatumor	0	0.0	3	0.7	0	0.0
<b>Sarkome</b>	<b>0</b>	<b>0.0</b>	<b>3</b>	<b>0.7</b>	<b>1</b>	<b>0.2</b>
8070/3: Plattenepithelkarzinom o.n.A.	2	0.4	1	0.2	0	0.0
<b>Plattenepithelkarzinom</b>	<b>2</b>	<b>0.4</b>	<b>1</b>	<b>0.2</b>	<b>0</b>	<b>0.0</b>
<b>Summe</b>	<b>445</b>	<b>100.0</b>	<b>405</b>	<b>100.0</b>	<b>408</b>	<b>100.0</b>

## 9.5 Tumorgröße und Ausdehnung (TNM)

Tab. 9.5. C19-C20: Absolute Anzahl der Neuerkrankungen klassifiziert nach der Tumorgröße

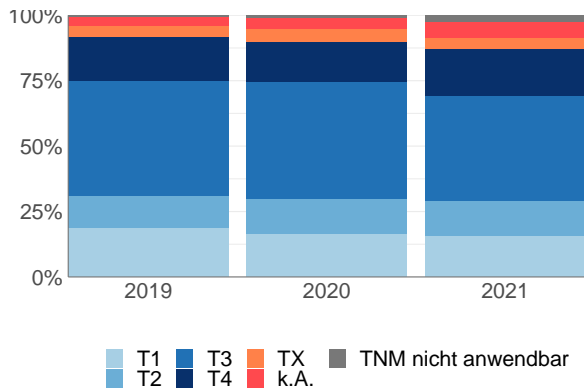
Tumorgröße (T)	2019		2020		2021		Summe	
	Anzahl	%	Anzahl	%	Anzahl	%	Anzahl	%
T1	82	18.4	66	16.3	63	15.4	211	16.8
T2	56	12.6	55	13.6	56	13.7	167	13.3
T3	194	43.6	181	44.7	163	40.0	538	42.8
T4	75	16.9	61	15.1	72	17.6	208	16.5
TX	19	4.3	20	4.9	18	4.4	57	4.5
k.A.	16	3.6	18	4.4	26	6.4	60	4.8
TNM nicht anwendbar	3	0.7	4	1.0	10	2.5	17	1.4
Summe	445	100.0	405	100.0	408	100.0	1258	100.0

Tab. 9.6. C19-C20: Absolute Anzahl der Neuerkrankungen mit bzw. ohne Befall der regionären Lymphknoten

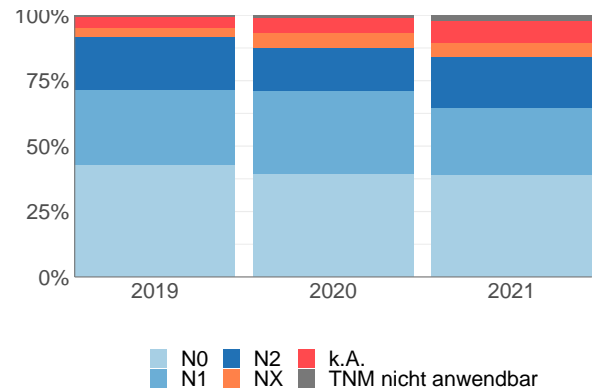
N-Kategorie	2019		2020		2021		Summe	
	Anzahl	%	Anzahl	%	Anzahl	%	Anzahl	%
N0	189	42.5	158	39.0	158	38.7	505	40.1
N1	129	29.0	129	31.9	106	26.0	364	28.9
N2	90	20.2	67	16.5	78	19.1	235	18.7
NX	15	3.4	23	5.7	23	5.6	61	4.8
k.A.	19	4.3	24	5.9	33	8.1	76	6.0
TNM nicht anwendbar	3	0.7	4	1.0	10	2.5	17	1.4
Summe	445	100.0	405	100.0	408	100.0	1258	100.0

Tab. 9.7. C19-C20: Absolute Anzahl der Neuerkrankungen mit Fernmetastasierung

M-Kategorie	2019		2020		2021		Summe	
	Anzahl	%	Anzahl	%	Anzahl	%	Anzahl	%
M0	321	72.1	287	70.9	259	63.5	867	68.9
M1	97	21.8	80	19.8	93	22.8	270	21.5
MX/k.A.	24	5.4	34	8.4	46	11.3	104	8.3
TNM nicht anwendbar	3	0.7	4	1.0	10	2.5	17	1.4
Summe	445	100.0	405	100.0	408	100.0	1258	100.0



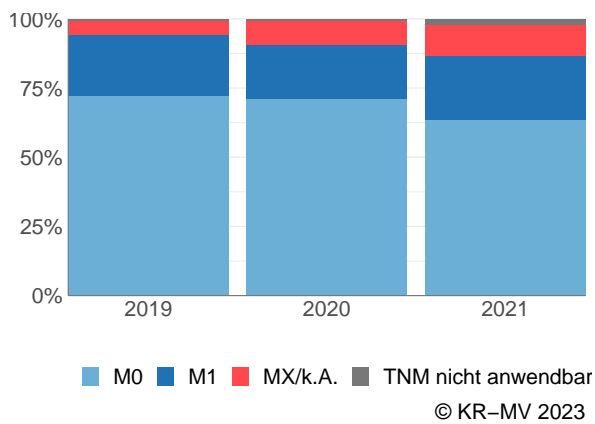
© KR-MV 2023



© KR-MV 2023

Abb. 9.4. C19-C20: Prozentualer Anteil der Neuerkrankungen nach Tumorgröße im Diagnosezeitraum 2019 bis 2021

Abb. 9.5. C19-C20: Prozentualer Anteil der Neuerkrankungen mit bzw. ohne Befall der regionären Lymphknoten im Diagnosezeitraum 2019 bis 2021



© KR-MV 2023

Abb. 9.6. C19-C20: Prozentualer Anteil der Neuerkrankungen mit bzw. ohne primäre Fernmetastasierungen im Diagnosezeitraum 2019 bis 2021

## 9.6 Primäre Tumorstadien nach UICC

Tab. 9.8. C19-C20: Primäre UICC-Stadien

Diagnose-jahre	UICC I		UICC II		UICC III		UICC IV		Stadium unbekannt		nicht anwendbar*		Summe
	Anzahl	%	Anzahl	%	Anzahl	%	Anzahl	%	Anzahl	%	Anzahl	%	
2019	107	24.0	63	14.2	146	32.8	97	21.8	29	6.5	3	0.7	445
2020	82	20.2	48	11.9	147	36.3	80	19.8	44	10.9	4	1.0	405
2021	76	18.6	55	13.5	119	29.2	93	22.8	55	13.5	10	2.5	408
Summe	265	21.1	166	13.2	412	32.8	270	21.5	128	10.2	17	1.4	1258

\* Für diese Neuerkrankungen war es nicht möglich eine TNM-Angabe (TNM Auflage 8) anzugeben.

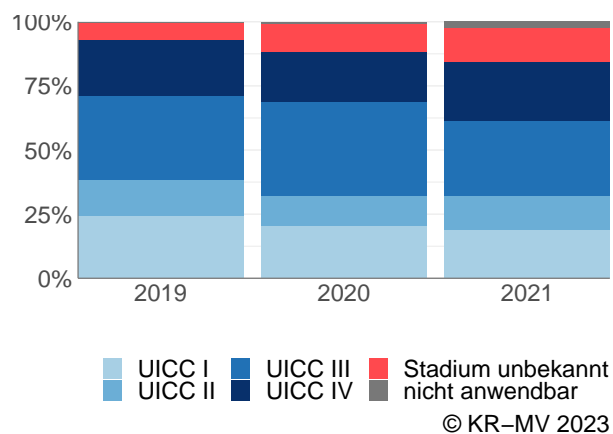
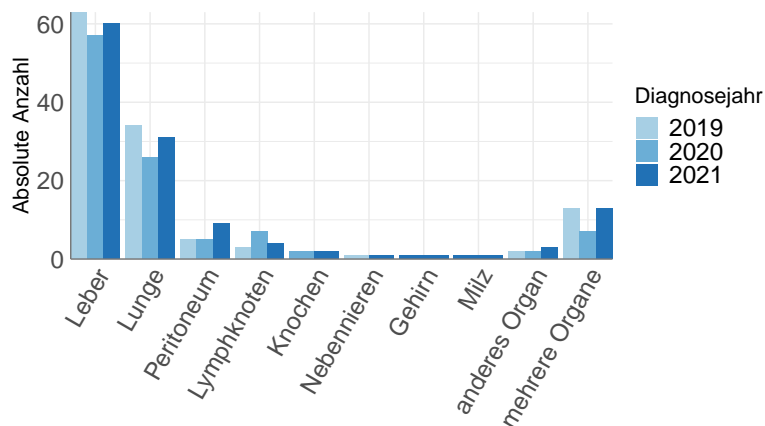


Abb. 9.7. C19-C20: Prozentuale Anteile der primären UICC-Tumorstadien in den Diagnosejahren 2019 bis 2021

## 9.7 Lokalisation der primären Fernmetastasen



© KR-MV 2023

Abb. 9.8. C19-C20: Lokalisation der primären Fernmetastasen bei Neuerkrankungen im Diagnosezeitraum 2019 bis 2021

## 9.8 Dokumentierte Therapie bis max. 12 Monate nach Diagnosestellung

### 9.8.1 Therapiekombinationen, Stellung der Therapie und Intention der dokumentierten Therapien

Tab. 9.9. C19-C20: Häufigkeit der tumorbezogenen Therapien

Tumorbezogene Therapien	2019	2020	2021	Summe	
				Anzahl	%
Tumorspezifische Operation	330	289	272	891	40.8
Systemische Therapie	210	194	176	580	26.6
Strahlentherapie	186	174	156	516	23.6
Keine Therapie gemeldet	58	57	81	196	9.0
Summe	784	714	685	2183	100.0

Tab. 9.10. C19-C20: Zeitraum zwischen Diagnose und Beginn der ersten Therapie nach Therapieart (Angabe in Tagen)

Tumorbezogene Therapien	Median	Minimum	Maximum
Strahlentherapie	39	1	317
Systemische Therapie	46	2	306
Tumorspezifische Operation	40	0	365

Tab. 9.11. C19-C20: Therapiekombinationen (Operation, Strahlentherapie, systemische Therapie) pro Diagnosejahr

Therapiekombination	2019	2020	2021	Summe	
				Anzahl	%
Alleinige tumorspezifische Operation	145	114	109	368	29.3
Alleinige systemische Therapie	15	30	25	70	5.6
Alleinige Strahlentherapie	14	12	11	37	2.9
Tumorspezifische Operation und systemische Therapie	41	30	37	108	8.6
Tumorspezifische Operation und Strahlentherapie	18	28	31	77	6.1
Systemische Therapie und Strahlentherapie	28	17	19	64	5.1
Tumorspezifische Operation und systemische Therapie und Strahlentherapie	126	117	95	338	26.9
Keine tumorspezifische Operation, systemische Therapie oder Strahlentherapie	58	57	81	196	15.6
Summe	445	405	408	1258	100.0

Tab. 9.12. C19-C20: Therapiekombinationen (Operation, Strahlentherapie, systemische Therapie) in Abhängigkeit von dem UICC-Stadium

Therapiekombination	UICC				Stadium unbekannt	nicht anwendbar	Summe	
	I	II	III	IV			Anzahl	%
Alleinige tumorspezifische Operation	189	65	48	31	32	3	368	29.3
Alleinige systemische Therapie	2	1	6	60	1	0	70	5.6
Alleinige Strahlentherapie	2	7	12	9	5	2	37	2.9
Tumorspezifische Operation und systemische Therapie	6	9	40	48	4	1	108	8.6
Tumorspezifische Operation und Strahlentherapie	5	14	46	5	7	0	77	6.1
Systemische Therapie und Strahlentherapie	5	4	32	19	3	1	64	5.1
Tumorspezifische Operation und systemische Therapie und Strahlentherapie	22	52	217	38	8	1	338	26.9
Keine tumorspezifische Operation, systemische Therapie oder Strahlentherapie	34	14	11	60	68	9	196	15.6
Summe	265	166	412	270	128	17	1258	100.0

Tab. 9.13. C19-C20: Stellung der Strahlentherapie zur operativen Therapie im ersten Jahr der Erkrankung (adjuvant/neoadjuvant)

Stellung der Strahlentherapie zur operativen Therapie	2019	2020	2021	Summe	
				Anzahl	%
Neoadjuvante (präoperative) Strahlentherapie	124	124	99	347	83.6
Therapie ohne Bezug zu einer operativen Therapie	7	8	12	27	6.5
Adjuvante (postoperative) Strahlentherapie	13	13	15	41	9.9
Summe	144	145	126	415	100.0

Tab. 9.14. C19-C20: Stellung der systemischen Therapie zur operativen Therapie im ersten Jahr der Erkrankung (adjuvant/neoadjuvant)

Stellung der systemischen Therapie zur operativen Therapie	2019	2020	2021	Summe	
				Anzahl	%
Adjuvante (postoperative) Therapie	57	39	45	141	31.6
Neoadjuvante (präoperative) Therapie	99	94	72	265	59.4
Therapie ohne Bezug zu einer operativen Therapie	11	13	12	36	8.1
Intraoperative Therapie	0	1	0	1	0.2
Sonstige/Keine Angabe	0	0	3	3	0.7
Summe	167	147	132	446	100.0

Tab. 9.15. C19-C20: Intention bei der ersten Operation

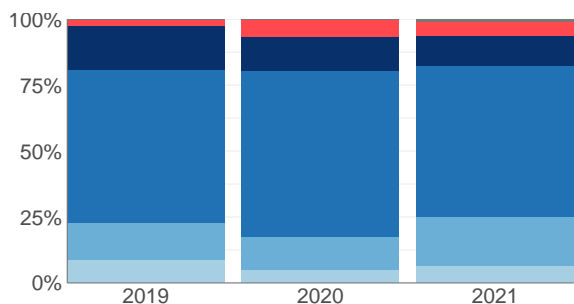
Intention der Operation	2019	2020	2021	Summe	
				Anzahl	%
Kurativ	282	252	241	775	87.0
Diagnostisch	8	10	14	32	3.6
Palliativ bzw. symptomatisch	37	19	17	73	8.2
Sonstige/Unbekannt/Keine Angabe	3	8	0	11	1.2
Summe	330	289	272	891	100.0

Tab. 9.16. C19-C20: Intention bei der initialen Bestrahlung

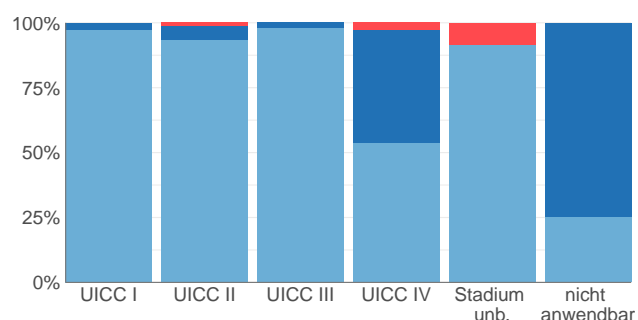
Intention der Bestrahlung	2019	2020	2021	Summe	
				Anzahl	%
Kurativ	164	160	142	466	90.3
Palliativ bzw. symptomatisch	21	14	10	45	8.7
Sonstige/Unbekannt/Keine Angabe	1	0	4	5	1.0
Summe	186	174	156	516	100.0

Tab. 9.17. C19-C20: Intention bei der ersten systemischen Therapie

Intention der systemischen Therapie	2019	2020	2021	Summe	
				Anzahl	%
Palliativ bzw. symptomatisch	48	51	43	142	24.5
Kurativ	160	142	133	435	75.0
Sonstige/Unbekannt/Keine Angabe	2	1	0	3	0.5
Summe	210	194	176	580	100.0



© KR-MV 2023



© KR-MV 2023

Abb. 9.9. C19-C20: Prozentuale Verteilung der UICC-Stadien bei allen in den Jahren 2019 bis 2021 bestrahlten Neuerkrankungen

Abb. 9.10. C19-C20: Intention der ersten Bestrahlung nach UICC-Klassifikation

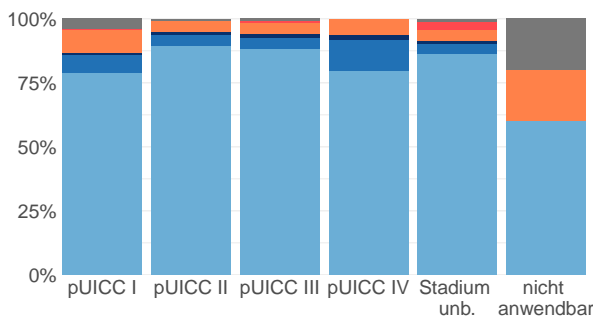
### 9.8.2 Dokumentierte tumorspezifische Operation bis max. 12 Monate nach Diagnosestellung

Tab. 9.18. C19-C20: Dokumentierte tumorspezifische Operation nach UICC

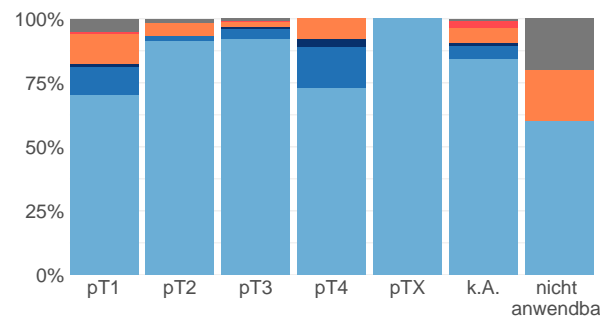
Operation	UICC I	UICC II	UICC III	UICC IV	Stadium unbekannt	nicht anwendbar	Summe	
							Anzahl	%
5-484: Rektumresektion unter Sphinktererhaltung	88	101	254	91	26	3	563	63.2
5-485: Rektumresektion ohne Sphinktererhaltung	18	31	76	27	7	1	160	18.0
5-482: Perianale lokale Exzision und Destruktion von erkranktem Gewebe des Rektums	93	8	17	3	16	1	138	15.5
5-452: Lokale Exzision und Destruktion von erkranktem Gewebe des Dickdarmes	21	0	4	0	2	0	27	3.0
5-456: (Totale) Kolektomie und Proktokolektomie	2	0	0	1	0	0	3	0.3
Summe	222	140	351	122	51	5	891	100.0

Tab. 9.19. C19-C20: Residualklassifikation nach Tumorresektion bei Neuerkrankungen in den UICC-Stadien I-IV

R-Klassifikation	UICC I	UICC II	UICC III	UICC IV	Stadium unbekannt	nicht an- wendbar	Summe	
							Anzahl	%
R0 (kein Residualtumor)	167	124	321	97	36	3	748	84.0
R1 (mikroskopischer Residualtumor)	18	6	13	15	1	0	53	5.9
R2 (makroskopischer Residualtumor)	2	1	4	2	1	0	10	1.1
RX (Vorhandensein eines Residualtumors kann nicht beurteilt werden)	22	5	10	8	6	1	52	5.8
keine Angabe	5	3	2	0	2	0	12	1.3
keine R-Klassifikation zu erwarten	8	1	1	0	5	1	16	1.8
<b>Summe</b>	<b>222</b>	<b>140</b>	<b>351</b>	<b>122</b>	<b>51</b>	<b>5</b>	<b>891</b>	<b>100.0</b>



© KR-MV 2023

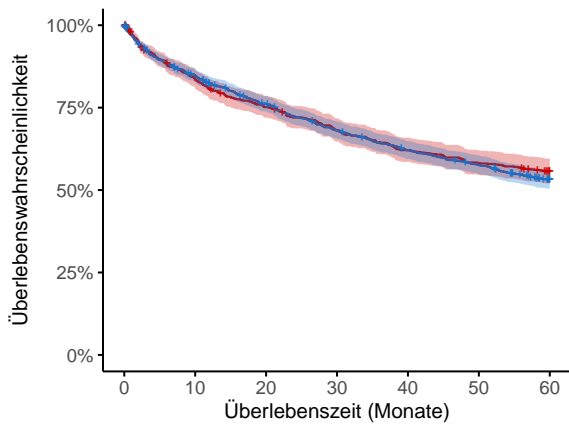


© KR-MV 2023

Abb. 9.11. C19-C20: R-Klassifikation nach tumor-spezifischer Resektion bei Neuerkrankungen in pUICC Stadien I-IV

Abb. 9.12. C19-C20: R-Klassifikation nach tumor-spezifischer Resektion bei Neuerkrankungen mit Tumoren unterschiedlicher pT-Kategorie

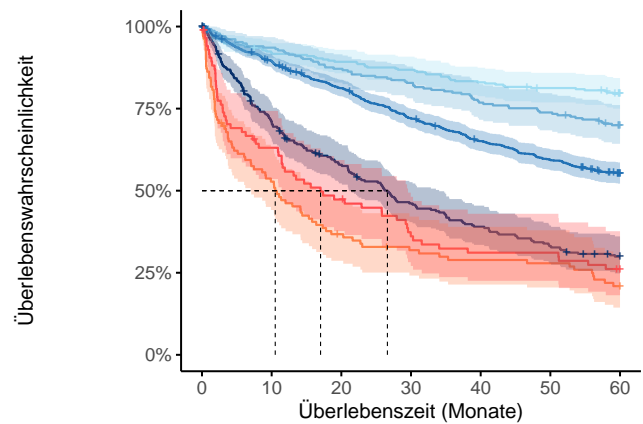
## 9.9 Überlebensanalysen (Kaplan-Meier) bei den in den Jahren 2013-2017 primär diagnostizierten Patienten (Wohnort und Behandlung in M-V)



Anzahl der Neuerkrankungen unter Beobachtung

Frauen	682	561	503	454	414	388	361
Männer	1243	1042	926	825	749	693	617

© KR-MV 2023



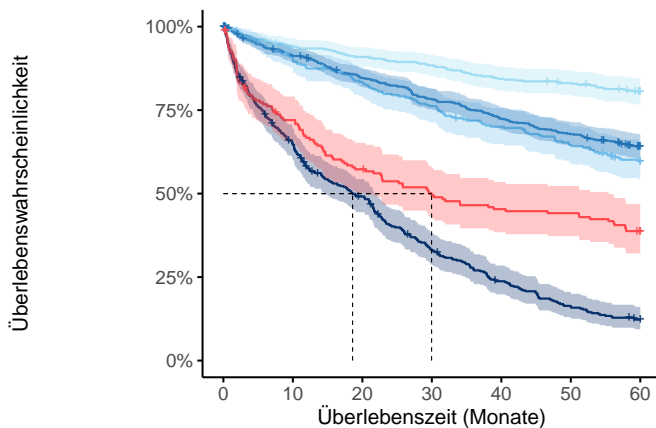
Anzahl der Neuerkrankungen unter Beobachtung

T1	290	265	257	250	239	232	220
T2	234	218	203	193	179	172	158
T3	934	824	743	657	591	539	486
T4	268	187	148	117	99	84	72
TX	109	56	38	32	29	28	21
k.A.	86	52	39	29	25	25	20
nicht anwendbar	4	1	1	1	1	1	1

© KR-MV 2023

Abb. 9.13. C19-C20: Wahrscheinlichkeit des Überlebens (Kaplan-Meier) nach Geschlecht bei Diagnosestellung in den Jahren 2013-2017.\*

Abb. 9.14. C19-C20: Wahrscheinlichkeit des Überlebens (Kaplan-Meier) nach Tumorgröße bei Diagnosestellung in den Jahren 2013-2017.\*



Anzahl der Neuerkrankungen unter Beobachtung

UICC I	399	373	360	350	334	327	309
UICC II	280	251	230	210	192	177	159
UICC III	668	601	553	511	473	443	403
UICC IV	400	255	188	124	87	59	43
Stadium unbekannt	174	122	97	83	76	74	63
nicht anwendbar	4	1	1	1	1	1	1

© KR-MV 2023

Abb. 9.15. C19-C20: Wahrscheinlichkeit des Überlebens (Kaplan-Meier) nach UICC bei Diagnosestellung in den Jahren 2013-2017.\*

\*Die 50%-Überlebensraten sind dort, wo sie bestimmbar sind, graphisch dargestellt. Zusätzlich erfolgt pro Überlebenskurve die Darstellung des 95%-Konfidenzintervalls. Kaplan-Meier Kurven werden für Kategorien mit weniger als 30 Neuerkrankungen nicht dargestellt.

# 10 Leber C22

## 10.1 Consort-Statement: Darstellung der Auswertepopulation

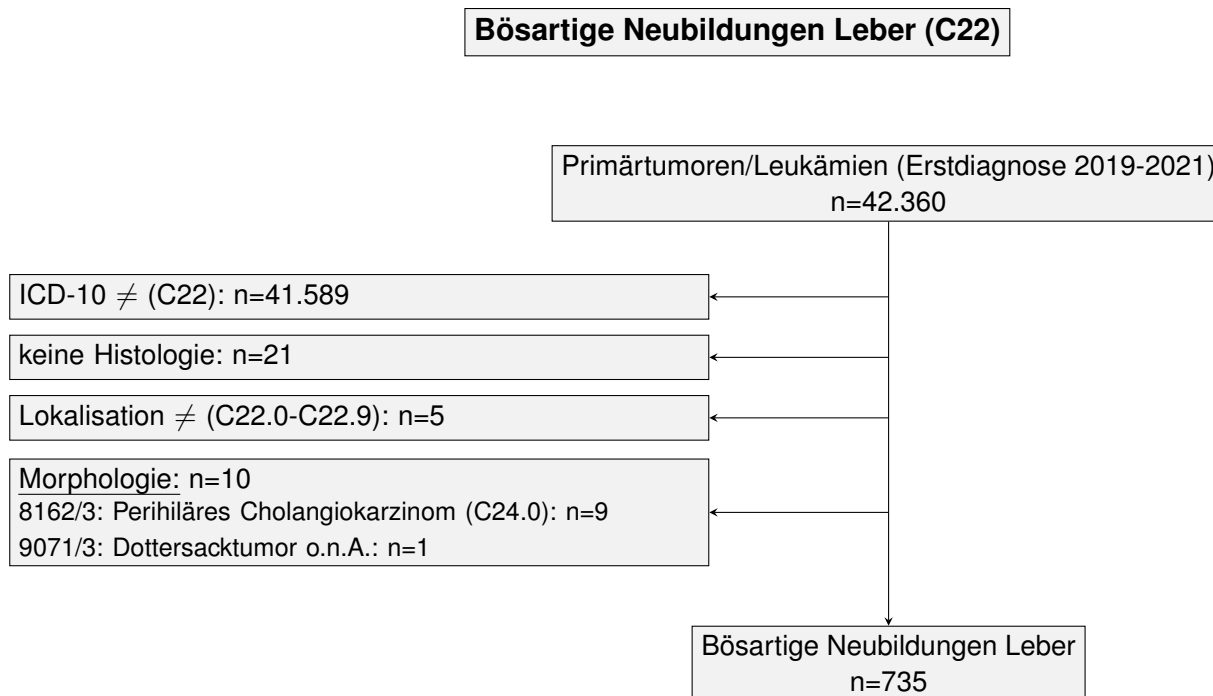
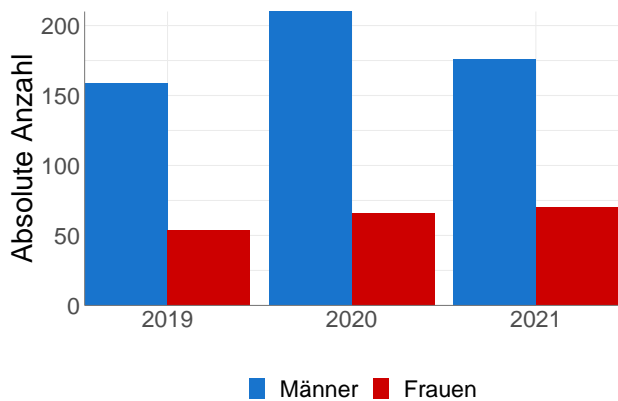


Abb. 10.1. Consort zu den bösartigen Neubildungen der Leber

## 10.2 Absolute Anzahl der erfassten Neuerkrankungen in M-V in den Jahren 2019-2021 nach Geschlecht und Alter

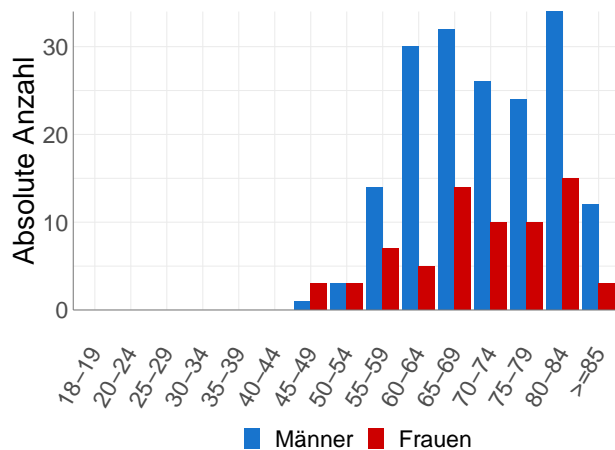
Tab. 10.1. C22: Absolute Anzahl der Neuerkrankungen nach Geschlecht

Geschlecht	Männer		Frauen		Summe
	Anzahl	%	Anzahl	%	
2019	159	74.6	54	25.4	213
2020	210	76.1	66	23.9	276
2021	176	71.5	70	28.5	246
Summe	545	74.1	190	25.9	735



© KR-MV 2023

Abb. 10.2. C22: Absolute Anzahl der Neuerkrankungen nach Geschlecht



© KR-MV 2023

Abb. 10.3. C22: Absolute Anzahl der Neuerkrankungen aufgelistet in 5-Jahres-Altersgruppen und nach Geschlecht für das Diagnosejahr 2021

Tab. 10.2. C22: Erkrankungsalter

Diagnosejahre	Männer				Frauen			
	Anzahl	Median	Minimum	Maximum	Anzahl	Median	Minimum	Maximum
2019	159	69	36	87	54	68	41	89
2020	210	68	35	92	66	73	57	91
2021	176	71	48	93	70	71	48	97

### 10.3 Absolute Anzahl der erfassten Neuerkrankungen in M-V in den Jahren 2019-2021 nach Lokalisation

Tab. 10.3. C22: Absolute Anzahl und prozentualer Anteil der Neuerkrankungen nach der Lokalisation

Lokalisationen	2019	2020	2021	Summe	
				Anzahl	%
Leber (ICD-O: C22.0)	91	158	178	427	58.1
Rechter Leberlappen (ICD-O: C22.01)	33	26	1	60	8.2
Linker Leberlappen (ICD-O: C22.02)	21	21	1	43	5.9
Intrahepatische Gallengänge (Gallenkanälchen) (ICD-O: C22.1)	68	71	66	205	27.9
Summe	213	276	246	735	100.0

## 10.4 Histologische Befunde bei allen neuerkrankten Patienten in M-V in den Jahren 2019-2021

Tab. 10.4. C22: Histologische Befunde bei neuerkrankten Patienten

	2019		2020		2021	
	Anzahl	%	Anzahl	%	Anzahl	%
8170/3: Hepatozelluläres Karzinom o.n.A.	128	60.1	180	65.2	158	64.2
8172/3: Szirrhöses hepatozelluläres Karzinom	0	0.0	1	0.4	0	0.0
8174/3: Klarzelliges hepatozelluläres Karzinom	0	0.0	3	1.1	3	1.2
8180/3: Kombiniertes hepatozelluläres Karzinom und Cholangiokarzinom	1	0.5	4	1.4	0	0.0
<b>hepatozelluläre Karzinome</b>	<b>129</b>	<b>60.6</b>	<b>188</b>	<b>68.1</b>	<b>161</b>	<b>65.4</b>
8140/3: Adenokarzinom o.n.A.	44	20.7	38	13.8	38	15.4
8160/3: Intrahepatisches Cholangiokarzinom	20	9.4	34	12.3	32	13.0
8190/3: Trabekuläres Adenokarzinom	5	2.3	0	0.0	0	0.0
8211/3: Tubuläres Adenokarzinom	2	0.9	0	0.0	1	0.4
8230/3: Solides Karzinom o.n.A.	1	0.5	0	0.0	0	0.0
8500/3: Invasives duktales Karzinom o.n.A.	1	0.5	4	1.4	3	1.2
<b>intrahepatische cholangioläre Karzinome</b>	<b>73</b>	<b>34.3</b>	<b>76</b>	<b>27.5</b>	<b>74</b>	<b>30.1</b>
8000/3: Maligne Neoplasie	6	2.8	2	0.7	6	2.4
<b>Nicht näher bezeichnete maligne Neoplasien</b>	<b>6</b>	<b>2.8</b>	<b>2</b>	<b>0.7</b>	<b>6</b>	<b>2.4</b>
8010/3: Karzinom o.n.A.	2	0.9	4	1.4	2	0.8
8020/3: Undifferenziertes Karzinom o.n.A.	1	0.5	2	0.7	2	0.8
<b>Nicht näher bezeichnete Karzinome</b>	<b>3</b>	<b>1.4</b>	<b>6</b>	<b>2.2</b>	<b>4</b>	<b>1.6</b>
9120/3: Hämangiosarkom	1	0.5	4	1.4	1	0.4
9130/3: Malignes Hämangioendotheliom	1	0.5	0	0.0	0	0.0
<b>Sarkome</b>	<b>2</b>	<b>0.9</b>	<b>4</b>	<b>1.4</b>	<b>1</b>	<b>0.4</b>
<b>Summe</b>	<b>213</b>	<b>100.0</b>	<b>276</b>	<b>100.0</b>	<b>246</b>	<b>100.0</b>

## 10.5 Tumorgröße und Ausdehnung (TNM)

Tab. 10.5. C22: Absolute Anzahl der Neuerkrankungen klassifiziert nach der Tumorgröße

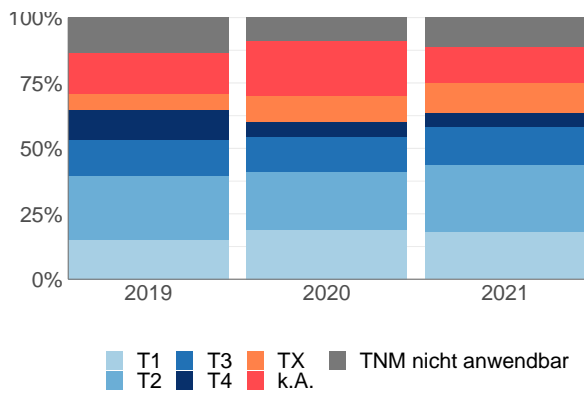
Tumorgröße (T)	2019		2020		2021		Summe	
	Anzahl	%	Anzahl	%	Anzahl	%	Anzahl	%
T1	32	15.0	52	18.8	44	17.9	128	17.4
T2	52	24.4	61	22.1	63	25.6	176	23.9
T3	29	13.6	37	13.4	36	14.6	102	13.9
T4	25	11.7	15	5.4	13	5.3	53	7.2
TX	13	6.1	28	10.1	28	11.4	69	9.4
k.A.	33	15.5	58	21.0	34	13.8	125	17.0
TNM nicht anwendbar	29	13.6	25	9.1	28	11.4	82	11.2
<b>Summe</b>	<b>213</b>	<b>100.0</b>	<b>276</b>	<b>100.0</b>	<b>246</b>	<b>100.0</b>	<b>735</b>	<b>100.0</b>

Tab. 10.6. C22: Absolute Anzahl der Neuerkrankungen mit bzw. ohne Befall der regionären Lymphknoten

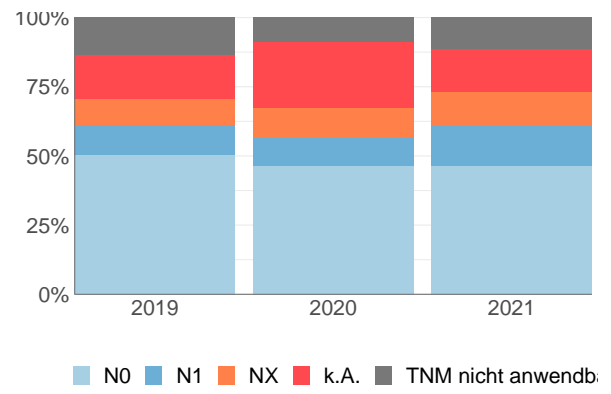
N-Kategorie	2019		2020		2021		Summe	
	Anzahl	%	Anzahl	%	Anzahl	%	Anzahl	%
N0	107	50.2	128	46.4	114	46.3	349	47.5
N1	23	10.8	27	9.8	35	14.2	85	11.6
NX	20	9.4	30	10.9	31	12.6	81	11.0
k.A.	34	16.0	66	23.9	38	15.4	138	18.8
TNM nicht anwendbar	29	13.6	25	9.1	28	11.4	82	11.2
Summe	213	100.0	276	100.0	246	100.0	735	100.0

Tab. 10.7. C22: Absolute Anzahl der Neuerkrankungen mit Fernmetastasierung

M-Kategorie	2019		2020		2021		Summe	
	Anzahl	%	Anzahl	%	Anzahl	%	Anzahl	%
M0	103	48.4	132	47.8	126	51.2	361	49.1
M1	40	18.8	42	15.2	43	17.5	125	17.0
MX/k.A.	41	19.2	77	27.9	49	19.9	167	22.7
TNM nicht anwendbar	29	13.6	25	9.1	28	11.4	82	11.2
Summe	213	100.0	276	100.0	246	100.0	735	100.0



© KR-MV 2023



© KR-MV 2023

Abb. 10.4. C22: Prozentualer Anteil der Neuerkrankungen nach Tumorgöße im Diagnosezeitraum 2019 bis 2021

Abb. 10.5. C22: Prozentualer Anteil der Neuerkrankungen mit bzw. ohne Befall der regionären Lymphknoten im Diagnosezeitraum 2019 bis 2021

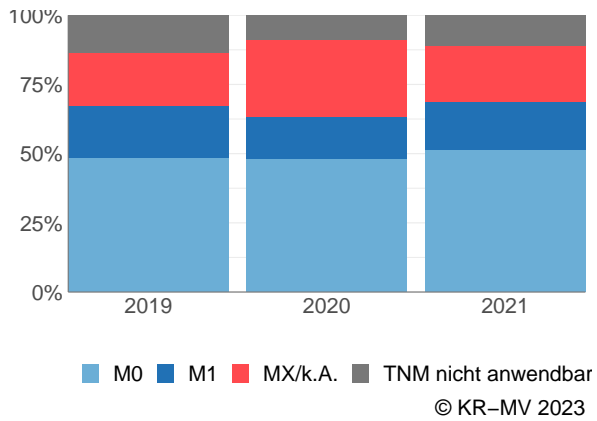


Abb. 10.6. C22: Prozentualer Anteil der Neuerkrankungen mit bzw. ohne primäre Fernmetastasierung im Diagnosezeitraum 2019 bis 2021

## 10.6 Primäre Tumorstadien nach UICC

Tab. 10.8. C22: Primäre UICC-Stadien

Diagnose- jahre	UICC I		UICC II		UICC III		UICC IV		Stadium unbekannt		nicht anwendbar*		Summe
	Anzahl	%	Anzahl	%	Anzahl	%	Anzahl	%	Anzahl	%	Anzahl	%	
2019	25	11.7	33	15.5	33	15.5	44	20.7	49	23.0	29	13.6	213
2020	37	13.4	37	13.4	40	14.5	50	18.1	87	31.5	25	9.1	276
2021	32	13.0	37	15.0	34	13.8	54	22.0	61	24.8	28	11.4	246
Summe	94	12.8	107	14.6	107	14.6	148	20.1	197	26.8	82	11.2	735

\* Für diese Neuerkrankungen war es nicht möglich eine TNM-Angabe (TNM Auflage 8) anzugeben.

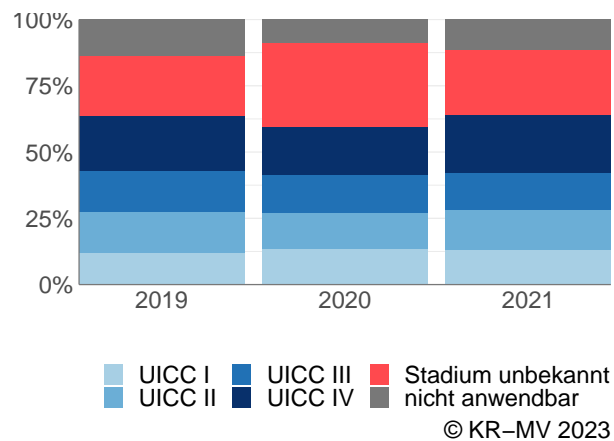
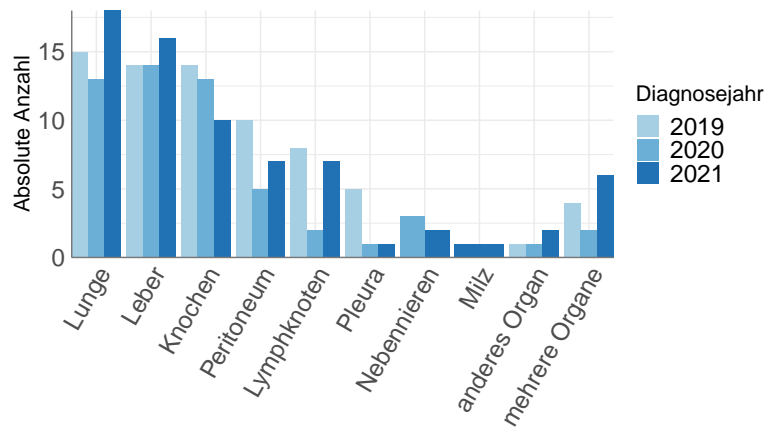


Abb. 10.7. C22: Prozentuale Anteile der primären UICC-Tumorstadien in den Diagnosejahren 2019 bis 2021

## 10.7 Lokalisation der primären Fernmetastasen



© KR-MV 2023

Abb. 10.8. C22: Lokalisation der primären Fernmetastasen bei Neuerkrankungen im Diagnosezeitraum 2019 bis 2021

## 10.8 Dokumentierte Therapie bis max. 12 Monate nach Diagnosestellung

### 10.8.1 Therapiekombinationen, Stellung der Therapie und Intention der dokumentierten Therapien

Tab. 10.9. C22: Häufigkeit der tumorbezogenen Therapien

Tumorbezogene Therapien	2019	2020	2021	Summe	
				Anzahl	%
Tumorspezifische Operation	47	55	71	173	21.5
Systemische Therapie	76	105	86	267	33.2
Strahlentherapie	14	17	12	43	5.3
Keine Therapie gemeldet	95	121	105	321	39.9
Summe	232	298	274	804	100.0

Tab. 10.10. C22: Zeitraum zwischen Diagnose und Beginn der ersten Therapie nach Therapieart (Angabe in Tagen)

Tumorbezogene Therapien	Median	Minimum	Maximum
Strahlentherapie	84.0	6	353
Systemische Therapie	33.0	1	365
Tumorspezifische Operation	27.5	0	301

Tab. 10.11. C22: Therapiekombinationen (Operation, Strahlentherapie, systemische Therapie) pro Diagnosejahr

Therapiekombination	2019	2020	2021	Summe	
				Anzahl	%
Alleinige tumorspezifische Operation	34	42	51	127	17.3
Alleinige systemische Therapie	59	85	63	207	28.2
Alleinige Strahlentherapie	7	7	4	18	2.4
Tumorspezifische Operation und systemische Therapie	11	11	15	37	5.0
Tumorspezifische Operation und Strahlentherapie	1	1	0	2	0.3
Systemische Therapie und Strahlentherapie	5	8	3	16	2.2
Tumorspezifische Operation und systemische Therapie und Strahlentherapie	1	1	5	7	1.0
Keine tumorspezifische Operation, systemische Therapie oder Strahlentherapie	95	121	105	321	43.7
Summe	213	276	246	735	100.0

Tab. 10.12. C22: Therapiekombinationen (Operation, Strahlentherapie, systemische Therapie) in Abhängigkeit von dem UICC-Stadium

Therapiekombination	UICC				Stadium unbekannt	nicht anwendbar	Summe	
	I	II	III	IV			Anzahl	%
Alleinige tumorspezifische Operation	43	31	25	8	10	10	127	17.3
Alleinige systemische Therapie	15	25	33	55	60	19	207	28.2
Alleinige Strahlentherapie	2	0	1	4	11	0	18	2.4
Tumorspezifische Operation und systemische Therapie	3	9	14	4	5	2	37	5.0
Tumorspezifische Operation und Strahlentherapie	0	0	0	1	1	0	2	0.3
Systemische Therapie und Strahlentherapie	0	1	0	6	7	2	16	2.2
Tumorspezifische Operation und systemische Therapie und Strahlentherapie	0	0	3	2	1	1	7	1.0
Keine tumorspezifische Operation, systemische Therapie oder Strahlentherapie	31	41	31	68	102	48	321	43.7
Summe	94	107	107	148	197	82	735	100.0

Tab. 10.13. C22: Stellung der Strahlentherapie zur operativen Therapie im ersten Jahr der Erkrankung (adjuvant/neoadjuvant)

Stellung der Strahlentherapie zur operativen Therapie	2019	2020	2021	Summe	
				Anzahl	%
Adjuvante (postoperative) Strahlentherapie	0	1	1	2	22.2
Therapie ohne Bezug zu einer operativen Therapie	2	1	4	7	77.8
Summe	2	2	5	9	100.0

Tab. 10.14. C22: Stellung der systemischen Therapie zur operativen Therapie im ersten Jahr der Erkrankung (adjuvant/neoadjuvant)

Stellung der systemischen Therapie zur operativen Therapie	2019	2020	2021	Summe	
				Anzahl	%
Therapie ohne Bezug zu einer operativen Therapie	6	6	6	18	40.9
Adjuvante (postoperative) Therapie	5	5	12	22	50.0
Intraoperative Therapie	0	0	1	1	2.3
Neoadjuvante (präoperative) Therapie	0	1	0	1	2.3
Sonstige/Keine Angabe	1	0	1	2	4.5
Summe	12	12	20	44	100.0

Tab. 10.15. C22: Intention bei der ersten Operation

Intention der Operation	2019	2020	2021	Summe	
				Anzahl	%
Kurativ	40	52	64	156	90.2
Palliativ bzw. symptomatisch	5	3	4	12	6.9
Diagnostisch	1	0	3	4	2.3
Sonstige/Unbekannt/Keine Angabe	1	0	0	1	0.6
Summe	47	55	71	173	100.0

Tab. 10.16. C22: Intention bei der initialen Bestrahlung

Intention der Bestrahlung	2019	2020	2021	Summe	
				Anzahl	%
Palliativ bzw. symptomatisch	7	9	5	21	48.8
Kurativ	7	8	7	22	51.2
Summe	14	17	12	43	100.0

Tab. 10.17. C22: Intention bei der ersten systemischen Therapie

Intention der systemischen Therapie	2019	2020	2021	Summe	
				Anzahl	%
Palliativ bzw. symptomatisch	59	64	44	167	62.5
Kurativ	16	39	40	95	35.6
Sonstige/Unbekannt/Keine Angabe	1	2	2	5	1.9
Summe	76	105	86	267	100.0

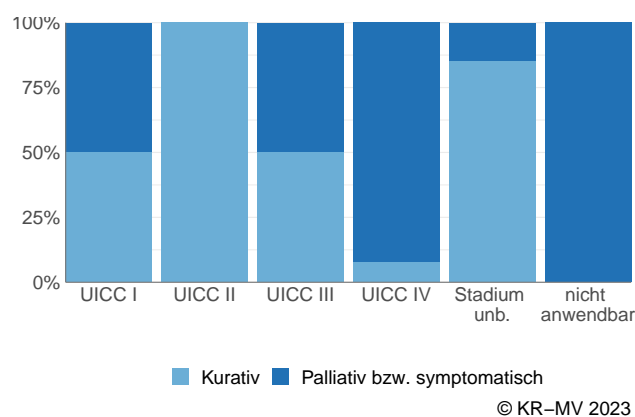
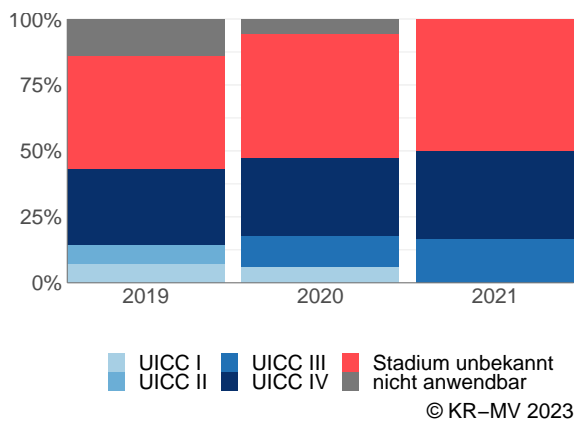


Abb. 10.9. C22: Prozentuale Verteilung der UICC-Stadien bei allen in den Jahren 2019 bis 2021 bestrahlten Neuerkrankungen

Abb. 10.10. C22: Intention der ersten Bestrahlung nach UICC-Klassifikation

### 10.8.2 Dokumentierte tumorspezifische Operation bis max. 12 Monate nach Diagnosestellung

Tab. 10.18. C22: Dokumentierte tumorspezifische Operation nach UICC

Operation	UICC I	UICC II	UICC III	UICC IV	Stadium unbekannt	nicht anwendbar	Summe	
							Anzahl	%
5-502: Anatomische (typische) Leberresektion	32	30	38	9	10	8	127	73.4
5-501: Lokale Exzision und Destruktion von erkranktem Gewebe der Leber (atypische Leberresektion)	14	10	4	6	7	5	46	26.6
Summe	46	40	42	15	17	13	173	100.0

Tab. 10.19. C22: Residualklassifikation nach Tumorresektion bei Neuerkrankungen in den UICC-Stadien I-IV

R-Klassifikation	UICC I	UICC II	UICC III	UICC IV	Stadium unbekannt	nicht anwendbar	Summe	
							Anzahl	%
R0 (kein Residualtumor)	38	34	32	7	9	7	127	73.4
R1 (mikroskopischer Residualtumor)	5	2	5	1	1	1	15	8.7
R2 (makroskopischer Residualtumor)	0	0	2	1	1	2	6	3.5
RX (Vorhandensein eines Residualtumors kann nicht beurteilt werden)	1	0	1	4	2	1	9	5.2
keine R-Klassifikation zu erwarten	2	4	2	2	4	2	16	9.2
Summe	46	40	42	15	17	13	173	100.0

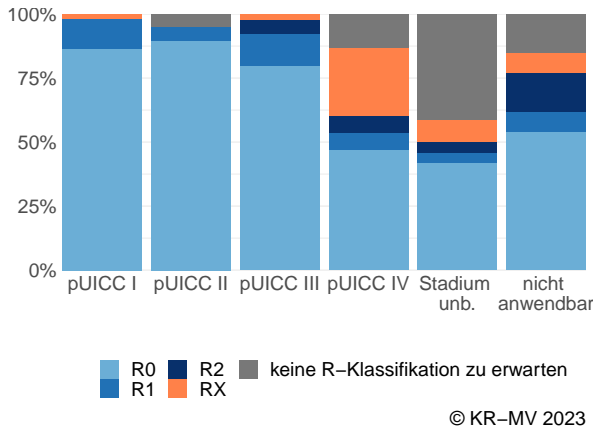


Abb. 10.11. C22: R-Klassifikation nach tumorspezifischer Resektion bei Neuerkrankungen in pUICC Stadien I-IV

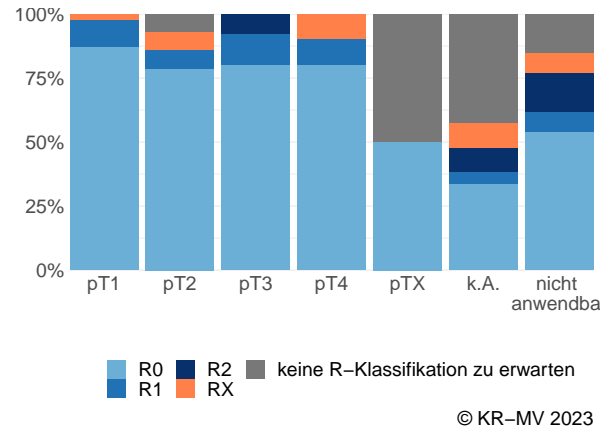
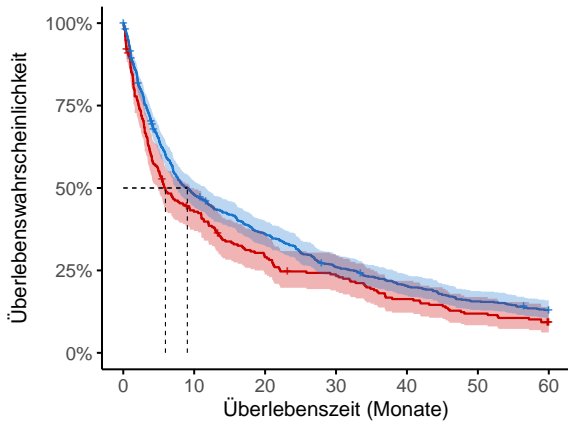


Abb. 10.12. C22: R-Klassifikation nach tumorspezifischer Resektion bei Neuerkrankungen mit Tumoren unterschiedlicher pT-Kategorie

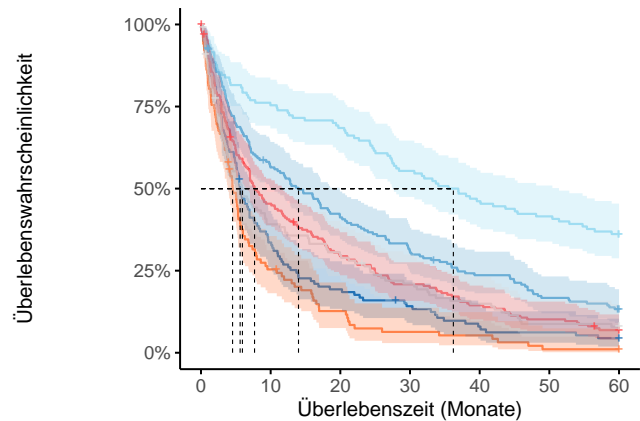
### 10.9 Überlebensanalysen (Kaplan-Meier) bei den in den Jahren 2013-2017 primär diagnostizierten Patienten (Wohnort und Behandlung in M-V)



Anzahl der Neuerkrankungen unter Beobachtung		0	10	20	30	40	50	60
Frauen	240	100	67	53	37	27	19	
Männer	637	301	224	161	125	96	79	

© KR-MV 2023

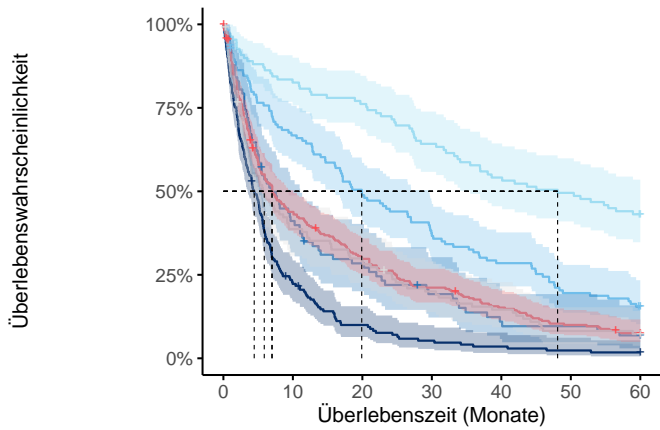
Abb. 10.13. C22: Wahrscheinlichkeit des Überlebens (Kaplan-Meier) nach Geschlecht bei Diagnosestellung in den Jahren 2013-2017.\*



Anzahl der Neuerkrankungen unter Beobachtung		0	10	20	30	40	50	60
T1	130	98	89	72	60	54	46	
T2	181	100	73	54	41	29	22	
T3	121	40	23	16	9	7	5	
T4	29	6	4	3	3	3	3	
TX	102	25	12	6	5	1	1	
k.A.	193	86	55	39	27	19	12	
nicht anwendbar	121	46	35	24	17	10	9	

© KR-MV 2023

Abb. 10.14. C22: Wahrscheinlichkeit des Überlebens (Kaplan-Meier) nach Tumorgroße bei Diagnosestellung in den Jahren 2013-2017.\*



	Anzahl der Neuerkrankungen unter Beobachtung						
UICC I	109	90	83	70	59	54	46
UICC II	125	82	60	45	35	24	18
UICC III	82	33	22	14	8	7	5
UICC IV	181	39	17	9	6	4	3
Stadium unbekannt	264	113	76	54	38	25	18
nicht anwendbar	116	44	33	22	16	9	8

© KR-MV 2023

Abb. 10.15. C22: Wahrscheinlichkeit des Überlebens (Kaplan-Meier) nach UICC bei Diagnosestellung in den Jahren 2013-2017.\*

\*Die 50%-Überlebensraten sind dort, wo sie bestimmbar sind, graphisch dargestellt. Zusätzlich erfolgt pro Überlebenskurve die Darstellung des 95%-Konfidenzintervalls. Kaplan-Meier Kurven werden für Kategorien mit weniger als 30 Neuerkrankungen nicht dargestellt.

# 11 Bauchspeicheldrüse C25

## 11.1 Consort-Statement: Darstellung der Auswertepopulation

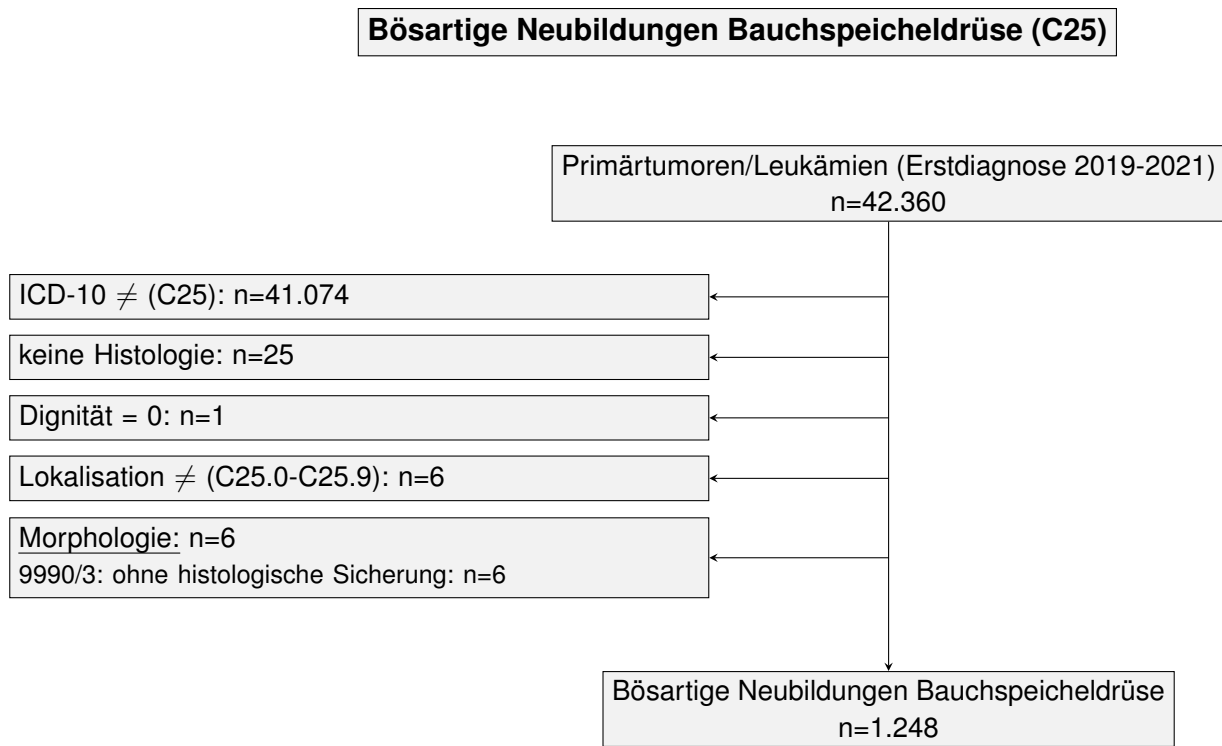
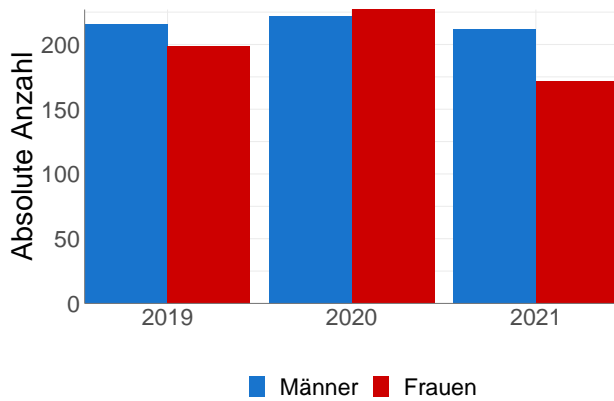


Abb. 11.1. Consort zu den bösartigen Neubildungen der Bauchspeicheldrüse

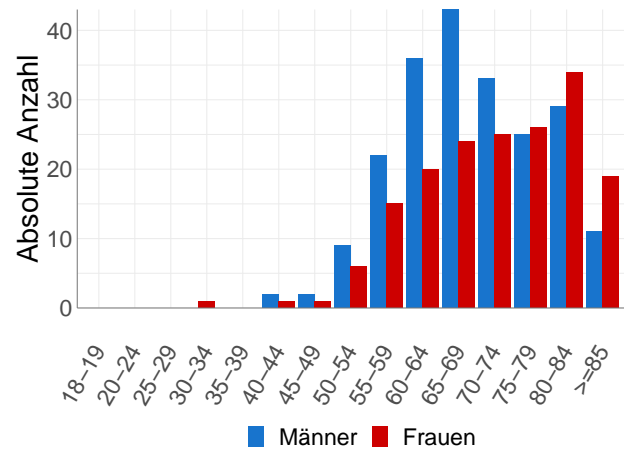
## 11.2 Absolute Anzahl der erfassten Neuerkrankungen in M-V in den Jahren 2019-2021 nach Geschlecht und Alter

Tab. 11.1. C25: Absolute Anzahl der Neuerkrankungen nach Geschlecht

Geschlecht	Männer		Frauen		Summe
	Anzahl	%	Anzahl	%	
2019	216	52.0	199	48.0	415
2020	222	49.4	227	50.6	449
2021	212	55.2	172	44.8	384
Summe	650	52.1	598	47.9	1248



© KR-MV 2023



© KR-MV 2023

Abb. 11.2. C25: Absolute Anzahl der Neuerkrankungen nach Geschlecht

Abb. 11.3. C25: Absolute Anzahl der Neuerkrankungen aufgelistet in 5-Jahres-Altersgruppen und nach Geschlecht für das Diagnosejahr 2021

Tab. 11.2. C25: Erkrankungsalter

Diagnosejahre	Männer				Frauen			
	Anzahl	Median	Minimum	Maximum	Anzahl	Median	Minimum	Maximum
2019	216	70	38	93	199	72	42	93
2020	222	69	36	92	227	71	25	95
2021	212	68	41	95	172	73	33	97

### 11.3 Absolute Anzahl der erfassten Neuerkrankungen in M-V in den Jahren 2019-2021 nach Lokalisation

Tab. 11.3. C25: Absolute Anzahl und prozentualer Anteil der Neuerkrankungen nach der Lokalisation

Lokalisationen	2019	2020	2021	Summe	
				Anzahl	%
Pankreaskopf (ICD-O: C25.0)	240	252	196	688	55.1
Pankreaskörper (ICD-O: C25.1)	55	65	56	176	14.1
Pankreasschwanz (ICD-O: C25.2)	54	59	64	177	14.2
Ductus pancreaticus (ICD-O: C25.3)	1	0	2	3	0.2
Langerhans-Inseln (ICD-O: C25.4)	0	4	0	4	0.3
Andere Teile des Pankreas (ICD-O: C25.7)	0	3	2	5	0.4
Pankreas (mehrere Teilbereiche überlappend) (ICD-O: C25.8)	22	22	21	65	5.2
Pankreas o.n.A. (ICD-O: C25.9)	43	44	43	130	10.4
Summe	415	449	384	1248	100.0

## 11.4 Histologische Befunde bei allen neuerkrankten Patienten in M-V in den Jahren 2019-2021

Tab. 11.4. C25: Histologische Befunde bei neuerkrankten Patienten

	2019		2020		2021	
	Anzahl	%	Anzahl	%	Anzahl	%
8140/3: Adenokarzinom o.n.A.	140	33.7	145	32.3	120	31.2
8154/3: Maligner gemischter endokriner und exokriner Pankreastumor	0	0.0	1	0.2	0	0.0
8163/3: Karzinom vom pankreatobiliären T	1	0.2	1	0.2	2	0.5
8211/3: Tubuläres Adenokarzinom	0	0.0	0	0.0	4	1.0
8230/3: Solides Karzinom o.n.A.	0	0.0	2	0.4	0	0.0
8260/3: Papilläres Adenokarzinom o.n.A.	0	0.0	1	0.2	0	0.0
8310/3: Klarzelliges Adenokarzinom o.n.A.	1	0.2	0	0.0	0	0.0
8320/3: Granularzellkarzinom	0	0.0	1	0.2	0	0.0
8452/3: Solide pseudopapilläre Neoplasie des Pankreas	0	0.0	2	0.4	0	0.0
8453/3: Intraduktale papillär-muzinöse Neoplasie assoziiert mit invasivem Karzinom	2	0.5	3	0.7	2	0.5
8480/3: Muzinöses Adenokarzinom	1	0.2	4	0.9	1	0.3
8481/3: Schleimbildendes Adenokarzinom Schleimbildendes Karzinom	1	0.2	1	0.2	2	0.5
8490/3: Siegelringzellkarzinom	1	0.2	1	0.2	1	0.3
8500/3: Invasives duktales Karzinom o.n.A.	182	43.9	197	43.9	177	46.1
8523/3: Invasives duktales Karzinom gemischt mit anderen Karzinom-Typen	1	0.2	0	0.0	0	0.0
8550/3: Azinuszellkarzinom	0	0.0	3	0.7	3	0.8
8560/3: Adenosquamöses Karzinom	4	1.0	10	2.2	3	0.8
<b>Adenokarzinome</b>	<b>334</b>	<b>80.5</b>	<b>372</b>	<b>82.9</b>	<b>315</b>	<b>82.0</b>
8000/3: Maligne Neoplasie	39	9.4	30	6.7	30	7.8
<b>Nicht näher bezeichnete maligne Neoplasien</b>	<b>39</b>	<b>9.4</b>	<b>30</b>	<b>6.7</b>	<b>30</b>	<b>7.8</b>
8010/3: Karzinom o.n.A.	10	2.4	19	4.2	17	4.4
8014/3: Großzelliges Karzinom mit rhabdoidem Phänotyp	0	0.0	1	0.2	0	0.0
8020/3: Undifferenziertes Karzinom o.n.A.	2	0.5	0	0.0	1	0.3
8021/3: Anaplastisches Karzinom o.n.A.	0	0.0	0	0.0	1	0.3
8022/3: Pleomorphes Karzinom	0	0.0	2	0.4	0	0.0
8033/3: Pseudosarkomatöses Karzinom	1	0.2	0	0.0	0	0.0
8035/3: Karzinom mit osteoklastenähnlichen Riesenzellen	1	0.2	1	0.2	1	0.3
8041/3: Kleinzelliges Karzinom o.n.A.	2	0.5	0	0.0	0	0.0
8046/3: Nichtkleinzelliges Karzinom	1	0.2	1	0.2	0	0.0
8070/3: Plattenepithelkarzinom o.n.A.	0	0.0	1	0.2	1	0.3
<b>epitheliale Neoplasien</b>	<b>17</b>	<b>4.1</b>	<b>25</b>	<b>5.6</b>	<b>21</b>	<b>5.5</b>
8013/3: Großzelliges neuroendokrines Karzinom	2	0.5	2	0.4	0	0.0
8150/3: Neuroendokriner Pankreastumor, hormoninaktiv	3	0.7	3	0.7	1	0.3
8240/3: Neuroendokriner Tumor o.n.A.	11	2.7	11	2.4	13	3.4
8246/3: Neuroendokrines Karzinom o.n.A.	3	0.7	2	0.4	2	0.5
8249/3: Neuroendokriner Tumor, Grad 2	5	1.2	3	0.7	2	0.5
<b>NET/NEC</b>	<b>24</b>	<b>5.8</b>	<b>21</b>	<b>4.7</b>	<b>18</b>	<b>4.7</b>
8151/3: Insulinom o.n.A.	0	0.0	1	0.2	0	0.0
8153/3: Gastrinom	1	0.2	0	0.0	0	0.0
<b>maligne endokrin aktive Tumoren</b>	<b>1</b>	<b>0.2</b>	<b>1</b>	<b>0.2</b>	<b>0</b>	<b>0.0</b>
<b>Summe</b>	<b>415</b>	<b>100.0</b>	<b>449</b>	<b>100.0</b>	<b>384</b>	<b>100.0</b>

## 11.5 Tumorgröße und Ausdehnung (TNM)

Tab. 11.5. C25: Absolute Anzahl der Neuerkrankungen klassifiziert nach der Tumorgröße

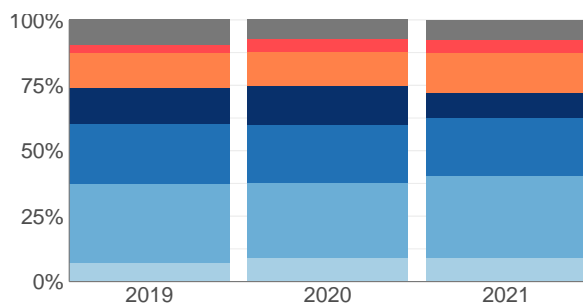
Tumorgröße (T)	2019		2020		2021		Summe	
	Anzahl	%	Anzahl	%	Anzahl	%	Anzahl	%
T1	30	7.2	40	8.9	34	8.9	104	8.3
T2	125	30.1	128	28.5	121	31.5	374	30.0
T3	95	22.9	100	22.3	85	22.1	280	22.4
T4	56	13.5	67	14.9	36	9.4	159	12.7
TX	57	13.7	59	13.1	59	15.4	175	14.0
k.A.	12	2.9	22	4.9	19	4.9	53	4.2
TNM nicht anwendbar	40	9.6	33	7.3	30	7.8	103	8.3
Summe	415	100.0	449	100.0	384	100.0	1248	100.0

Tab. 11.6. C25: Absolute Anzahl der Neuerkrankungen mit bzw. ohne Befall der regionären Lymphknoten

N-Kategorie	2019		2020		2021		Summe	
	Anzahl	%	Anzahl	%	Anzahl	%	Anzahl	%
N0	119	28.7	133	29.6	127	33.1	379	30.4
N1	126	30.4	132	29.4	102	26.6	360	28.8
N2	53	12.8	65	14.5	45	11.7	163	13.1
NX	64	15.4	62	13.8	60	15.6	186	14.9
k.A.	13	3.1	24	5.3	20	5.2	57	4.6
TNM nicht anwendbar	40	9.6	33	7.3	30	7.8	103	8.3
Summe	415	100.0	449	100.0	384	100.0	1248	100.0

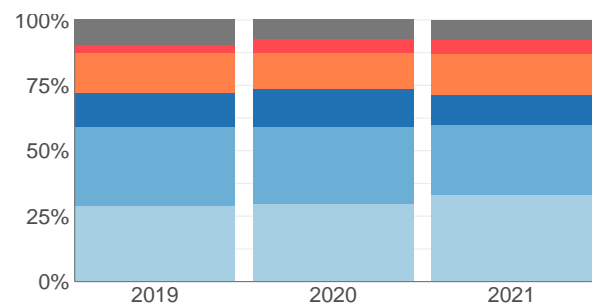
Tab. 11.7. C25: Absolute Anzahl der Neuerkrankungen mit Fernmetastasierung

M-Kategorie	2019		2020		2021		Summe	
	Anzahl	%	Anzahl	%	Anzahl	%	Anzahl	%
M0	175	42.2	182	40.5	154	40.1	511	40.9
M1	183	44.1	205	45.7	173	45.1	561	45.0
MX/k.A.	17	4.1	29	6.5	27	7.0	73	5.8
TNM nicht anwendbar	40	9.6	33	7.3	30	7.8	103	8.3
Summe	415	100.0	449	100.0	384	100.0	1248	100.0



■ T1 ■ T3 ■ TX ■ TNM nicht anwendbar  
■ T2 ■ T4 ■ k.A.

© KR-MV 2023



■ N0 ■ N2 ■ k.A.  
■ N1 ■ NX ■ TNM nicht anwendbar

© KR-MV 2023

Abb. 11.4. C25: Prozentualer Anteil der Neuerkrankungen nach Tumorgröße im Diagnosezeitraum 2019 bis 2021

Abb. 11.5. C25: Prozentualer Anteil der Neuerkrankungen mit bzw. ohne Befall der regionären Lymphknoten im Diagnosezeitraum 2019 bis 2021

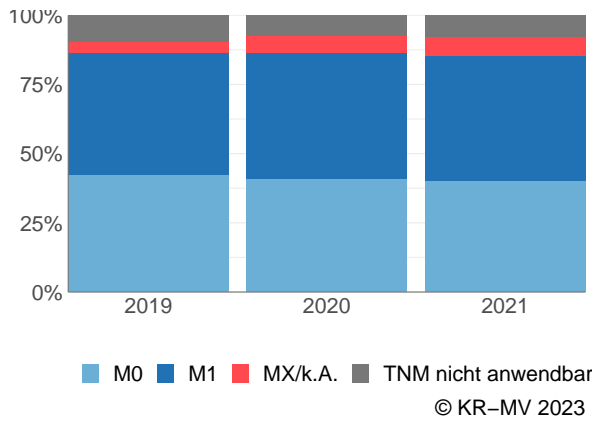


Abb. 11.6. C25: Prozentualer Anteil der Neuerkrankungen mit bzw. ohne primäre Fernmetastasierung im Diagnosezeitraum 2019 bis 2021

## 11.6 Primäre Tumorstadien nach UICC

Tab. 11.8. C25: Primäre UICC-Stadien

Diagnose-jahre	UICC I		UICC II		UICC III		UICC IV		Stadium unbekannt		nicht anwendbar*		Summe
	Anzahl	%	Anzahl	%	Anzahl	%	Anzahl	%	Anzahl	%	Anzahl	%	
2019	34	8.2	71	17.1	64	15.4	183	44.1	23	5.5	40	9.6	415
2020	46	10.2	63	14.0	66	14.7	205	45.7	36	8.0	33	7.3	449
2021	46	12.0	63	16.4	41	10.7	173	45.1	31	8.1	30	7.8	384
Summe	126	10.1	197	15.8	171	13.7	561	45.0	90	7.2	103	8.3	1248

\* Für diese Neuerkrankungen war es nicht möglich eine TNM-Angabe (TNM Auflage 8) anzugeben.

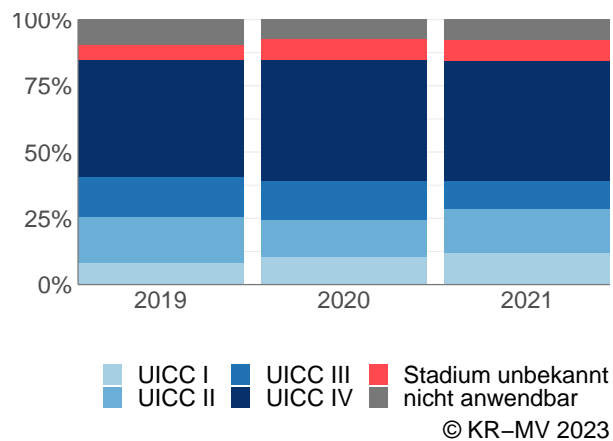
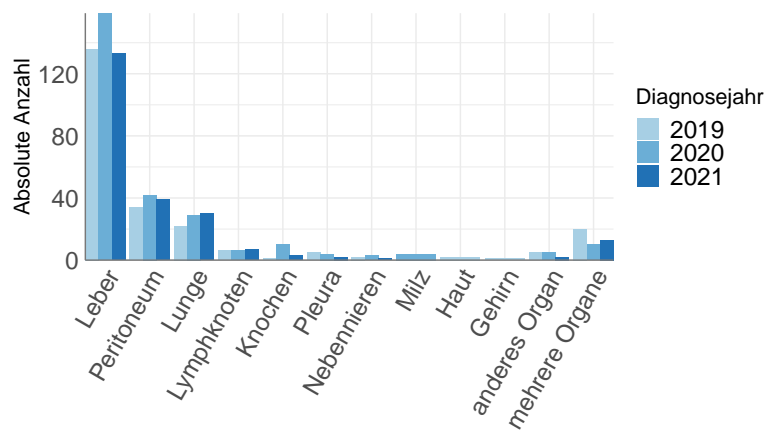


Abb. 11.7. C25: Prozentuale Anteile der primären UICC-Tumorstadien in den Diagnosejahren 2019 bis 2021

## 11.7 Lokalisation der primären Fernmetastasen



© KR-MV 2023

Abb. 11.8. C25: Lokalisation der primären Fernmetastasen bei Neuerkrankungen im Diagnosezeitraum 2019 bis 2021

## 11.8 Dokumentierte Therapie bis max. 12 Monate nach Diagnosestellung

### 11.8.1 Therapiekombinationen, Stellung der Therapie und Intention der dokumentierten Therapien

Tab. 11.9. C25: Häufigkeit der tumorbezogenen Therapien

Tumorbezogene Therapien	2019	2020	2021	Summe	
				Anzahl	%
Tumorspezifische Operation	126	138	116	380	25.4
Systemische Therapie	198	212	205	615	41.1
Strahlentherapie	5	19	8	32	2.1
Keine Therapie gemeldet	163	173	134	470	31.4
Summe	492	542	463	1497	100.0

Tab. 11.10. C25: Zeitraum zwischen Diagnose und Beginn der ersten Therapie nach Therapieart (Angabe in Tagen)

Tumorbezogene Therapien	Median	Minimum	Maximum
Strahlentherapie	192	1	341
Systemische Therapie	31	0	360
Tumorspezifische Operation	17	0	338

Tab. 11.11. C25: Therapiekombinationen (Operation, Strahlentherapie, systemische Therapie) pro Diagnosejahr

Therapiekombination	2019	2020	2021	Summe	
				Anzahl	%
Alleinige tumorspezifische Operation	54	59	45	158	12.7
Alleinige systemische Therapie	123	128	128	379	30.4
Alleinige Strahlentherapie	0	5	0	5	0.4
Tumorspezifische Operation und systemische Therapie	70	70	69	209	16.7

Systemische Therapie und Strahlentherapie	3	5	6	14	1.1
Tumorspezifische Operation und systemische Therapie und Strahlentherapie	2	9	2	13	1.0
Keine tumorspezifische Operation, systemische Therapie oder Strahlentherapie	163	173	134	470	37.7
Summe	415	449	384	1248	100.0

Tab. 11.12. C25: Therapiekombinationen (Operation, Strahlentherapie, systemische Therapie) in Abhängigkeit von dem UICC-Stadium

Therapiekombination	UICC I	UICC II	UICC III	UICC IV	Stadium unbekannt	nicht an- wendbar	Summe	
							Anzahl	%
Alleinige tumorspezifische Operation	38	54	41	16	5	4	158	12.7
Alleinige systemische Therapie	18	28	36	261	22	14	379	30.4
Alleinige Strahlentherapie	0	0	0	5	0	0	5	0.4
tumorspezifische Operation und systemische Therapie	39	85	64	17	2	2	209	16.7
Systemische Therapie und Strahlentherapie	2	1	4	6	0	1	14	1.1
tumorspezifische Operation und systemische Therapie und Strahlentherapie	0	4	8	1	0	0	13	1.0
Keine tumorspezifische Operation, systemische Therapie oder Strahlentherapie	29	25	18	255	61	82	470	37.7
Summe	126	197	171	561	90	103	1248	100.0

Tab. 11.13. C25: Stellung der Strahlentherapie zur operativen Therapie im ersten Jahr der Erkrankung (adjuvant/neoadjuvant)

Stellung der Strahlentherapie zur operativen Therapie	2019	2020	2021	Summe	
				Anzahl	%
Therapie ohne Bezug zu einer operativen Therapie	1	7	2	10	76.9
Adjuvante (postoperative) Strahlentherapie	1	2	0	3	23.1
Summe	2	9	2	13	100.0

Tab. 11.14. C25: Stellung der systemischen Therapie zur operativen Therapie im ersten Jahr der Erkrankung (adjuvant/neoadjuvant)

Stellung der systemischen Therapie zur operativen Therapie	2019	2020	2021	Summe	
				Anzahl	%
Adjuvante (postoperative) Therapie	59	72	55	186	83.8
Neoadjuvante (präoperative) Therapie	5	3	8	16	7.2
Therapie ohne Bezug zu einer operativen Therapie	8	4	7	19	8.6
Sonstige/Keine Angabe	0	0	1	1	0.5
Summe	72	79	71	222	100.0

Tab. 11.15. C25: Intention bei der ersten Operation

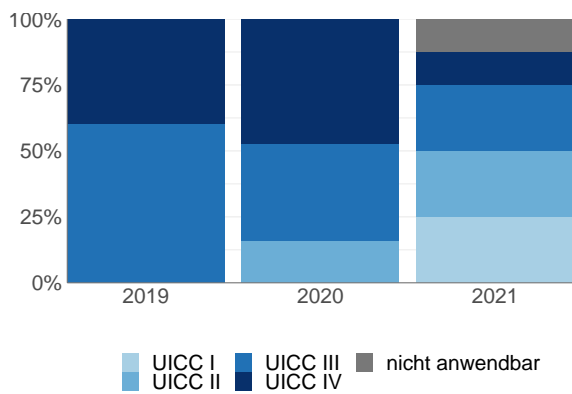
Intention der Operation	2019	2020	2021	Summe	
				Anzahl	%
Kurativ	117	127	105	349	91.8
Palliativ bzw. symptomatisch	7	5	8	20	5.3
Diagnostisch	0	1	2	3	0.8
Sonstige/Unbekannt/Keine Angabe	2	5	1	8	2.1
Summe	126	138	116	380	100.0

Tab. 11.16. C25: Intention bei der initialen Bestrahlung

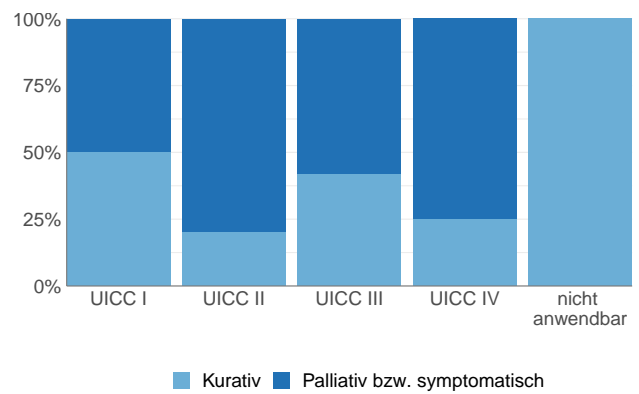
Intention der Bestrahlung	2019	2020	2021	Summe	
				Anzahl	%
Kurativ	1	7	3	11	34.4
Palliativ bzw. symptomatisch	4	12	5	21	65.6
Summe	5	19	8	32	100.0

Tab. 11.17. C25: Intention bei der ersten systemischen Therapie

Intention der systemischen Therapie	2019	2020	2021	Summe	
				Anzahl	%
Kurativ	64	84	70	218	35.4
Palliativ bzw. symptomatisch	133	126	135	394	64.1
Sonstige/Unbekannt/Keine Angabe	1	2	0	3	0.5
Summe	198	212	205	615	100.0



© KR-MV 2023



© KR-MV 2023

Abb. 11.9. C25: Prozentuale Verteilung der UICC-Stadien bei allen in den Jahren 2019 bis 2021 bestrahlten Neuerkrankungen

Abb. 11.10. C25: Intention der ersten Bestrahlung nach UICC-Klassifikation

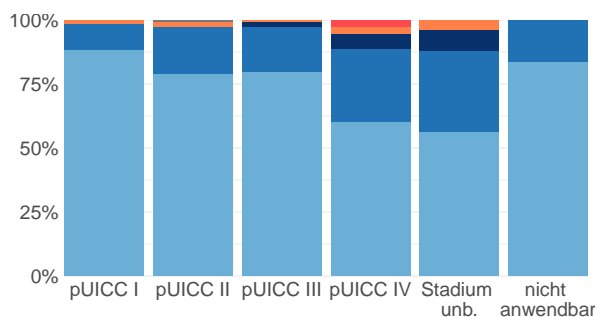
## 11.8.2 Dokumentierte tumorspezifische Operation bis max. 12 Monate nach Diagnosestellung

Tab. 11.18. C25: Dokumentierte tumorspezifische Operation nach UICC

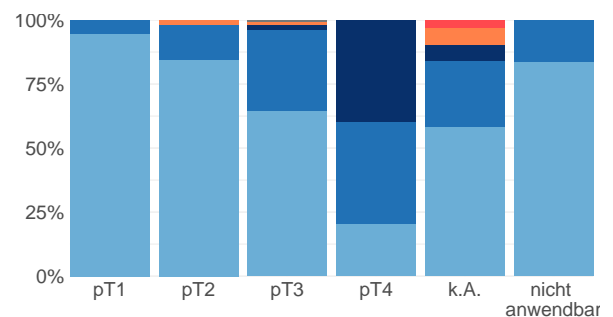
Operation	UICC I	UICC II	UICC III	UICC IV	Stadium unbekannt	nicht an- wendbar	Summe	
							Anzahl	%
5-524: Partielle Resektion des Pankreas	71	131	96	29	4	4	335	88.2
5-525: (Totale) Pankreatektomie	5	11	16	4	3	1	40	10.5
5-521: Lokale Exzision und Destruktion von erkranktem Gewebe des Pankreas	1	1	1	1	0	1	5	1.3
Summe	77	143	113	34	7	6	380	100.0

Tab. 11.19. C25: Residualklassifikation nach Tumorresektion bei Neuerkrankungen in den UICC-Stadien I-IV

R-Klassifikation	UICC I	UICC II	UICC III	UICC IV	Stadium unbekannt	nicht an- wendbar	Summe	
							Anzahl	%
R0 (kein Residualtumor)	66	110	88	21	4	5	294	77.4
R1 (mikroskopischer Residualtumor)	10	28	20	10	2	1	71	18.7
R2 (makroskopischer Residualtumor)	0	0	4	2	0	0	6	1.6
RX (Vorhandensein eines Residualtumors kann nicht beurteilt werden)	1	4	1	1	0	0	7	1.8
keine Angabe	0	0	0	0	1	0	1	0.3
keine R-Klassifikation zu erwarten	0	1	0	0	0	0	1	0.3
Summe	77	143	113	34	7	6	380	100.0



© KR-MV 2023

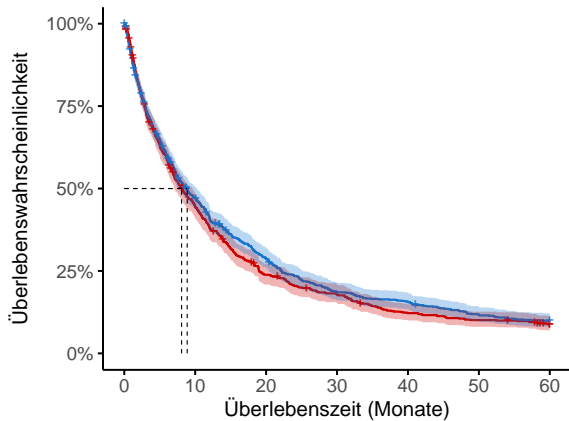


© KR-MV 2023

Abb. 11.11. C25: R-Klassifikation nach tumorspezifischer Resektion bei Neuerkrankungen in pUICC Stadien I-IV

Abb. 11.12. C25: R-Klassifikation nach tumorspezifischer Resektion bei Neuerkrankungen mit Tumoren unterschiedlicher pT-Kategorie

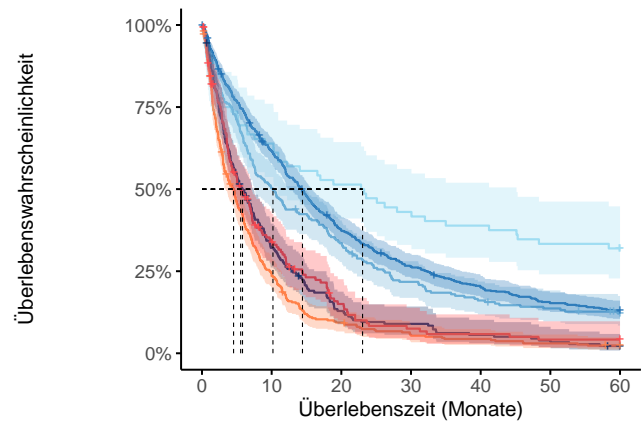
## 11.9 Überlebensanalysen (Kaplan-Meier) bei den in den Jahren 2013-2017 primär diagnostizierten Patienten (Wohnort und Behandlung in M-V)



Anzahl der Neuerkrankungen unter Beobachtung

Frauen	716	308	162	120	81	67	53
Männer	848	387	233	150	126	93	79

© KR-MV 2023



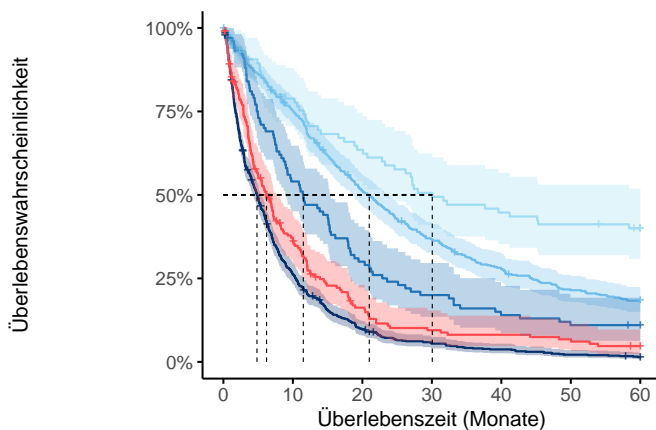
Anzahl der Neuerkrankungen unter Beobachtung

T1	72	46	37	31	28	24	22
T2	217	109	72	46	34	28	22
T3	592	359	216	152	115	87	74
T4	194	60	23	16	10	7	3
TX	325	74	29	16	13	9	6
k.A.	159	46	18	9	7	5	5
nicht anwendbar	5	1	0	0	0	0	0

© KR-MV 2023

Abb. 11.13. C25: Wahrscheinlichkeit des Überlebens (Kaplan-Meier) nach Geschlecht bei Diagnosestellung in den Jahren 2013-2017.\*

Abb. 11.14. C25: Wahrscheinlichkeit des Überlebens (Kaplan-Meier) nach Tumorgroße bei Diagnosestellung in den Jahren 2013-2017.\*



Anzahl der Neuerkrankungen unter Beobachtung

UICC I	85	67	54	43	38	35	31
UICC II	437	323	217	155	117	89	76
UICC III	101	54	30	20	14	11	10
UICC IV	748	191	70	38	26	15	9
Stadium unbekannt	188	59	24	14	12	10	6
nicht anwendbar	5	1	0	0	0	0	0

© KR-MV 2023

Abb. 11.15. C25: Wahrscheinlichkeit des Überlebens (Kaplan-Meier) nach UICC bei Diagnosestellung in den Jahren 2013-2017.\*

\*Die 50%-Überlebensraten sind dort, wo sie bestimmbar sind, graphisch dargestellt. Zusätzlich erfolgt pro Überlebenskurve die Darstellung des 95%-Konfidenzintervalls. Kaplan-Meier Kurven werden für Kategorien mit weniger als 30 Neuerkrankungen nicht dargestellt.

# 12 Lunge C34

## 12.1 Consort-Statement: Darstellung der Auswertepopulation

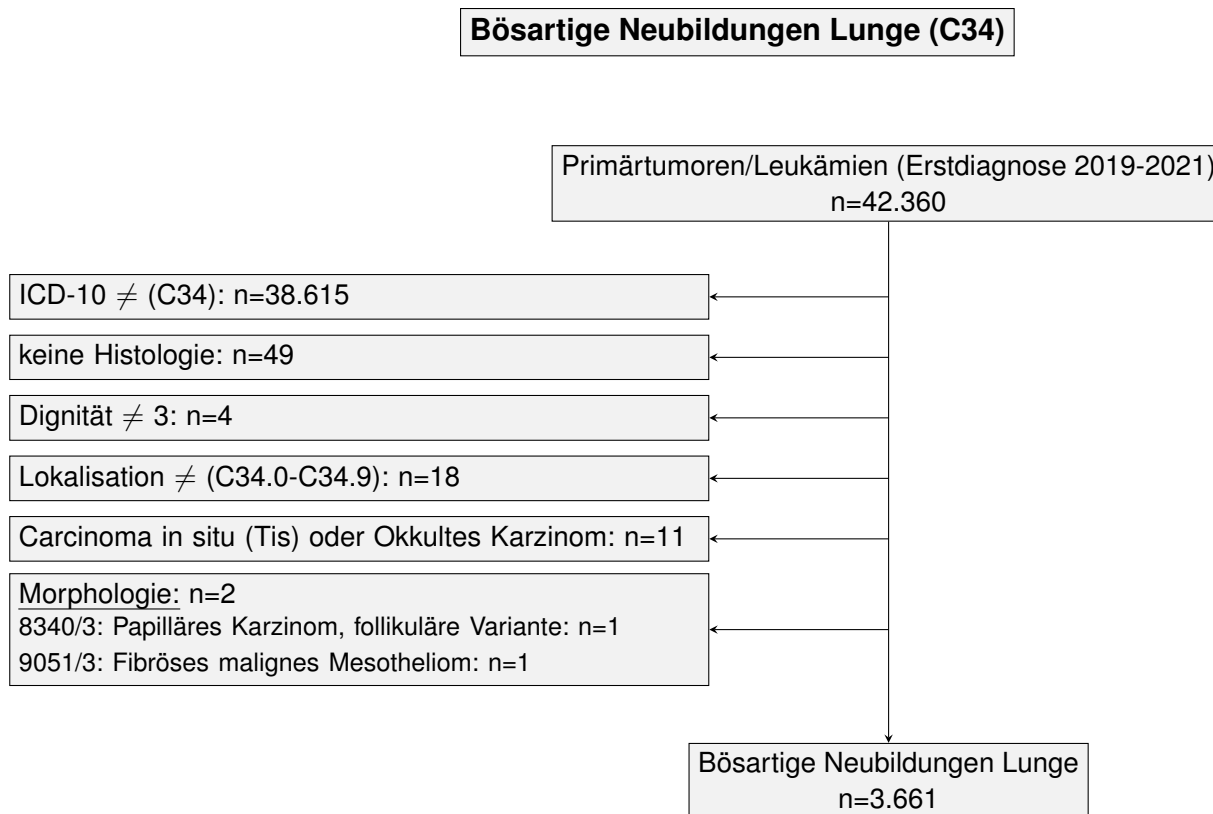


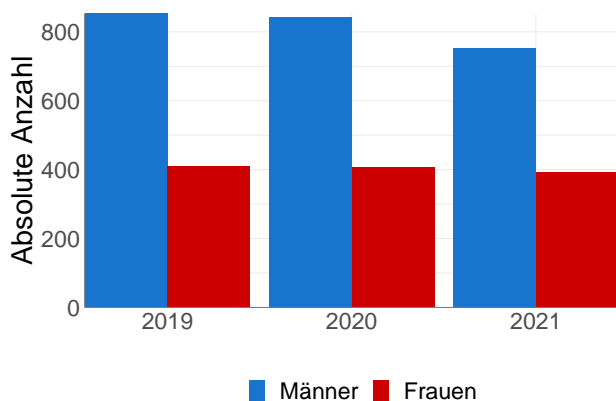
Abb. 12.1. Consort zu den bösartigen Neubildungen der Lunge

Hinweis: Für n=2 Patienten lag dem Krebsregister Mecklenburg-Vorpommern die Angabe „divers“, „sonstiges“ bzw. keine Angabe zum Geschlecht vor. Aufgrund der geringen Fallzahl werden diese Patienten in Auswertungen zum Geschlecht ausgeschlossen.

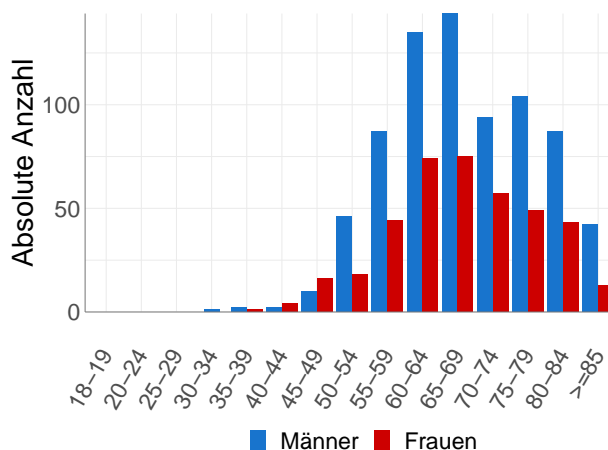
## 12.2 Absolute Anzahl der erfassten Neuerkrankungen in M-V in den Jahren 2019-2021 nach Geschlecht und Alter

Tab. 12.1. C34: Absolute Anzahl der Neuerkrankungen nach Geschlecht

Geschlecht	Männer		Frauen		Summe
	Anzahl	%	Anzahl	%	
2019	853	67.6	409	32.4	1262
2020	843	67.5	406	32.5	1249
2021	754	65.7	394	34.3	1148
Summe	2450	67.0	1209	33.0	3659



© KR-MV 2023



© KR-MV 2023

Abb. 12.2. C34: Absolute Anzahl der Neuerkrankungen nach Geschlecht

Abb. 12.3. C34: Absolute Anzahl der Neuerkrankungen aufgelistet in 5-Jahres-Altersgruppen und nach Geschlecht für das Diagnosejahr 2021

Tab. 12.2. C34: Erkrankungsalter

Diagnosejahre	Männer				Frauen			
	Anzahl	Median	Minimum	Maximum	Anzahl	Median	Minimum	Maximum
2019	853	67	23	93	409	68	26	92
2020	843	68	24	98	406	67	21	98
2021	754	68	34	92	394	67	39	92

### 12.3 Absolute Anzahl der erfassten Neuerkrankungen in M-V in den Jahren 2019-2021 nach Lokalisation

Tab. 12.3. C34: Absolute Anzahl und prozentualer Anteil der Neuerkrankungen nach der Lokalisation

Lokalisationen	2019	2020	2021	Summe	
				Anzahl	%
Hauptbronchus (ICD-O: C34.0)	112	131	91	334	9.1
Carina (ICD-O: C34.01)	8	0	0	8	0.2
Zwischenbronchus (ICD-O: C34.02)	18	9	1	28	0.8
Lungenoberlappen (einschl. Lingula und Oberlappenbronchus) (ICD-O: C34.1)	602	590	558	1750	47.8
Lungenmittellappen (einschl. Mittellappenbronchus) (ICD-O: C34.2)	64	58	46	168	4.6
Lungenunterlappen (einschl. Unterlappenbronchus) (ICD-O: C34.3)	299	311	304	914	25.0
Lunge (mehrere Teilbereiche überlappend) (ICD-O: C34.8)	58	47	73	178	4.9
Lunge o.n.A., Bronchus o.n.A. (ICD-O: C34.9)	103	104	76	283	7.7
Summe	1264	1250	1149	3663	100.0

## 12.4 Histologische Befunde bei allen neuerkrankten Patienten in M-V in den Jahren 2019-2021

Tab. 12.4. C34: Histologische Befunde bei neuerkrankten Patienten

	2019		2020		2021	
	Anzahl	%	Anzahl	%	Anzahl	%
8140/3: Adenokarzinom o.n.A.	391	31.0	370	29.6	358	31.2
8141/3: Szirrhöses Adenokarzinom	2	0.2	0	0.0	0	0.0
8144/3: Adenokarzinom vom intestinalen Typ	0	0.0	2	0.2	1	0.1
8211/3: Tubuläres Adenokarzinom	2	0.2	2	0.2	2	0.2
8230/3: Solides Karzinom o.n.A.	33	2.6	33	2.6	53	4.6
8244/3: Gemischtes adeno-neuroendokrines Karzinom	0	0.0	1	0.1	0	0.0
8250/3: Lepidisches Adenokarzinom	2	0.2	5	0.4	2	0.2
8251/3: Alveoläres Adenokarzinom	1	0.1	0	0.0	0	0.0
8253/3: Muzinöses Adenokarzinom der Lunge	4	0.3	3	0.2	5	0.4
8254/3: Gemischtes muzinöses und nichtmuzinöses Adenokarzinom der Lunge	0	0.0	0	0.0	1	0.1
8257/3: Muzinöses minimal-invasives Adenokarzinom	0	0.0	0	0.0	1	0.1
8260/3: Papilläres Adenokarzinom o.n.A.	22	1.7	6	0.5	3	0.3
8263/3: Adenokarzinom in tubulovillösem Adenom	1	0.1	3	0.2	1	0.1
8265/3: Mikropapilläres Karzinom o.n.A.	1	0.1	0	0.0	1	0.1
8323/3: Gemischtzelliges Adenokarzinom	1	0.1	1	0.1	0	0.0
8333/3: Fetales Adenokarzinom	0	0.0	0	0.0	1	0.1
8480/3: Muzinöses Adenokarzinom	6	0.5	2	0.2	4	0.3
8481/3: Schleimbildendes Adenokarzinom	6	0.5	4	0.3	0	0.0
Schleimbildendes Karzinom						
8490/3: Siegelringzellkarzinom	1	0.1	0	0.0	0	0.0
8500/3: Invasives duktales Karzinom o.n.A.	0	0.0	0	0.0	1	0.1
8550/3: Azinuszellkarzinom	14	1.1	29	2.3	24	2.1
8551/3: Azinuszell-Zystadenokarzinom	16	1.3	15	1.2	12	1.0
8574/3: Adenokarzinom mit neuroendokriner Differenzierung	0	0.0	2	0.2	0	0.0
8576/3: Hepatoides Adenokarzinom	3	0.2	4	0.3	4	0.3
<b>Adenokarzinome - Gruppe A</b>	<b>506</b>	<b>40.1</b>	<b>482</b>	<b>38.6</b>	<b>474</b>	<b>41.3</b>
8052/3: Papilläres Plattenepithelkarzinom	0	0.0	1	0.1	0	0.0
8070/3: Plattenepithelkarzinom o.n.A.	185	14.7	194	15.5	169	14.7
8071/3: Verhornendes Plattenepithelkarzinom o.n.A.	47	3.7	59	4.7	33	2.9
8072/3: Großzelliges nichtverhornendes Plattenepithelkarzinom o.n.A.	78	6.2	86	6.9	58	5.0
8073/3: Kleinzelliges nichtverhornendes Plattenepithelkarzinom	0	0.0	0	0.0	1	0.1
8074/3: Spindelzelliges Plattenepithelkarzinom	0	0.0	2	0.2	0	0.0
8078/3: Plattenepithelkarzinom mit Hornbildung	0	0.0	1	0.1	2	0.2
8082/3: Lymphoepitheliales Karzinom	0	0.0	1	0.1	1	0.1
8083/3: Basaloides Plattenepithelkarzinom	9	0.7	7	0.6	3	0.3
8086/3: Plattenepithelkarzinom, HPV-negativ	1	0.1	0	0.0	0	0.0
8123/3: Basaloidkarzinom	1	0.1	0	0.0	0	0.0
<b>Plattenepithelkarzinome - Gruppe B</b>	<b>321</b>	<b>25.4</b>	<b>351</b>	<b>28.1</b>	<b>267</b>	<b>23.2</b>
8041/3: Kleinzelliges Karzinom o.n.A.	211	16.7	214	17.1	199	17.3
8042/3: Haferzell-Karzinom	0	0.0	1	0.1	0	0.0
8044/3: Kleinzelliges Karzinom vom Intermediärtyp	4	0.3	1	0.1	1	0.1
8045/3: Kombiniertes kleinzelliges Karzinom	7	0.6	5	0.4	4	0.3
<b>Kleinzellige Karzinome (SCLC) - Gruppe C1</b>	<b>222</b>	<b>17.6</b>	<b>221</b>	<b>17.7</b>	<b>204</b>	<b>17.8</b>
8010/3: Karzinom o.n.A.	16	1.3	28	2.2	41	3.6
8020/3: Undifferenziertes Karzinom o.n.A.	6	0.5	2	0.2	4	0.3
8046/3: Nichtkleinzelliges Karzinom	39	3.1	40	3.2	21	1.8
<b>unklassifizierte Karzinome - Gruppe F1</b>	<b>61</b>	<b>4.8</b>	<b>70</b>	<b>5.6</b>	<b>66</b>	<b>5.7</b>
8000/3: Maligne Neoplasie	46	3.6	54	4.3	56	4.9
8002/3: Kleinzelliger maligner Tumor	0	0.0	6	0.5	1	0.1
8003/3: Riesenzelliger maligner Tumor	0	0.0	0	0.0	1	0.1
8004/3: Spindelzelliger maligner Tumor	0	0.0	1	0.1	0	0.0
8005/3: Klarzelliger maligner Tumor	0	0.0	0	0.0	2	0.2

<b>Sonstige - Gruppe H</b>	<b>46</b>	<b>3.6</b>	<b>61</b>	<b>4.9</b>	<b>60</b>	<b>5.2</b>
8240/3: Neuroendokriner Tumor o.n.A.	18	1.4	13	1.0	13	1.1
8246/3: Neuroendokrines Karzinom o.n.A.	4	0.3	3	0.2	6	0.5
8249/3: Neuroendokriner Tumor, Grad 2	8	0.6	2	0.2	3	0.3
<b>NET der Lunge - Gruppe C3</b>	<b>30</b>	<b>2.4</b>	<b>18</b>	<b>1.4</b>	<b>22</b>	<b>1.9</b>
8013/3: Großzelliges neuroendokrines Karzinom	16	1.3	14	1.1	15	1.3
<b>Großzellige neuroendokrine Karzinome (LCNEC) - Gruppe C2</b>	<b>16</b>	<b>1.3</b>	<b>14</b>	<b>1.1</b>	<b>15</b>	<b>1.3</b>
8012/3: Großzelliges Karzinom o.n.A.	16	1.3	4	0.3	11	1.0
8021/3: Anaplastisches Karzinom o.n.A.	0	0.0	0	0.0	1	0.1
<b>großzellige Karzinome - Gruppe D</b>	<b>16</b>	<b>1.3</b>	<b>4</b>	<b>0.3</b>	<b>12</b>	<b>1.0</b>
8022/3: Pleomorphes Karzinom	14	1.1	8	0.6	3	0.3
8031/3: Riesenzellkarzinom	0	0.0	0	0.0	1	0.1
8032/3: Spindelzellkarzinom o.n.A.	0	0.0	5	0.4	3	0.3
8033/3: Pseudosarkomatöses Karzinom	5	0.4	1	0.1	0	0.0
8972/3: Lungenblastom	0	0.0	0	0.0	1	0.1
8980/3: Karzinosarkom o.n.A.	1	0.1	3	0.2	4	0.3
<b>sarkomatoide Karzinome - Gruppe F3</b>	<b>20</b>	<b>1.6</b>	<b>17</b>	<b>1.4</b>	<b>12</b>	<b>1.0</b>
8560/3: Adenosquamöses Karzinom	22	1.7	11	0.9	8	0.7
<b>gemischte Adeno-Plattenepithelkarzinome - Gruppe E</b>	<b>22</b>	<b>1.7</b>	<b>11</b>	<b>0.9</b>	<b>8</b>	<b>0.7</b>
8801/3: Spindelzellsarkom	0	0.0	1	0.1	1	0.1
8805/3: Undifferenziertes Sarkom	0	0.0	0	0.0	2	0.2
8815/3: Maligner solitärer fibröser Tumor	1	0.1	0	0.0	0	0.0
8890/3: Leiomyosarkom o.n.A.	0	0.0	0	0.0	1	0.1
8912/3: Spindelzelliges Rhabdomyosarkom	1	0.1	0	0.0	0	0.0
9040/3: Synovialsarkom o.n.A.	0	0.0	0	0.0	1	0.1
9043/3: Biphasisches Synovialsarkom	0	0.0	0	0.0	1	0.1
9120/3: Hämangiosarkom	0	0.0	0	0.0	1	0.1
9137/3: Intimasarkom	0	0.0	0	0.0	1	0.1
<b>Sarkome - Gruppe I</b>	<b>2</b>	<b>0.2</b>	<b>1</b>	<b>0.1</b>	<b>8</b>	<b>0.7</b>
8430/3: Mukoepidermoid-Karzinom	0	0.0	0	0.0	1	0.1
<b>Speicheldrüsen-Typ Karzinome - Gruppe F2</b>	<b>0</b>	<b>0.0</b>	<b>0</b>	<b>0.0</b>	<b>1</b>	<b>0.1</b>
<b>Summe</b>	<b>1262</b>	<b>100.0</b>	<b>1250</b>	<b>100.0</b>	<b>1149</b>	<b>100.0</b>

## 12.5 Tumorgröße und Ausdehnung (TNM)

Tab. 12.5. C34: Absolute Anzahl der Neuerkrankungen klassifiziert nach der Tumorgröße

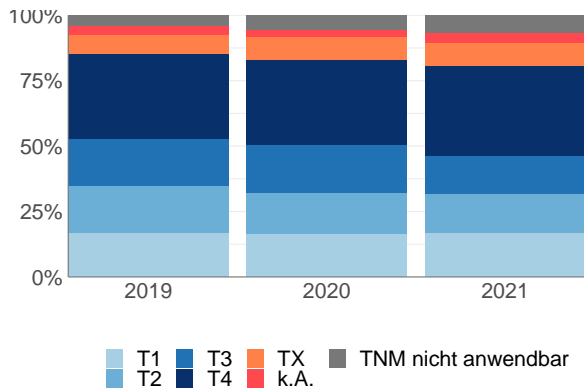
Tumorgröße (T)	2019		2020		2021		Summe	
	Anzahl	%	Anzahl	%	Anzahl	%	Anzahl	%
T1	211	16.7	202	16.2	191	16.6	604	16.5
T2	226	17.9	196	15.7	173	15.1	595	16.3
T3	226	17.9	234	18.7	164	14.3	624	17.0
T4	413	32.7	402	32.2	396	34.5	1211	33.1
TX	89	7.1	112	9.0	101	8.8	302	8.2
k.A.	44	3.5	32	2.6	45	3.9	121	3.3
TNM nicht anwendbar	53	4.2	72	5.8	79	6.9	204	5.6
Summe	1262	100.0	1250	100.0	1149	100.0	3661	100.0

Tab. 12.6. C34: Absolute Anzahl der Neuerkrankungen mit bzw. ohne Befall der regionären Lymphknoten

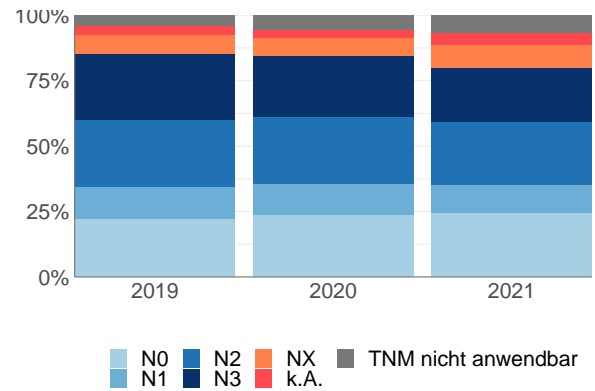
N-Kategorie	2019		2020		2021		Summe	
	Anzahl	%	Anzahl	%	Anzahl	%	Anzahl	%
N0	275	21.8	293	23.4	280	24.4	848	23.2
N1	158	12.5	150	12.0	121	10.5	429	11.7
N2	323	25.6	320	25.6	279	24.3	922	25.2
N3	319	25.3	290	23.2	235	20.5	844	23.1
NX	90	7.1	86	6.9	102	8.9	278	7.6
k.A.	44	3.5	39	3.1	53	4.6	136	3.7
TNM nicht anwendbar	53	4.2	72	5.8	79	6.9	204	5.6
Summe	1262	100.0	1250	100.0	1149	100.0	3661	100.0

Tab. 12.7. C34: Absolute Anzahl der Neuerkrankungen mit Fernmetastasierung

M-Kategorie	2019		2020		2021		Summe	
	Anzahl	%	Anzahl	%	Anzahl	%	Anzahl	%
M0	478	37.9	474	37.9	435	37.9	1387	37.9
M1	653	51.7	636	50.9	566	49.3	1855	50.7
MX/k.A.	78	6.2	68	5.4	69	6.0	215	5.9
TNM nicht anwendbar	53	4.2	72	5.8	79	6.9	204	5.6
Summe	1262	100.0	1250	100.0	1149	100.0	3661	100.0



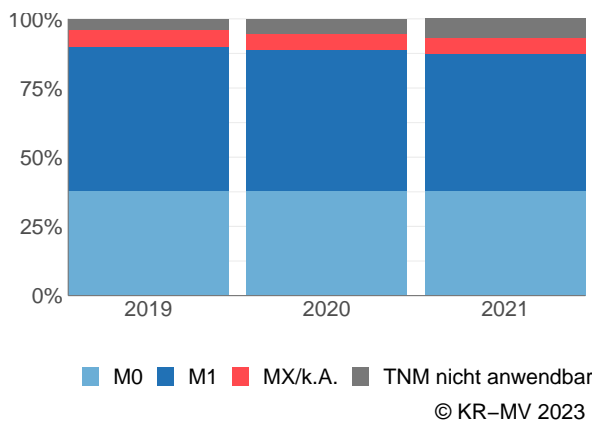
© KR-MV 2023



© KR-MV 2023

Abb. 12.4. C34: Prozentualer Anteil der Neuerkrankungen nach Tumorgöße im Diagnosezeitraum 2019 bis 2021

Abb. 12.5. C34: Prozentualer Anteil der Neuerkrankungen mit bzw. ohne Befall der regionären Lymphknoten im Diagnosezeitraum 2019 bis 2021



© KR-MV 2023

Abb. 12.6. C34: Prozentualer Anteil der Neuerkrankungen mit bzw. ohne primäre Fernmetastasierung im Diagnosezeitraum 2019 bis 2021

## 12.6 Primäre Tumorstadien nach UICC

Tab. 12.8. C34: Primäre UICC-Stadien

Diagnose- jahre	UICC I		UICC II		UICC III		UICC IV		Stadium unbekannt		nicht anwendbar*		Summe
	Anzahl	%	Anzahl	%	Anzahl	%	Anzahl	%	Anzahl	%	Anzahl	%	
2019	154	12.2	101	8.0	217	17.2	653	51.7	84	6.7	53	4.2	1262
2020	148	11.8	72	5.8	247	19.8	636	50.9	75	6.0	72	5.8	1250
2021	144	12.5	62	5.4	210	18.3	566	49.3	88	7.7	79	6.9	1149
Summe	446	12.2	235	6.4	674	18.4	1855	50.7	247	6.7	204	5.6	3661

\* Für diese Neuerkrankungen war es nicht möglich eine TNM-Angabe (TNM Auflage 8) anzugeben.

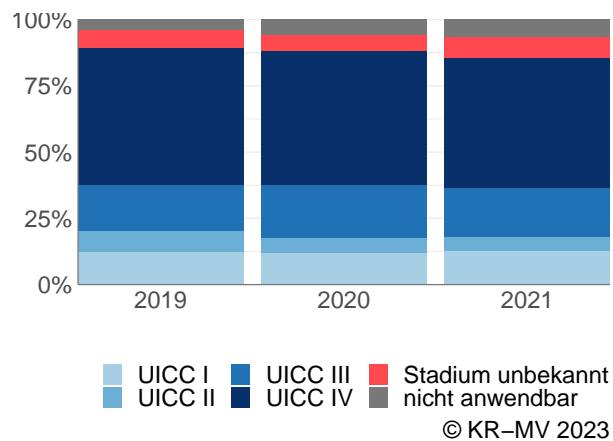
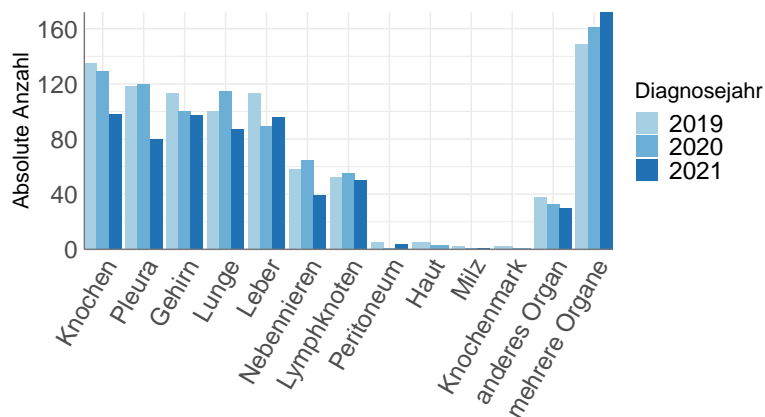


Abb. 12.7. C34: Prozentuale Anteile der primären UICC-Tumorstadien in den Diagnosejahren 2019 bis 2021

## 12.7 Lokalisation der primären Fernmetastasen



© KR-MV 2023

Abb. 12.8. C34: Lokalisation der primären Fernmetastasen bei Neuerkrankungen im Diagnosezeitraum 2019 bis 2021

## 12.8 Dokumentierte Therapie bis max. 12 Monate nach Diagnosestellung

### 12.8.1 Therapiekombinationen, Stellung der Therapie und Intention der dokumentierten Therapien

Tab. 12.9. C34: Häufigkeit der tumorbezogenen Therapien

Tumorbezogene Therapien	2019	2020	2021	Summe	
				Anzahl	%
Tumorspezifische Operation	270	248	227	745	15.1
Systemische Therapie	682	655	549	1886	38.2
Strahlentherapie	452	513	417	1382	28.0
Keine Therapie gemeldet	306	287	328	921	18.7
<b>Summe</b>	<b>1710</b>	<b>1703</b>	<b>1521</b>	<b>4934</b>	<b>100.0</b>

Tab. 12.10. C34: Zeitraum zwischen Diagnose und Beginn der ersten Therapie nach Therapieart (Angabe in Tagen)

Tumorbezogene Therapien	Median	Minimum	Maximum
Strahlentherapie	52	0	363
Systemische Therapie	28	0	359
Tumorspezifische Operation	30	0	362

Tab. 12.11. C34: Therapiekombinationen (Operation, Strahlentherapie, systemische Therapie) pro Diagnosejahr

Therapiekombination	2019	2020	2021	Summe	
				Anzahl	%
Alleinige tumorspezifische Operation	161	154	135	450	12.3
Alleinige systemische Therapie	289	248	213	750	20.5
Alleinige Strahlentherapie	103	147	128	378	10.3
Tumorspezifische Operation und systemische Therapie	54	48	56	158	4.3
Tumorspezifische Operation und Strahlentherapie	10	7	9	26	0.7
Systemische Therapie und Strahlentherapie	294	320	253	867	23.7
Tumorspezifische Operation und systemische Therapie und Strahlentherapie	45	39	27	111	3.0
Keine tumorspezifische Operation, systemische Therapie oder Strahlentherapie	306	287	328	921	25.2
Summe	1262	1250	1149	3661	100.0

Tab. 12.12. C34: Therapiekombinationen (Operation, Strahlentherapie, systemische Therapie) in Abhängigkeit von dem UICC-Stadium

Therapiekombination	UICC				Stadium unbekannt	nicht anwendbar	Summe	
	I	II	III	IV			Anzahl	%
Alleinige tumorspezifische Operation	300	60	49	14	17	10	450	12.3
Alleinige systemische Therapie	6	10	84	595	38	17	750	20.5
Alleinige Strahlentherapie	56	29	76	158	10	49	378	10.3
tumorspezifische Operation und systemische Therapie	18	65	48	18	5	4	158	4.3
tumorspezifische Operation und Strahlentherapie	7	6	9	2	1	1	26	0.7
Systemische Therapie und Strahlentherapie	10	25	259	531	28	14	867	23.7
tumorspezifische Operation und systemische Therapie und Strahlentherapie	6	17	66	19	1	2	111	3.0
Keine tumorspezifische Operation, systemische Therapie oder Strahlentherapie	43	23	83	518	147	107	921	25.2
Summe	446	235	674	1855	247	204	3661	100.0

Tab. 12.13. C34: Stellung der Strahlentherapie zur operativen Therapie im ersten Jahr der Erkrankung (adjuvant/neoadjuvant)

Stellung der Strahlentherapie zur operativen Therapie	2019	2020	2021	Summe	
				Anzahl	%
Therapie ohne Bezug zu einer operativen Therapie	14	11	18	43	31.4
Adjuvante (postoperative) Strahlentherapie	38	34	15	87	63.5
Neoadjuvante (präoperative) Strahlentherapie	3	1	2	6	4.4
Sonstige/Keine Angabe	0	0	1	1	0.7
Summe	55	46	36	137	100.0

Tab. 12.14. C34: Stellung der systemischen Therapie zur operativen Therapie im ersten Jahr der Erkrankung (adjuvant/neoadjuvant)

Stellung der systemischen Therapie zur operativen Therapie	2019	2020	2021	Summe	
				Anzahl	%
Adjuvante (postoperative) Therapie	69	63	58	190	70.6
Therapie ohne Bezug zu einer operativen Therapie	7	11	14	32	11.9
Neoadjuvante (präoperative) Therapie	20	11	5	36	13.4
Sonstige/Keine Angabe	3	2	6	11	4.1
Summe	99	87	83	269	100.0

Tab. 12.15. C34: Intention bei der ersten tumorspezifischen Operation

Intention der Operation	2019	2020	2021	Summe	
				Anzahl	%
Kurativ	251	236	213	700	94.0
Diagnostisch	5	1	7	13	1.7
Palliativ bzw. symptomatisch	11	8	6	25	3.4
Sonstige/Unbekannt/Keine Angabe	3	3	1	7	0.9
Summe	270	248	227	745	100.0

Tab. 12.16. C34: Intention bei der initialen Bestrahlung

Intention der Bestrahlung	2019	2020	2021	Summe	
				Anzahl	%
Kurativ	191	192	176	559	40.4
Palliativ bzw. symptomatisch	254	318	238	810	58.6
Sonstige/Unbekannt/Keine Angabe	7	3	3	13	0.9
Summe	452	513	417	1382	100.0

Tab. 12.17. C34: Intention bei der ersten systemischen Therapie

Intention der systemischen Therapie	2019	2020	2021	Summe	
				Anzahl	%
Palliativ bzw. symptomatisch	477	461	357	1295	68.7
Kurativ	193	187	182	562	29.8
Sonstige/Unbekannt/Keine Angabe	12	7	10	29	1.5
Summe	682	655	549	1886	100.0

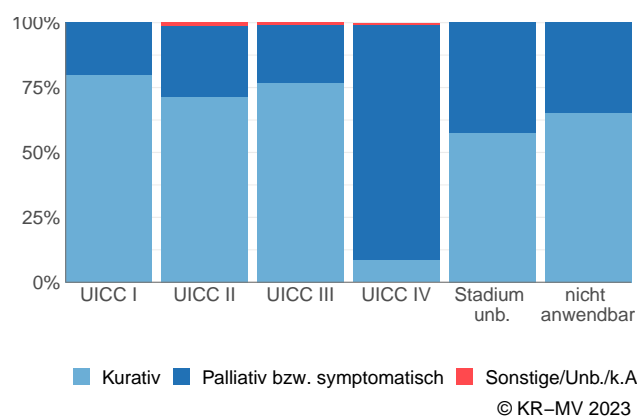
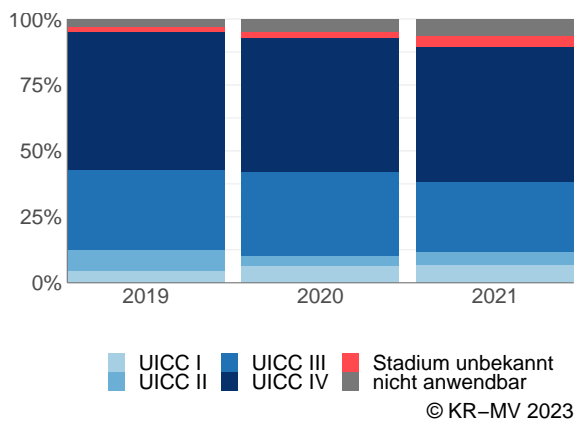


Abb. 12.9. C34: Prozentuale Verteilung der UICC-Stadien bei allen in den Jahren 2019 bis 2021 bestrahlten Neuerkrankungen

Abb. 12.10. C34: Intention der ersten Bestrahlung nach UICC-Klassifikation

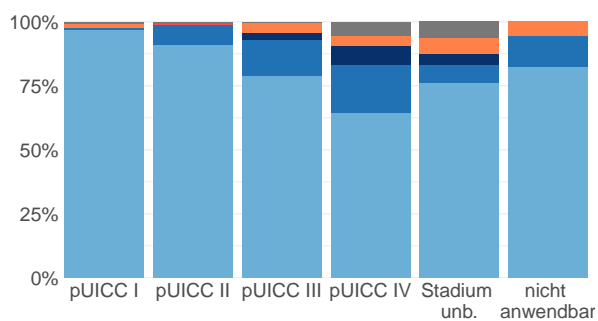
## 12.8.2 Dokumentierte tumorspezifische Operation bis max. 12 Monate nach Diagnosestellung

Tab. 12.18. C34: Dokumentierte tumorspezifische Operation nach UICC

Operation	UICC I	UICC II	UICC III	UICC IV	Stadium unbekannt	nicht anwendbar	Summe	
							Anzahl	%
5-324: Einfache Lobektomie und Bilobektomie der Lunge	209	108	108	24	13	10	472	63.4
5-322: Atypische Lungenresektion	67	8	9	15	5	2	106	14.2
5-323: Segmentresektion und Bisegmentresektion der Lunge	45	8	9	4	1	3	70	9.4
5-325: Erweiterte Lobektomie und Bilobektomie der Lunge	4	13	21	5	1	1	45	6.0
5-328: Erweiterte (Pleuro-)Pneum(on)ektomie	0	6	15	1	0	0	22	3.0
5-327: Einfache (Pleuro-)Pneum(on)ektomie	1	3	6	1	1	0	12	1.6
5-320: Exzision und Destruktion von erkranktem Gewebe eines Bronchus	3	1	2	2	2	0	10	1.3
5-339: Andere Operationen an Lunge und Bronchien	1	1	1	1	0	0	4	0.5
5-321: Andere Exzision und Resektion eines Bronchus (ohne Resektion des Lungenparenchyms)	1	0	1	0	0	0	2	0.3
5-329: Andere Exzisionen an Lunge und Bronchus	0	0	0	0	1	1	2	0.3
Summe	331	148	172	53	24	17	745	100.0

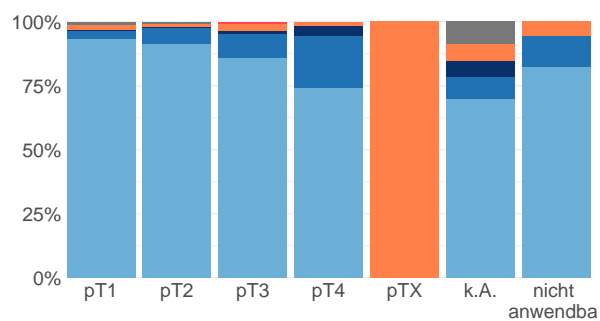
Tab. 12.19. C34: Residualklassifikation nach Tumorresektion bei Neuerkrankungen in den UICC-Stadien I-IV

R-Klassifikation	UICC I	UICC II	UICC III	UICC IV	Stadium unbekannt	nicht an- wendbar	Summe	
							Anzahl	%
R0 (kein Residualtumor)	315	134	136	34	15	14	648	87.0
R1 (mikroskopischer Residualtumor)	4	11	22	10	2	2	51	6.8
R2 (makroskopischer Residualtumor)	1	0	5	4	2	0	12	1.6
RX (Vorhandensein eines Residualtumors kann nicht beurteilt werden)	7	0	6	2	3	1	19	2.6
keine Angabe	0	1	0	0	0	0	1	0.1
keine R-Klassifikation zu erwarten	4	2	3	3	2	0	14	1.9
<b>Summe</b>	<b>331</b>	<b>148</b>	<b>172</b>	<b>53</b>	<b>24</b>	<b>17</b>	<b>745</b>	<b>100.0</b>



■ R0 ■ R1 ■ R2 ■ RX ■ keine Angabe  
■ keine R-Klassifikation zu erwarten

© KR-MV 2023



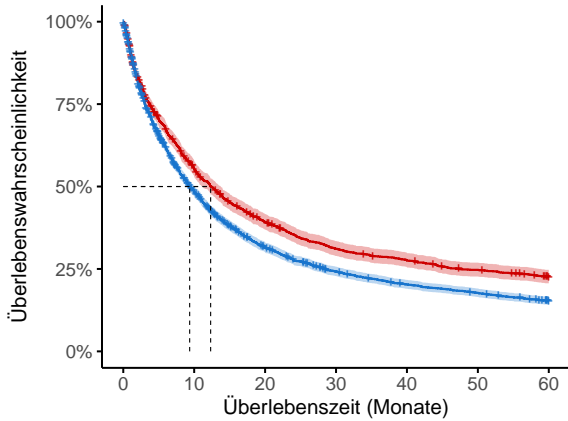
■ R0 ■ R1 ■ R2 ■ RX ■ keine Angabe  
■ keine R-Klassifikation zu erwarten

© KR-MV 2023

Abb. 12.11. C34: R-Klassifikation nach tumorspezifischer Resektion bei Neuerkrankungen in pUICC Stadien I-IV

Abb. 12.12. C34: R-Klassifikation nach tumorspezifischer Resektion bei Neuerkrankungen mit Tumoren unterschiedlicher pT-Kategorie

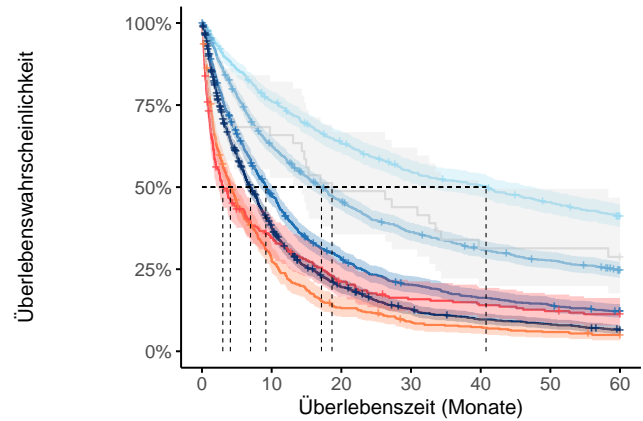
## 12.9 Überlebensanalysen (Kaplan-Meier) bei den in den Jahren 2013-2017 primär diagnostizierten Patienten (Wohnort und Behandlung in M-V)



Anzahl der Neuerkrankungen unter Beobachtung

Frauen	1669	901	629	495	438	388	344
Männer	3606	1692	1079	812	676	590	497

© KR-MV 2023



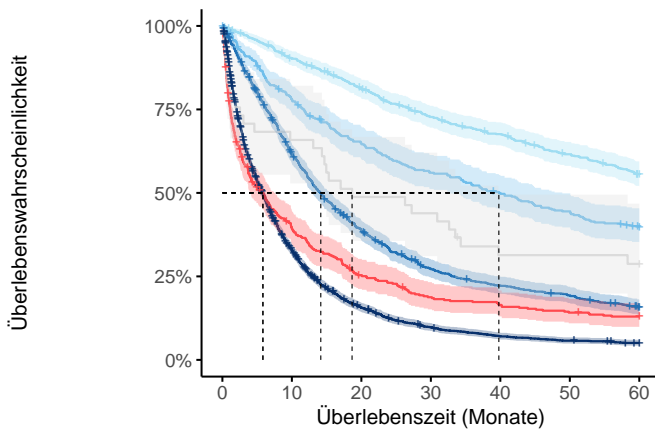
Anzahl der Neuerkrankungen unter Beobachtung

T1	805	604	499	424	391	349	312
T2	1238	767	550	434	371	327	282
T3	1036	479	279	198	159	137	115
T4	1400	500	249	157	116	99	75
TX	503	135	63	41	34	27	22
k.A.	252	81	48	35	31	27	24
nicht anwendbar	41	27	20	18	12	12	11

© KR-MV 2023

Abb. 12.13. C34: Wahrscheinlichkeit des Überlebens (Kaplan-Meier) nach Geschlecht bei Diagnosestellung in den Jahren 2013-2017.\*

Abb. 12.14. C34: Wahrscheinlichkeit des Überlebens (Kaplan-Meier) nach Tumorgroße bei Diagnosestellung in den Jahren 2013-2017.\*



Anzahl der Neuerkrankungen unter Beobachtung

UICC I	726	649	577	512	473	427	381
UICC II	375	288	236	204	181	161	140
UICC III	1058	635	393	269	219	189	146
UICC IV	2698	853	393	239	172	140	119
Stadium unbekannt	377	141	89	65	57	49	44
nicht anwendbar	41	27	20	18	12	12	11

© KR-MV 2023

Abb. 12.15. C34: Wahrscheinlichkeit des Überlebens (Kaplan-Meier) nach UICC bei Diagnosestellung in den Jahren 2013-2017.\*

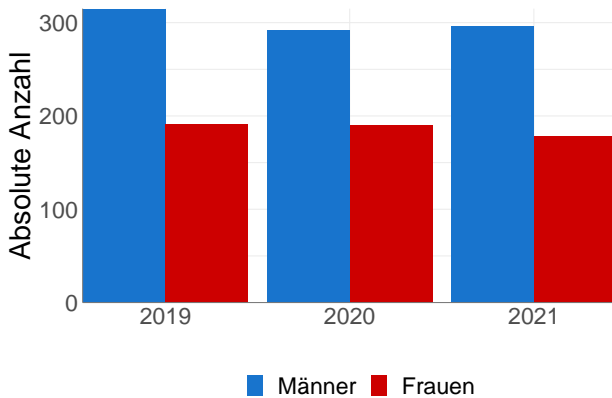
\*Die 50%-Überlebensraten sind dort, wo sie bestimmbar sind, graphisch dargestellt. Zusätzlich erfolgt pro Überlebenskurve die Darstellung des 95%-Konfidenzintervalls. Kaplan-Meier Kurven werden für Kategorien mit weniger als 30 Neuerkrankungen nicht dargestellt.

# 13 Lunge C34 - Adenokarzinome

## 13.1 Absolute Anzahl der erfassten Neuerkrankungen in M-V in den Jahren 2019-2021 nach Geschlecht und Alter

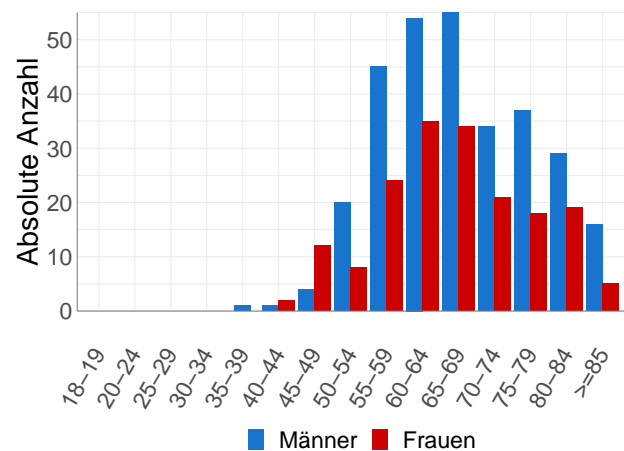
Tab. 13.1. C34 (Adenokarzinome): Absolute Anzahl der Neuerkrankungen nach Geschlecht

Geschlecht	Männer		Frauen		Summe
	Anzahl	%	Anzahl	%	
2019	315	62.3	191	37.7	506
2020	292	60.6	190	39.4	482
2021	296	62.4	178	37.6	474
Summe	903	61.8	559	38.2	1462



© KR-MV 2023

Abb. 13.1. C34 (Adenokarzinome): Absolute Anzahl der Neuerkrankungen nach Geschlecht



© KR-MV 2023

Abb. 13.2. C34 (Adenokarzinome): Absolute Anzahl der Neuerkrankungen aufgelistet in 5-Jahres-Altersgruppen und nach Geschlecht für das Diagnosejahr 2021

Tab. 13.2. C34 (Adenokarzinome): Erkrankungsalter

Diagnosejahre	Männer				Frauen			
	Anzahl	Median	Minimum	Maximum	Anzahl	Median	Minimum	Maximum
2019	315	67	23	92	191	68	26	92
2020	292	67	39	98	190	68	21	98
2021	296	67	38	89	178	66	42	91

## 13.2 Absolute Anzahl der erfassten Neuerkrankungen in M-V in den Jahren 2019-2021 nach Lokalisation

Tab. 13.3. C34 (Adenokarzinome): Absolute Anzahl und prozentualer Anteil der Neuerkrankungen nach der Lokalisation

Lokalisationen	2019	2020	2021	Summe	
				Anzahl	%
Hauptbronchus (ICD-O: C34.0)	19	28	21	68	4.6
Carina (ICD-O: C34.01)	2	0	0	2	0.1
Zwischenbronchus (ICD-O: C34.02)	4	2	0	6	0.4
Lungenoberlappen (einschl. Lingula und Oberlappenbronchus) (ICD-O: C34.1)	257	234	268	759	51.9
Lungenmittellappen (einschl. Mittellappenbronchus) (ICD-O: C34.2)	28	23	20	71	4.9
Lungenunterlappen (einschl. Unterlappenbronchus) (ICD-O: C34.3)	125	135	111	371	25.4
Lunge (mehrere Teilbereiche überlappend) (ICD-O: C34.8)	26	17	27	70	4.8
Lunge o.n.A., Bronchus o.n.A. (ICD-O: C34.9)	46	43	27	116	7.9
<b>Summe</b>	<b>507</b>	<b>482</b>	<b>474</b>	<b>1463</b>	<b>100.0</b>

## 13.3 Histologische Befunde bei allen neuerkrankten Patienten in M-V in den Jahren 2019-2021

Tab. 13.4. C34 (Adenokarzinome): Histologische Befunde bei neuerkrankten Patienten

	2019		2020		2021	
	Anzahl	%	Anzahl	%	Anzahl	%
8140/3: Adenokarzinom o.n.A.	391	77.3	370	76.8	358	75.5
8141/3: Szirrhöses Adenokarzinom	2	0.4	0	0.0	0	0.0
8144/3: Adenokarzinom vom intestinalen Typ	0	0.0	2	0.4	1	0.2
8211/3: Tubuläres Adenokarzinom	2	0.4	2	0.4	2	0.4
8230/3: Solides Karzinom o.n.A.	33	6.5	33	6.8	53	11.2
8244/3: Gemischtes adeno-neuroendokrines Karzinom	0	0.0	1	0.2	0	0.0
8250/3: Lepidisches Adenokarzinom	2	0.4	5	1.0	2	0.4
8251/3: Alveoläres Adenokarzinom	1	0.2	0	0.0	0	0.0
8253/3: Muzinöses Adenokarzinom der Lunge	4	0.8	3	0.6	5	1.1
8254/3: Gemischtes muzinöses und nichtmuzinöses Adenokarzinom der Lunge	0	0.0	0	0.0	1	0.2
8257/3: Muzinöses minimal-invasives Adenokarzinom	0	0.0	0	0.0	1	0.2
8260/3: Papilläres Adenokarzinom o.n.A.	22	4.3	6	1.2	3	0.6
8263/3: Adenokarzinom in tubulovillösem Adenom	1	0.2	3	0.6	1	0.2
8265/3: Mikropapilläres Karzinom o.n.A.	1	0.2	0	0.0	1	0.2
8323/3: Gemischtzelliges Adenokarzinom	1	0.2	1	0.2	0	0.0
8333/3: Fetales Adenokarzinom	0	0.0	0	0.0	1	0.2
8480/3: Muzinöses Adenokarzinom	6	1.2	2	0.4	4	0.8
8481/3: Schleimbildendes Adenokarzinom	6	1.2	4	0.8	0	0.0
Schleimbildendes Karzinom						
8490/3: Siegelringzellkarzinom	1	0.2	0	0.0	0	0.0
8500/3: Invasives duktales Karzinom o.n.A.	0	0.0	0	0.0	1	0.2
8550/3: Azinuszellkarzinom	14	2.8	29	6.0	24	5.1
8551/3: Azinuszell-Zystadenokarzinom	16	3.2	15	3.1	12	2.5
8574/3: Adenokarzinom mit neuroendokriner Differenzierung	0	0.0	2	0.4	0	0.0
8576/3: Hepatoides Adenokarzinom	3	0.6	4	0.8	4	0.8
<b>Adenokarzinome - Gruppe A</b>	<b>506</b>	<b>100.0</b>	<b>482</b>	<b>100.0</b>	<b>474</b>	<b>100.0</b>

## 13.4 Tumorgröße und Ausdehnung (TNM)

Tab. 13.5. C34 (Adenokarzinome): Absolute Anzahl der Neuerkrankungen klassifiziert nach der Tumorgröße

Tumorgröße (T)	2019		2020		2021		Summe	
	Anzahl	%	Anzahl	%	Anzahl	%	Anzahl	%
T1	105	20.8	102	21.2	112	23.6	319	21.8
T2	112	22.1	81	16.8	82	17.3	275	18.8
T3	92	18.2	102	21.2	68	14.3	262	17.9
T4	142	28.1	130	27.0	148	31.2	420	28.7
TX	40	7.9	51	10.6	38	8.0	129	8.8
k.A.	11	2.2	9	1.9	20	4.2	40	2.7
TNM nicht anwendbar	4	0.8	7	1.5	6	1.3	17	1.2
Summe	506	100.0	482	100.0	474	100.0	1462	100.0

Tab. 13.6. C34 (Adenokarzinome): Absolute Anzahl der Neuerkrankungen mit bzw. ohne Befall der regionalen Lymphknoten

N-Kategorie	2019		2020		2021		Summe	
	Anzahl	%	Anzahl	%	Anzahl	%	Anzahl	%
N0	129	25.5	137	28.4	147	31.0	413	28.2
N1	51	10.1	42	8.7	57	12.0	150	10.3
N2	138	27.3	125	25.9	108	22.8	371	25.4
N3	132	26.1	121	25.1	91	19.2	344	23.5
NX	41	8.1	39	8.1	42	8.9	122	8.3
k.A.	11	2.2	11	2.3	23	4.9	45	3.1
TNM nicht anwendbar	4	0.8	7	1.5	6	1.3	17	1.2
Summe	506	100.0	482	100.0	474	100.0	1462	100.0

Tab. 13.7. C34 (Adenokarzinome): Absolute Anzahl der Neuerkrankungen mit Fernmetastasierung

M-Kategorie	2019		2020		2021		Summe	
	Anzahl	%	Anzahl	%	Anzahl	%	Anzahl	%
M0	180	35.6	179	37.1	187	39.5	546	37.3
M1	302	59.7	278	57.7	253	53.4	833	57.0
MX/k.A.	20	4.0	18	3.7	28	5.9	66	4.5
TNM nicht anwendbar	4	0.8	7	1.5	6	1.3	17	1.2
Summe	506	100.0	482	100.0	474	100.0	1462	100.0

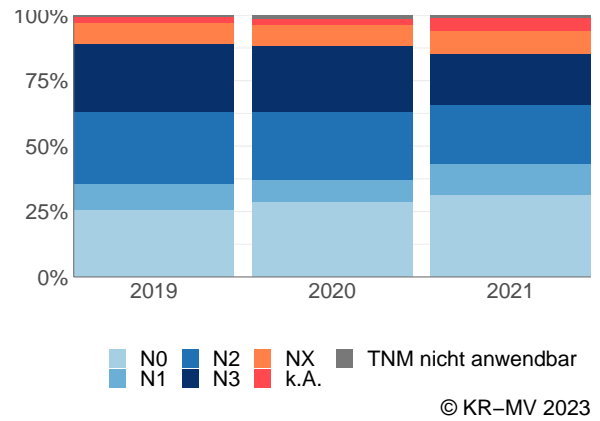
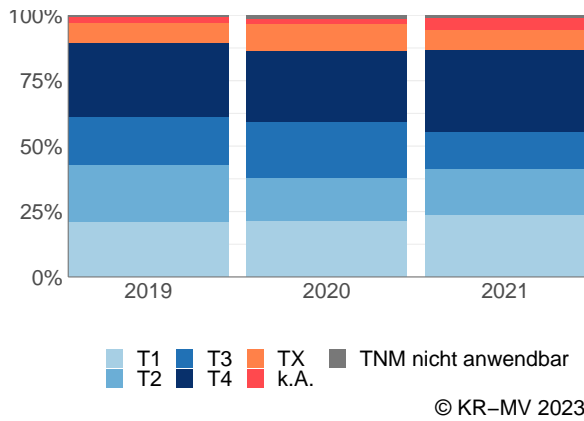


Abb. 13.3. C34 (Adenokarzinome): Prozentualer Anteil der Neuerkrankungen nach TumorgroÙe im Diagnosezeitraum 2019 bis 2021

Abb. 13.4. C34 (Adenokarzinome): Prozentualer Anteil der Neuerkrankungen mit bzw. ohne Befall der regionären Lymphknoten im Diagnosezeitraum 2019 bis 2021

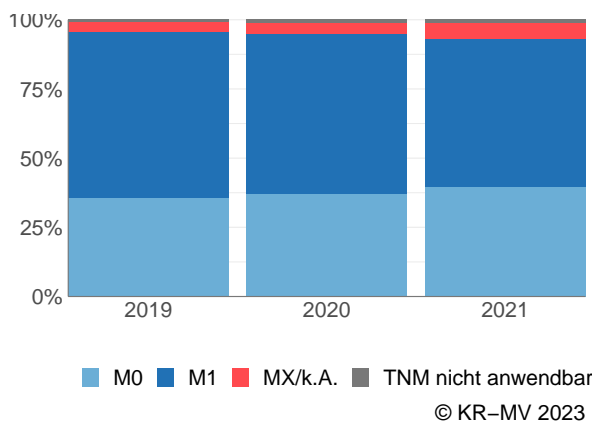


Abb. 13.5. C34 (Adenokarzinome): Prozentualer Anteil der Neuerkrankungen mit bzw. ohne primäre Fernmetastasierung im Diagnosezeitraum 2019 bis 2021

### 13.5 Primäre Tumorstadien nach UICC

Tab. 13.8. C34 (Adenokarzinome): Primäre UICC-Stadien

Diagnose- jahre	UICC I		UICC II		UICC III		UICC IV		Stadium unbekannt		nicht anwendbar*		Summe
	Anzahl	%	Anzahl	%	Anzahl	%	Anzahl	%	Anzahl	%	Anzahl	%	
2019	81	16.0	34	6.7	63	12.5	302	59.7	22	4.3	4	0.8	506
2020	66	13.7	28	5.8	81	16.8	278	57.7	22	4.6	7	1.5	482
2021	76	16.0	26	5.5	75	15.8	253	53.4	38	8.0	6	1.3	474
Summe	223	15.3	88	6.0	219	15.0	833	57.0	82	5.6	17	1.2	1462

\* Für diese Neuerkrankungen war es nicht möglich eine TNM-Angabe (TNM Auflage 8) anzugeben.

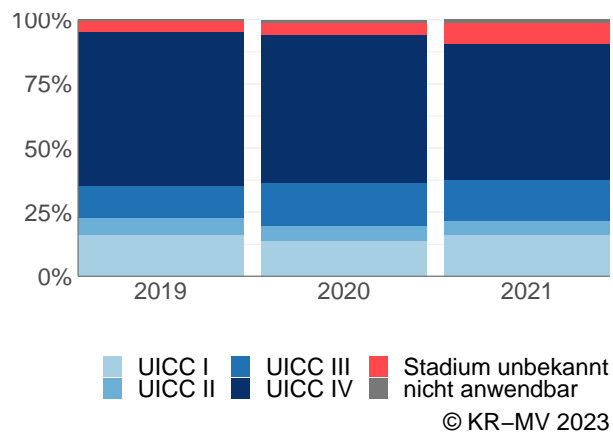
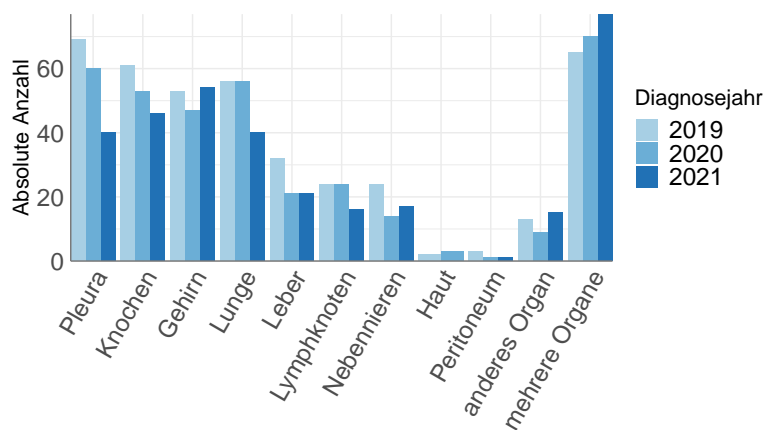


Abb. 13.6. C34 (Adenokarzinome): Prozentuale Anteile der primären UICC-Tumorstadien in den Diagnosejahren 2019 bis 2021

### 13.6 Lokalisation der primären Fernmetastasen



© KR-MV 2023

Abb. 13.7. C34 (Adenokarzinome): Lokalisation der primären Fernmetastasen bei Neuerkrankungen im Diagnosezeitraum 2019 bis 2021

### 13.7 Dokumentierte Therapie bis max. 12 Monate nach Diagnosestellung

#### 13.7.1 Therapiekombinationen, Stellung der Therapie und Intention der dokumentierten Therapien

Tab. 13.9. C34 (Adenokarzinome): Häufigkeit der tumorbezogenen Therapien

Tumorbezogene Therapien	2019	2020	2021	Summe	
				Anzahl	%
Tumorspezifische Operation	127	123	121	371	18.9
Systemische Therapie	275	257	229	761	38.8
Strahlentherapie	160	174	163	497	25.4
Keine Therapie gemeldet	111	99	120	330	16.8
Summe	673	653	633	1959	100.0

Tab. 13.10. C34 (Adenokarzinome): Zeitraum zwischen Diagnose und Beginn der ersten Therapie nach Therapieart (Angabe in Tagen)

Tumorbezogene Therapien	Median	Minimum	Maximum
Strahlentherapie	47	0	360
Systemische Therapie	38	0	359
Tumorspezifische Operation	28	0	191

Tab. 13.11. C34 (Adenokarzinome): Therapiekombinationen (Operation, Strahlentherapie, systemische Therapie) pro Diagnosejahr

Therapiekombination	2019	2020	2021	Summe	
				Anzahl	%
Alleinige tumorspezifische Operation	76	78	73	227	15.5
Alleinige systemische Therapie	132	109	88	329	22.5
Alleinige Strahlentherapie	41	46	49	136	9.3
Tumorspezifische Operation und systemische Therapie	27	22	30	79	5.4
Tumorspezifische Operation und Strahlentherapie	3	2	3	8	0.5
Systemische Therapie und Strahlentherapie	95	105	96	296	20.2
Tumorspezifische Operation und systemische Therapie und Strahlentherapie	21	21	15	57	3.9
Keine tumorspezifische Operation, systemische Therapie oder Strahlentherapie	111	99	120	330	22.6
Summe	506	482	474	1462	100.0

Tab. 13.12. C34 (Adenokarzinome): Therapiekombinationen (Operation, Strahlentherapie, systemische Therapie) in Abhängigkeit von dem UICC-Stadium

Therapiekombination	UICC				Stadium unbekannt	nicht anwendbar	Summe	
	I	II	III	IV			Anzahl	%
Alleinige tumorspezifische Operation	159	24	20	10	10	4	227	15.5
Alleinige systemische Therapie	1	2	26	283	14	3	329	22.5
Alleinige Strahlentherapie	27	10	21	74	3	1	136	9.3
tumorspezifische Operation und systemische Therapie	9	33	27	6	4	0	79	5.4
tumorspezifische Operation und Strahlentherapie	3	0	3	0	1	1	8	0.5
Systemische Therapie und Strahlentherapie	3	6	58	218	9	2	296	20.2
tumorspezifische Operation und systemische Therapie und Strahlentherapie	3	6	37	10	0	1	57	3.9
Keine tumorspezifische Operation, systemische Therapie oder Strahlentherapie	18	7	27	232	41	5	330	22.6
Summe	223	88	219	833	82	17	1462	100.0

Tab. 13.13. C34 (Adenokarzinome): Stellung der Strahlentherapie zur operativen Therapie im ersten Jahr der Erkrankung (adjuvant/neoadjuvant)

Stellung der Strahlentherapie zur operativen Therapie	2019	2020	2021	Summe	
				Anzahl	%
Therapie ohne Bezug zu einer operativen Therapie	5	5	10	20	30.8
Adjuvante (postoperative) Strahlentherapie	18	18	7	43	66.2
Neoadjuvante (präoperative) Strahlentherapie	1	0	0	1	1.5
Sonstige/Keine Angabe	0	0	1	1	1.5
Summe	24	23	18	65	100.0

Tab. 13.14. C34 (Adenokarzinome): Stellung der systemischen Therapie zur operativen Therapie im ersten Jahr der Erkrankung (adjuvant/neoadjuvant)

Stellung der systemischen Therapie zur operativen Therapie	2019	2020	2021	Summe	
				Anzahl	%
Adjuvante (postoperative) Therapie	34	36	34	104	76.5
Neoadjuvante (präoperative) Therapie	10	1	2	13	9.6
Therapie ohne Bezug zu einer operativen Therapie	3	6	6	15	11.0
Sonstige/Keine Angabe	1	0	3	4	2.9
Summe	48	43	45	136	100.0

Tab. 13.15. C34 (Adenokarzinome): Intention bei der ersten tumorspezifischen Operation

Intention der Operation	2019	2020	2021	Summe	
				Anzahl	%
Kurativ	119	118	115	352	94.9
Palliativ bzw. symptomatisch	5	2	3	10	2.7
Diagnostisch	1	1	3	5	1.3
Sonstige/Unbekannt/Keine Angabe	2	2	0	4	1.1
Summe	127	123	121	371	100.0

Tab. 13.16. C34 (Adenokarzinome): Intention bei der initialen Bestrahlung

Intention der Bestrahlung	2019	2020	2021	Summe	
				Anzahl	%
Kurativ	48	59	59	166	33.4
Palliativ bzw. symptomatisch	112	115	104	331	66.6
Summe	160	174	163	497	100.0

Tab. 13.17. C34 (Adenokarzinome): Intention bei der ersten systemischen Therapie

Intention der systemischen Therapie	2019	2020	2021	Summe	
				Anzahl	%
Kurativ	68	69	78	215	28.3
Palliativ bzw. symptomatisch	202	186	147	535	70.3
Sonstige/Unbekannt/Keine Angabe	5	2	4	11	1.4
Summe	275	257	229	761	100.0

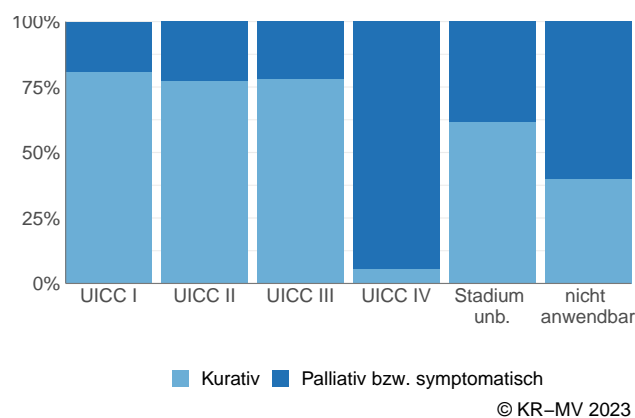
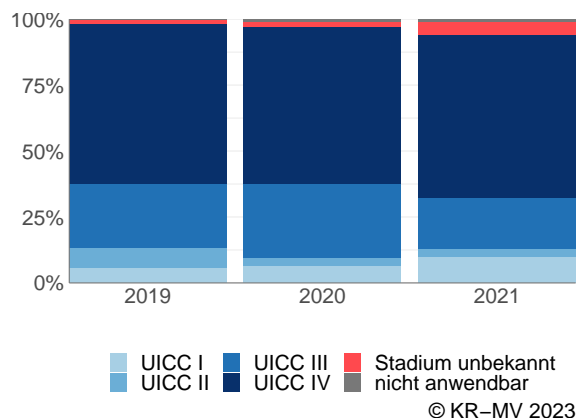


Abb. 13.8. C34 (Adenokarzinome): Prozentuale Verteilung der UICC-Stadien bei allen in den Jahren 2019 bis 2021 bestrahlten Neuerkrankungen

Abb. 13.9. C34 (Adenokarzinome): Intention der ersten Bestrahlung nach UICC-Klassifikation

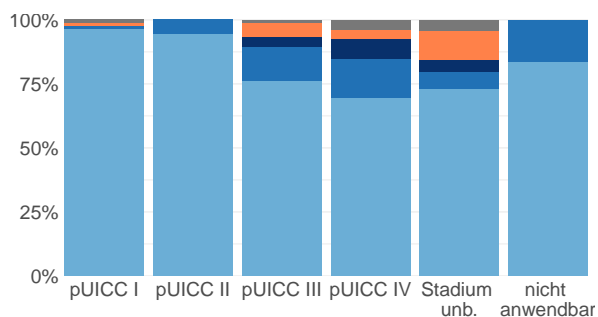
### 13.7.2 Dokumentierte tumorspezifische Operation bis max. 12 Monate nach Diagnosestellung

Tab. 13.18. C34 (Adenokarzinome): Dokumentierte tumorspezifische Operation nach UICC

Operation	UICC I	UICC II	UICC III	UICC IV	Stadium unbekannt	nicht anwendbar	Summe	
							Anzahl	%
5-324: Einfache Lobektomie und Bilobektomie der Lunge	111	51	60	10	8	5	245	66.0
5-322: Atypische Lungenresektion	36	4	8	10	4	0	62	16.7
5-323: Segmentresektion und Bisegmentresektion der Lunge	22	5	4	2	0	1	34	9.2
5-325: Erweiterte Lobektomie und Bilobektomie der Lunge	1	2	6	2	0	0	11	3.0
5-320: Exzision und Destruktion von erkranktem Gewebe eines Bronchus	2	0	2	1	1	0	6	1.6
5-327: Einfache (Pleuro-)Pneum(on)ektomie	1	0	2	1	1	0	5	1.3
5-328: Erweiterte (Pleuro-)Pneum(on)ektomie	0	1	4	0	0	0	5	1.3
5-321: Andere Exzision und Resektion eines Bronchus (ohne Resektion des Lungenparenchyms)	1	0	1	0	0	0	2	0.5
5-329: Andere Exzisionen an Lunge und Bronchus	0	0	0	0	1	0	1	0.3
Summe	174	63	87	26	15	6	371	100.0

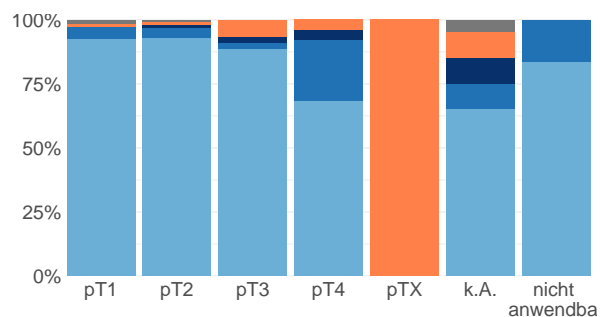
Tab. 13.19. C34 (Adenokarzinome): Residualklassifikation nach Tumorresektion bei Neuerkrankungen in den UICC-Stadien I-IV

R-Klassifikation	UICC I	UICC II	UICC III	UICC IV	Stadium unbekannt	nicht anwendbar	Summe	
							Anzahl	%
R0 (kein Residualtumor)	165	60	65	18	10	5	323	87.1
R1 (mikroskopischer Residualtumor)	2	3	11	4	2	1	23	6.2
R2 (makroskopischer Residualtumor)	1	0	4	2	0	0	7	1.9
RX (Vorhandensein eines Residualtumors kann nicht beurteilt werden)	4	0	5	1	2	0	12	3.2
keine R-Klassifikation zu erwarten	2	0	2	1	1	0	6	1.6
<b>Summe</b>	<b>174</b>	<b>63</b>	<b>87</b>	<b>26</b>	<b>15</b>	<b>6</b>	<b>371</b>	<b>100.0</b>



■ R0 ■ R1 ■ R2 ■ RX ■ keine R-Klassifikation zu erwarten

© KR-MV 2023



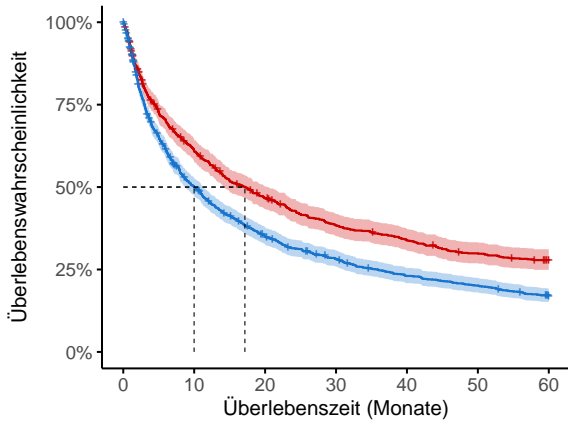
■ R0 ■ R1 ■ R2 ■ RX ■ keine R-Klassifikation zu erwarten

© KR-MV 2023

Abb. 13.10. C34 (Adenokarzinome): R-Klassifikation nach tumorspezifischer Resektion bei Neuerkrankungen in pUICC Stadien I-IV

Abb. 13.11. C34 (Adenokarzinome): R-Klassifikation nach tumorspezifischer Resektion bei Neuerkrankungen mit Tumoren unterschiedlicher pT-Kategorie

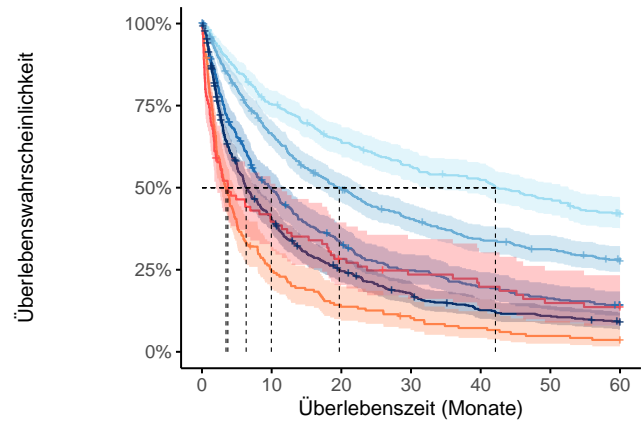
### 13.8 Überlebensanalysen (Kaplan-Meier) bei den in den Jahren 2013-2017 primär diagnostizierten Patienten (Wohnort und Behandlung in M-V)



Anzahl der Neuerkrankungen unter Beobachtung

Frauen	826	489	370	301	265	232	210
Männer	1336	648	449	354	286	250	205

© KR-MV 2023



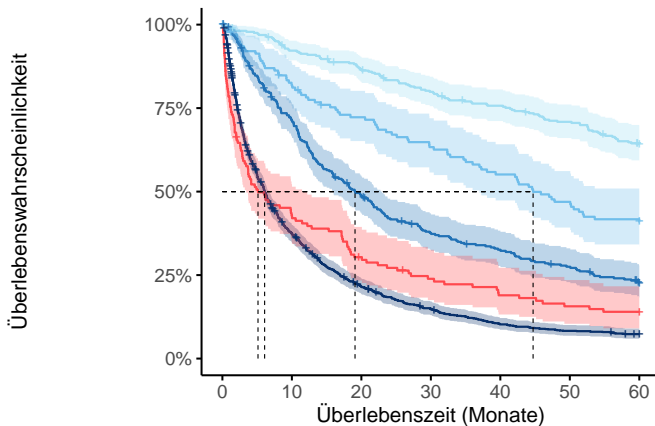
Anzahl der Neuerkrankungen unter Beobachtung

T1	430	318	269	235	217	193	171
T2	527	343	254	204	172	155	134
T3	376	179	118	87	69	57	48
T4	535	205	121	85	59	51	40
TX	179	43	24	17	12	8	6
k.A.	90	35	24	19	16	12	11
nicht anwendbar	15	13	9	8	6	6	5

© KR-MV 2023

Abb. 13.12. C34 (Adenokarzinome): Wahrscheinlichkeit des Überlebens (Kaplan-Meier) nach Geschlecht bei Diagnosestellung in den Jahren 2013-2017.\*

Abb. 13.13. C34 (Adenokarzinome): Wahrscheinlichkeit des Überlebens (Kaplan-Meier) nach Tumorgroße bei Diagnosestellung in den Jahren 2013-2017.\*



Anzahl der Neuerkrankungen unter Beobachtung

UICC I	324	294	274	251	236	220	196
UICC II	140	112	97	85	74	63	55
UICC III	317	221	150	112	96	80	62
UICC IV	1236	442	251	170	116	94	80
Stadium unbekannt	130	55	38	29	23	19	17
nicht anwendbar	15	13	9	8	6	6	5

© KR-MV 2023

Abb. 13.14. C34 (Adenokarzinome): Wahrscheinlichkeit des Überlebens (Kaplan-Meier) nach UICC bei Diagnosestellung in den Jahren 2013-2017.\*

\*Die 50%-Überlebensraten sind dort, wo sie bestimmbar sind, graphisch dargestellt. Zusätzlich erfolgt pro Überlebenskurve die Darstellung des 95%-Konfidenzintervalls. Kaplan-Meier Kurven werden für Kategorien mit weniger als 30 Neuerkrankungen nicht dargestellt.

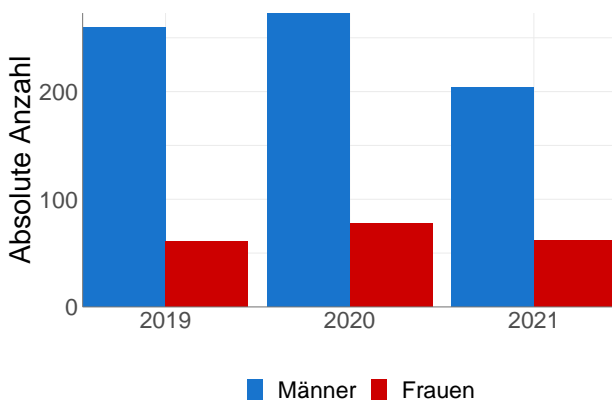
# 14 Lunge C34 - Plattenepithelkarzinome

## 14.1 Absolute Anzahl der erfassten Neuerkrankungen in M-V in den Jahren 2019-2021 nach Geschlecht und Alter

Tab. 14.1. C34 (Plattenepithelkarzinome): Absolute Anzahl der Neuerkrankungen nach Geschlecht

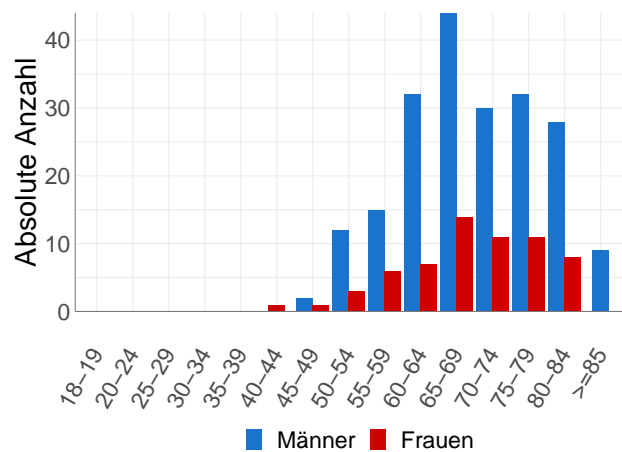
Geschlecht	Männer		Frauen		Summe
	Anzahl	%	Anzahl	%	
2019	260	81.0	61	19.0	321
2020	273	77.8	78	22.2	351
2021	204	76.7	62	23.3	266
Summe	737	78.6	201	21.4	938

Hinweis: Für n=1 Patienten lag dem Krebsregister Mecklenburg-Vorpommern die Angabe „divers“, „sonstiges“ bzw. keine Angabe zum Geschlecht vor. Aufgrund der geringen Fallzahl werden diese Patienten in Auswertungen zum Geschlecht ausgeschlossen.



© KR-MV 2023

Abb. 14.1. C34 (Plattenepithelkarzinome): Absolute Anzahl der Neuerkrankungen nach Geschlecht



© KR-MV 2023

Abb. 14.2. C34 (Plattenepithelkarzinome): Absolute Anzahl der Neuerkrankungen aufgelistet in 5-Jahres-Altersgruppen und nach Geschlecht für das Diagnosejahr 2021

Tab. 14.2. C34 (Plattenepithelkarzinome): Erkrankungsalter

Diagnosejahre	Männer				Frauen			
	Anzahl	Median	Minimum	Maximum	Anzahl	Median	Minimum	Maximum
2019	260	68	50	93	61	71	48	88
2020	273	69	49	89	78	69	48	88
2021	204	69	48	87	62	69	44	84

## 14.2 Absolute Anzahl der erfassten Neuerkrankungen in M-V in den Jahren 2019-2021 nach Lokalisation

Tab. 14.3. C34 (Plattenepithelkarzinome): Absolute Anzahl und prozentualer Anteil der Neuerkrankungen nach der Lokalisation

Lokalisationen	2019	2020	2021	Summe	
				Anzahl	%
Hauptbronchus (ICD-O: C34.0)	33	39	26	98	10.4
Carina (ICD-O: C34.01)	3	0	0	3	0.3
Zwischenbronchus (ICD-O: C34.02)	7	4	0	11	1.2
Lungenoberlappen (einschl. Lingula und Oberlappenbronchus) (ICD-O: C34.1)	148	181	123	452	48.1
Lungenmittellappen (einschl. Mittellappenbronchus) (ICD-O: C34.2)	13	16	4	33	3.5
Lungenunterlappen (einschl. Unterlappenbronchus) (ICD-O: C34.3)	88	90	90	268	28.5
Lunge (mehrere Teilbereiche überlappend) (ICD-O: C34.8)	18	9	12	39	4.1
Lunge o.n.A., Bronchus o.n.A. (ICD-O: C34.9)	12	12	12	36	3.8
<b>Summe</b>	<b>322</b>	<b>351</b>	<b>267</b>	<b>940</b>	<b>100.0</b>

## 14.3 Histologische Befunde bei allen neuerkrankten Patienten in M-V in den Jahren 2019-2021

Tab. 14.4. C34 (Plattenepithelkarzinome): Histologische Befunde bei neuerkrankten Patienten

	2019		2020		2021	
	Anzahl	%	Anzahl	%	Anzahl	%
8052/3: Papilläres Plattenepithelkarzinom	0	0.0	1	0.3	0	0.0
8070/3: Plattenepithelkarzinom o.n.A.	185	57.6	194	55.3	169	63.3
8071/3: Verhornendes Plattenepithelkarzinom o.n.A.	47	14.6	59	16.8	33	12.4
8072/3: Großzelliges nichtverhornendes Plattenepithelkarzinom o.n.A.	78	24.3	86	24.5	58	21.7
8073/3: Kleinzelliges nichtverhornendes Plattenepithelkarzinom	0	0.0	0	0.0	1	0.4
8074/3: Spindelzelliges Plattenepithelkarzinom	0	0.0	2	0.6	0	0.0
8078/3: Plattenepithelkarzinom mit Hornbildung	0	0.0	1	0.3	2	0.7
8082/3: Lymphoepitheliales Karzinom	0	0.0	1	0.3	1	0.4
8083/3: Basaloides Plattenepithelkarzinom	9	2.8	7	2.0	3	1.1
8086/3: Plattenepithelkarzinom, HPV-negativ	1	0.3	0	0.0	0	0.0
8123/3: Basaloidkarzinom	1	0.3	0	0.0	0	0.0
<b>Plattenepithelkarzinome - Gruppe B</b>	<b>321</b>	<b>100.0</b>	<b>351</b>	<b>100.0</b>	<b>267</b>	<b>100.0</b>

## 14.4 Tumorgröße und Ausdehnung (TNM)

Tab. 14.5. C34 (Plattenepithelkarzinome): Absolute Anzahl der Neuerkrankungen klassifiziert nach der Tumorgröße

Tumorgröße (T)	2019		2020		2021		Summe	
	Anzahl	%	Anzahl	%	Anzahl	%	Anzahl	%
T1	51	15.9	61	17.4	34	12.7	146	15.5
T2	63	19.6	61	17.4	47	17.6	171	18.2
T3	66	20.6	77	21.9	53	19.9	196	20.9
T4	117	36.4	129	36.8	110	41.2	356	37.9
TX	11	3.4	16	4.6	15	5.6	42	4.5
k.A.	13	4.0	7	2.0	8	3.0	28	3.0
TNM nicht anwendbar	0	0.0	0	0.0	0	0.0	0	0.0
Summe	321	100.0	351	100.0	267	100.0	939	100.0

Tab. 14.6. C34 (Plattenepithelkarzinome): Absolute Anzahl der Neuerkrankungen mit bzw. ohne Befall der regionären Lymphknoten

N-Kategorie	2019		2020		2021		Summe	
	Anzahl	%	Anzahl	%	Anzahl	%	Anzahl	%
N0	85	26.5	98	27.9	81	30.3	264	28.1
N1	55	17.1	60	17.1	35	13.1	150	16.0
N2	87	27.1	109	31.1	80	30.0	276	29.4
N3	63	19.6	60	17.1	43	16.1	166	17.7
NX	18	5.6	14	4.0	18	6.7	50	5.3
k.A.	13	4.0	10	2.8	10	3.7	33	3.5
TNM nicht anwendbar	0	0.0	0	0.0	0	0.0	0	0.0
Summe	321	100.0	351	100.0	267	100.0	939	100.0

Tab. 14.7. C34 (Plattenepithelkarzinome): Absolute Anzahl der Neuerkrankungen mit Fernmetastasierung

M-Kategorie	2019		2020		2021		Summe	
	Anzahl	%	Anzahl	%	Anzahl	%	Anzahl	%
M0	185	57.6	194	55.3	154	57.7	533	56.8
M1	111	34.6	138	39.3	99	37.1	348	37.1
MX/k.A.	25	7.8	19	5.4	14	5.2	58	6.2
TNM nicht anwendbar	0	0.0	0	0.0	0	0.0	0	0.0
Summe	321	100.0	351	100.0	267	100.0	939	100.0

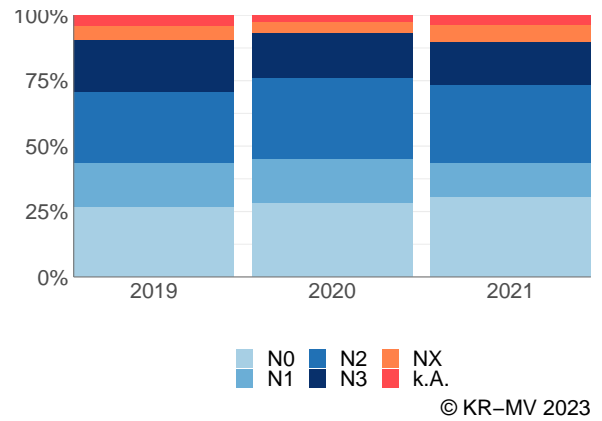
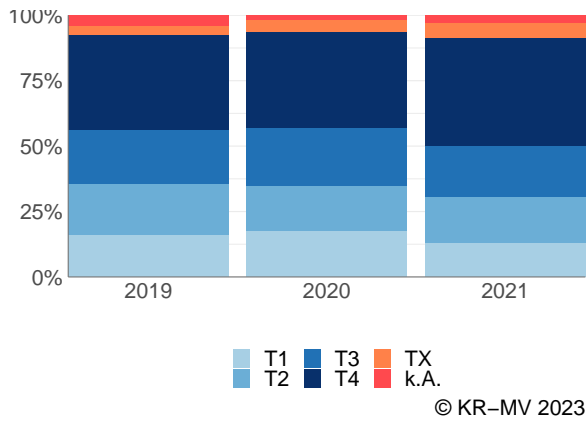


Abb. 14.3. C34 (Plattenepithelkarzinome): Prozentualer Anteil der Neuerkrankungen nach Tumormgröße im Diagnosezeitraum 2019 bis 2021

Abb. 14.4. C34 (Plattenepithelkarzinome): Prozentualer Anteil der Neuerkrankungen mit bzw. ohne Befall der regionären Lymphknoten im Diagnosezeitraum 2019 bis 2021

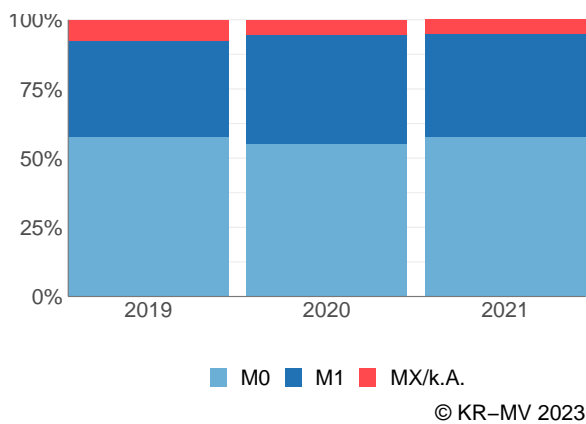


Abb. 14.5. C34 (Plattenepithelkarzinome): Prozentualer Anteil der Neuerkrankungen mit bzw. ohne primäre Fernmetastasierung im Diagnosezeitraum 2019 bis 2021

## 14.5 Primäre Tumorstadien nach UICC

Tab. 14.8. C34 (Plattenepithelkarzinome): Primäre UICC-Stadien

Diagnose- jahre	UICC I		UICC II		UICC III		UICC IV		Stadium unbekannt		nicht anwendbar*		Summe
	Anzahl	%	Anzahl	%	Anzahl	%	Anzahl	%	Anzahl	%	Anzahl	%	
2019	46	14.3	47	14.6	89	27.7	111	34.6	28	8.7	0	0	321
2020	55	15.7	35	10.0	103	29.3	138	39.3	20	5.7	0	0	351
2021	40	15.0	26	9.7	85	31.8	99	37.1	17	6.4	0	0	267
Summe	141	15.0	108	11.5	277	29.5	348	37.1	65	6.9	0	0	939

\* Für diese Neuerkrankungen war es nicht möglich eine TNM-Angabe (TNM Auflage 8) anzugeben.

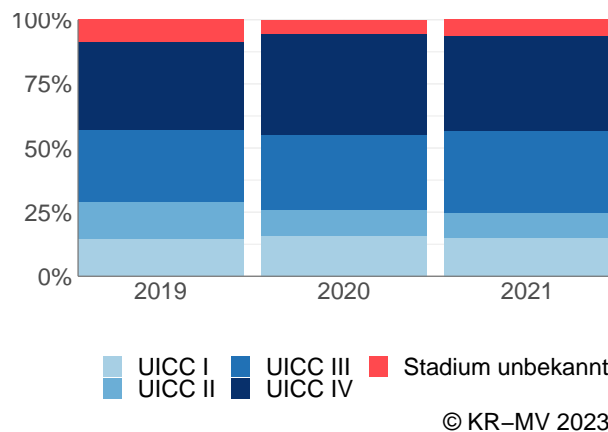
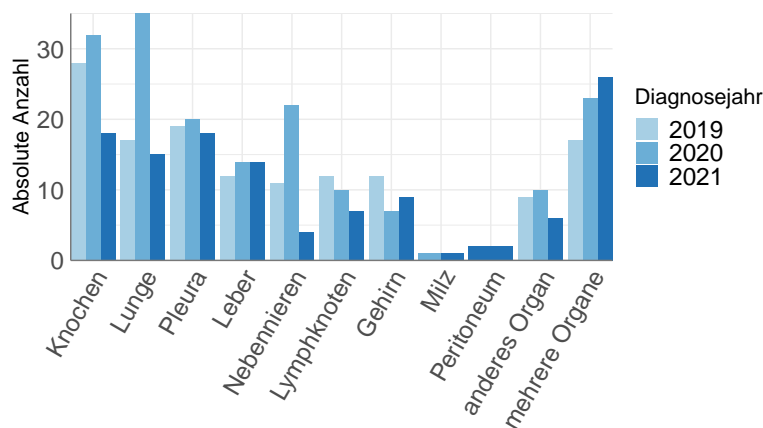


Abb. 14.6. C34 (Plattenepithelkarzinome): Prozentuale Anteile der primären UICC-Tumorstadien in den Diagnosejahren 2019 bis 2021

## 14.6 Lokalisation der primären Fernmetastasen



© KR-MV 2023

Abb. 14.7. C34 (Plattenepithelkarzinome): Lokalisation der primären Fernmetastasen bei Neuerkrankungen im Diagnosezeitraum 2019 bis 2021

## 14.7 Dokumentierte Therapie bis max. 12 Monate nach Diagnosestellung

### 14.7.1 Therapiekombinationen, Stellung der Therapie und Intention der dokumentierten Therapien

Tab. 14.9. C34 (Plattenepithelkarzinome): Häufigkeit der tumorbezogenen Therapien

Tumorbezogene Therapien	2019	2020	2021	Summe	
				Anzahl	%
Tumorspezifische Operation	96	98	69	263	20.5
Systemische Therapie	156	172	112	440	34.2
Strahlentherapie	119	150	104	373	29.0
Keine Therapie gemeldet	71	64	74	209	16.3
<b>Summe</b>	<b>442</b>	<b>484</b>	<b>359</b>	<b>1285</b>	<b>100.0</b>

Tab. 14.10. C34 (Plattenepithelkarzinome): Zeitraum zwischen Diagnose und Beginn der ersten Therapie nach Therapieart (Angabe in Tagen)

Tumorbezogene Therapien	Median	Minimum	Maximum
Strahlentherapie	51.5	1	358
Systemische Therapie	35.0	1	349
Tumorspezifische Operation	34.0	0	362

Tab. 14.11. C34 (Plattenepithelkarzinome): Therapiekombinationen (Operation, Strahlentherapie, systemische Therapie) pro Diagnosejahr

Therapiekombination	2019	2020	2021	Summe	
				Anzahl	%
Alleinige tumorspezifische Operation	56	58	39	153	16.3
Alleinige systemische Therapie	54	55	32	141	15.0
Alleinige Strahlentherapie	33	52	38	123	13.1
Tumorspezifische Operation und systemische Therapie	21	24	18	63	6.7
Tumorspezifische Operation und Strahlentherapie	5	5	4	14	1.5
Systemische Therapie und Strahlentherapie	67	82	54	203	21.6
Tumorspezifische Operation und systemische Therapie und Strahlentherapie	14	11	8	33	3.5
Keine tumorspezifische Operation, systemische Therapie oder Strahlentherapie	71	64	74	209	22.3
Summe	321	351	267	939	100.0

Tab. 14.12. C34 (Plattenepithelkarzinome): Therapiekombinationen (Operation, Strahlentherapie, systemische Therapie) in Abhängigkeit von dem UICC-Stadium

Therapiekombination	UICC				Stadium unbekannt	nicht anwendbar	Summe	
	I	II	III	IV			Anzahl	%
Alleinige tumorspezifische Operation	94	28	26	3	2	0	153	16.3
Alleinige systemische Therapie	2	5	23	105	6	0	141	15.0
Alleinige Strahlentherapie	16	12	44	47	4	0	123	13.1
Tumorspezifische Operation und systemische Therapie	6	30	19	7	1	0	63	6.7
Tumorspezifische Operation und Strahlentherapie	3	4	6	1	0	0	14	1.5
Systemische Therapie und Strahlentherapie	1	9	103	83	7	0	203	21.6
Tumorspezifische Operation und systemische Therapie und Strahlentherapie	2	8	19	3	1	0	33	3.5
Keine tumorspezifische Operation, systemische Therapie oder Strahlentherapie	17	12	37	99	44	0	209	22.3
Summe	141	108	277	348	65	0	939	100.0

Tab. 14.13. C34 (Plattenepithelkarzinome): Stellung der Strahlentherapie zur operativen Therapie im ersten Jahr der Erkrankung (adjuvant/neoadjuvant)

Stellung der Strahlentherapie zur operativen Therapie	2019	2020	2021	Summe	
				Anzahl	%
Therapie ohne Bezug zu einer operativen Therapie	7	5	6	18	38.3
Adjuvante (postoperative) Strahlentherapie	12	11	4	27	57.4
Neoadjuvante (präoperative) Strahlentherapie	0	0	2	2	4.3
Summe	19	16	12	47	100.0

Tab. 14.14. C34 (Plattenepithelkarzinome): Stellung der systemischen Therapie zur operativen Therapie im ersten Jahr der Erkrankung (adjuvant/neoadjuvant)

Stellung der systemischen Therapie zur operativen Therapie	2019	2020	2021	Summe	
				Anzahl	%
Therapie ohne Bezug zu einer operativen Therapie	2	3	5	10	10.4
Neoadjuvante (präoperative) Therapie	8	6	2	16	16.7
Adjuvante (postoperative) Therapie	24	25	17	66	68.8
Sonstige/Keine Angabe	1	1	2	4	4.2
Summe	35	35	26	96	100.0

Tab. 14.15. C34 (Plattenepithelkarzinome): Intention bei der ersten tumorspezifischen Operation

Intention der Operation	2019	2020	2021	Summe	
				Anzahl	%
Kurativ	92	94	65	251	95.4
Diagnostisch	0	0	1	1	0.4
Palliativ bzw. symptomatisch	4	3	2	9	3.4
Sonstige/Unbekannt/Keine Angabe	0	1	1	2	0.8
Summe	96	98	69	263	100.0

Tab. 14.16. C34 (Plattenepithelkarzinome): Intention bei der initialen Bestrahlung

Intention der Bestrahlung	2019	2020	2021	Summe	
				Anzahl	%
Palliativ bzw. symptomatisch	47	86	44	177	47.5
Kurativ	71	64	60	195	52.3
Sonstige/Unbekannt/Keine Angabe	1	0	0	1	0.3
Summe	119	150	104	373	100.0

Tab. 14.17. C34 (Plattenepithelkarzinome): Intention bei der ersten systemischen Therapie

Intention der systemischen Therapie	2019	2020	2021	Summe	
				Anzahl	%
Kurativ	66	70	51	187	42.5
Palliativ bzw. symptomatisch	84	99	56	239	54.3
Sonstige/Unbekannt/Keine Angabe	6	3	5	14	3.2
Summe	156	172	112	440	100.0

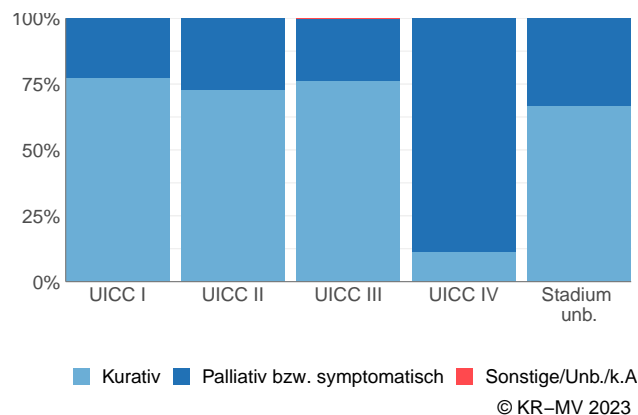
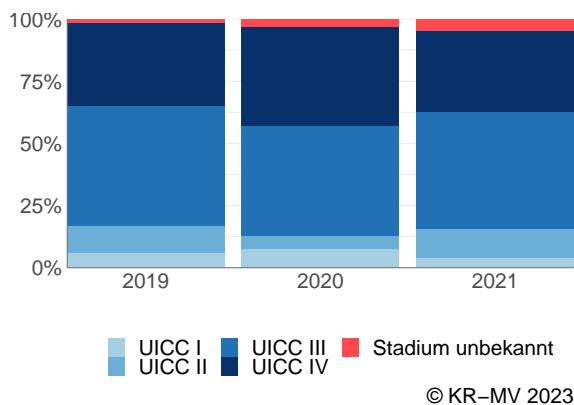


Abb. 14.8. C34 (Plattenepithelkarzinome): Prozentuale Verteilung der UICC-Stadien bei allen in den Jahren 2019 bis 2021 bestrahlten Neuerkrankungen

Abb. 14.9. C34 (Plattenepithelkarzinome): Intention der ersten Bestrahlung nach UICC-Klassifikation

#### 14.7.2 Dokumentierte tumorspezifische Operation bis max. 12 Monate nach Diagnosestellung

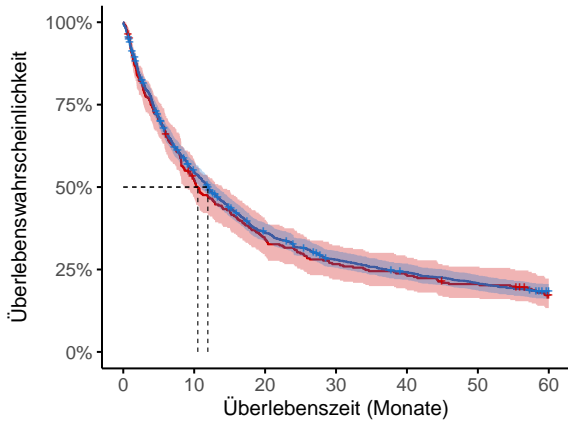
Tab. 14.18. C34 (Plattenepithelkarzinome): Dokumentierte tumorspezifische Operation nach UICC

Operation	UICC I	UICC II	UICC III	UICC IV	Stadium unbekannt	nicht anwendbar	Summe	
							Anzahl	%
5-324: Einfache Lobektomie und Bilobektomie der Lunge	72	46	40	7	2	0	167	63.5
5-322: Atypische Lungenresektion	18	3	1	2	0	0	24	9.1
5-325: Erweiterte Lobektomie und Bilobektomie der Lunge	3	8	9	2	1	0	23	8.7
5-323: Segmentresektion und Bisegmentresektion der Lunge	11	3	5	1	1	0	21	8.0
5-328: Erweiterte (Pleuro-)Pneum(on)ektomie	0	5	10	1	0	0	16	6.1
5-327: Einfache (Pleuro-)Pneum(on)ektomie	0	3	4	0	0	0	7	2.7
5-339: Andere Operationen an Lunge und Bronchien	1	1	1	1	0	0	4	1.5
5-320: Exzision und Destruktion von erkranktem Gewebe eines Bronchus	0	1	0	0	0	0	1	0.4
Summe	105	70	70	14	4	0	263	100.0

Tab. 14.19. C34 (Plattenepithelkarzinome): Residualklassifikation nach Tumorresektion bei Neuerkrankungen in den UICC-Stadien I-IV

R-Klassifikation	UICC I	UICC II	UICC III	UICC IV	Stadium unbekannt	nicht anwendbar	Summe	
							Anzahl	%
R0 (kein Residualtumor)	101	60	61	10	3	0	235	89.4
R1 (mikroskopischer Residualtumor)	1	7	7	2	0	0	17	6.5
RX (Vorhandensein eines Residualtumors kann nicht beurteilt werden)	2	0	1	1	1	0	5	1.9
keine Angabe	0	1	0	0	0	0	1	0.4
keine R-Klassifikation zu erwarten	1	2	1	1	0	0	5	1.9
Summe	105	70	70	14	4	0	263	100.0

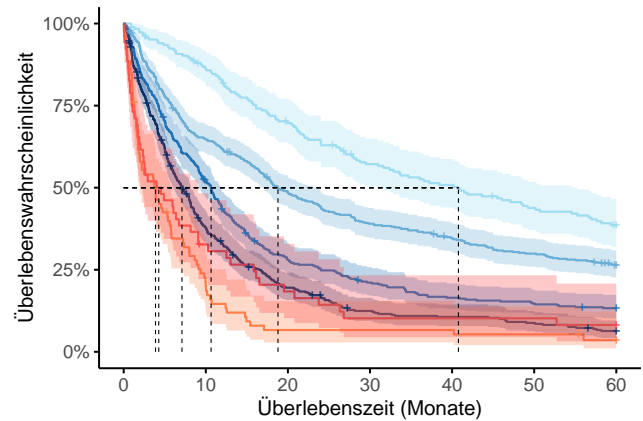
## 14.8 Überlebensanalysen (Kaplan-Meier) bei den in den Jahren 2013-2017 primär diagnostizierten Patienten (Wohnort und Behandlung in M-V)



Anzahl der Neuerkrankungen unter Beobachtung

Frauen	289	147	96	75	66	57	44
Männer	1221	652	423	321	276	238	203

© KR-MV 2023



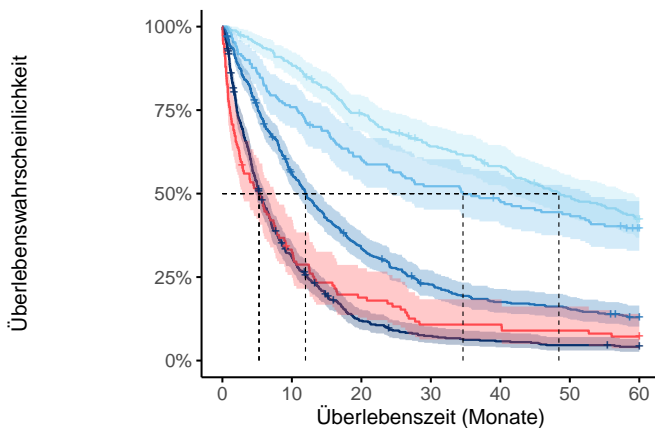
Anzahl der Neuerkrankungen unter Beobachtung

T1	184	156	124	99	88	75	65
T2	452	291	215	173	152	131	111
T3	364	186	98	73	57	51	45
T4	377	135	68	41	35	29	20
TX	79	15	5	5	5	4	2
k.A.	52	16	9	5	5	5	4

© KR-MV 2023

Abb. 14.10. C34 (Plattenepithelkarzinome): Wahrscheinlichkeit des Überlebens (Kaplan-Meier) nach Geschlecht bei Diagnosestellung in den Jahren 2013-2017.\*

Abb. 14.11. C34 (Plattenepithelkarzinome): Wahrscheinlichkeit des Überlebens (Kaplan-Meier) nach Tumorgöße bei Diagnosestellung in den Jahren 2013-2017.\*



Anzahl der Neuerkrankungen unter Beobachtung

UICC I	265	234	192	164	148	124	106
UICC II	170	129	102	88	80	73	62
UICC III	466	254	151	100	77	68	54
UICC IV	493	146	53	32	25	20	17
Stadium unbekannt	116	36	21	12	12	10	8

© KR-MV 2023

Abb. 14.12. C34 (Plattenepithelkarzinome): Wahrscheinlichkeit des Überlebens (Kaplan-Meier) nach UICC bei Diagnosestellung in den Jahren 2013-2017.\*

\*Die 50%-Überlebensraten sind dort, wo sie bestimmbar sind, graphisch dargestellt. Zusätzlich erfolgt pro Überlebenskurve die Darstellung des 95%-Konfidenzintervalls. Kaplan-Meier Kurven werden für Kategorien mit weniger als 30 Neuerkrankungen nicht dargestellt.

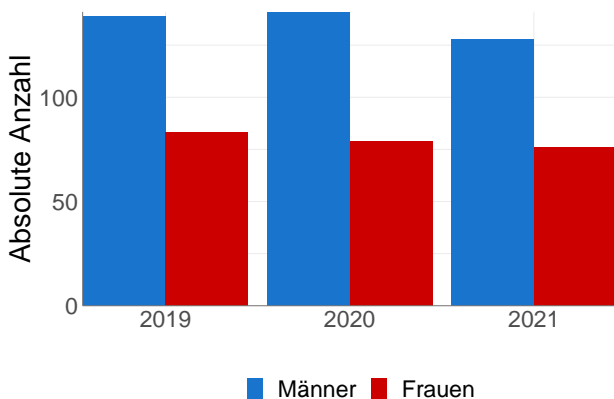
# 15 Lunge C34 - Kleinzellige Lungenkarzinome (SCLC)

## 15.1 Absolute Anzahl der erfassten Neuerkrankungen in M-V in den Jahren 2019-2021 nach Geschlecht und Alter

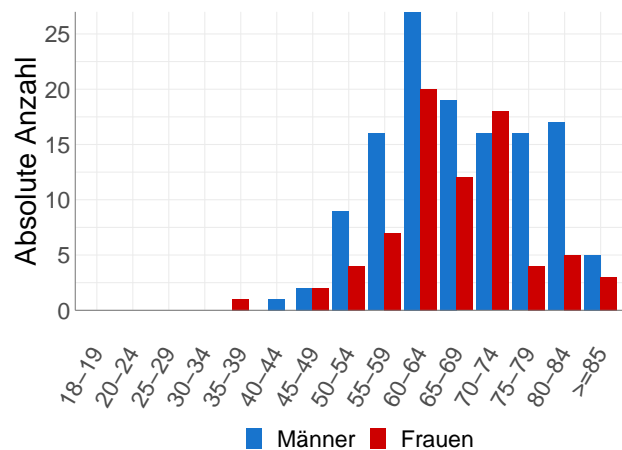
Tab. 15.1. C34 (SCLC): Absolute Anzahl der Neuerkrankungen nach Geschlecht

Geschlecht	Männer		Frauen		Summe
	Anzahl	%	Anzahl	%	
2019	139	62.6	83	37.4	222
2020	141	64.1	79	35.9	220
2021	128	62.7	76	37.3	204
Summe	408	63.2	238	36.8	646

Hinweis: Für n=1 Patienten lag dem Krebsregister Mecklenburg-Vorpommern die Angabe „divers“, „sonstiges“ bzw. keine Angabe zum Geschlecht vor. Aufgrund der geringen Fallzahl werden diese Patienten in Auswertungen zum Geschlecht ausgeschlossen.



© KR-MV 2023



© KR-MV 2023

Abb. 15.1. C34 (SCLC): Absolute Anzahl der Neuerkrankungen nach Geschlecht

Abb. 15.2. C34 (SCLC): Absolute Anzahl der Neuerkrankungen aufgelistet in 5-Jahres-Altersgruppen und nach Geschlecht für das Diagnosejahr 2021

Tab. 15.2. C34 (SCLC): Erkrankungsalter

Diagnosejahre	Männer				Frauen			
	Anzahl	Median	Minimum	Maximum	Anzahl	Median	Minimum	Maximum
2019	139	66	36	85	83	66	47	87
2020	141	66	38	86	79	65	45	88
2021	128	66	42	91	76	67	39	88

## 15.2 Absolute Anzahl der erfassten Neuerkrankungen in M-V in den Jahren 2019-2021 nach Lokalisation

Tab. 15.3. C34 (SCLC): Absolute Anzahl und prozentualer Anteil der Neuerkrankungen nach der Lokalisation

Lokalisationen	2019	2020	2021	Summe	
				Anzahl	%
Hauptbronchus (ICD-O: C34.0)	42	43	31	116	17.9
Carina (ICD-O: C34.01)	2	0	0	2	0.3
Zwischenbronchus (ICD-O: C34.02)	5	2	1	8	1.2
Lungenoberlappen (einschl. Lingula und Oberlappenbronchus) (ICD-O: C34.1)	94	93	88	275	42.5
Lungenmittellappen (einschl. Mittellappenbronchus) (ICD-O: C34.2)	12	8	11	31	4.8
Lungenunterlappen (einschl. Unterlappenbronchus) (ICD-O: C34.3)	31	35	44	110	17.0
Lunge (mehrere Teilbereiche überlappend) (ICD-O: C34.8)	8	11	15	34	5.3
Lunge o.n.A., Bronchus o.n.A. (ICD-O: C34.9)	28	29	14	71	11.0
<b>Summe</b>	<b>222</b>	<b>221</b>	<b>204</b>	<b>647</b>	<b>100.0</b>

## 15.3 Histologische Befunde bei allen neuerkrankten Patienten in M-V in den Jahren 2019-2021

Tab. 15.4. C34 (SCLC): Histologische Befunde bei neuerkrankten Patienten

	2019		2020		2021	
	Anzahl	%	Anzahl	%	Anzahl	%
8041/3: Kleinzelliges Karzinom o.n.A.	211	95.0	214	96.8	199	97.5
8042/3: Haferzell-Karzinom	0	0.0	1	0.5	0	0.0
8044/3: Kleinzelliges Karzinom vom Intermediärtyp	4	1.8	1	0.5	1	0.5
8045/3: Kombiniertes kleinzelliges Karzinom	7	3.2	5	2.3	4	2.0
<b>Kleinzellige Karzinome (SCLC) - Gruppe C1</b>	<b>222</b>	<b>100.0</b>	<b>221</b>	<b>100.0</b>	<b>204</b>	<b>100.0</b>

## 15.4 Tumorgröße und Ausdehnung (TNM)

Tab. 15.5. C34 (SCLC): Absolute Anzahl der Neuerkrankungen klassifiziert nach der Tumorgröße

Tumorgröße (T)	2019		2020		2021		Summe	
	Anzahl	%	Anzahl	%	Anzahl	%	Anzahl	%
T1	26	11.7	14	6.3	15	7.4	55	8.5
T2	24	10.8	30	13.6	23	11.3	77	11.9
T3	36	16.2	28	12.7	26	12.7	90	13.9
T4	100	45.0	107	48.4	104	51.0	311	48.1
TX	25	11.3	33	14.9	26	12.7	84	13.0
k.A.	11	5.0	9	4.1	10	4.9	30	4.6
TNM nicht anwendbar	0	0.0	0	0.0	0	0.0	0	0.0
Summe	222	100.0	221	100.0	204	100.0	647	100.0

Tab. 15.6. C34 (SCLC): Absolute Anzahl der Neuerkrankungen mit bzw. ohne Befall der regionären Lymphknoten

N-Kategorie	2019		2020		2021		Summe	
	Anzahl	%	Anzahl	%	Anzahl	%	Anzahl	%
N0	19	8.6	21	9.5	16	7.8	56	8.7
N1	19	8.6	28	12.7	16	7.8	63	9.7
N2	64	28.8	54	24.4	61	29.9	179	27.7
N3	89	40.1	84	38.0	76	37.3	249	38.5
NX	20	9.0	23	10.4	23	11.3	66	10.2
k.A.	11	5.0	11	5.0	12	5.9	34	5.3
TNM nicht anwendbar	0	0.0	0	0.0	0	0.0	0	0.0
Summe	222	100.0	221	100.0	204	100.0	647	100.0

Tab. 15.7. C34 (SCLC): Absolute Anzahl der Neuerkrankungen mit Fernmetastasierung

M-Kategorie	2019		2020		2021		Summe	
	Anzahl	%	Anzahl	%	Anzahl	%	Anzahl	%
M0	49	22.1	49	22.2	49	24.0	147	22.7
M1	156	70.3	151	68.3	143	70.1	450	69.6
MX/k.A.	17	7.7	21	9.5	12	5.9	50	7.7
TNM nicht anwendbar	0	0.0	0	0.0	0	0.0	0	0.0
Summe	222	100.0	221	100.0	204	100.0	647	100.0

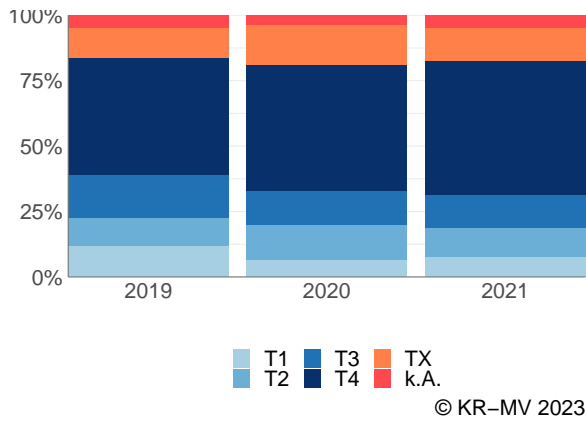


Abb. 15.3. C34 (SCLC): Prozentualer Anteil der Neuerkrankungen nach Tumorgröße im Diagnosezeitraum 2019 bis 2021

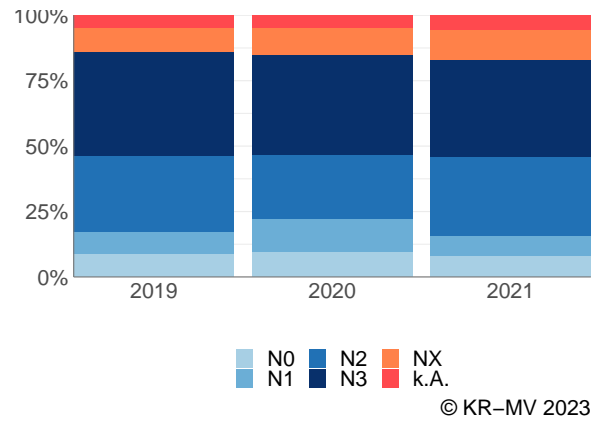


Abb. 15.4. C34 (SCLC): Prozentualer Anteil der Neuerkrankungen mit bzw. ohne Befall der regionalen Lymphknoten im Diagnosezeitraum 2019 bis 2021

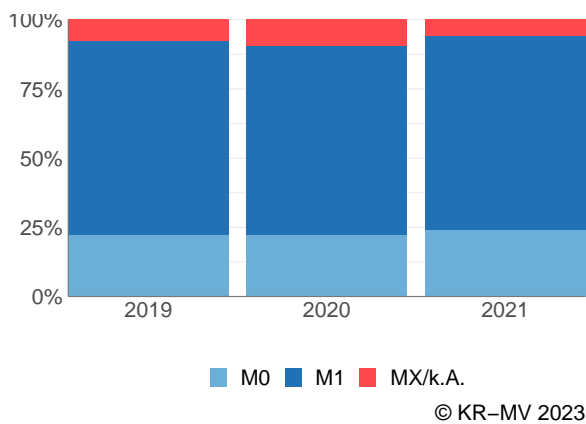


Abb. 15.5. C34 (SCLC): Prozentualer Anteil der Neuerkrankungen mit bzw. ohne primäre Fernmetastasierung im Diagnosezeitraum 2019 bis 2021

## 15.5 Primäre Tumorstadien nach UICC

Tab. 15.8. C34 (SCLC): Primäre UICC-Stadien

Diagnose- jahre	UICC I		UICC II		UICC III		UICC IV		Stadium unbekannt		nicht anwendbar*		Summe
	Anzahl	%	Anzahl	%	Anzahl	%	Anzahl	%	Anzahl	%	Anzahl	%	
2019	4	1.8	7	3.2	37	16.7	156	70.3	18	8.1	0	0	222
2020	9	4.1	3	1.4	36	16.3	151	68.3	22	10.0	0	0	221
2021	5	2.5	4	2.0	37	18.1	143	70.1	15	7.4	0	0	204
Summe	18	2.8	14	2.2	110	17.0	450	69.6	55	8.5	0	0	647

\* Für diese Neuerkrankungen war es nicht möglich eine TNM-Angabe (TNM Auflage 8) anzugeben.

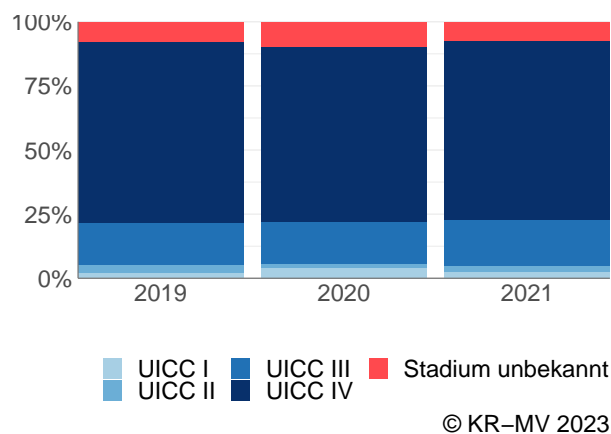
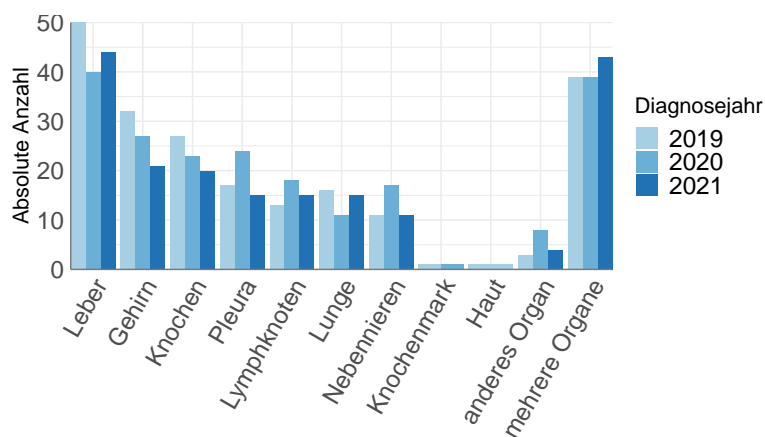


Abb. 15.6. C34 (SCLC): Prozentuale Anteile der primären UICC-Tumorstadien in den Diagnosejahren 2019 bis 2021

## 15.6 Lokalisation der primären Fernmetastasen



© KR-MV 2023

Abb. 15.7. C34 (SCLC): Lokalisation der primären Fernmetastasen bei Neuerkrankungen im Diagnosezeitraum 2019 bis 2021

## 15.7 Dokumentierte Therapie bis max. 12 Monate nach Diagnosestellung

### 15.7.1 Therapiekombinationen, Stellung der Therapie und Intention der dokumentierten Therapien

Tab. 15.9. C34 (SCLC): Häufigkeit der tumorbezogenen Therapien

Tumorbezogene Therapien	2019	2020	2021	Summe	
				Anzahl	%
Tumorspezifische Operation	3	4	7	14	1.5
Systemische Therapie	174	162	137	473	50.9
Strahlentherapie	103	109	81	293	31.5
Keine Therapie gemeldet	44	50	55	149	16.0
<b>Summe</b>	<b>324</b>	<b>325</b>	<b>280</b>	<b>929</b>	<b>100.0</b>

Tab. 15.10. C34 (SCLC): Zeitraum zwischen Diagnose und Beginn der ersten Therapie nach Therapieart (Angabe in Tagen)

Tumorbezogene Therapien	Median	Minimum	Maximum
Strahlentherapie	71	1	340
Systemische Therapie	10	0	147
Tumorspezifische Operation	32	0	163

Tab. 15.11. C34 (SCLC): Therapiekombinationen (Operation, Strahlentherapie, systemische Therapie) pro Diagnosejahr

Therapiekombination	2019	2020	2021	Summe	
				Anzahl	%
Alleinige tumorspezifische Operation	0	0	1	1	0.2
Alleinige systemische Therapie	75	61	65	201	31.1
Alleinige Strahlentherapie	4	9	10	23	3.6
Tumorspezifische Operation und systemische Therapie	0	1	2	3	0.5
Tumorspezifische Operation und Strahlentherapie	0	0	1	1	0.2
Systemische Therapie und Strahlentherapie	96	97	67	260	40.2
Tumorspezifische Operation und systemische Therapie und Strahlentherapie	3	3	3	9	1.4
Keine tumorspezifische Operation, systemische Therapie oder Strahlentherapie	44	50	55	149	23.0
Summe	222	221	204	647	100.0

Tab. 15.12. C34 (SCLC): Therapiekombinationen (Operation, Strahlentherapie, systemische Therapie) in Abhängigkeit von dem UICC-Stadium

Therapiekombination	UICC				Stadium unbekannt	nicht anwendbar	Summe	
	I	II	III	IV			Anzahl	%
Alleinige tumorspezifische Operation	1	0	0	0	0	0	1	0.2
Alleinige systemische Therapie	3	3	29	153	13	0	201	31.1
Alleinige Strahlentherapie	1	2	2	17	1	0	23	3.6
Tumorspezifische Operation und systemische Therapie	2	0	0	1	0	0	3	0.5
Tumorspezifische Operation und Strahlentherapie	0	0	0	1	0	0	1	0.2
Systemische Therapie und Strahlentherapie	6	7	67	173	7	0	260	40.2
tumorspezifische Operation und systemische Therapie und Strahlentherapie	1	2	5	1	0	0	9	1.4
Keine tumorspezifische Operation, systemische Therapie oder Strahlentherapie	4	0	7	104	34	0	149	23.0
Summe	18	14	110	450	55	0	647	100.0

Tab. 15.13. C34 (SCLC): Stellung der Strahlentherapie zur operativen Therapie im ersten Jahr der Erkrankung (adjuvant/neoadjuvant)

Stellung der Strahlentherapie zur operativen Therapie	2019	2020	2021	Summe	
				Anzahl	%
Neoadjuvante (präoperative) Strahlentherapie	2	0	0	2	20
Therapie ohne Bezug zu einer operativen Therapie	1	1	1	3	30
Adjuvante (postoperative) Strahlentherapie	0	2	3	5	50
Summe	3	3	4	10	100

Tab. 15.14. C34 (SCLC): Stellung der systemischen Therapie zur operativen Therapie im ersten Jahr der Erkrankung (adjuvant/neoadjuvant)

Stellung der systemischen Therapie zur operativen Therapie	2019	2020	2021	Summe	
				Anzahl	%
Therapie ohne Bezug zu einer operativen Therapie	0	2	0	2	16.7
Neoadjuvante (präoperative) Therapie	2	1	1	4	33.3
Adjuvante (postoperative) Therapie	1	1	4	6	50.0
Summe	3	4	5	12	100.0

Tab. 15.15. C34 (SCLC): Intention bei der ersten tumorspezifischen Operation

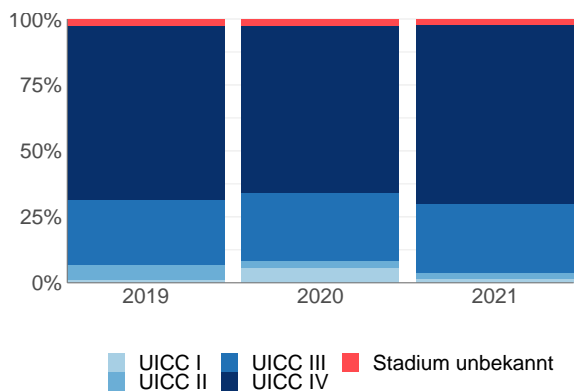
Intention der Operation	2019	2020	2021	Summe	
				Anzahl	%
Kurativ	3	2	6	11	78.6
Palliativ bzw. symptomatisch	0	2	1	3	21.4
Summe	3	4	7	14	100.0

Tab. 15.16. C34 (SCLC): Intention bei der initialen Bestrahlung

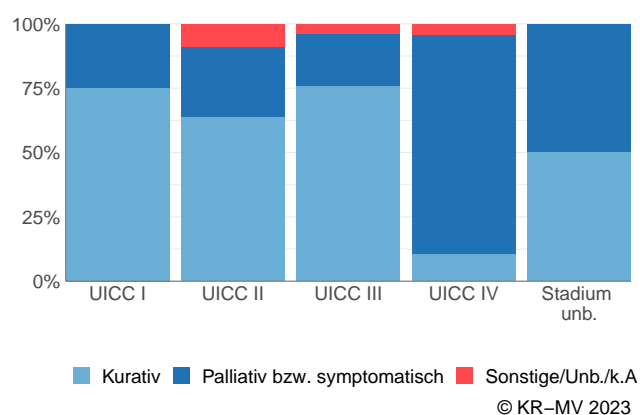
Intention der Bestrahlung	2019	2020	2021	Summe	
				Anzahl	%
Palliativ bzw. symptomatisch	63	73	52	188	64.2
Kurativ	34	33	26	93	31.7
Sonstige/Unbekannt/Keine Angabe	6	3	3	12	4.1
Summe	103	109	81	293	100.0

Tab. 15.17. C34 (SCLC): Intention bei der ersten systemischen Therapie

Intention der systemischen Therapie	2019	2020	2021	Summe	
				Anzahl	%
Kurativ	32	35	35	102	21.6
Palliativ bzw. symptomatisch	141	125	102	368	77.8
Sonstige/Unbekannt/Keine Angabe	1	2	0	3	0.6
Summe	174	162	137	473	100.0



© KR-MV 2023



© KR-MV 2023

Abb. 15.8. C34 (SCLC): Prozentuale Verteilung der UICC-Stadien bei allen in den Jahren 2019 bis 2021 bestrahlten Neuerkrankungen

Abb. 15.9. C34 (SCLC): Intention der ersten Bestrahlung nach UICC-Klassifikation

### 15.7.2 Dokumentierte tumorspezifische Operation bis max. 12 Monate nach Diagnosestellung

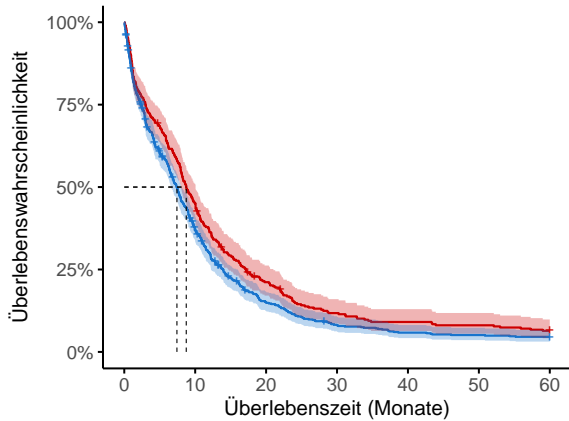
Tab. 15.18. C34 (SCLC): Dokumentierte tumorspezifische Operation nach UICC

Operation	UICC I	UICC II	UICC III	UICC IV	Stadium unbekannt	nicht anwendbar	Summe	
							Anzahl	%
5-324: Einfache Lobektomie und Bilobektomie der Lunge	1	1	3	1	0	0	6	42.9
5-325: Erweiterte Lobektomie und Bilobektomie der Lunge	0	1	2	0	0	0	3	21.4
5-320: Exzision und Destruktion von erkranktem Gewebe eines Bronchus	1	0	0	1	0	0	2	14.3
5-322: Atypische Lungenresektion	1	0	0	1	0	0	2	14.3
5-323: Segmentresektion und Bisegmentresektion der Lunge	1	0	0	0	0	0	1	7.1
Summe	4	2	5	3	0	0	14	100.0

Tab. 15.19. C34 (SCLC): Residualklassifikation nach Tumorresektion bei Neuerkrankungen in den UICC-Stadien I-IV

R-Klassifikation	UICC I	UICC II	UICC III	UICC IV	Stadium unbekannt	nicht anwendbar	Summe	
							Anzahl	%
R0 (kein Residualtumor)	3	2	2	0	0	0	7	50.0
R1 (mikroskopischer Residualtumor)	0	0	2	2	0	0	4	28.6
R2 (makroskopischer Residualtumor)	0	0	1	0	0	0	1	7.1
keine R-Klassifikation zu erwarten	1	0	0	1	0	0	2	14.3
Summe	4	2	5	3	0	0	14	100.0

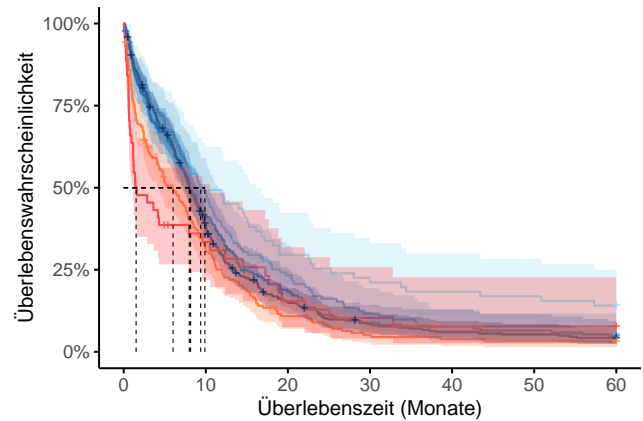
## 15.8 Überlebensanalysen (Kaplan-Meier) bei den in den Jahren 2013-2017 primär diagnostizierten Patienten (Wohnort und Behandlung in M-V)



Anzahl der Neuerkrankungen unter Beobachtung

Frauen	318	143	64	35	27	24	19
Männer	624	219	84	44	32	28	25

© KR-MV 2023



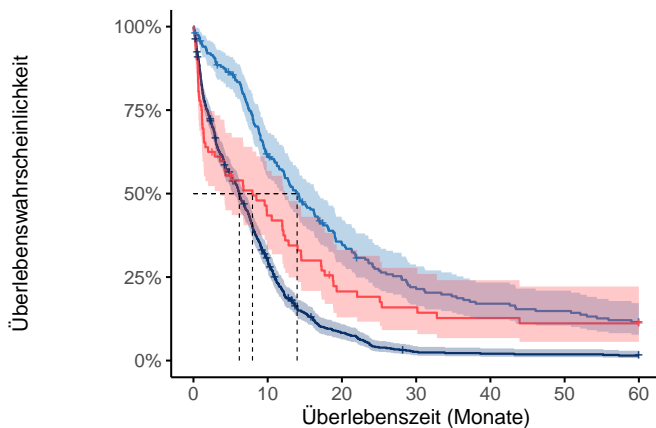
Anzahl der Neuerkrankungen unter Beobachtung

T1	71	35	21	15	13	12	10
T2	118	58	26	13	7	6	6
T3	177	72	31	15	13	11	8
T4	351	128	46	24	17	15	12
TX	170	50	17	8	6	5	5
k.A.	44	13	6	4	3	3	3

© KR-MV 2023

Abb. 15.10. C34 (SCLC): Wahrscheinlichkeit des Überlebens (Kaplan-Meier) nach Geschlecht bei Diagnosestellung in den Jahren 2013-2017.\*

Abb. 15.11. C34 (SCLC): Wahrscheinlichkeit des Überlebens (Kaplan-Meier) nach Tumorgroße bei Diagnosestellung in den Jahren 2013-2017.\*



Anzahl der Neuerkrankungen unter Beobachtung

UICC I	23	18	14	10	5	4	4
UICC II	17	13	9	6	4	4	4
UICC III	201	119	65	39	31	27	21
UICC IV	629	183	47	14	11	10	8
Stadium unbek.	72	29	13	10	8	7	7

© KR-MV 2023

Abb. 15.12. C34 (SCLC): Wahrscheinlichkeit des Überlebens (Kaplan-Meier) nach UICC bei Diagnosestellung in den Jahren 2013-2017.\*

\*Die 50%-Überlebensraten sind dort, wo sie bestimmbar sind, graphisch dargestellt. Zusätzlich erfolgt pro Überlebenskurve die Darstellung des 95%-Konfidenzintervalls. Kaplan-Meier Kurven werden für Kategorien mit weniger als 30 Neuerkrankungen nicht dargestellt.

# 16 Malignes Melanom der Haut C43

## 16.1 Consort-Statement: Darstellung der Auswertepopulation

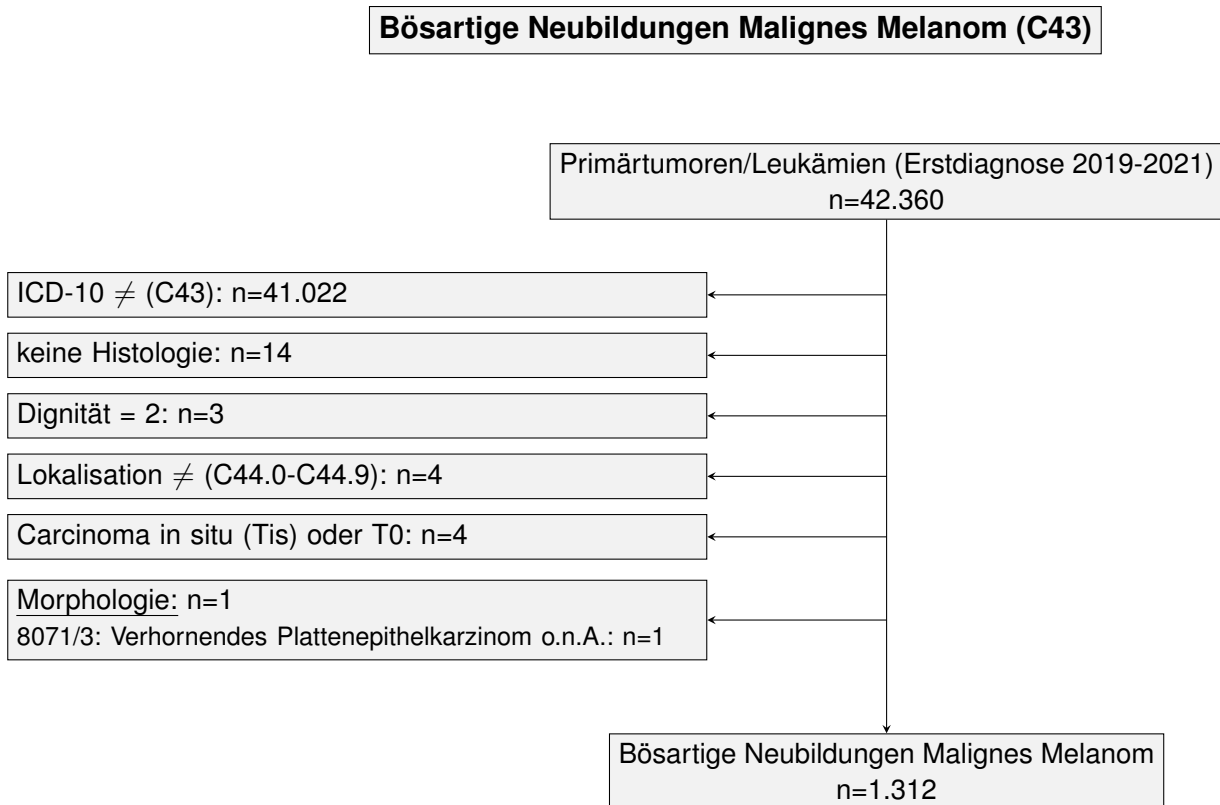
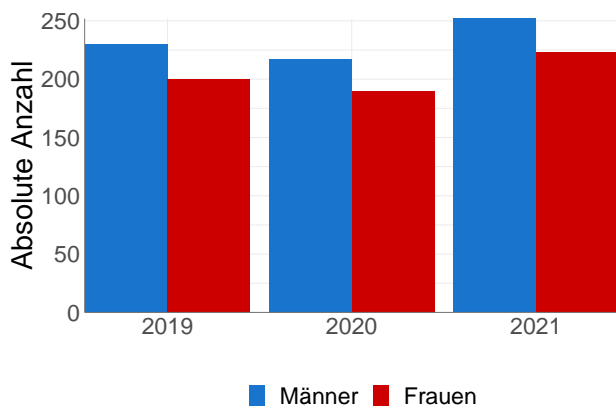


Abb. 16.1. Consort zu der bösartigen Neubildungen Malignes Melanom der Haut

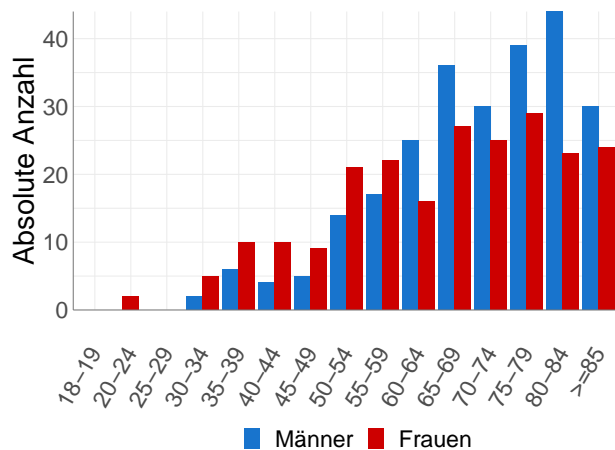
## 16.2 Absolute Anzahl der erfassten Neuerkrankungen in M-V in den Jahren 2019-2021 nach Geschlecht und Alter

Tab. 16.1. C43: Absolute Anzahl der Neuerkrankungen nach Geschlecht

Geschlecht	Männer		Frauen		Summe
	Anzahl	%	Anzahl	%	
2019	230	53.5	200	46.5	430
2020	217	53.3	190	46.7	407
2021	252	53.1	223	46.9	475
Summe	699	53.3	613	46.7	1312



© KR-MV 2023



© KR-MV 2023

Abb. 16.2. C43: Absolute Anzahl der Neuerkrankungen nach Geschlecht

Abb. 16.3. C43: Absolute Anzahl der Neuerkrankungen aufgelistet in 5-Jahres-Altersgruppen und nach Geschlecht für das Diagnosejahr 2021

Tab. 16.2. C43: Erkrankungsalter

Diagnosejahre	Männer				Frauen			
	Anzahl	Median	Minimum	Maximum	Anzahl	Median	Minimum	Maximum
2019	230	69	25	95	200	66	23	94
2020	217	70	29	91	190	67	20	94
2021	252	72	34	95	223	68	20	96

### 16.3 Absolute Anzahl der erfassten Neuerkrankungen in M-V in den Jahren 2019-2021 nach Lokalisation

Tab. 16.3. C43: Absolute Anzahl und prozentualer Anteil der Neuerkrankungen nach der Lokalisation

Lokalisationen	2019	2020	2021	Summe	
				Anzahl	%
Augenlid (Haut) (ICD-O: C44.1)	1	1	1	3	0.2
Unterlid (Haut) (ICD-O: C44.12)	2	0	0	2	0.2
Äußerer Augenwinkel (Haut) (ICD-O: C44.14)	0	1	0	1	0.1
Äußeres Ohr (Haut) (ICD-O: C44.2)	5	7	11	23	1.8
Ohrmuschel (Haut) (ICD-O: C44.21)	4	3	0	7	0.5
Äußerer Gehörgang (Haut) (ICD-O: C44.22)	0	1	0	1	0.1
Andere Teile der Gesichtshaut (ICD-O: C44.3)	6	22	50	78	5.9
Nase (Haut) (ohne Nasenschleimhaut, = C30.0) (ICD-O: C44.31)	5	2	0	7	0.5
Wange (Haut) (ohne Wangenschleimhaut, = C06.0) (ICD-O: C44.32)	15	12	1	28	2.1
Stirn, Augenbrauen (Haut) (ICD-O: C44.33)	4	2	0	6	0.5
Schläfe (Haut) (ICD-O: C44.34)	5	0	0	5	0.4
Kinn (Haut) (ICD-O: C44.35)	2	1	0	3	0.2
Kieferwinkel (Haut) (ICD-O: C44.36)	1	2	0	3	0.2
Haut von behaartem Kopf und Hals (einschl. supraclaviculärer Region) (ICD-O: C44.4)	4	8	24	36	2.7
Behaarter Kopf (Haut) (ICD-O: C44.41)	10	4	0	14	1.1
Nacken (Haut) (ICD-O: C44.42)	2	1	0	3	0.2
Hals (Haut) (ICD-O: C44.43)	6	3	0	9	0.7
Haut des Stammes (ICD-O: C44.5)	19	54	156	229	17.4
Vordere und seitliche Brustwand (Haut) (ICD-O: C44.51)	21	9	0	30	2.3

Bauchhaut (einschl. Haut des Nabels) (ICD-O: C44.52)	32	7	0	39	3.0
Rückenhaut (ICD-O: C44.53)	90	54	8	152	11.6
Gesäßhaut (ICD-O: C44.54)	5	2	0	7	0.5
Leistenbeuge (Haut) (ICD-O: C44.56)	1	1	0	2	0.2
Haut von Arm und Schulter (ICD-O: C44.6)	4	47	132	183	13.9
Schulter (Haut) (ICD-O: C44.61)	44	21	0	65	5.0
Axilla (Haut) (ICD-O: C44.62)	3	0	0	3	0.2
Oberarm (Haut) (ICD-O: C44.63)	46	27	1	74	5.6
Ellenbogen, Ellenbeuge (Haut) (ICD-O: C44.64)	4	0	0	4	0.3
Unterarm (ICD-O: C44.65)	18	12	0	30	2.3
Handrücken (ICD-O: C44.66)	2	1	0	3	0.2
Finger (Haut) (ICD-O: C44.68)	0	1	0	1	0.1
Haut von Bein und Hüfte (ICD-O: C44.7)	5	44	82	131	10.0
Oberschenkel (Haut) (ICD-O: C44.72)	18	16	0	34	2.6
Knie, Kniekehle (Haut) (ICD-O: C44.73)	6	5	0	11	0.8
Unterschenkel (Haut) (ICD-O: C44.74)	26	24	0	50	3.8
Fußrücken (Haut) (ICD-O: C44.75)	2	2	0	4	0.3
Fußsohle (Haut) (ICD-O: C44.76)	4	2	0	6	0.5
Ferse (Haut) (ICD-O: C44.77)	3	2	0	5	0.4
Zehen (Haut) (ICD-O: C44.78)	4	0	0	4	0.3
Haut (mehrere Regionen überlappend) (ICD-O: C44.8)	0	1	2	3	0.2
Haut o.n.A. (Exkl.: Haut an Penis (C60.9), gr. Schamlippen (C51.0), Vulva (C51.9) u. Skrotum (C63.2)) (ICD-O: C44.9)	1	5	8	14	1.1
<b>Summe</b>	<b>430</b>	<b>407</b>	<b>476</b>	<b>1313</b>	<b>100.0</b>

## 16.4 Histologische Befunde bei allen neuerkrankten Patienten in M-V in den Jahren 2019-2021

Tab. 16.4. C43: Histologische Befunde bei neuerkrankten Patienten

	2019		2020		2021	
	Anzahl	%	Anzahl	%	Anzahl	%
8720/3: Malignes Melanom o.n.A. (Exkl.: Juveniles Melanom (8770/0))	75	17.4	89	21.9	91	19.2
8721/3: Noduläres malignes Melanom (NM)	70	16.3	66	16.2	92	19.4
8730/3: Amelanotisches malignes Melanom	2	0.5	6	1.5	0	0.0
8742/3: Lentigo-maligna-Melanom	34	7.9	33	8.1	31	6.5
8743/3: Melanom nach geringem kumulativem Sonnenschaden	236	54.9	204	50.1	249	52.4
8744/3: Akrales Melanom	9	2.1	5	1.2	9	1.9
8745/3: Desmoplastisches Melanom o.n.A.	4	0.9	1	0.2	1	0.2
8770/3: Maligner Spitz-Tumor	0	0.0	3	0.7	1	0.2
8780/3: Maligner blauer Nävus	0	0.0	0	0.0	1	0.2
<b>alle kutanen malignen Melanome</b>	<b>430</b>	<b>100.0</b>	<b>407</b>	<b>100.0</b>	<b>475</b>	<b>100.0</b>

## 16.5 Tumorgröße und Ausdehnung (TNM)

Tab. 16.5. C43: Absolute Anzahl der Neuerkrankungen klassifiziert nach der Tumorgröße

Tumorgröße (T)	2019		2020		2021		Summe	
	Anzahl	%	Anzahl	%	Anzahl	%	Anzahl	%
T1	230	53.5	203	49.9	267	56.2	700	53.4
T2	76	17.7	63	15.5	83	17.5	222	16.9
T3	58	13.5	60	14.7	44	9.3	162	12.3
T4	49	11.4	57	14.0	67	14.1	173	13.2
TX	6	1.4	11	2.7	3	0.6	20	1.5
k.A.	11	2.6	12	2.9	9	1.9	32	2.4
TNM nicht anwendbar	0	0.0	1	0.2	2	0.4	3	0.2
Summe	430	100.0	407	100.0	475	100.0	1312	100.0

Tab. 16.6. C43: Absolute Anzahl der Neuerkrankungen mit bzw. ohne Befall der regionären Lymphknoten

N-Kategorie	2019		2020		2021		Summe	
	Anzahl	%	Anzahl	%	Anzahl	%	Anzahl	%
N0	378	87.9	319	78.4	381	80.2	1078	82.2
N1	14	3.3	35	8.6	25	5.3	74	5.6
N2	8	1.9	4	1.0	4	0.8	16	1.2
N3	8	1.9	1	0.2	4	0.8	13	1.0
NX	7	1.6	18	4.4	26	5.5	51	3.9
k.A.	15	3.5	29	7.1	33	6.9	77	5.9
TNM nicht anwendbar	0	0.0	1	0.2	2	0.4	3	0.2
Summe	430	100.0	407	100.0	475	100.0	1312	100.0

Tab. 16.7. C43: Absolute Anzahl der Neuerkrankungen mit Fernmetastasierung

M-Kategorie	2019		2020		2021		Summe	
	Anzahl	%	Anzahl	%	Anzahl	%	Anzahl	%
M0	400	93.0	352	86.5	401	84.4	1153	87.9
M1	10	2.3	10	2.5	16	3.4	36	2.7
MX/k.A.	20	4.7	44	10.8	56	11.8	120	9.1
TNM nicht anwendbar	0	0.0	1	0.2	2	0.4	3	0.2
Summe	430	100.0	407	100.0	475	100.0	1312	100.0

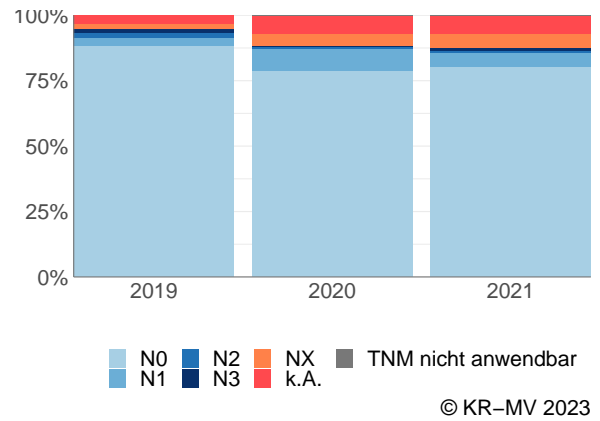
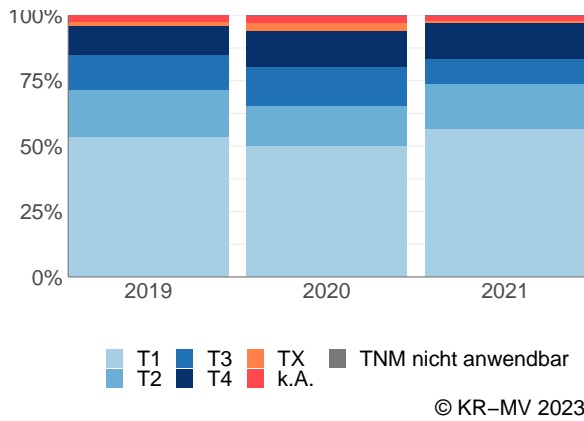


Abb. 16.4. C43: Prozentualer Anteil der Neuerkrankungen nach TumorgroÙe im Diagnosezeitraum 2019 bis 2021

Abb. 16.5. C43: Prozentualer Anteil der Neuerkrankungen mit bzw. ohne Befall der regionären Lymphknoten im Diagnosezeitraum 2019 bis 2021

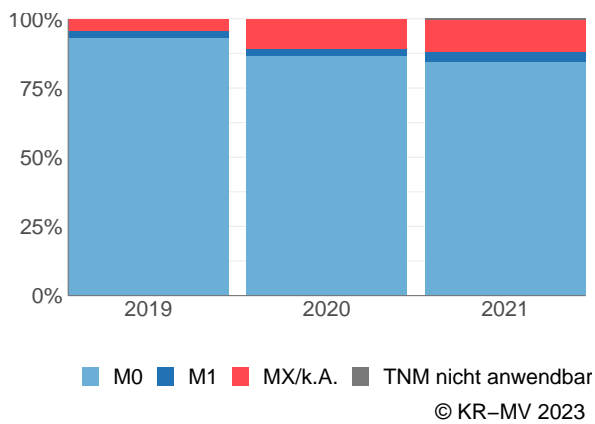


Abb. 16.6. C43: Prozentualer Anteil der Neuerkrankungen mit bzw. ohne primäre Fernmetastasierung im Diagnosezeitraum 2019 bis 2021

## 16.6 Primäre Tumorstadien nach UICC

Tab. 16.8. C43: Primäre UICC-Stadien

Diagnose- jahre	UICC I		UICC II		UICC III		UICC IV		Stadium unbekannt		nicht anwendbar*		Summe
	Anzahl	%	Anzahl	%	Anzahl	%	Anzahl	%	Anzahl	%	Anzahl	%	
2019	284	66.0	87	20.2	23	5.3	10	2.3	26	6.0	0	0.0	430
2020	220	54.1	94	23.1	34	8.4	11	2.7	47	11.5	1	0.2	407
2021	291	61.3	78	16.4	26	5.5	16	3.4	62	13.1	2	0.4	475
Summe	795	60.6	259	19.7	83	6.3	37	2.8	135	10.3	3	0.2	1312

\* Für diese Neuerkrankungen war es nicht möglich eine TNM-Angabe (TNM Auflage 8) anzugeben.

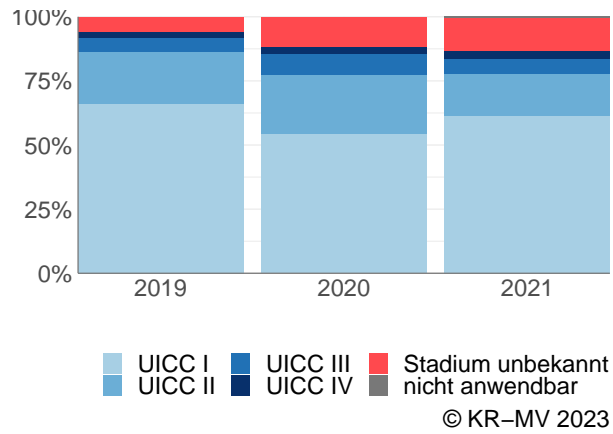
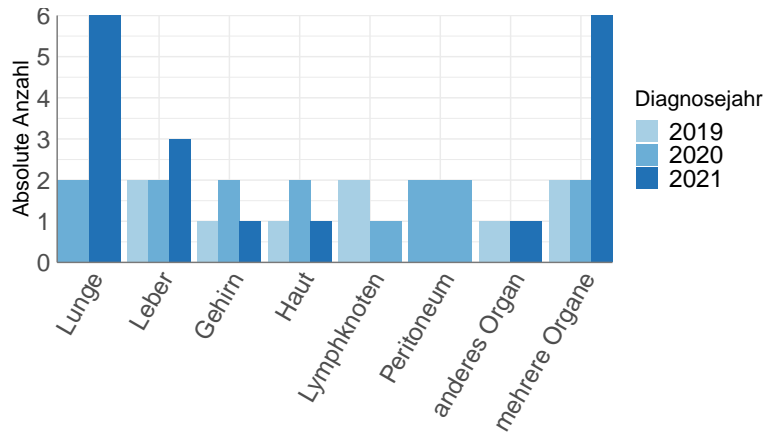


Abb. 16.7. C43: Prozentuale Anteile der primären UICC-Tumorstadien in den Diagnosejahren 2019 bis 2021

## 16.7 Lokalisation der primären Fernmetastasen



© KR-MV 2023

Abb. 16.8. C43: Lokalisation der primären Fernmetastasen bei Neuerkrankungen im Diagnosezeitraum 2019 bis 2021

## 16.8 Dokumentierte Therapie bis max. 12 Monate nach Diagnosestellung

### 16.8.1 Therapiekombinationen, Stellung der Therapie und Intention der dokumentierten Therapien

Tab. 16.9. C43: Häufigkeit der tumorbezogenen Therapien

Tumorbezogene Therapien	2019	2020	2021	Summe	
				Anzahl	%
Tumorspezifische Operation	381	366	384	1131	77.8
Systemische Therapie	35	44	44	123	8.5
Strahlentherapie	17	13	8	38	2.6
Keine Therapie gemeldet	43	35	83	161	11.1
Summe	476	458	519	1453	100.0

Tab. 16.10. C43: Zeitraum zwischen Diagnose und Beginn der ersten Therapie nach Therapieart (Angabe in Tagen)

Tumorbezogene Therapien	Median	Minimum	Maximum
Strahlentherapie	109.0	31	365
Systemische Therapie	82.5	8	364
Tumorspezifische Operation	0.0	0	365

Tab. 16.11. C43: Therapiekombinationen (Operation, Strahlentherapie, systemische Therapie) pro Diagnosejahr

Therapiekombination	2019	2020	2021	Summe	
				Anzahl	%
Alleinige tumorspezifische Operation	349	325	346	1020	77.7
Alleinige systemische Therapie	4	3	8	15	1.1
Alleinige Strahlentherapie	0	1	0	1	0.1
Tumorspezifische Operation und systemische Therapie	17	31	30	78	5.9
Tumorspezifische Operation und Strahlentherapie	3	2	2	7	0.5
Systemische Therapie und Strahlentherapie	2	2	0	4	0.3
Tumorspezifische Operation und systemische Therapie und Strahlentherapie	12	8	6	26	2.0
Keine tumorspezifische Operation, systemische Therapie oder Strahlentherapie	43	35	83	161	12.3
Summe	430	407	475	1312	100.0

Tab. 16.12. C43: Therapiekombinationen (Operation, Strahlentherapie, systemische Therapie) in Abhängigkeit von dem UICC-Stadium

Therapiekombination	UICC				Stadium unbekannt	nicht anwendbar	Summe	
	I	II	III	IV			Anzahl	%
Alleinige tumorspezifische Operation	700	198	20	7	92	3	1020	77.7
Alleinige systemische Therapie	0	5	1	4	5	0	15	1.1
Alleinige Strahlentherapie	0	1	0	0	0	0	1	0.1
Tumorspezifische Operation und systemische Therapie	4	20	39	12	3	0	78	5.9
Tumorspezifische Operation und Strahlentherapie	1	2	2	1	1	0	7	0.5
Systemische Therapie und Strahlentherapie	0	0	1	3	0	0	4	0.3
Tumorspezifische Operation und systemische Therapie und Strahlentherapie	2	6	13	3	2	0	26	2.0
Keine tumorspezifische Operation, systemische Therapie oder Strahlentherapie	88	27	7	7	32	0	161	12.3
Summe	795	259	83	37	135	3	1312	100.0

Tab. 16.13. C43: Stellung der Strahlentherapie zur operativen Therapie im ersten Jahr der Erkrankung (adjuvant/neoadjuvant)

Stellung der Strahlentherapie zur operativen Therapie	2019	2020	2021	Summe	
				Anzahl	%
Adjuvante (postoperative) Strahlentherapie	12	9	3	24	72.7
Neoadjuvante (präoperative) Strahlentherapie	1	0	0	1	3.0
Therapie ohne Bezug zu einer operativen Therapie	2	1	5	8	24.2
Summe	15	10	8	33	100.0

Tab. 16.14. C43: Stellung der systemischen Therapie zur operativen Therapie im ersten Jahr der Erkrankung (adjuvant/neoadjuvant)

Stellung der systemischen Therapie zur operativen Therapie	2019	2020	2021	Summe	
				Anzahl	%
Therapie ohne Bezug zu einer operativen Therapie	2	5	9	16	15.4
Adjuvante (postoperative) Therapie	26	34	26	86	82.7
Neoadjuvante (präoperative) Therapie	1	0	1	2	1.9
Summe	29	39	36	104	100.0

Tab. 16.15. C43: Intention bei der ersten Operation

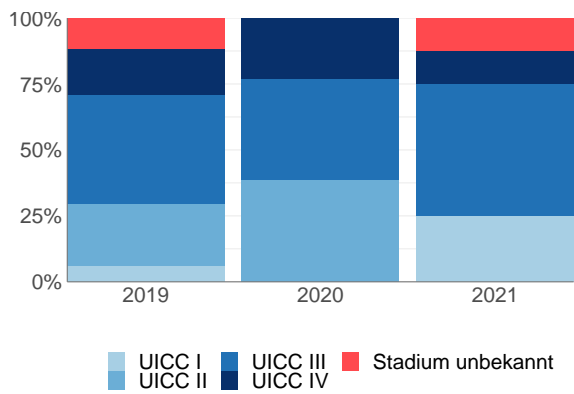
Intention der Operation	2019	2020	2021	Summe	
				Anzahl	%
Kurativ	377	365	381	1123	99.3
Diagnostisch	1	0	0	1	0.1
Palliativ bzw. symptomatisch	2	1	3	6	0.5
Sonstige/Unbekannt/Keine Angabe	1	0	0	1	0.1
Summe	381	366	384	1131	100.0

Tab. 16.16. C43: Intention bei der initialen Bestrahlung

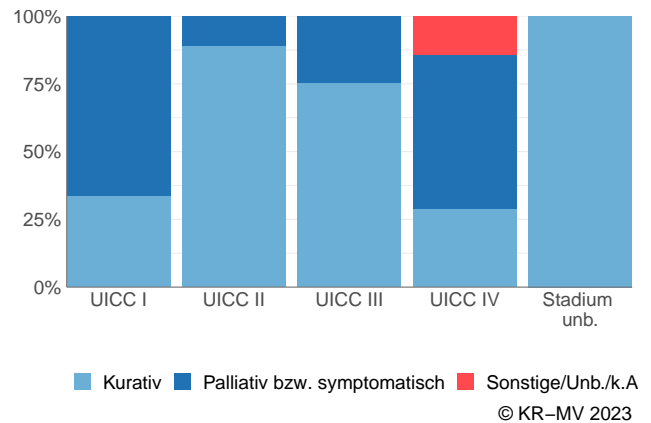
Intention der Bestrahlung	2019	2020	2021	Summe	
				Anzahl	%
Palliativ bzw. symptomatisch	6	3	2	11	28.9
Kurativ	11	10	5	26	68.4
Sonstige/Unbekannt/Keine Angabe	0	0	1	1	2.6
Summe	17	13	8	38	100.0

Tab. 16.17. C43: Intention bei der ersten systemischen Therapie

Intention der systemischen Therapie	2019	2020	2021	Summe	
				Anzahl	%
Palliativ bzw. symptomatisch	5	12	18	35	28.5
Kurativ	29	32	26	87	70.7
Sonstige/Unbekannt/Keine Angabe	1	0	0	1	0.8
Summe	35	44	44	123	100.0



© KR-MV 2023



© KR-MV 2023

Abb. 16.9. C43: Prozentuale Verteilung der UICC-Stadien bei allen in den Jahren 2019 bis 2021 bestrahlten Neuerkrankungen

Abb. 16.10. C43: Intention der ersten Bestrahlung nach UICC-Klassifikation

### 16.8.2 Dokumentierte tumorspezifische Operation bis max. 12 Monate nach Diagnosestellung

Tab. 16.18. C43: Dokumentierte tumorspezifische Operation nach UICC

Operation	UICC I	UICC II	UICC III	UICC IV	Stadium unbekannt	nicht anwendbar	Summe	
							Anzahl	%
5-895: Radikale und ausgedehnte Exzision von erkranktem Gewebe an Haut und Unterhaut	660	207	71	21	93	1	1053	93.1
5-894: Lokale Exzision von erkranktem Gewebe an Haut und Unterhaut	45	16	3	1	4	0	69	6.1
5-181: Exzision und Destruktion von erkranktem Gewebe des äußeren Ohres	1	2	0	0	0	2	5	0.4
5-091: Exzision und Destruktion von (erkranktem) Gewebe des Augenlides	1	0	0	0	0	0	1	0.1
5-490: Inzision und Exzision von Gewebe der Perianalregion	0	0	0	0	1	0	1	0.1
5-898: Operationen am Nagelorgan	0	1	0	0	0	0	1	0.1
5-913: Entfernung oberflächlicher Hautschichten	0	0	0	1	0	0	1	0.1
Summe	707	226	74	23	98	3	1131	100.0

Tab. 16.19. C43: Residualklassifikation nach Tumorresektion bei Neuerkrankungen in den UICC-Stadien I-IV

R-Klassifikation	UICC I	UICC II	UICC III	UICC IV	Stadium unbekannt	nicht anwendbar	Summe	
							Anzahl	%
R0 (kein Residualtumor)	532	146	44	16	52	2	792	70.0
R1 (mikroskopischer Residualtumor)	95	55	18	3	26	1	198	17.5
R2 (makroskopischer Residualtumor)	0	1	2	1	1	0	5	0.4
RX (Vorhandensein eines Residualtumors kann nicht beurteilt werden)	67	21	9	3	12	0	112	9.9
keine Angabe	13	3	1	0	7	0	24	2.1
Summe	707	226	74	23	98	3	1131	100.0

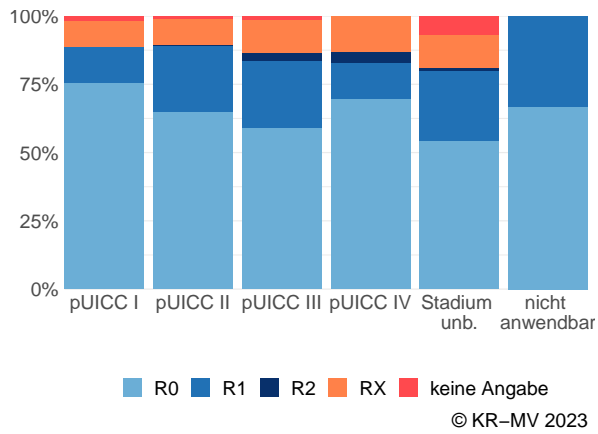


Abb. 16.11. C43: R-Klassifikation nach tumorspezifischer Resektion bei Neuerkrankungen in pUICC Stadien I-IV

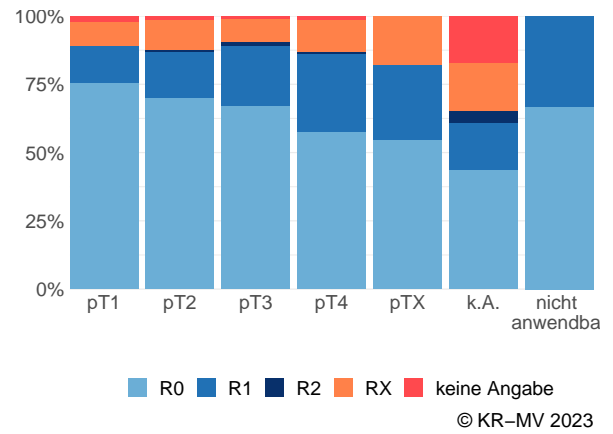


Abb. 16.12. C43: R-Klassifikation nach tumorspezifischer Resektion bei Neuerkrankungen mit Tumoren unterschiedlicher pT-Kategorie

## 16.9 Überlebensanalysen (Kaplan-Meier) bei den in den Jahren 2013-2017 primär diagnostizierten Patienten (Wohnort und Behandlung in M-V)

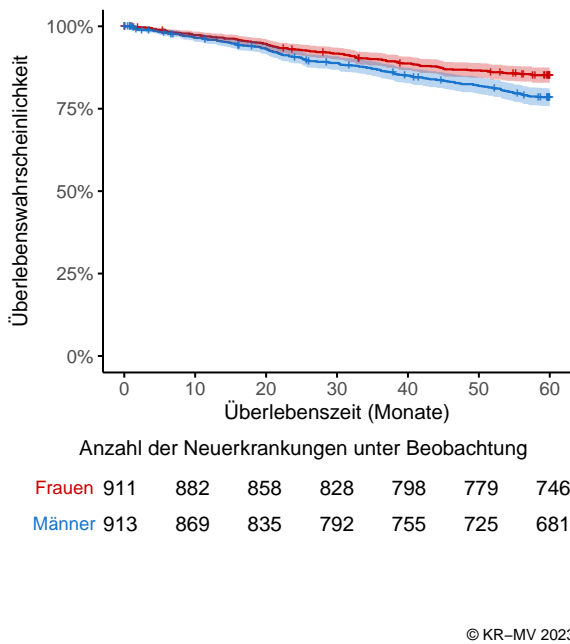


Abb. 16.13. C43: Wahrscheinlichkeit des Überlebens (Kaplan-Meier) nach Geschlecht bei Diagnosestellung in den Jahren 2013-2017.\*

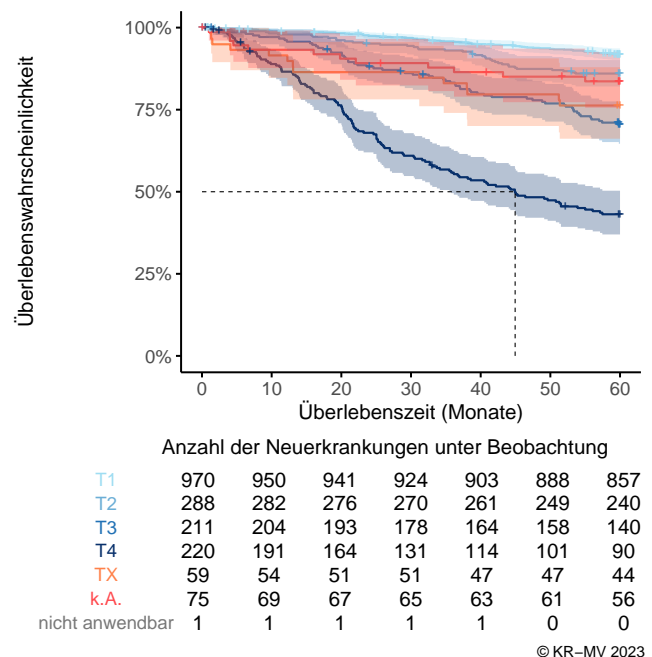
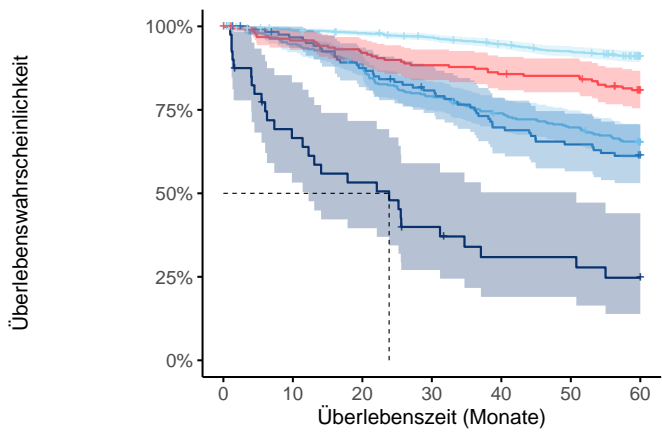


Abb. 16.14. C43: Wahrscheinlichkeit des Überlebens (Kaplan-Meier) nach Tumorgroße bei Diagnosestellung in den Jahren 2013-2017.\*



	Anzahl der Neuerkrankungen unter Beobachtung						
UICC I	1133	1111	1097	1079	1053	1027	992
UICC II	336	317	296	264	245	231	211
UICC III	123	116	105	95	82	76	71
UICC IV	40	25	20	14	10	10	8
Stadium unbekannt	191	181	174	167	162	160	145
nicht anwendbar	1	1	1	1	1	0	0

© KR-MV 2023

Abb. 16.15. C43: Wahrscheinlichkeit des Überlebens (Kaplan-Meier) nach UICC bei Diagnosestellung in den Jahren 2013-2017.\*

\*Die 50%-Überlebensraten sind dort, wo sie bestimmbar sind, graphisch dargestellt. Zusätzlich erfolgt pro Überlebenskurve die Darstellung des 95%-Konfidenzintervalls. Kaplan-Meier Kurven werden für Kategorien mit weniger als 30 Neuerkrankungen nicht dargestellt.

# 17 Brustdrüse C50

## 17.1 Consort-Statement: Darstellung der Auswertepopulation

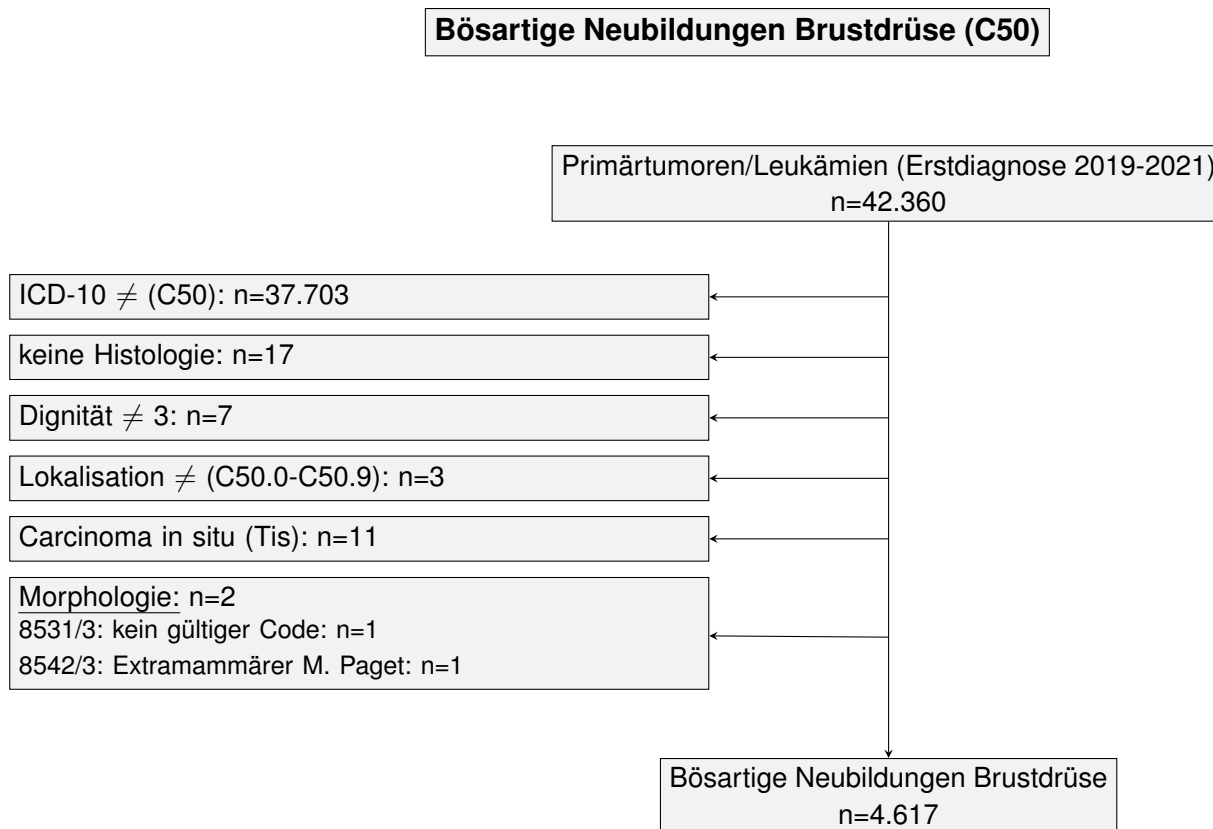


Abb. 17.1. Consort zu den bösartigen Neubildungen der Brustdrüse

## 17.2 Absolute Anzahl der erfassten Neuerkrankungen in M-V in den Jahren 2019-2021 nach Geschlecht und Alter

Tab. 17.1. C50: Absolute Anzahl der Neuerkrankungen nach Geschlecht

Geschlecht	Frauen		Männer		Summe
	Anzahl	%	Anzahl	%	
2019	1536	98.8	19	1.2	1555
2020	1457	98.6	21	1.4	1478
2021	1573	99.3	11	0.7	1584
Summe	4566	98.9	51	1.1	4617

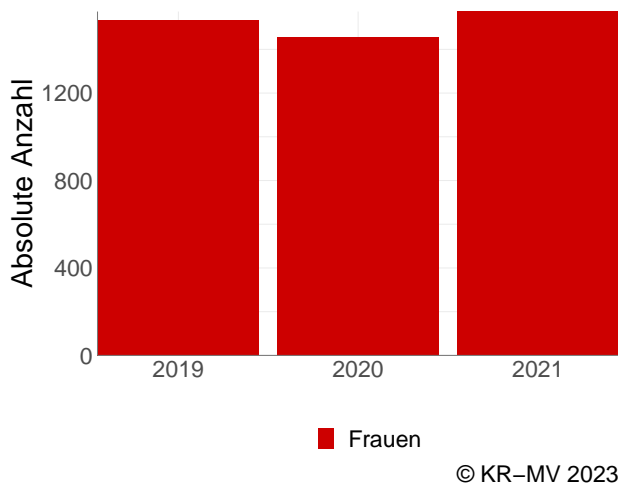


Abb. 17.2. C50: Absolute Anzahl der Neuerkrankungen bei Frauen

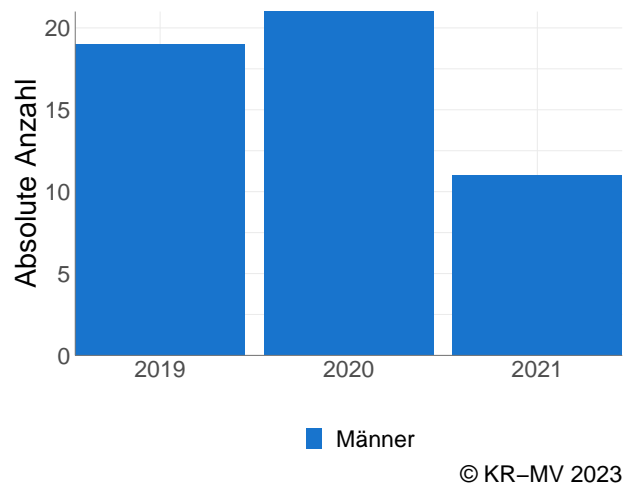


Abb. 17.3. C50: Absolute Anzahl der Neuerkrankungen bei Männern

Tab. 17.2. C50: Erkrankungsalter

Diagnosejahre	Frauen				Männer			
	Anzahl	Median	Minimum	Maximum	Anzahl	Median	Minimum	Maximum
2019	1536	64	22	101	19	66	45	92
2020	1457	64	21	101	21	66	35	81
2021	1573	64	28	98	11	62	48	85

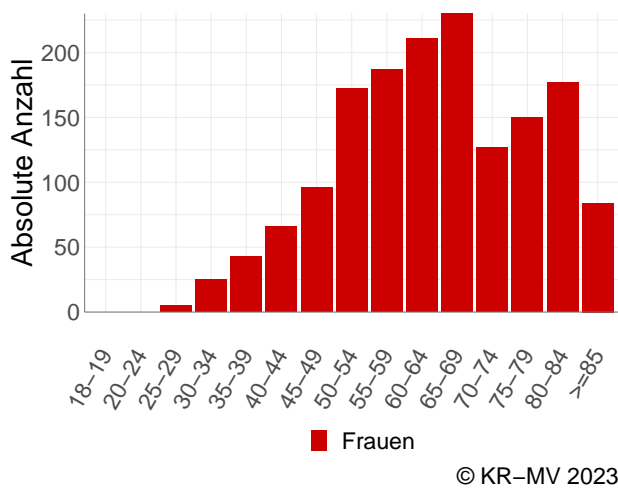


Abb. 17.4. C50: Absolute Anzahl der Neuerkrankungen (Frauen) aufgelistet in 5-Jahres-Altersgruppen für das Diagnosejahr 2021

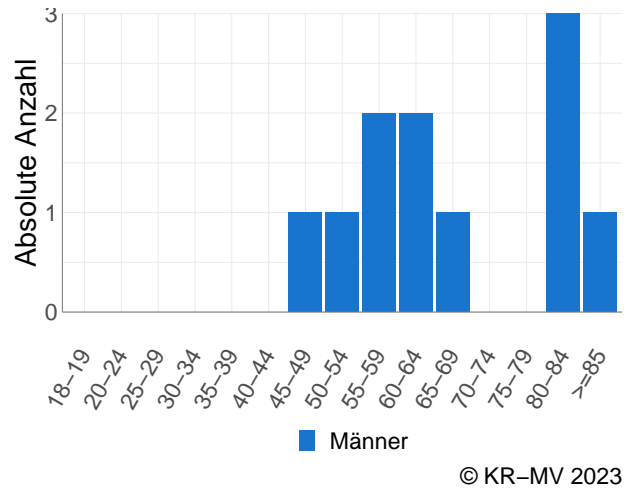


Abb. 17.5. C50: Absolute Anzahl der Neuerkrankungen (Männer) aufgelistet in 5-Jahres-Altersgruppen für das Diagnosejahr 2021

## 17.3 Brustdrüse C50 - Frauen

### 17.3.1 Absolute Anzahl der erfassten Neuerkrankungen in M-V in den Jahren 2019-2021 nach Lokalisation

Tab. 17.3. C50 (Frauen): Absolute Anzahl und prozentualer Anteil der Neuerkrankungen nach der Lokalisation

Lokalisationen	2019	2020	2021	Summe	
				Anzahl	%
Mamille (ICD-O: C50.0)	18	7	9	34	0.7
Zentraler Drüsenkörper (ICD-O: C50.1)	62	85	91	238	5.2
Oberer innerer Quadrant (ICD-O: C50.2)	194	207	205	606	13.3
Unterer innerer Quadrant (ICD-O: C50.3)	118	94	91	303	6.6
Oberer äußerer Quadrant (ICD-O: C50.4)	546	559	617	1722	37.7
Unterer äußerer Quadrant (ICD-O: C50.5)	132	135	126	393	8.6
Axilläre Ausläufer (ICD-O: C50.6)	3	2	4	9	0.2
Brust (mehrere Teilregionen überlappend) (ICD-O: C50.8)	314	280	347	941	20.6
Brust o.n.A. (ICD-O: C50.9)	149	89	83	321	7.0
Summe	1536	1458	1573	4567	100.0

### 17.3.2 Histologische Befunde bei allen neuerkrankten Patienten in M-V in den Jahren 2019-2021

Tab. 17.4. C50 (Frauen): Histologische Befunde bei neuerkrankten Patienten

	2019		2020		2021	
	Anzahl	%	Anzahl	%	Anzahl	%
8140/3: Adenokarzinom o.n.A.	1	0.1	6	0.4	4	0.3
8190/3: Trabekuläres Adenokarzinom	0	0.0	1	0.1	0	0.0
8200/3: Adenoid-zystisches Karzinom	1	0.1	1	0.1	3	0.2
8201/3: Kribriiformes Karzinom o.n.A.	2	0.1	3	0.2	0	0.0
8211/3: Tubuläres Adenokarzinom	8	0.5	14	1.0	14	0.9
8230/3: Solides Karzinom o.n.A.	2	0.1	4	0.3	4	0.3
8314/3: Lipidreiches Karzinom	1	0.1	0	0.0	0	0.0
8401/3: Apokrines Adenokarzinom	0	0.0	4	0.3	11	0.7
8480/3: Muzinöses Adenokarzinom	28	1.8	18	1.2	28	1.8
8490/3: Siegelringzellkarzinom	0	0.0	1	0.1	0	0.0
8500/3: Invasives duktales Karzinom o.n.A.	1201	78.2	1144	78.5	1234	78.4
8502/3: Sekretorisches Mammakarzinom	1	0.1	0	0.0	1	0.1
8503/3: Intraduktales papilläres Adenokarzinom mit Invasion	2	0.1	1	0.1	1	0.1
8504/3: Abgekapseltes papilläres Karzinom mit Invasion	4	0.3	1	0.1	1	0.1
8507/3: Invasives mikropapilläres Mammakarzinom	10	0.7	11	0.8	8	0.5
8509/3: Solides papilläres Karzinom mit Invasion	6	0.4	7	0.5	3	0.2
8510/3: Medulläres Karzinom o.n.A.	5	0.3	1	0.1	1	0.1
8520/3: Lobuläres Karzinom o.n.A.	184	12.0	163	11.2	191	12.1
8521/3: Invasives duktales Karzinom	1	0.1	1	0.1	2	0.1
8522/3: Invasives duktales und lobuläres Karzinom	34	2.2	28	1.9	20	1.3
8523/3: Invasives duktales Karzinom gemischt mit anderen Karzinom-Typen	0	0.0	1	0.1	1	0.1
8524/3: Invasives lobuläres Karzinom gemischt mit anderen Karzinom-Typen	1	0.1	0	0.0	2	0.1
8530/3: Inflammatorisches Karzinom	2	0.1	2	0.1	3	0.2
8540/3: M. Paget der Brust	3	0.2	2	0.1	0	0.0
8550/3: Azinuszellkarzinom	0	0.0	0	0.0	1	0.1
8570/3: Adenokarzinom mit Plattenepithelmetaplasie	0	0.0	1	0.1	0	0.0
8572/3: Adenokarzinom mit Spindelzellmetaplasie	1	0.1	0	0.0	1	0.1
8573/3: Adenokarzinom mit apokriner Metaplasie	1	0.1	0	0.0	2	0.1
8574/3: Adenokarzinom mit neuroendokriner Differenzierung	3	0.2	0	0.0	0	0.0

8575/3: Metaplastisches Karzinom o.n.A.	8	0.5	14	1.0	8	0.5
<b>Adenokarzinome</b>	<b>1510</b>	<b>98.3</b>	<b>1429</b>	<b>98.1</b>	<b>1544</b>	<b>98.2</b>
8010/3: Karzinom o.n.A.	5	0.3	11	0.8	15	1.0
8022/3: Pleomorphes Karzinom	2	0.1	0	0.0	0	0.0
8032/3: Spindelzellkarzinom o.n.A.	2	0.1	0	0.0	0	0.0
<b>Epitheliale Neoplasien o.n.A.</b>	<b>9</b>	<b>0.6</b>	<b>11</b>	<b>0.8</b>	<b>15</b>	<b>1.0</b>
8000/3: Maligne Neoplasie	5	0.3	4	0.3	6	0.4
8004/3: Spindelzelliger maligner Tumor	0	0.0	1	0.1	0	0.0
<b>Nicht näher bezeichnete maligne Neoplasien</b>	<b>5</b>	<b>0.3</b>	<b>5</b>	<b>0.3</b>	<b>6</b>	<b>0.4</b>
8240/3: Neuroendokriner Tumor o.n.A.	0	0.0	1	0.1	2	0.1
8243/3: Becherzellkarzinoid	1	0.1	0	0.0	0	0.0
8246/3: Neuroendokrines Karzinom o.n.A.	1	0.1	2	0.1	1	0.1
8249/3: Neuroendokriner Tumor, Grad 2	1	0.1	4	0.3	0	0.0
<b>Karzinoid</b>	<b>3</b>	<b>0.2</b>	<b>7</b>	<b>0.5</b>	<b>3</b>	<b>0.2</b>
9020/3: Maligner Phylloides-Tumor	1	0.1	3	0.2	0	0.0
9120/3: Hämangiosarkom	3	0.2	0	0.0	3	0.2
<b>Sarkome</b>	<b>4</b>	<b>0.3</b>	<b>3</b>	<b>0.2</b>	<b>3</b>	<b>0.2</b>
8050/3: Papilläres Karzinom o.n.A.	0	0.0	1	0.1	1	0.1
8070/3: Plattenepithelkarzinom o.n.A.	3	0.2	0	0.0	0	0.0
8071/3: Verhornendes Plattenepithelkarzinom o.n.A.	1	0.1	0	0.0	0	0.0
8090/3: Basalzellkarzinom o.n.A.	1	0.1	1	0.1	0	0.0
8097/3: Noduläres Basalzellkarzinom	0	0.0	0	0.0	1	0.1
<b>Plattenepithelkarzinome</b>	<b>5</b>	<b>0.3</b>	<b>2</b>	<b>0.1</b>	<b>2</b>	<b>0.1</b>
<b>Summe</b>	<b>1536</b>	<b>100.0</b>	<b>1457</b>	<b>100.0</b>	<b>1573</b>	<b>100.0</b>

### 17.3.3 Tumorgröße und Ausdehnung (TNM)

Tab. 17.5. C50 (Frauen): Absolute Anzahl der Neuerkrankungen klassifiziert nach der Tumorgröße

Tumorgröße (T)	2019		2020		2021		Summe	
	Anzahl	%	Anzahl	%	Anzahl	%	Anzahl	%
T1	734	47.8	688	47.2	769	48.9	2191	48.0
T2	577	37.6	544	37.3	573	36.4	1694	37.1
T3	95	6.2	77	5.3	78	5.0	250	5.5
T4	75	4.9	87	6.0	78	5.0	240	5.3
TX	12	0.8	14	1.0	24	1.5	50	1.1
k.A.	32	2.1	38	2.6	40	2.5	110	2.4
TNM nicht anwendbar	11	0.7	9	0.6	11	0.7	31	0.7
Summe	1536	100.0	1457	100.0	1573	100.0	4566	100.0

Tab. 17.6. C50 (Frauen): Absolute Anzahl der Neuerkrankungen mit bzw. ohne Befall der regionären Lymphknoten

N-Kategorie	2019		2020		2021		Summe	
	Anzahl	%	Anzahl	%	Anzahl	%	Anzahl	%
N0	959	62.4	917	62.9	1039	66.1	2915	63.8
N1	381	24.8	372	25.5	361	22.9	1114	24.4
N2	86	5.6	61	4.2	59	3.8	206	4.5
N3	35	2.3	29	2.0	32	2.0	96	2.1
NX	26	1.7	21	1.4	20	1.3	67	1.5
k.A.	38	2.5	48	3.3	51	3.2	137	3.0
TNM nicht anwendbar	11	0.7	9	0.6	11	0.7	31	0.7
Summe	1536	100.0	1457	100.0	1573	100.0	4566	100.0

Tab. 17.7. C50 (Frauen): Absolute Anzahl der Neuerkrankungen mit Fernmetastasierung

M-Kategorie	2019		2020		2021		Summe	
	Anzahl	%	Anzahl	%	Anzahl	%	Anzahl	%
M0	1330	86.6	1253	86.0	1326	84.3	3909	85.6
M1	130	8.5	122	8.4	148	9.4	400	8.8
MX/k.A.	65	4.2	73	5.0	88	5.6	226	4.9
TNM nicht anwendbar	11	0.7	9	0.6	11	0.7	31	0.7
Summe	1536	100.0	1457	100.0	1573	100.0	4566	100.0

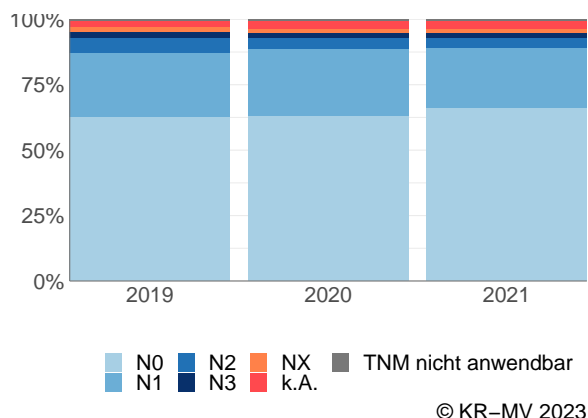
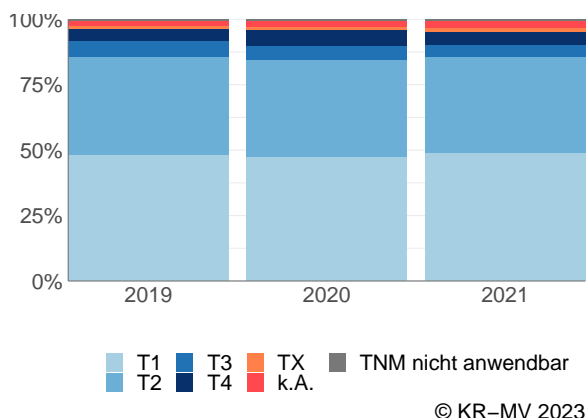


Abb. 17.6. C50 (Frauen): Prozentualer Anteil der Neuerkrankungen (Frauen) nach Tumorgröße im Diagnosezeitraum 2019 bis 2021

Abb. 17.7. C50 (Frauen): Prozentualer Anteil der Neuerkrankungen mit bzw. ohne Befall der regionalen Lymphknoten im Diagnosezeitraum 2019 bis 2021

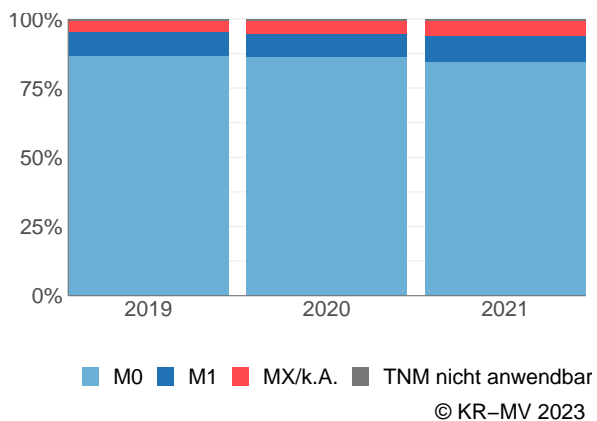


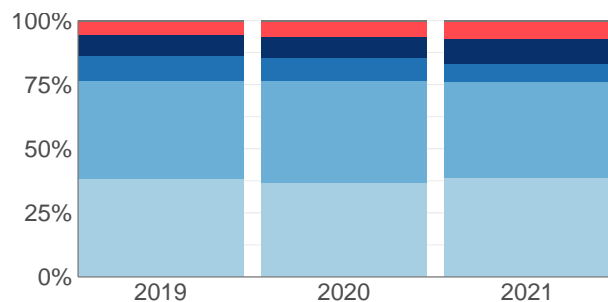
Abb. 17.8. C50 (Frauen): Prozentualer Anteil der Neuerkrankungen mit bzw. ohne primäre Fernmetastasierung im Diagnosezeitraum 2019 bis 2021

### 17.3.4 Primäre Tumorstadien nach UICC

Tab. 17.8. C50 (Frauen): Primäre UICC-Stadien

Diagnose- jahre	UICC I		UICC II		UICC III		UICC IV		Stadium unbekannt		nicht anwendbar*		Summe
	Anzahl	%	Anzahl	%	Anzahl	%	Anzahl	%	Anzahl	%	Anzahl	%	
2019	582	37.9	588	38.3	150	9.8	130	8.5	75	4.9	11	0.7	1536
2020	531	36.4	583	40.0	125	8.6	122	8.4	87	6.0	9	0.6	1457
2021	601	38.2	593	37.7	113	7.2	148	9.4	107	6.8	11	0.7	1573
Summe	1714	37.5	1764	38.6	388	8.5	400	8.8	269	5.9	31	0.7	4566

\* Für diese Neuerkrankungen war es nicht möglich eine TNM-Angabe (TNM Auflage 8) anzugeben.

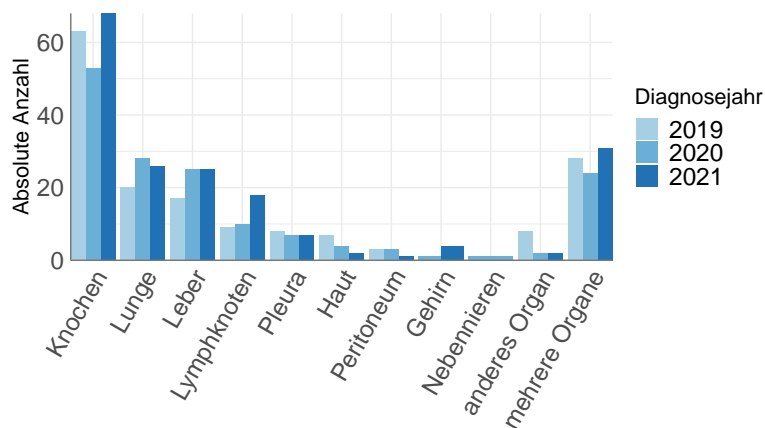


UICC I UICC II UICC III UICC IV Stadium unbekannt nicht anwendbar

© KR-MV 2023

Abb. 17.9. C50 (Frauen): Prozentualer Anteil der primären UICC-Tumorstadien in den Diagnosejahren im Diagnosezeitraum 2019 bis 2021

### 17.3.5 Lokalisation der primären Fernmetastasen



© KR-MV 2023

Abb. 17.10. C50 (Frauen): Lokalisation der primären Fernmetastasen bei Neuerkrankungen im Diagnosezeitraum 2019 bis 2021

### 17.3.6 Dokumentierte Therapie bis max. 12 Monate nach Diagnosestellung

#### 17.3.6.1 Therapiekombinationen, Stellung der Therapie und Intention der dokumentierten Therapien

Tab. 17.9. C50 (Frauen): Häufigkeit der tumorbezogenen Therapien

Tumorbezogene Therapien	2019	2020	2021	Summe	
				Anzahl	%
Tumorspezifische Operation	1328	1227	1309	3864	38.4
Systemische Therapie	1061	998	874	2933	29.2
Strahlentherapie	968	930	1028	2926	29.1
Keine Therapie gemeldet	98	115	116	329	3.3
Summe	3455	3270	3327	10052	100.0

Tab. 17.10. C50 (Frauen): Zeitraum zwischen Diagnose und Beginn der ersten Therapie nach Therapieart (Angabe in Tagen)

Tumorbezogene Therapien	Median	Minimum	Maximum
Strahlentherapie	98	1	363
Systemische Therapie	48	0	338
Tumorspezifische Operation	33	0	365

Tab. 17.11. C50 (Frauen): Therapiekombinationen (Operation, Strahlentherapie, systemische Therapie) pro Diagnosejahr

Therapiekombination	2019	2020	2021	Summe	
				Anzahl	%
Alleinige tumorspezifische Operation	167	133	222	522	11.4
Alleinige systemische Therapie	71	76	72	219	4.8
Alleinige Strahlentherapie	14	13	26	53	1.2
Tumorspezifische Operation und systemische Therapie	232	203	135	570	12.5
Tumorspezifische Operation und Strahlentherapie	196	198	335	729	16.0
Systemische Therapie und Strahlentherapie	25	26	50	101	2.2
Tumorspezifische Operation und systemische Therapie und Strahlentherapie	733	693	617	2043	44.7
Keine tumorspezifische Operation, systemische Therapie oder Strahlentherapie	98	115	116	329	7.2
Summe	1536	1457	1573	4566	100.0

Tab. 17.12. C50 (Frauen): Therapiekombinationen (Operation, Strahlentherapie, systemische Therapie) in Abhängigkeit von dem UICC-Stadium

Therapiekombination	UICC				Stadium unbekannt	nicht anwendbar	Summe	
	I	II	III	IV			Anzahl	%
Alleinige tumorspezifische Operation	166	242	44	23	38	9	522	11.4
Alleinige systemische Therapie	34	56	13	93	21	2	219	4.8
Alleinige Strahlentherapie	8	9	7	17	10	2	53	1.2
Tumorspezifische Operation und systemische Therapie	186	286	27	46	24	1	570	12.5
Tumorspezifische Operation und Strahlentherapie	431	200	46	16	33	3	729	16.0
Systemische Therapie und Strahlentherapie	4	20	7	58	11	1	101	2.2

Tumorspezifische Operation und systemische Therapie und Strahlentherapie	841	881	217	63	40	1	2043	44.7
Keine tumorspezifische Operation, systemische Therapie oder Strahlentherapie	44	70	27	84	92	12	329	7.2
Summe	1714	1764	388	400	269	31	4566	100.0

Tab. 17.13. C50 (Frauen): Stellung der Strahlentherapie zur operativen Therapie im ersten Jahr der Erkrankung (adjuvant/neoadjuvant)

Stellung der Strahlentherapie zur operativen Therapie	2019	2020	2021	Summe	
				Anzahl	%
Adjuvante (postoperative) Strahlentherapie	897	868	913	2678	96.6
Therapie ohne Bezug zu einer operativen Therapie	27	20	37	84	3.0
Intraoperative Strahlentherapie	1	1	0	2	0.1
Neoadjuvante (präoperative) Strahlentherapie	4	2	2	8	0.3
Summe	929	891	952	2772	100.0

Tab. 17.14. C50 (Frauen): Stellung der systemischen Therapie zur operativen Therapie im ersten Jahr der Erkrankung (adjuvant/neoadjuvant)

Stellung der systemischen Therapie zur operativen Therapie	2019	2020	2021	Summe	
				Anzahl	%
Adjuvante (postoperative) Therapie	641	565	425	1631	62.4
Therapie ohne Bezug zu einer operativen Therapie	41	63	40	144	5.5
Neoadjuvante (präoperative) Therapie	279	263	279	821	31.4
Sonstige/Keine Angabe	4	5	8	17	0.7
Summe	965	896	752	2613	100.0

Tab. 17.15. C50 (Frauen): Intention bei der ersten Operation

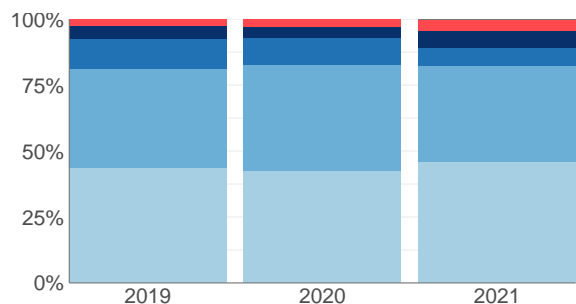
Intention der Operation	2019	2020	2021	Summe	
				Anzahl	%
Kurativ	1301	1205	1281	3787	98.0
Palliativ bzw. symptomatisch	25	21	21	67	1.7
Diagnostisch	0	0	1	1	0.0
Sonstige/Unbekannt/Keine Angabe	2	1	6	9	0.2
Summe	1328	1227	1309	3864	100.0

Tab. 17.16. C50 (Frauen): Intention bei der initialen Bestrahlung

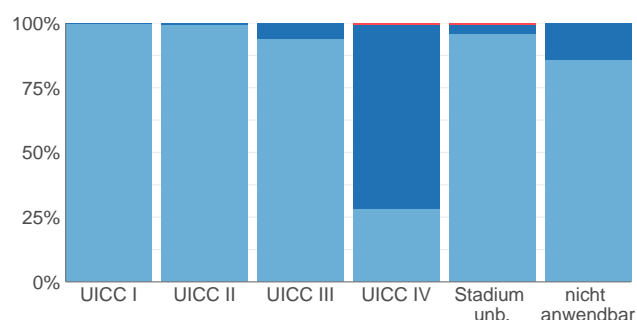
Intention der Bestrahlung	2019	2020	2021	Summe	
				Anzahl	%
Kurativ	915	892	969	2776	94.9
Palliativ bzw. symptomatisch	52	38	58	148	5.1
Sonstige/Unbekannt/Keine Angabe	1	0	1	2	0.1
Summe	968	930	1028	2926	100.0

Tab. 17.17. C50 (Frauen): Intention bei der ersten systemischen Therapie

Intention der systemischen Therapie	2019	2020	2021	Summe	
				Anzahl	%
Kurativ	947	903	760	2610	89.0
Palliativ bzw. symptomatisch	111	94	105	310	10.6
Sonstige/Unbekannt/Keine Angabe	3	1	9	13	0.4
Summe	1061	998	874	2933	100.0



■ UICC I    ■ UICC III    ■ Stadium unbekannt  
■ UICC II    ■ UICC IV    ■ nicht anwendbar  
 © KR-MV 2023



■ Kurativ    ■ Palliativ bzw. symptomatisch    ■ Sonstige/Unb./k.A.  
 © KR-MV 2023

Abb. 17.11. C50 (Frauen): Prozentuale Verteilung der UICC-Stadien bei allen in den Jahren 2019 bis 2021 bestrahlten Neuerkrankungen

Abb. 17.12. C50 (Frauen): Intention der ersten Bestrahlung nach UICC-Klassifikation

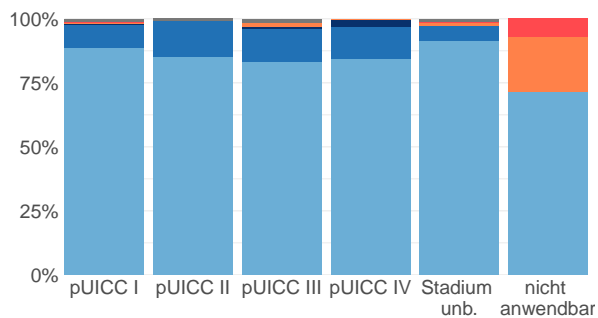
### 17.3.6.2 Dokumentierte tumorspezifische Operation bis max. 12 Monate nach Diagnosestellung

Tab. 17.18. C50 (Frauen): Dokumentierte tumorspezifische Operation nach UICC

Operation	UICC I	UICC II	UICC III	UICC IV	Stadium unbekannt	nicht anwendbar	Summe	
							Anzahl	%
5-870: Partielle (brusterhaltende) Exzision der Mamma und Destruktion von Mammagewebe	1413	1082	105	59	102	6	2767	71.6
5-872: (Modifizierte radikale) Mastektomie	129	406	198	72	19	7	831	21.5
5-877: Subkutane Mastektomie und hautsparende Mastektomieverfahren	78	99	14	5	9	0	205	5.3
5-874: Erweiterte (radikale) Mastektomie mit Resektion an den Mm. pectorales majores et minores und Thoraxwandteilresektion	3	22	17	12	5	1	60	1.6
5-882: Operationen an der Brustwarze	1	0	0	0	0	0	1	0.0
Summe	1624	1609	334	148	135	14	3864	100.0

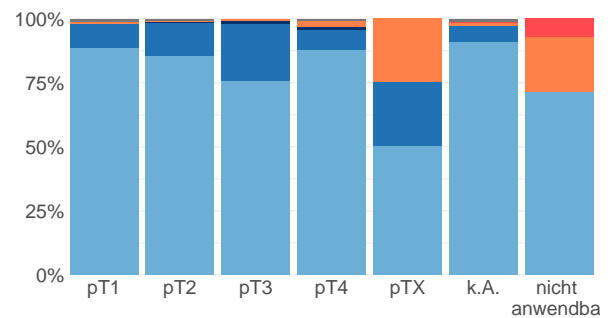
Tab. 17.19. C50 (Frauen): Residualklassifikation nach Tumorresektion bei Neuerkrankungen in den UICC-Stadien I-IV

R-Klassifikation	UICC I	UICC II	UICC III	UICC IV	Stadium unbekannt	nicht an- wendbar	Summe	
							Anzahl	%
R0 (kein Residualtumor)	1446	1407	283	126	114	10	3386	87.6
R1 (mikroskopischer Residualtumor)	137	178	39	17	14	0	385	10.0
R2 (makroskopischer Residualtumor)	2	0	3	4	0	0	9	0.2
RX (Vorhandensein eines Residualtumors kann nicht beurteilt werden)	10	7	5	1	4	3	30	0.8
keine Angabe	4	0	0	0	1	1	6	0.2
keine R-Klassifikation zu erwarten	25	17	4	0	2	0	48	1.2
<b>Summe</b>	<b>1624</b>	<b>1609</b>	<b>334</b>	<b>148</b>	<b>135</b>	<b>14</b>	<b>3864</b>	<b>100.0</b>



© KR-MV 2023

Abb. 17.13. C50 (Frauen): R-Klassifikation nach tumorspezifischer Resektion bei Neuerkrankungen in pUICC Stadien I-IV



© KR-MV 2023

Abb. 17.14. C50 (Frauen): R-Klassifikation nach tumorspezifischer Resektion bei Neuerkrankungen mit Tumoren unterschiedlicher pT-Kategorie

## 17.4 Brustdrüse C50 - Männer

### 17.4.1 Absolute Anzahl der erfassten Neuerkrankungen in M-V in den Jahren 2019-2021 nach Lokalisation

Tab. 17.20. C50 (Männer): Absolute Anzahl und prozentualer Anteil der Neuerkrankungen nach der Lokalisation

Lokalisationen	2019	2020	2021	Summe	
				Anzahl	%
Mamille (ICD-O: C50.0)	2	2	1	5	9.8
Zentraler Drüsenkörper (ICD-O: C50.1)	8	5	3	16	31.4
Oberer innerer Quadrant (ICD-O: C50.2)	0	2	1	3	5.9
Unterer innerer Quadrant (ICD-O: C50.3)	0	0	1	1	2.0
Oberer äußerer Quadrant (ICD-O: C50.4)	2	6	1	9	17.6
Unterer äußerer Quadrant (ICD-O: C50.5)	0	1	1	2	3.9
Axilläre Ausläufer (ICD-O: C50.6)	1	0	0	1	2.0
Brust (mehrere Teilregionen überlappend) (ICD-O: C50.8)	1	3	1	5	9.8
Brust o.n.A. (ICD-O: C50.9)	5	2	2	9	17.6
<b>Summe</b>	<b>19</b>	<b>21</b>	<b>11</b>	<b>51</b>	<b>100.0</b>

### 17.4.2 Histologische Befunde bei allen neuerkrankten Patienten in M-V in den Jahren 2019-2021

Tab. 17.21. C50 (Männer): Histologische Befunde bei neuerkrankten Patienten

	2019		2020		2021	
	Anzahl	%	Anzahl	%	Anzahl	%
8211/3: Tubuläres Adenokarzinom	0	0.0	1	4.8	0	0.0
8500/3: Invasives duktales Karzinom o.n.A.	14	73.7	16	76.2	9	81.8
8504/3: Abgekapseltes papilläres Karzinom mit Invasion	0	0.0	1	4.8	0	0.0
8507/3: Invasives mikropapilläres Mammakarzinom	1	5.3	0	0.0	0	0.0
8520/3: Lobuläres Karzinom o.n.A.	3	15.8	1	4.8	1	9.1
<b>Adenokarzinome</b>	<b>18</b>	<b>94.7</b>	<b>19</b>	<b>90.5</b>	<b>10</b>	<b>90.9</b>
8000/3: Maligne Neoplasie	0	0.0	0	0.0	1	9.1
<b>Nicht näher bezeichnete maligne Neoplasien</b>	<b>0</b>	<b>0.0</b>	<b>0</b>	<b>0.0</b>	<b>1</b>	<b>9.1</b>
8010/3: Karzinom o.n.A.	1	5.3	0	0.0	0	0.0
8046/3: Nichtkleinzelliges Karzinom	0	0.0	1	4.8	0	0.0
<b>Epitheliale Neoplasien o.n.A.</b>	<b>1</b>	<b>5.3</b>	<b>1</b>	<b>4.8</b>	<b>0</b>	<b>0.0</b>
8050/3: Papilläres Karzinom o.n.A.	0	0.0	1	4.8	0	0.0
<b>Plattenepithelkarzinome</b>	<b>0</b>	<b>0.0</b>	<b>1</b>	<b>4.8</b>	<b>0</b>	<b>0.0</b>
<b>Summe</b>	<b>19</b>	<b>100.0</b>	<b>21</b>	<b>100.0</b>	<b>11</b>	<b>100.0</b>

### 17.4.3 Tumorgröße und Ausdehnung (TNM)

Tab. 17.22. C50 (Männer): Absolute Anzahl der Neuerkrankungen klassifiziert nach der Tumorgröße

Tumorgröße (T)	2019		2020		2021		Summe	
	Anzahl	%	Anzahl	%	Anzahl	%	Anzahl	%
T1	8	42.1	9	42.9	2	18.2	19	37.3
T2	7	36.8	10	47.6	5	45.5	22	43.1
T3	1	5.3	0	0.0	0	0.0	1	2.0
T4	2	10.5	0	0.0	1	9.1	3	5.9
TX	1	5.3	0	0.0	1	9.1	2	3.9
k.A.	0	0.0	2	9.5	1	9.1	3	5.9
TNM nicht anwendbar	0	0.0	0	0.0	1	9.1	1	2.0
Summe	19	100.0	21	100.0	11	100.0	51	100.0

Tab. 17.23. C50 (Männer): Absolute Anzahl der Neuerkrankungen mit bzw. ohne Befall der regionären Lymphknoten

N-Kategorie	2019		2020		2021		Summe	
	Anzahl	%	Anzahl	%	Anzahl	%	Anzahl	%
N0	12	63.2	10	47.6	5	45.5	27	52.9
N1	5	26.3	9	42.9	3	27.3	17	33.3
N2	2	10.5	0	0.0	0	0.0	2	3.9
N3	0	0.0	0	0.0	1	9.1	1	2.0
NX	0	0.0	0	0.0	0	0.0	0	0.0
k.A.	0	0.0	2	9.5	1	9.1	3	5.9
TNM nicht anwendbar	0	0.0	0	0.0	1	9.1	1	2.0
Summe	19	100.0	21	100.0	11	100.0	51	100.0

Tab. 17.24. C50 (Männer): Absolute Anzahl der Neuerkrankungen mit Fernmetastasierung

M-Kategorie	2019		2020		2021		Summe	
	Anzahl	%	Anzahl	%	Anzahl	%	Anzahl	%
M0	17	89.5	18	85.7	6	54.5	41	80.4
M1	1	5.3	1	4.8	3	27.3	5	9.8
MX/k.A.	1	5.3	2	9.5	1	9.1	4	7.8
TNM nicht anwendbar	0	0.0	0	0.0	1	9.1	1	2.0
Summe	19	100.0	21	100.0	11	100.0	51	100.0

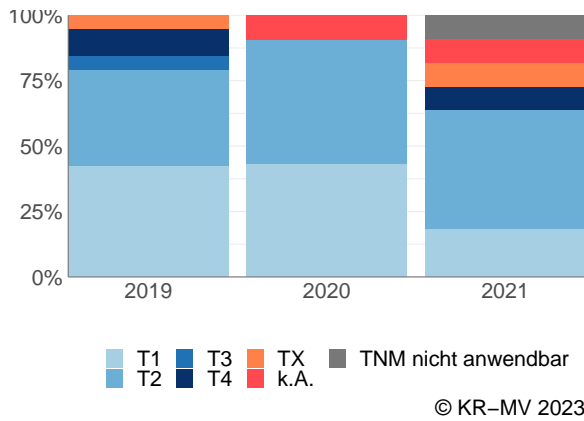


Abb. 17.15. C50 (Männer): Prozentualer Anteil der Neuerkrankungen nach Tumorgröße im Diagnosezeitraum 2019 bis 2021

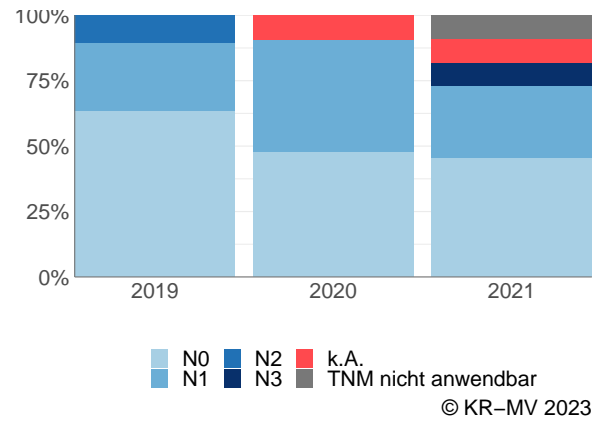


Abb. 17.16. C50 (Männer): Prozentualer Anteil der Neuerkrankungen mit bzw. ohne Befall der regionalen Lymphknoten im Diagnosezeitraum 2019 bis 2021

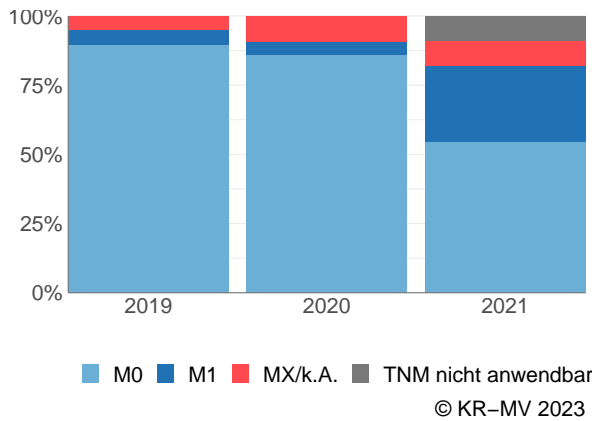


Abb. 17.17. C50 (Männer): Prozentualer Anteil der Neuerkrankungen mit bzw. ohne primäre Fernmetastasierung im Diagnosezeitraum 2019 bis 2021

#### 17.4.4 Primäre Tumorstadien nach UICC

Tab. 17.25. C50 (Männer): Primäre UICC-Stadien

Diagnose- jahre	UICC I		UICC II		UICC III		UICC IV		Stadium unbekannt		nicht anwendbar*		Summe
	Anzahl	%	Anzahl	%	Anzahl	%	Anzahl	%	Anzahl	%	Anzahl	%	
2019	6	31.6	7	36.8	4	21.1	1	5.3	1	5.3	0	0.0	19
2020	5	23.8	13	61.9	0	0.0	1	4.8	2	9.5	0	0.0	21
2021	2	18.2	3	27.3	1	9.1	3	27.3	1	9.1	1	9.1	11
Summe	13	25.5	23	45.1	5	9.8	5	9.8	4	7.8	1	2.0	51

\* Für diese Neuerkrankungen war es nicht möglich eine TNM-Angabe (TNM Auflage 8) anzugeben.

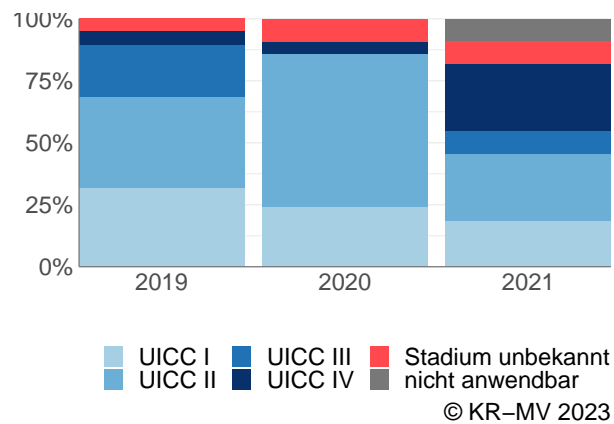


Abb. 17.18. C50 (Männer): Prozentualer Anteil der primären UICC-Tumorstadien in den Diagnosejahren im Diagnosezeitraum 2019 bis 2021

#### 17.4.5 Dokumentierte Therapie bis max. 12 Monate nach Diagnosestellung

##### 17.4.5.1 Therapiekombinationen, Stellung der Therapie und Intention der dokumentierten Therapien

Tab. 17.26. C50 (Männer): Häufigkeit der tumorbezogenen Therapien

Tumorbezogene Therapien	2019	2020	2021	Summe	
				Anzahl	%
Tumorspezifische Operation	13	17	6	36	42.9
Systemische Therapie	12	10	7	29	34.5
Strahlentherapie	6	6	1	13	15.5
Keine Therapie gemeldet	2	2	2	6	7.1
Summe	33	35	16	84	100.0

Tab. 17.27. C50 (Männer): Zeitraum zwischen Diagnose und Beginn der ersten Therapie nach Therapieart (Angabe in Tagen)

Tumorbezogene Therapien	Median	Minimum	Maximum
Strahlentherapie	135.0	16	270
Systemische Therapie	47.5	15	95
Tumorspezifische Operation	21.0	0	232

Tab. 17.28. C50 (Männer): Therapiekombinationen (Operation, Strahlentherapie, systemische Therapie) pro Diagnosejahr

Therapiekombination	2019	2020	2021	Summe	
				Anzahl	%
Alleinige tumorspezifische Operation	4	6	2	12	23.5
Alleinige systemische Therapie	3	0	3	6	11.8
Alleinige Strahlentherapie	0	1	0	1	2.0
Tumorspezifische Operation und systemische Therapie	4	7	3	14	27.5
Tumorspezifische Operation und Strahlentherapie	1	2	0	3	5.9
Systemische Therapie und Strahlentherapie	1	1	0	2	3.9
Tumorspezifische Operation und systemische Therapie und Strahlentherapie	4	2	1	7	13.7

Keine tumorspezifische Operation, systemische Therapie oder Strahlentherapie	2	2	2	6	11.8
Summe	19	21	11	51	100.0

Tab. 17.29. C50 (Männer): Therapiekombinationen (Operation, Strahlentherapie, systemische Therapie) in Abhängigkeit von dem UICC-Stadium

Therapiekombination	UICC I	UICC II	UICC III	UICC IV	Stadium unbekannt	nicht an- wendbar	Summe	
							Anzahl	%
Alleinige tumorspezifische Operation	5	6	1	0	0	0	12	23.5
Alleinige systemische Therapie	0	2	0	3	1	0	6	11.8
Alleinige Strahlentherapie	0	1	0	0	0	0	1	2.0
Tumorspezifische Operation und systemische Therapie	8	4	1	1	0	0	14	27.5
Tumorspezifische Operation und Strahlentherapie	0	2	1	0	0	0	3	5.9
Systemische Therapie und Strahlentherapie	0	1	0	0	1	0	2	3.9
Tumorspezifische Operation und systemische Therapie und Strahlentherapie	0	6	1	0	0	0	7	13.7
Keine tumorspezifische Operation, systemische Therapie oder Strahlentherapie	0	1	1	1	2	1	6	11.8
Summe	13	23	5	5	4	1	51	100.0

Tab. 17.30. C50 (Männer): Stellung der Strahlentherapie zur operativen Therapie im ersten Jahr der Erkrankung (adjuvant/neoadjuvant)

Stellung der Strahlentherapie zur operativen Therapie	2019	2020	2021	Summe	
				Anzahl	%
Adjuvante (postoperative) Strahlentherapie	5	4	1	10	100
Summe	5	4	1	10	100

Tab. 17.31. C50 (Männer): Stellung der systemischen Therapie zur operativen Therapie im ersten Jahr der Erkrankung (adjuvant/neoadjuvant)

Stellung der systemischen Therapie zur operativen Therapie	2019	2020	2021	Summe	
				Anzahl	%
Adjuvante (postoperative) Therapie	5	6	3	14	66.7
Therapie ohne Bezug zu einer operativen Therapie	0	1	0	1	4.8
Neoadjuvante (präoperative) Therapie	3	2	1	6	28.6
Summe	8	9	4	21	100.0

Tab. 17.32. C50 (Männer): Intention bei der ersten Operation

Intention der Operation	2019	2020	2021	Summe	
				Anzahl	%
Kurativ	13	17	6	36	100
Summe	13	17	6	36	100

Tab. 17.33. C50 (Männer): Intention bei der initialen Bestrahlung

Intention der Bestrahlung	2019	2020	2021	Summe	
				Anzahl	%
Kurativ	6	5	1	12	92.3
Palliativ bzw. symptomatisch	0	1	0	1	7.7
Summe	6	6	1	13	100.0

Tab. 17.34. C50 (Männer): Intention bei der ersten systemischen Therapie

Intention der systemischen Therapie	2019	2020	2021	Summe	
				Anzahl	%
Kurativ	10	9	6	25	86.2
Palliativ bzw. symptomatisch	2	1	1	4	13.8
Summe	12	10	7	29	100.0

#### 17.4.5.2 Dokumentierte tumorspezifische Operation bis max. 12 Monate nach Diagnosestellung

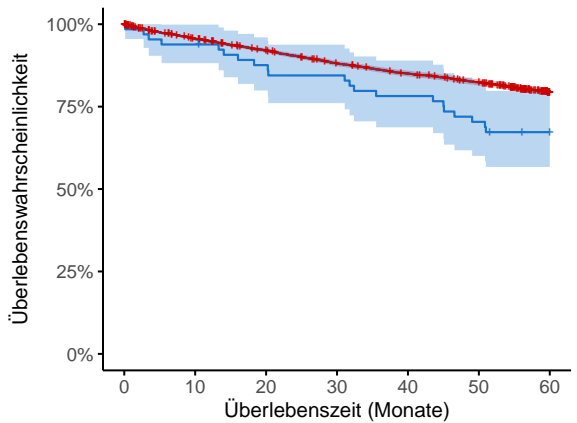
Tab. 17.35. C50 (Männer): Dokumentierte tumorspezifische Operation nach UICC

Operation	UICC I	UICC II	UICC III	UICC IV	Stadium unbekannt	nicht an- wendbar	Summe	
							Anzahl	%
5-872: (Modifizierte radikale) Mastektomie	8	13	3	0	0	0	24	66.7
5-870: Partielle (brusterhaltende) Exzision der Mamma und Destruktion von Mammagewebe	5	3	0	0	0	0	8	22.2
5-874: Erweiterte (radikale) Mastektomie mit Resektion an den Mm. pectorales majores et minores und Thoraxwandteilresektion	0	2	0	1	0	0	3	8.3
5-877: Subkutane Mastektomie und hautsparende Mastektomieverfahren	0	0	1	0	0	0	1	2.8
Summe	13	18	4	1	0	0	36	100.0

Tab. 17.36. C50 (Männer): Residualklassifikation nach Tumorresektion bei Neuerkrankungen in den UICC-Stadien I-IV

R-Klassifikation	UICC I	UICC II	UICC III	UICC IV	Stadium unbekannt	nicht an- wendbar	Summe	
							Anzahl	%
R0 (kein Residualtumor)	11	17	4	1	0	0	33	91.7
R1 (mikroskopischer Residualtumor)	2	1	0	0	0	0	3	8.3
Summe	13	18	4	1	0	0	36	100.0

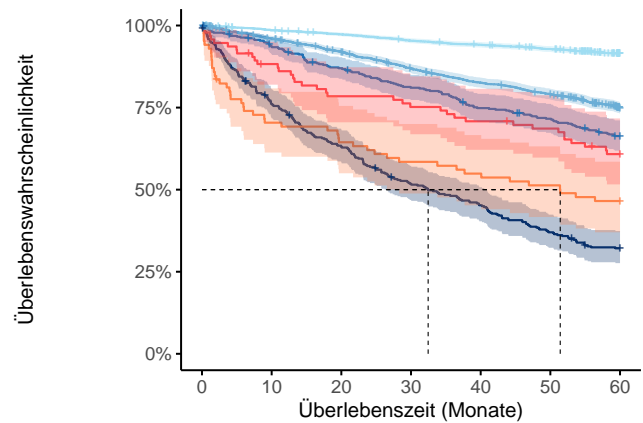
## 17.5 Überlebensanalysen (Kaplan-Meier) bei den in den Jahren 2013-2017 primär diagnostizierten Patienten (Wohnort und Behandlung in M-V)



Anzahl der Neuerkrankungen unter Beobachtung

Frauen	6501	6173	5931	5662	5463	5280	4967
Männer	65	61	56	54	50	45	41

© KR-MV 2023



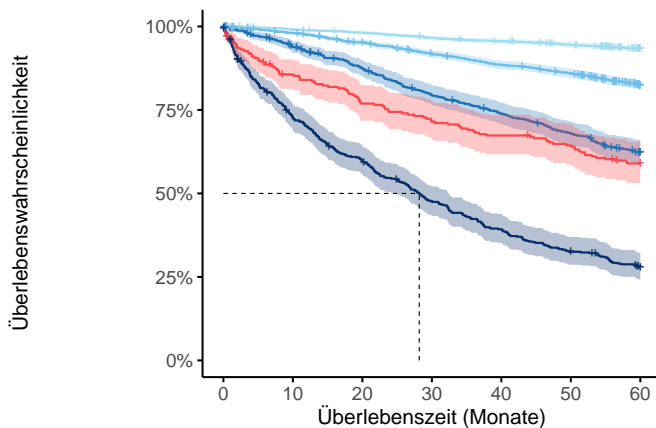
Anzahl der Neuerkrankungen unter Beobachtung

T1	3133	3079	3035	2973	2933	2887	2781
T2	2387	2277	2173	2043	1940	1855	1703
T3	412	381	352	327	301	286	262
T4	361	271	224	182	159	130	111
TX	85	59	54	49	46	43	39
k.A.	94	81	72	69	65	62	54
nicht anwendbar	24	22	18	17	17	15	15

© KR-MV 2023

Abb. 17.19. C50: Wahrscheinlichkeit des Überlebens (Kaplan-Meier) nach Geschlecht bei Diagnosestellung in den Jahren 2013-2017.\*

Abb. 17.20. C50: Wahrscheinlichkeit des Überlebens (Kaplan-Meier) von Frauen nach Tumorgröße bei Diagnosestellung in den Jahren 2013-2017.\*



Anzahl der Neuerkrankungen unter Beobachtung

UICC I	2531	2500	2474	2433	2407	2375	2299
UICC II	2470	2412	2336	2244	2163	2098	1953
UICC III	727	674	623	563	522	479	430
UICC IV	504	359	295	233	192	159	131
Stadium unbekannt	245	206	185	172	162	154	139
nicht anwendbar	24	22	18	17	17	15	15

© KR-MV 2023

Abb. 17.21. C50: Wahrscheinlichkeit des Überlebens von Frauen (Kaplan-Meier) nach UICC bei Diagnosestellung in den Jahren 2013-2017.\*

\*Die 50%-Überlebensraten sind dort, wo sie bestimmbar sind, graphisch dargestellt. Zusätzlich erfolgt pro Überlebenskurve die Darstellung des 95%-Konfidenzintervalls. Kaplan-Meier Kurven werden für Kategorien mit weniger als 30 Neuerkrankungen nicht dargestellt.

# 18 Prostata C61

## 18.1 Consort-Statement: Darstellung der Auswertepopulation

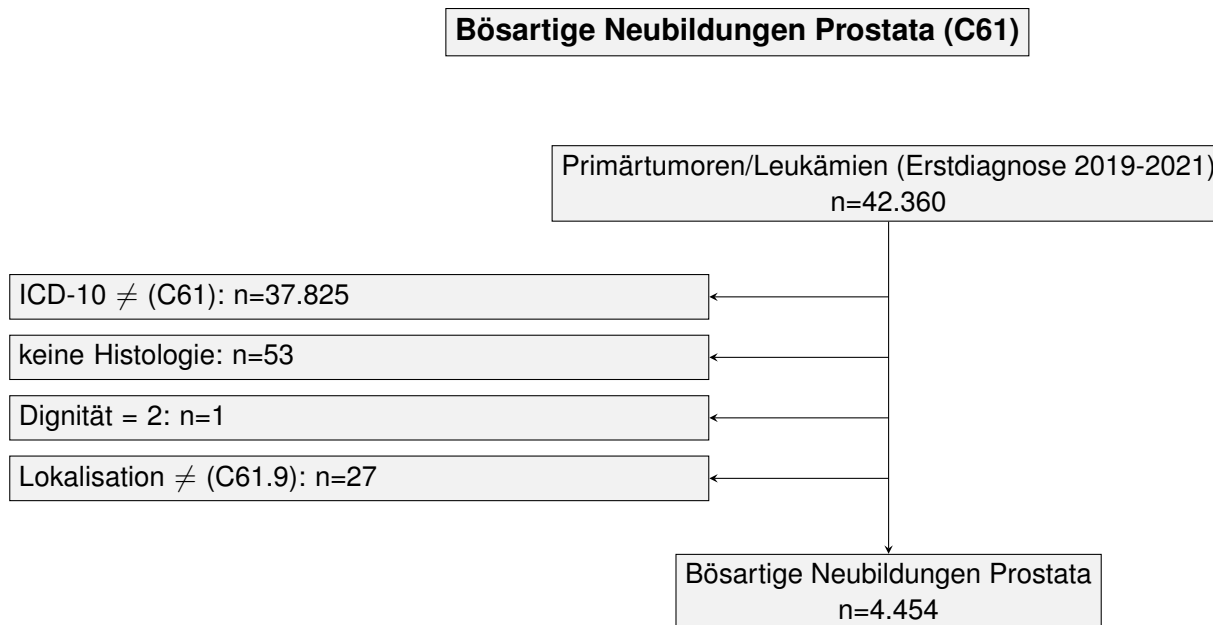
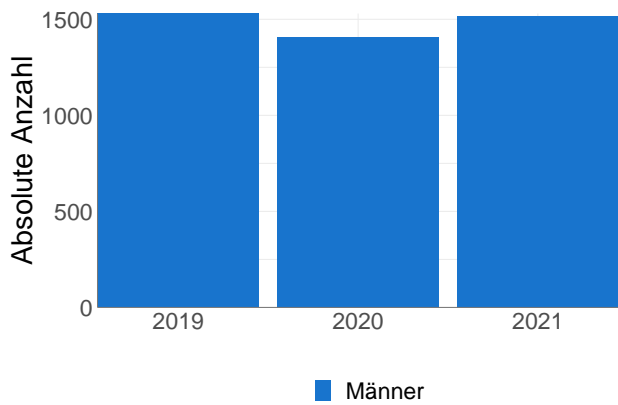


Abb. 18.1. Consort zu den bösartigen Neubildungen der Prostata

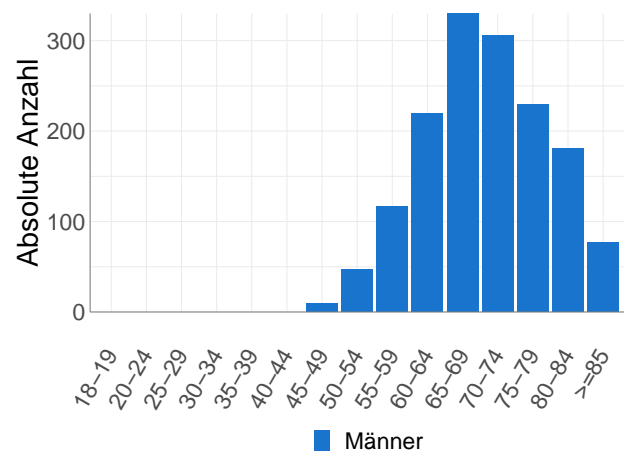
## 18.2 Absolute Anzahl der erfassten Neuerkrankungen in M-V in den Jahren 2019-2021

Tab. 18.1. C61: Absolute Anzahl der Neuerkrankungen

Geschlecht	Männer		Summe
	Anzahl	%	
2019	1530	100	1530
2020	1409	100	1409
2021	1515	100	1515
Summe	4454	100	4454



© KR-MV 2023



© KR-MV 2023

Abb. 18.2. C61: Absolute Anzahl der Neuerkrankungen

Abb. 18.3. C61: Absolute Anzahl der Neuerkrankungen aufgelistet in 5-Jahres-Altersgruppen für das Diagnosejahr 2021

Tab. 18.2. C61: Erkrankungsalter

Diagnosejahre	Männer			
	Anzahl	Median	Minimum	Maximum
2019	1530	70	43	95
2020	1409	70	43	95
2021	1515	70	45	93

### 18.3 Absolute Anzahl der erfassten Neuerkrankungen in M-V in den Jahren 2019-2021 nach Lokalisation

Tab. 18.3. C61: Absolute Anzahl und prozentualer Anteil der Neuerkrankungen nach der Lokalisation

Lokalisationen	2019	2020	2021	Summe	
				Anzahl	%
Prostata o.n.A. (ICD-O: C61.9)	660	1148	1515	3323	74.6
Prostata, lateraler Lappen (ICD-O: C61.91)	842	239	0	1081	24.3
Prostata, Mittellappen (ICD-O: C61.92)	15	13	0	28	0.6
Prostata, Apex (ICD-O: C61.94)	13	9	0	22	0.5
Summe	1530	1409	1515	4454	100.0

## 18.4 Histologische Befunde bei allen neuerkrankten Patienten in M-V in den Jahren 2019-2021

Tab. 18.4. C61: Histologische Befunde bei neuerkrankten Patienten

	2019		2020		2021	
	Anzahl	%	Anzahl	%	Anzahl	%
8140/3: Adenokarzinom o.n.A.	1102	72.0	994	70.5	1220	80.5
8145/3: Diffuses Karzinom	3	0.2	0	0.0	0	0.0
8190/3: Trabekuläres Adenokarzinom	0	0.0	1	0.1	0	0.0
8201/3: Kribriiformes Karzinom o.n.A.	9	0.6	4	0.3	0	0.0
8211/3: Tubuläres Adenokarzinom	0	0.0	1	0.1	0	0.0
8230/3: Solides Karzinom o.n.A.	1	0.1	0	0.0	0	0.0
8260/3: Papilläres Adenokarzinom o.n.A.	0	0.0	1	0.1	1	0.1
8263/3: Adenokarzinom in tubulovillösem Adenom	0	0.0	0	0.0	1	0.1
8401/3: Apokrines Adenokarzinom	1	0.1	0	0.0	0	0.0
8480/3: Muzinöses Adenokarzinom	1	0.1	1	0.1	0	0.0
8490/3: Siegelringzellkarzinom	1	0.1	1	0.1	0	0.0
8500/3: Invasives duktales Karzinom o.n.A.	5	0.3	3	0.2	3	0.2
8550/3: Azinuszellkarzinom	393	25.7	381	27.0	271	17.9
8552/3: Gemischtes azinär-duktales Karzinom	1	0.1	0	0.0	2	0.1
8572/3: Adenokarzinom mit Spindelzellmetaplasie	2	0.1	0	0.0	1	0.1
8574/3: Adenokarzinom mit neuroendokriner Differenzierung	1	0.1	5	0.4	1	0.1
<b>Adenokarzinome</b>	<b>1520</b>	<b>99.3</b>	<b>1392</b>	<b>98.8</b>	<b>1500</b>	<b>99.0</b>
8010/3: Karzinom o.n.A.	3	0.2	5	0.4	3	0.2
8020/3: Undifferenziertes Karzinom o.n.A.	0	0.0	2	0.1	0	0.0
8041/3: Kleinzelliges Karzinom o.n.A.	0	0.0	0	0.0	7	0.5
8046/3: Nichtkleinzelliges Karzinom	0	0.0	1	0.1	0	0.0
<b>Nicht näher bezeichnete epitheliale Tumoren</b>	<b>3</b>	<b>0.2</b>	<b>8</b>	<b>0.6</b>	<b>10</b>	<b>0.7</b>
8000/3: Maligne Neoplasie	7	0.5	9	0.6	4	0.3
<b>Nicht näher bezeichnete maligne Neoplasien</b>	<b>7</b>	<b>0.5</b>	<b>9</b>	<b>0.6</b>	<b>4</b>	<b>0.3</b>
8013/3: Großzelliges neuroendokrines Karzinom	0	0.0	0	0.0	1	0.1
<b>NET/NEC</b>	<b>0</b>	<b>0.0</b>	<b>0</b>	<b>0.0</b>	<b>1</b>	<b>0.1</b>
<b>Summe</b>	<b>1530</b>	<b>100.0</b>	<b>1409</b>	<b>100.0</b>	<b>1515</b>	<b>100.0</b>

## 18.5 Tumorgöße und Ausdehnung (TNM)

Tab. 18.5. C61: Absolute Anzahl der Neuerkrankungen klassifiziert nach der Tumorgöße

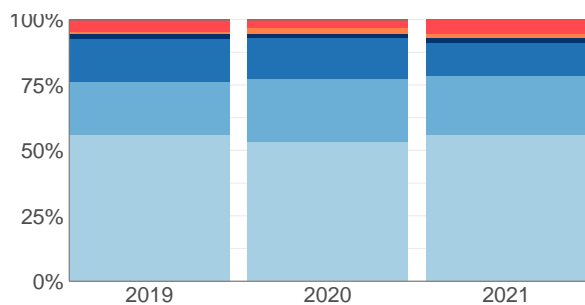
Tumorgöße (T)	2019		2020		2021		Summe	
	Anzahl	%	Anzahl	%	Anzahl	%	Anzahl	%
T1	856	55.9	746	52.9	847	55.9	2449	55.0
T2	307	20.1	343	24.3	336	22.2	986	22.1
T3	254	16.6	217	15.4	195	12.9	666	15.0
T4	25	1.6	25	1.8	26	1.7	76	1.7
TX	15	1.0	29	2.1	25	1.7	69	1.5
k.A.	62	4.1	40	2.8	81	5.3	183	4.1
TNM nicht anwendbar	11	0.7	9	0.6	5	0.3	25	0.6
<b>Summe</b>	<b>1530</b>	<b>100.0</b>	<b>1409</b>	<b>100.0</b>	<b>1515</b>	<b>100.0</b>	<b>4454</b>	<b>100.0</b>

Tab. 18.6. C61: Absolute Anzahl der Neuerkrankungen mit bzw. ohne Befall der regionären Lymphknoten

N-Kategorie	2019		2020		2021		Summe	
	Anzahl	%	Anzahl	%	Anzahl	%	Anzahl	%
N0	1251	81.8	1153	81.8	1175	77.6	3579	80.4
N1	88	5.8	101	7.2	93	6.1	282	6.3
NX	108	7.1	83	5.9	119	7.9	310	7.0
k.A.	72	4.7	63	4.5	123	8.1	258	5.8
TNM nicht anwendbar	11	0.7	9	0.6	5	0.3	25	0.6
Summe	1530	100.0	1409	100.0	1515	100.0	4454	100.0

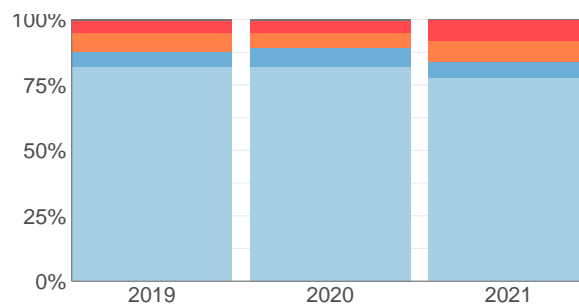
Tab. 18.7. C61: Absolute Anzahl der Neuerkrankungen mit Fernmetastasierung

M-Kategorie	2019		2020		2021		Summe	
	Anzahl	%	Anzahl	%	Anzahl	%	Anzahl	%
M0	1240	81.0	1128	80.1	1149	75.8	3517	79.0
M1	123	8.0	158	11.2	158	10.4	439	9.9
MX/k.A.	156	10.2	114	8.1	203	13.4	473	10.6
TNM nicht anwendbar	11	0.7	9	0.6	5	0.3	25	0.6
Summe	1530	100.0	1409	100.0	1515	100.0	4454	100.0



Legend for Abb. 18.4: T1 (light blue), T2 (medium blue), T3 (dark blue), T4 (darkest blue), TX (orange), k.A. (red), TNM nicht anwendbar (grey).

© KR-MV 2023



Legend for Abb. 18.5: N0 (light blue), N1 (medium blue), NX (orange), k.A. (red), TNM nicht anwendbar (grey).

© KR-MV 2023

Abb. 18.4. C61: Prozentualer Anteil der Neuerkrankungen nach Tumorgöße im Diagnosezeitraum 2019 bis 2021

Abb. 18.5. C61: Prozentualer Anteil der Neuerkrankungen mit bzw. ohne Befall der regionären Lymphknoten im Diagnosezeitraum 2019 bis 2021

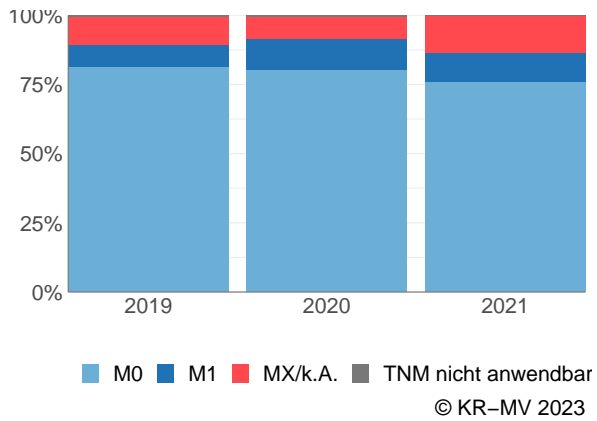


Abb. 18.6. C61: Prozentualer Anteil der Neuerkrankungen mit bzw. ohne primäre Fernmetastasierung im Diagnosezeitraum 2019 bis 2021

## 18.6 Primäre Tumorstadien nach UICC

Tab. 18.8. C61: Primäre UICC-Stadien

Diagnose- jahre	UICC I		UICC II		UICC III		UICC IV		Stadium unbekannt		nicht anwendbar*		Summe
	Anzahl	%	Anzahl	%	Anzahl	%	Anzahl	%	Anzahl	%	Anzahl	%	
2019	812	53.1	193	12.6	167	10.9	174	11.4	173	11.3	11	0.7	1530
2020	709	50.3	205	14.5	140	9.9	215	15.3	131	9.3	9	0.6	1409
2021	765	50.5	195	12.9	116	7.7	202	13.3	232	15.3	5	0.3	1515
Summe	2286	51.3	593	13.3	423	9.5	591	13.3	536	12.0	25	0.6	4454

\* Für diese Neuerkrankungen war es nicht möglich eine TNM-Angabe (TNM Auflage 8) anzugeben.

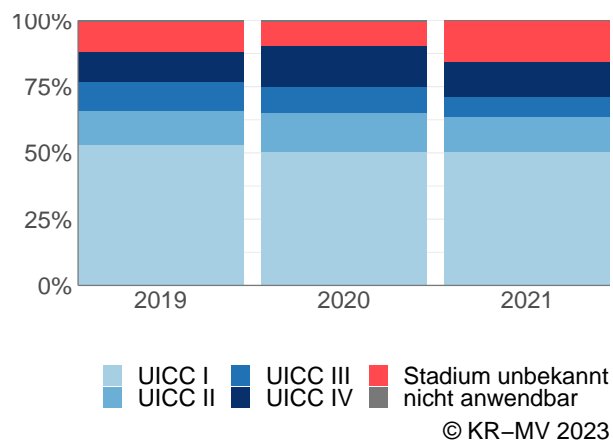
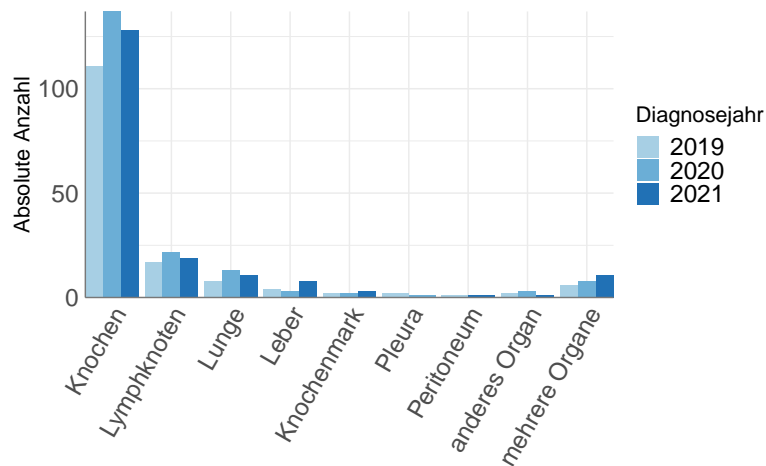


Abb. 18.7. C61: Prozentuale Anteile der primären UICC-Tumorstadien in den Diagnosejahren 2019 bis 2021

## 18.7 Lokalisation der primären Fernmetastasen



© KR-MV 2023

Abb. 18.8. C61: Lokalisation der primären Fernmetastasen bei Neuerkrankungen im Diagnosezeitraum 2019 bis 2021

## 18.8 Dokumentierte Therapie bis max. 12 Monate nach Diagnosestellung

### 18.8.1 Therapiekombinationen, Stellung der Therapie und Intention der dokumentierten Therapien

Tab. 18.9. C61: Häufigkeit der tumorbezogenen Therapien

Tumorbezogene Therapien	2019	2020	2021	Summe	
				Anzahl	%
Tumorspezifische Operation	709	633	666	2008	36.3
Systemische Therapie	431	408	387	1226	22.1
Strahlentherapie	453	362	385	1200	21.7
abwartende Strategie	45	56	66	167	3.0
Keine Therapie gemeldet	306	293	335	934	16.9
Summe	1944	1752	1839	5535	100.0

Tab. 18.10. C61: Zeitraum zwischen Diagnose und Beginn der ersten Therapie nach Therapieart (Angabe in Tagen)

Tumorbezogene Therapien	Median	Minimum	Maximum
abwartende Strategie	19	0	344
Strahlentherapie	126	1	365
Systemische Therapie	33	0	347
Tumorspezifische Operation	62	0	362

Tab. 18.11. C61: Therapiekombinationen (Operation, Strahlentherapie, systemische Therapie) pro Diagnosejahr

Therapiekombination	2019	2020	2021	Summe	
				Anzahl	%
Alleinige tumorspezifische Operation	496	472	520	1488	33.4
Alleinige systemische Therapie	172	182	160	514	11.5
Alleinige Strahlentherapie	159	121	155	435	9.8
Alleinige abwartende Strategie	42	52	57	151	3.4
Tumorspezifische Operation und systemische Therapie	59	45	52	156	3.5
Tumorspezifische Operation und Strahlentherapie	93	62	53	208	4.7
Systemische Therapie und Strahlentherapie	141	125	139	405	9.1
Abwartende Strategie und danach systemische Therapie	0	2	1	3	0.1
Abwartende Strategie und danach Strahlentherapie	1	0	2	3	0.1
Abwartende Strategie und danach tumorspezifische Operation	2	1	5	8	0.2
Tumorspezifische Operation und systemische Therapie und Strahlentherapie	59	53	35	147	3.3
Abwartende Strategie und danach tumorspezifische Operation und Strahlentherapie	0	0	1	1	0.0
Abwartende Strategie und danach systemische Therapie und Strahlentherapie	0	1	0	1	0.0
Keine tumorspezifische Operation, systemische Therapie, Strahlentherapie oder abwartende Strategie	306	293	335	934	21.0
Summe	1530	1409	1515	4454	100.0

Tab. 18.12. C61: Therapiekombinationen (Operation, Strahlentherapie, systemische Therapie) in Abhängigkeit von dem UICC-Stadium

Therapiekombination	UICC				Stadium unbekannt	nicht anwendbar	Summe	
	I	II	III	IV			Anzahl	%
Alleinige tumorspezifische Operation	694	391	201	44	158	0	1488	33.4
Alleinige systemische Therapie	187	16	27	229	48	7	514	11.5
Alleinige Strahlentherapie	327	48	7	13	39	1	435	9.8
Alleinige abwartende Strategie	129	1	0	0	21	0	151	3.4
Tumorspezifische Operation und systemische Therapie	61	8	23	49	15	0	156	3.5
Tumorspezifische Operation und Strahlentherapie	78	19	65	28	17	1	208	4.7
Systemische Therapie und Strahlentherapie	177	57	54	88	29	0	405	9.1
Abwartende Strategie und danach systemische Therapie	1	0	0	1	1	0	3	0.1
Abwartende Strategie und danach Strahlentherapie	3	0	0	0	0	0	3	0.1
Abwartende Strategie und danach tumorspezifische Operation	6	2	0	0	0	0	8	0.2
Tumorspezifische Operation und systemische Therapie und Strahlentherapie	47	9	30	53	8	0	147	3.3
Abwartende Strategie und danach tumorspezifische Operation und Strahlentherapie	1	0	0	0	0	0	1	0.0
Abwartende Strategie und danach systemische Therapie und Strahlentherapie	0	1	0	0	0	0	1	0.0
Keine tumorspezifische Operation, systemische Therapie, Strahlentherapie oder abwartende Strategie	575	41	16	86	200	16	934	21.0
Summe	2286	593	423	591	536	25	4454	100.0

Tab. 18.13. C61: Stellung der Strahlentherapie zur operativen Therapie im ersten Jahr der Erkrankung (adjuvant/neoadjuvant)

Stellung der Strahlentherapie zur operativen Therapie	2019	2020	2021	Summe	
				Anzahl	%
Adjuvante (postoperative) Strahlentherapie	101	89	57	247	69.4
Therapie ohne Bezug zu einer operativen Therapie	44	24	25	93	26.1
Sonstige/Keine Angabe	7	2	7	16	4.5
Summe	152	115	89	356	100.0

Tab. 18.14. C61: Stellung der systemischen Therapie zur operativen Therapie im ersten Jahr der Erkrankung (adjuvant/neoadjuvant)

Stellung der systemischen Therapie zur operativen Therapie	2019	2020	2021	Summe	
				Anzahl	%
Therapie ohne Bezug zu einer operativen Therapie	42	37	32	111	36.6
Adjuvante (postoperative) Therapie	52	42	36	130	42.9
Neoadjuvante (präoperative) Therapie	22	18	18	58	19.1
Sonstige/Keine Angabe	2	1	1	4	1.3
Summe	118	98	87	303	100.0

Tab. 18.15. C61: Intention bei der ersten Operation

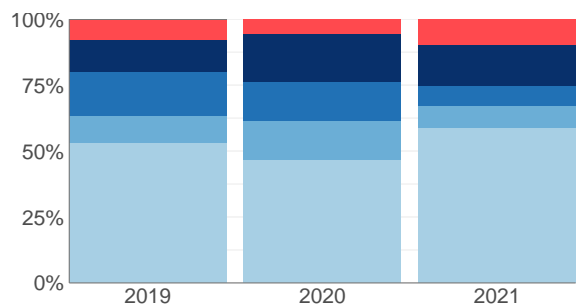
Intention der Operation	2019	2020	2021	Summe	
				Anzahl	%
Kurativ	595	535	571	1701	84.7
Palliativ bzw. symptomatisch	81	79	63	223	11.1
Diagnostisch	30	13	32	75	3.7
Sonstige/Unbekannt/Keine Angabe	3	6	0	9	0.4
Summe	709	633	666	2008	100.0

Tab. 18.16. C61: Intention bei der initialen Bestrahlung

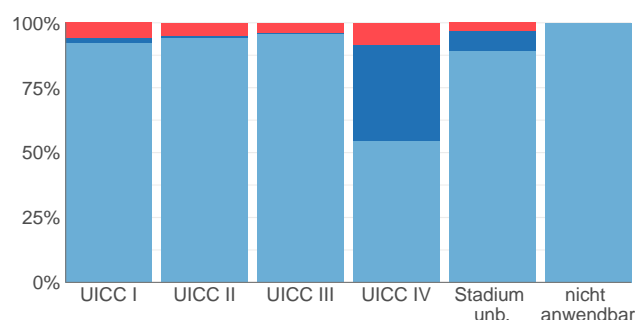
Intention der Bestrahlung	2019	2020	2021	Summe	
				Anzahl	%
Kurativ	397	312	334	1043	86.9
Palliativ bzw. symptomatisch	27	28	33	88	7.3
Sonstige/Unbekannt/Keine Angabe	29	22	18	69	5.8
Summe	453	362	385	1200	100.0

Tab. 18.17. C61: Intention bei der ersten systemischen Therapie

Intention der systemischen Therapie	2019	2020	2021	Summe	
				Anzahl	%
Palliativ bzw. symptomatisch	164	191	180	535	43.6
Kurativ	262	211	200	673	54.9
Sonstige/Unbekannt/Keine Angabe	5	6	7	18	1.5
Summe	431	408	387	1226	100.0



■ UICC I    ■ UICC III    ■ Stadium unbekannt nicht anwendbar  
■ UICC II    ■ UICC IV    ■ nicht anwendbar  
 © KR-MV 2023



■ Kurativ    ■ Palliativ bzw. symptomatisch    ■ Sonstige/Unb./k.A  
 © KR-MV 2023

Abb. 18.9. C61: Prozentuale Verteilung der UICC-Stadien bei allen in den Jahren 2019 bis 2021 bestrahlten Neuerkrankungen

Abb. 18.10. C61: Intention der ersten Bestrahlung nach UICC-Klassifikation

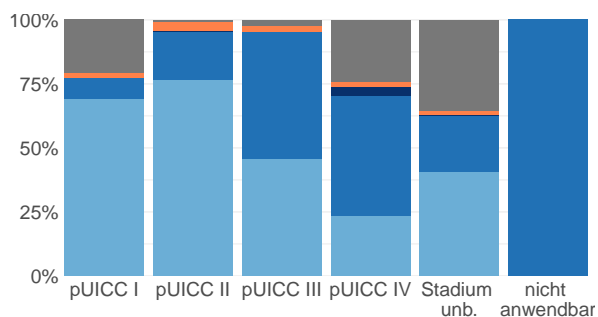
### 18.8.2 Dokumentierte tumorspezifische Operation bis max. 12 Monate nach Diagnosestellung

Tab. 18.18. C61: Dokumentierte tumorspezifische Operation nach UICC

Operation	UICC I	UICC II	UICC III	UICC IV	Stadium unbekannt	nicht anwendbar	Summe	
							Anzahl	%
5-604: Radikale Prostatovesikulektomie	531	375	292	119	125	1	1443	71.9
5-601: Transurethrale Exzision und Destruktion von Prostatagewebe	290	8	11	46	68	0	423	21.1
5-576: Zystektomie	57	46	15	9	5	0	132	6.6
5-603: Exzision und Destruktion von Prostatagewebe	9	0	1	0	0	0	10	0.5
Summe	887	429	319	174	198	1	2008	100.0

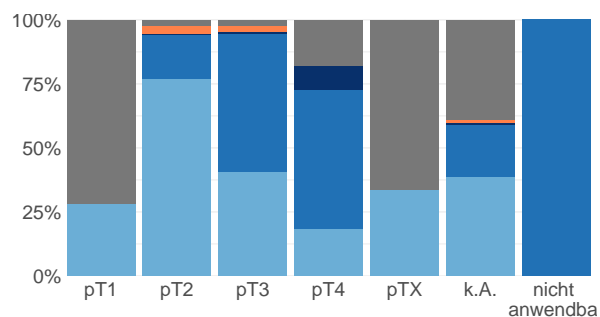
Tab. 18.19. C61: Residualklassifikation nach Tumorresektion bei Neuerkrankungen in den UICC-Stadien I-IV

R-Klassifikation	UICC I	UICC II	UICC III	UICC IV	Stadium unbekannt	nicht anwendbar	Summe	
							Anzahl	%
R0 (kein Residualtumor)	410	311	140	42	85	0	988	49.2
R1 (mikroskopischer Residualtumor)	162	93	157	77	42	1	532	26.5
R2 (makroskopischer Residualtumor)	3	1	3	6	0	0	13	0.6
RX (Vorhandensein eines Residualtumors kann nicht beurteilt werden)	13	16	7	3	3	0	42	2.1
keine R-Klassifikation zu erwarten	299	8	12	46	68	0	433	21.6
<b>Summe</b>	<b>887</b>	<b>429</b>	<b>319</b>	<b>174</b>	<b>198</b>	<b>1</b>	<b>2008</b>	<b>100.0</b>



■ R0
 ■ R1
 ■ R2
 ■ RX
 ■ keine R-Klassifikation zu erwarten

© KR-MV 2023



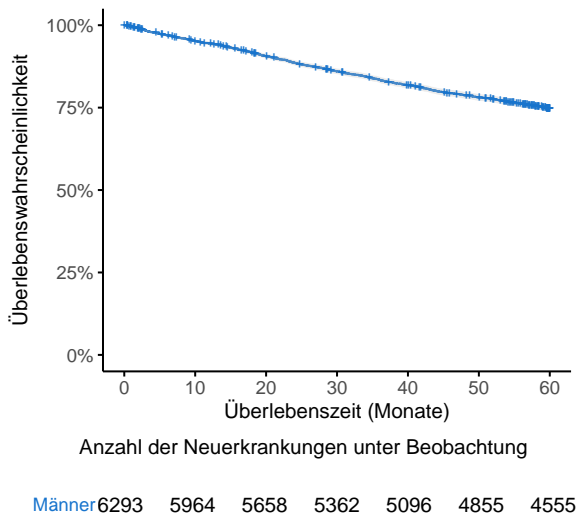
■ R0
 ■ R1
 ■ R2
 ■ RX
 ■ keine R-Klassifikation zu erwarten

© KR-MV 2023

Abb. 18.11. C61: R-Klassifikation nach tumorspezifischer Resektion bei Neuerkrankungen in pUICC Stadien I-IV

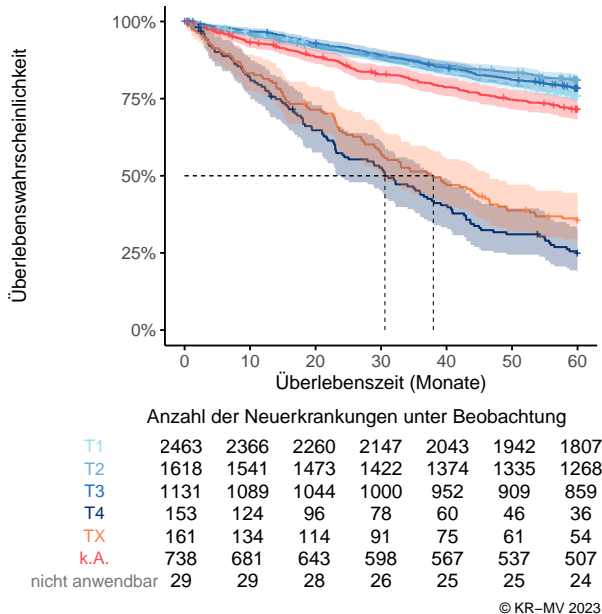
Abb. 18.12. C61: R-Klassifikation nach tumorspezifischer Resektion bei Neuerkrankungen mit Tumoren unterschiedlicher pT-Kategorie

## 18.9 Überlebensanalysen (Kaplan-Meier) bei den in den Jahren 2013-2017 primär diagnostizierten Patienten (Wohnort und Behandlung in M-V)



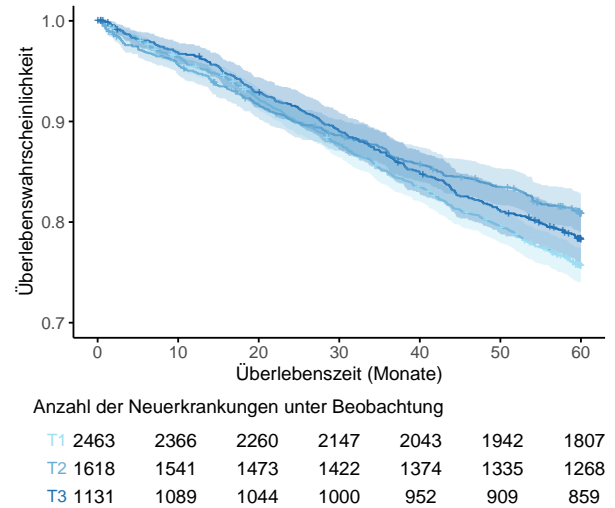
© KR-MV 2023

Abb. 18.13. C61: Wahrscheinlichkeit des Überlebens (Kaplan-Meier) nach Geschlecht bei Diagnosestellung in den Jahren 2013-2017.\*



© KR-MV 2023

Abb. 18.14. C61: Wahrscheinlichkeit des Überlebens (Kaplan-Meier) nach Tumorgroße bei Diagnosestellung in den Jahren 2013-2017.\*



© KR-MV 2023

Abb. 18.15. C61: Wahrscheinlichkeit des Überlebens (Kaplan-Meier) nach Tumorgroße (T1-T3) bei Diagnosestellung in den Jahren 2013-2017.\*

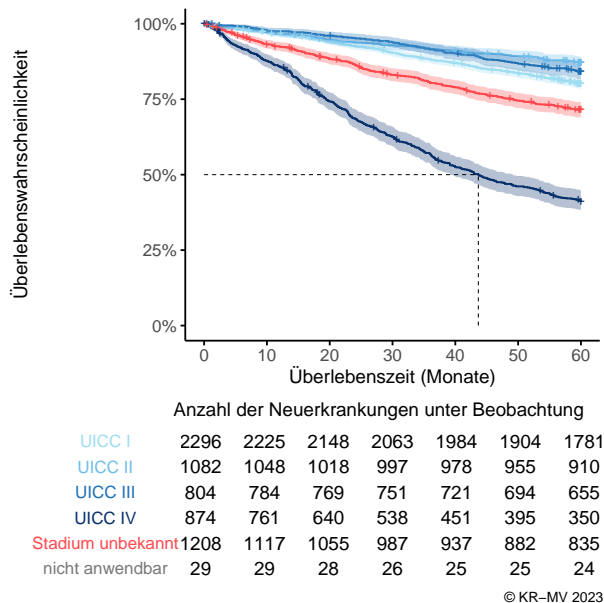


Abb. 18.16. C61: Wahrscheinlichkeit des Überlebens (Kaplan-Meier) nach UICC bei Diagnosestellung in den Jahren 2013-2017.\*

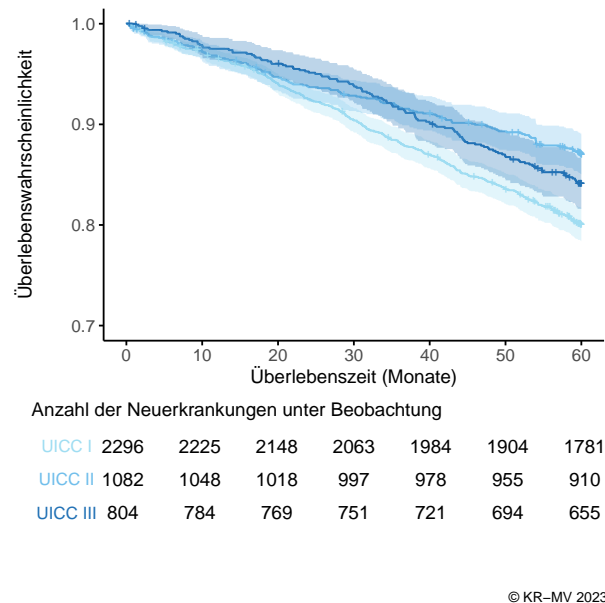


Abb. 18.17. C61: Wahrscheinlichkeit des Überlebens (Kaplan-Meier) nach UICC I-III bei Diagnosestellung in den Jahren 2013-2017.\*

\*Die 50%-Überlebensraten sind dort, wo sie bestimmbar sind, graphisch dargestellt. Zusätzlich erfolgt pro Überlebenskurve die Darstellung des 95%-Konfidenzintervalls. Kaplan-Meier Kurven werden für Kategorien mit weniger als 30 Neuerkrankungen nicht dargestellt.

# 19 Niere C64

## 19.1 Consort-Statement: Darstellung der Auswertepopulation

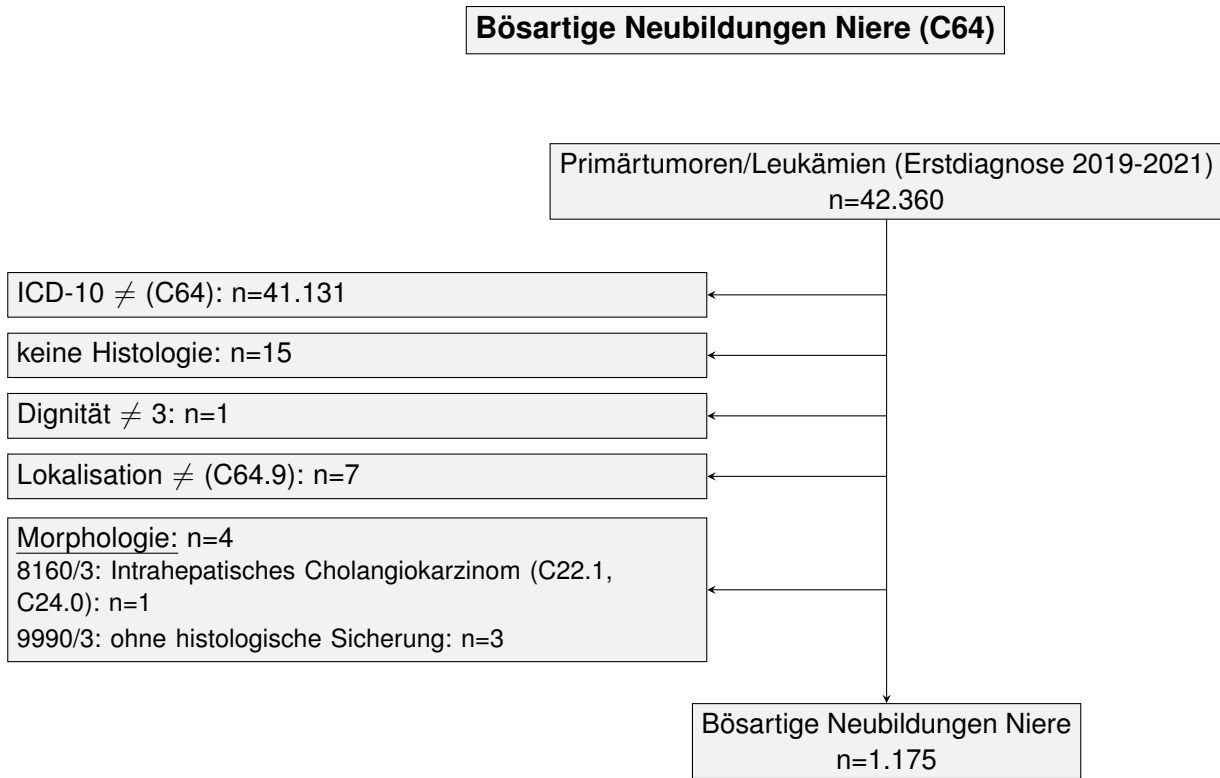


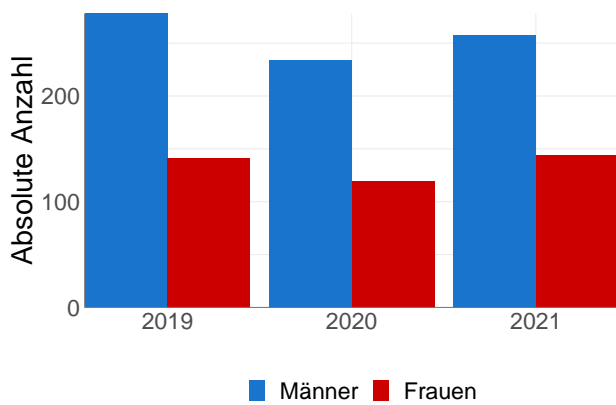
Abb. 19.1. Consort zu den bösartigen Neubildungen der Niere

Hinweis: N=27 Neuerkrankungen (ICD-10: C64) mit den Histologien 8050/3, 8070/3, 8071/3, 8120/3 oder 8130/3 wurden zu den Nierenbeckenkarzinomen C65 bzw. den Harnblasenkarzinomen C67 umgruppiert.

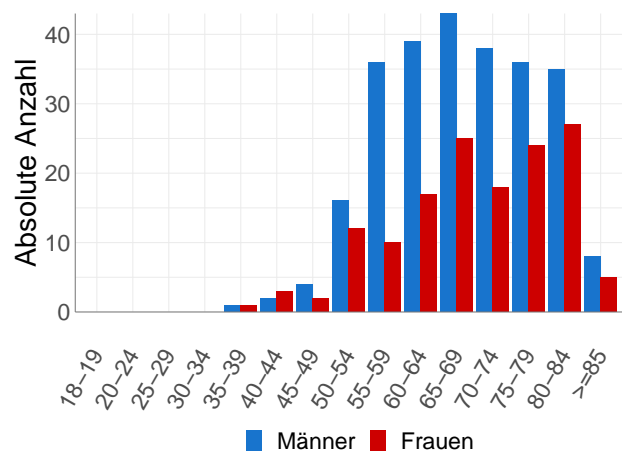
## 19.2 Absolute Anzahl der erfassten Neuerkrankungen in M-V in den Jahren 2019-2021 nach Geschlecht und Alter

Tab. 19.1. C64: Absolute Anzahl der Neuerkrankungen nach Geschlecht

Geschlecht	Männer		Frauen		Summe
	Anzahl	%	Anzahl	%	
2019	278	66.3	141	33.7	419
2020	234	66.1	120	33.9	354
2021	258	64.2	144	35.8	402
Summe	770	65.5	405	34.5	1175



© KR-MV 2023



© KR-MV 2023

Abb. 19.2. C64: Absolute Anzahl der Neuerkrankungen nach Geschlecht

Abb. 19.3. C64: Absolute Anzahl der Neuerkrankungen aufgelistet in 5-Jahres-Altersgruppen und nach Geschlecht für das Diagnosejahr 2021

Tab. 19.2. C64: Erkrankungsalter

Diagnosejahre	Männer				Frauen			
	Anzahl	Median	Minimum	Maximum	Anzahl	Median	Minimum	Maximum
2019	278	66	28	94	141	71	38	92
2020	234	66	30	92	120	70	25	93
2021	258	68	35	89	144	70	38	90

### 19.3 Absolute Anzahl der erfassten Neuerkrankungen in M-V in den Jahren 2019-2021 nach Lokalisation

Tab. 19.3. C64: Absolute Anzahl und prozentualer Anteil der Neuerkrankungen nach der Lokalisation

Lokalisationen	2019	2020	2021	Summe	
				Anzahl	%
Niere (ICD-O: C64.9)	296	291	391	978	83.2
Oberes Drittel (einschl. oberer Pol) (ICD-O: C64.91)	47	16	1	64	5.4
Mittleres Drittel (ICD-O: C64.92)	33	27	10	70	6.0
Unteres Drittel (einschl. unterer Pol) (ICD-O: C64.93)	43	20	0	63	5.4
Summe	419	354	402	1175	100.0

## 19.4 Histologische Befunde bei allen neuerkrankten Patienten in M-V in den Jahren 2019-2021

Tab. 19.4. C64: Histologische Befunde bei neuerkrankten Patienten

	2019		2020		2021	
	Anzahl	%	Anzahl	%	Anzahl	%
8140/3: Adenokarzinom o.n.A.	3	0.7	0	0.0	1	0.2
8260/3: Papilläres Adenokarzinom o.n.A.	43	10.3	26	7.3	49	12.2
8270/3: Chromophobes Karzinom	4	1.0	1	0.3	0	0.0
8290/3: Oxyphiles Adenokarzinom	0	0.0	0	0.0	1	0.2
8310/3: Klarzelliges Adenokarzinom o.n.A.	272	64.9	212	59.9	205	51.0
8312/3: Nierenzellkarzinom o.n.A.	58	13.8	81	22.9	106	26.4
8316/3: Zystenassoziertes Nierenzellkarzinom	3	0.7	2	0.6	0	0.0
8317/3: Nierenzellkarzinom vom chromophoben Zelltyp	7	1.7	10	2.8	18	4.5
8318/3: Sarkomatoides Nierenzellkarzinom	3	0.7	1	0.3	1	0.2
8319/3: Sammelrohrkarzinom	1	0.2	0	0.0	0	0.0
8323/3: Gemischtzelliges Adenokarzinom	1	0.2	0	0.0	0	0.0
8480/3: Muzinöses Adenokarzinom	0	0.0	1	0.3	0	0.0
<b>Karzinome der Niere (des Nierenparenchyms)</b>	<b>395</b>	<b>94.3</b>	<b>334</b>	<b>94.4</b>	<b>381</b>	<b>94.8</b>
8010/3: Karzinom o.n.A.	4	1.0	2	0.6	9	2.2
8020/3: Undifferenziertes Karzinom o.n.A.	1	0.2	0	0.0	0	0.0
8022/3: Pleomorphes Karzinom	1	0.2	0	0.0	0	0.0
8032/3: Spindelzellkarzinom o.n.A.	0	0.0	1	0.3	0	0.0
8041/3: Kleinzelliges Karzinom o.n.A.	0	0.0	0	0.0	1	0.2
<b>Epitheliale Neoplasien o.n.A.</b>	<b>6</b>	<b>1.4</b>	<b>3</b>	<b>0.8</b>	<b>10</b>	<b>2.5</b>
8000/3: Maligne Neoplasie	14	3.3	11	3.1	10	2.5
8005/3: Klarzelliger maligner Tumor	1	0.2	0	0.0	0	0.0
<b>Nicht näher bezeichnete maligne Neoplasien</b>	<b>15</b>	<b>3.6</b>	<b>11</b>	<b>3.1</b>	<b>10</b>	<b>2.5</b>
8714/3: Maligner perivaskulärer Epitheloidtumor	1	0.2	0	0.0	0	0.0
8800/3: Sarkom o.n.A.	0	0.0	1	0.3	0	0.0
8850/3: Liposarkom o.n.A.	2	0.5	0	0.0	0	0.0
8851/3: Gut differenziertes Liposarkom o.n.A.	0	0.0	1	0.3	1	0.2
9120/3: Hämangiosarkom	0	0.0	1	0.3	0	0.0
<b>Sarkome</b>	<b>3</b>	<b>0.7</b>	<b>3</b>	<b>0.8</b>	<b>1</b>	<b>0.2</b>
8959/3: Malignes zystisches Nephrom	0	0.0	1	0.3	0	0.0
8960/3: Nephroblastom o.n.A.	0	0.0	1	0.3	0	0.0
<b>Andere näher bezeichnete maligne Neoplasien</b>	<b>0</b>	<b>0.0</b>	<b>2</b>	<b>0.6</b>	<b>0</b>	<b>0.0</b>
8240/3: Neuroendokriner Tumor o.n.A.	0	0.0	1	0.3	0	0.0
<b>NET/NEC</b>	<b>0</b>	<b>0.0</b>	<b>1</b>	<b>0.3</b>	<b>0</b>	<b>0.0</b>
<b>Summe</b>	<b>419</b>	<b>100.0</b>	<b>354</b>	<b>100.0</b>	<b>402</b>	<b>100.0</b>

## 19.5 Tumorgröße und Ausdehnung (TNM)

Tab. 19.5. C64: Absolute Anzahl der Neuerkrankungen klassifiziert nach der Tumorgröße

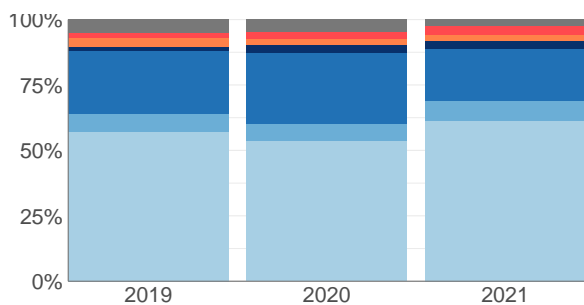
Tumorgröße (T)	2019		2020		2021		Summe	
	Anzahl	%	Anzahl	%	Anzahl	%	Anzahl	%
T1	239	57.0	189	53.4	246	61.2	674	57.4
T2	28	6.7	24	6.8	30	7.5	82	7.0
T3	101	24.1	96	27.1	81	20.1	278	23.7
T4	7	1.7	10	2.8	12	3.0	29	2.5
TX	14	3.3	9	2.5	9	2.2	32	2.7
k.A.	8	1.9	9	2.5	13	3.2	30	2.6
TNM nicht anwendbar	22	5.3	17	4.8	11	2.7	50	4.3
<b>Summe</b>	<b>419</b>	<b>100.0</b>	<b>354</b>	<b>100.0</b>	<b>402</b>	<b>100.0</b>	<b>1175</b>	<b>100.0</b>

Tab. 19.6. C64: Absolute Anzahl der Neuerkrankungen mit bzw. ohne Befall der regionären Lymphknoten

N-Kategorie	2019		2020		2021		Summe	
	Anzahl	%	Anzahl	%	Anzahl	%	Anzahl	%
N0	334	79.7	288	81.4	322	80.1	944	80.3
N1	31	7.4	25	7.1	21	5.2	77	6.6
NX	17	4.1	13	3.7	25	6.2	55	4.7
k.A.	15	3.6	11	3.1	23	5.7	49	4.2
TNM nicht anwendbar	22	5.3	17	4.8	11	2.7	50	4.3
Summe	419	100.0	354	100.0	402	100.0	1175	100.0

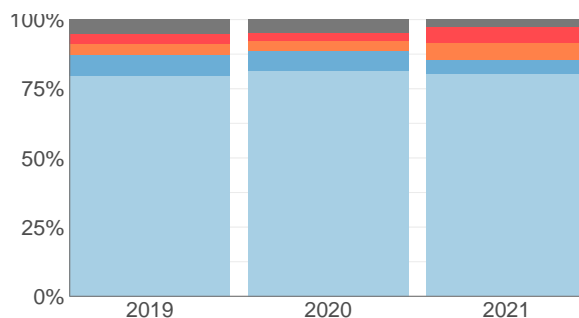
Tab. 19.7. C64: Absolute Anzahl der Neuerkrankungen mit Fernmetastasierung

M-Kategorie	2019		2020		2021		Summe	
	Anzahl	%	Anzahl	%	Anzahl	%	Anzahl	%
M0	317	75.7	275	77.7	297	73.9	889	75.7
M1	58	13.8	47	13.3	57	14.2	162	13.8
MX/k.A.	22	5.3	15	4.2	37	9.2	74	6.3
TNM nicht anwendbar	22	5.3	17	4.8	11	2.7	50	4.3
Summe	419	100.0	354	100.0	402	100.0	1175	100.0



■ T1 ■ T3 ■ TX ■ TNM nicht anwendbar  
■ T2 ■ T4 ■ k.A.

© KR-MV 2023



■ N0 ■ N1 ■ NX ■ k.A. ■ TNM nicht anwendb.

© KR-MV 2023

Abb. 19.4. C64: Prozentualer Anteil der Neuerkrankungen nach Tumorgöße im Diagnosezeitraum 2019 bis 2021

Abb. 19.5. C64: Prozentualer Anteil der Neuerkrankungen mit bzw. ohne Befall der regionären Lymphknoten im Diagnosezeitraum 2019 bis 2021

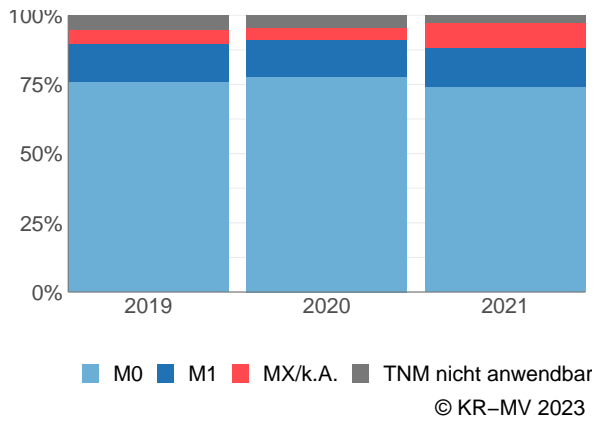


Abb. 19.6. C64: Prozentualer Anteil der Neuerkrankungen mit bzw. ohne primäre Fernmetastasierung im Diagnosezeitraum 2019 bis 2021

## 19.6 Primäre Tumorstadien nach UICC

Tab. 19.8. C64: Primäre UICC-Stadien

Diagnose- jahre	UICC I		UICC II		UICC III		UICC IV		Stadium unbekannt		nicht anwendbar*		Summe
	Anzahl	%	Anzahl	%	Anzahl	%	Anzahl	%	Anzahl	%	Anzahl	%	
2019	214	51.1	17	4.1	77	18.4	61	14.6	28	6.7	22	5.3	419
2020	174	49.2	19	5.4	76	21.5	49	13.8	19	5.4	17	4.8	354
2021	213	53.0	23	5.7	54	13.4	59	14.7	42	10.4	11	2.7	402
Summe	601	51.1	59	5.0	207	17.6	169	14.4	89	7.6	50	4.3	1175

\* Für diese Neuerkrankungen war es nicht möglich eine TNM-Angabe (TNM Auflage 8) anzugeben.

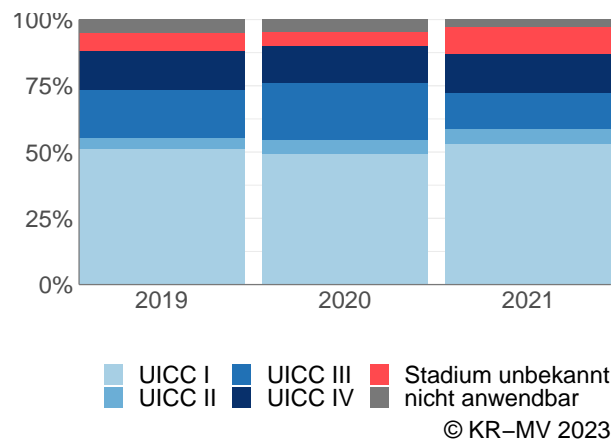
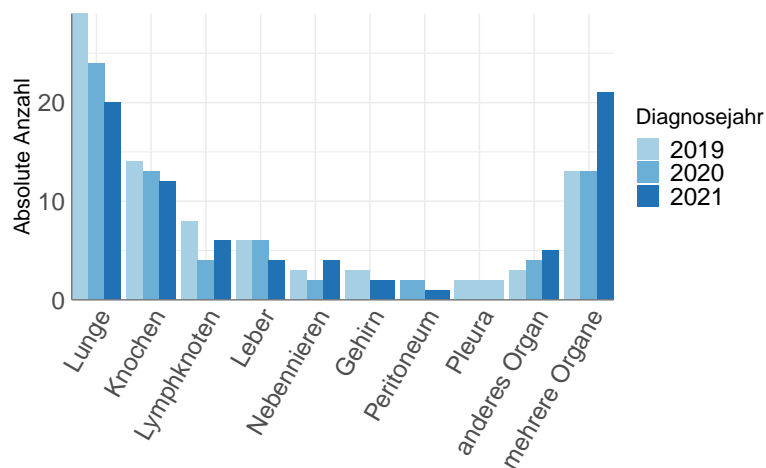


Abb. 19.7. C64: Prozentuale Anteile der primären UICC-Tumorstadien in den Diagnosejahren 2019 bis 2021

## 19.7 Lokalisation der primären Fernmetastasen



© KR-MV 2023

Abb. 19.8. C64: Lokalisation der primären Fernmetastasen bei Neuerkrankungen im Diagnosezeitraum 2019 bis 2021

## 19.8 Dokumentierte Therapie bis max. 12 Monate nach Diagnosestellung

### 19.8.1 Therapiekombinationen, Stellung der Therapie und Intention der dokumentierten Therapien

Tab. 19.9. C64: Häufigkeit der tumorbezogenen Therapien

Tumorbezogene Therapien	2019	2020	2021	Summe	
				Anzahl	%
Tumorspezifische Operation	352	301	324	977	76.6
Systemische Therapie	41	48	45	134	10.5
Strahlentherapie	13	16	15	44	3.4
Keine Therapie gemeldet	47	26	48	121	9.5
Summe	453	391	432	1276	100.0

Tab. 19.10. C64: Zeitraum zwischen Diagnose und Beginn der ersten Therapie nach Therapieart (Angabe in Tagen)

Tumorbezogene Therapien	Median	Minimum	Maximum
Strahlentherapie	66	12	349
Systemische Therapie	55	0	359
Tumorspezifische Operation	0	0	307

Tab. 19.11. C64: Therapiekombinationen (Operation, Strahlentherapie, systemische Therapie) pro Diagnosejahr

Therapiekombination	2019	2020	2021	Summe	
				Anzahl	%
Alleinige tumorspezifische Operation	327	276	303	906	77.1
Alleinige systemische Therapie	12	17	21	50	4.3
Alleinige Strahlentherapie	4	4	3	11	0.9
Tumorspezifische Operation und systemische Therapie	20	19	15	54	4.6
Tumorspezifische Operation und Strahlentherapie	0	0	3	3	0.3
Systemische Therapie und Strahlentherapie	4	6	6	16	1.4
Tumorspezifische Operation und systemische Therapie und Strahlentherapie	5	6	3	14	1.2
Keine tumorspezifische Operation, systemische Therapie oder Strahlentherapie	47	26	48	121	10.3
Summe	419	354	402	1175	100.0

Tab. 19.12. C64: Therapiekombinationen (Operation, Strahlentherapie, systemische Therapie) in Abhängigkeit von dem UICC-Stadium

Therapiekombination	UICC				Stadium unbekannt	nicht anwendbar	Summe	
	I	II	III	IV			Anzahl	%
Alleinige tumorspezifische Operation	567	53	185	38	52	11	906	77.1
Alleinige systemische Therapie	1	0	0	41	6	2	50	4.3
Alleinige Strahlentherapie	0	0	0	9	2	0	11	0.9
Tumorspezifische Operation und systemische Therapie	4	1	15	26	5	3	54	4.6
Tumorspezifische Operation und Strahlentherapie	0	0	2	1	0	0	3	0.3
Systemische Therapie und Strahlentherapie	0	0	0	14	1	1	16	1.4
Tumorspezifische Operation und systemische Therapie und Strahlentherapie	0	0	1	11	1	1	14	1.2
Keine tumorspezifische Operation, systemische Therapie oder Strahlentherapie	29	5	4	29	22	32	121	10.3
Summe	601	59	207	169	89	50	1175	100.0

Tab. 19.13. C64: Stellung der Strahlentherapie zur operativen Therapie im ersten Jahr der Erkrankung (adjuvant/neoadjuvant)

Stellung der Strahlentherapie zur operativen Therapie	2019	2020	2021	Summe	
				Anzahl	%
Neoadjuvante (präoperative) Strahlentherapie	0	0	1	1	5.9
Adjuvante (postoperative) Strahlentherapie	1	3	3	7	41.2
Therapie ohne Bezug zu einer operativen Therapie	4	3	2	9	52.9
Summe	5	6	6	17	100.0

Tab. 19.14. C64: Stellung der systemischen Therapie zur operativen Therapie im ersten Jahr der Erkrankung (adjuvant/neoadjuvant)

Stellung der systemischen Therapie zur operativen Therapie	2019	2020	2021	Summe	
				Anzahl	%
Therapie ohne Bezug zu einer operativen Therapie	10	9	13	32	47.1
Adjuvante (postoperative) Therapie	14	15	4	33	48.5
Neoadjuvante (präoperative) Therapie	1	0	1	2	2.9
Sonstige/Keine Angabe	0	1	0	1	1.5
Summe	25	25	18	68	100.0

Tab. 19.15. C64: Intention bei der ersten Operation

Intention der Operation	2019	2020	2021	Summe	
				Anzahl	%
Kurativ	341	287	315	943	96.5
Palliativ bzw. symptomatisch	11	12	8	31	3.2
Sonstige/Unbekannt/Keine Angabe	0	2	1	3	0.3
Summe	352	301	324	977	100.0

Tab. 19.16. C64: Intention bei der initialen Bestrahlung

Intention der Bestrahlung	2019	2020	2021	Summe	
				Anzahl	%
Palliativ bzw. symptomatisch	12	15	14	41	93.2
Kurativ	1	1	1	3	6.8
Summe	13	16	15	44	100.0

Tab. 19.17. C64: Intention bei der ersten systemischen Therapie

Intention der systemischen Therapie	2019	2020	2021	Summe	
				Anzahl	%
Palliativ bzw. symptomatisch	32	38	40	110	82.1
Kurativ	5	9	5	19	14.2
Sonstige/Unbekannt/Keine Angabe	4	1	0	5	3.7
Summe	41	48	45	134	100.0

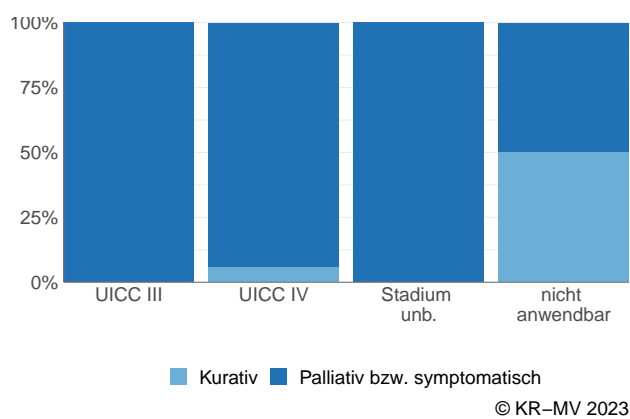
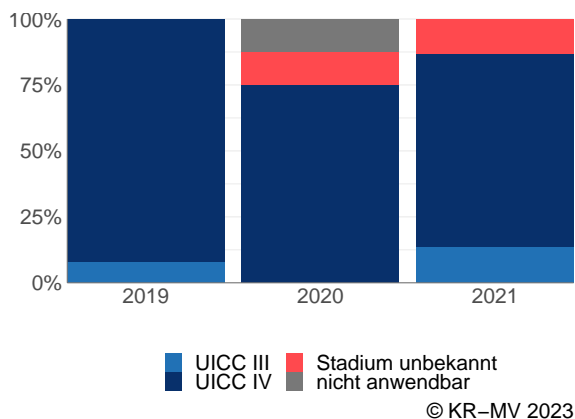


Abb. 19.9. C64: Prozentuale Verteilung der UICC-Stadien bei allen in den Jahren 2019 bis 2021 bestrahlten Neuerkrankungen

Abb. 19.10. C64: Intention der ersten Bestrahlung nach UICC-Klassifikation

### 19.8.2 Dokumentierte tumorspezifische Operation bis max. 12 Monate nach Diagnosestellung

Tab. 19.18. C64: Dokumentierte tumorspezifische Operation nach UICC

Operation	UICC I	UICC II	UICC III	UICC IV	Stadium unbekannt	nicht anwendbar	Summe	
							Anzahl	%
5-554: Nephrektomie	191	45	175	64	27	9	511	52.3
5-553: Partielle Resektion der Niere	282	8	20	6	26	5	347	35.5
5-552: Exzision und Destruktion von (erkranktem) Gewebe der Niere	98	1	8	6	5	1	119	12.2
Summe	571	54	203	76	58	15	977	100.0

Tab. 19.19. C64: Residualklassifikation nach Tumorresektion bei Neuerkrankungen in den UICC-Stadien I-IV

R-Klassifikation	UICC I	UICC II	UICC III	UICC IV	Stadium unbekannt	nicht anwendbar	Summe	
							Anzahl	%
R0 (kein Residualtumor)	499	52	178	55	46	7	837	85.7
R1 (mikroskopischer Residualtumor)	11	0	8	10	2	3	34	3.5
R2 (makroskopischer Residualtumor)	0	1	3	6	0	0	10	1.0
RX (Vorhandensein eines Residualtumors kann nicht beurteilt werden)	11	1	11	2	9	4	38	3.9
keine Angabe	1	0	0	0	0	0	1	0.1
keine R-Klassifikation zu erwarten	49	0	3	3	1	1	57	5.8
Summe	571	54	203	76	58	15	977	100.0

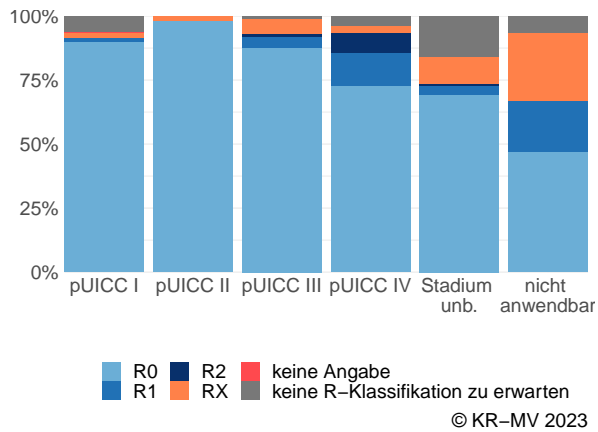


Abb. 19.11. C64: R-Klassifikation nach tumorspezifischer Resektion bei Neuerkrankungen in pUICC Stadien I-IV

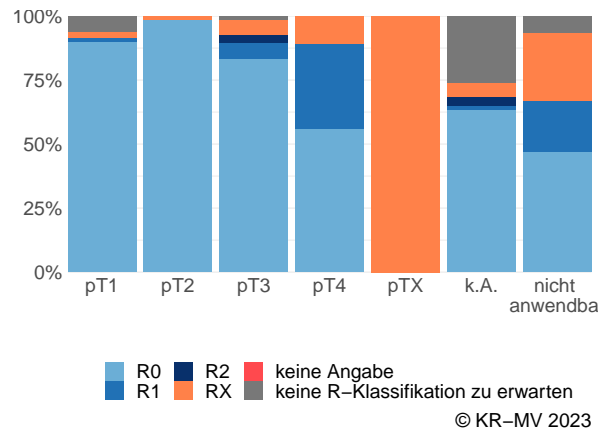


Abb. 19.12. C64: R-Klassifikation nach tumorspezifischer Resektion bei Neuerkrankungen mit Tumoren unterschiedlicher pT-Kategorie

### 19.9 Überlebensanalysen (Kaplan-Meier) bei den in den Jahren 2013-2017 primär diagnostizierten Patienten (Wohnort und Behandlung in M-V)

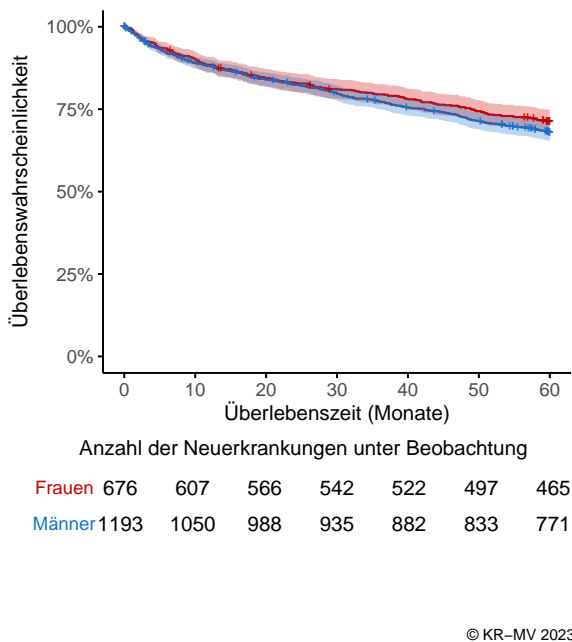


Abb. 19.13. C64: Wahrscheinlichkeit des Überlebens (Kaplan-Meier) nach Geschlecht bei Diagnosestellung in den Jahren 2013-2017.\*

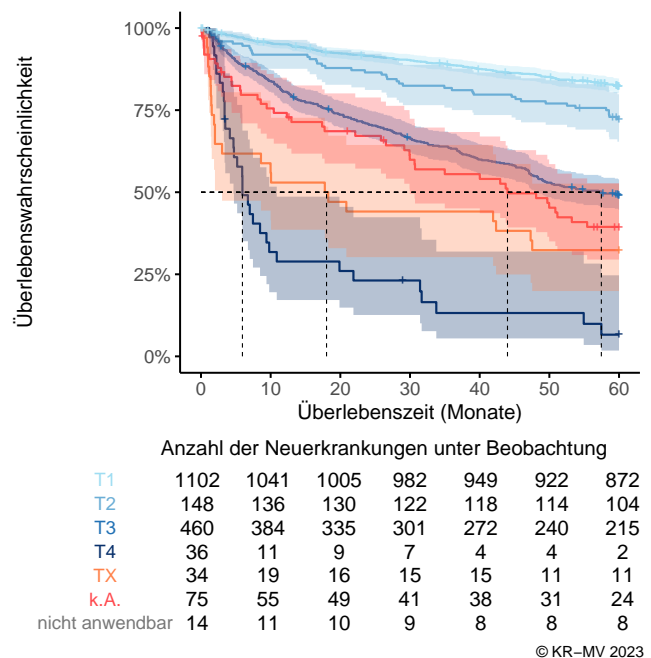
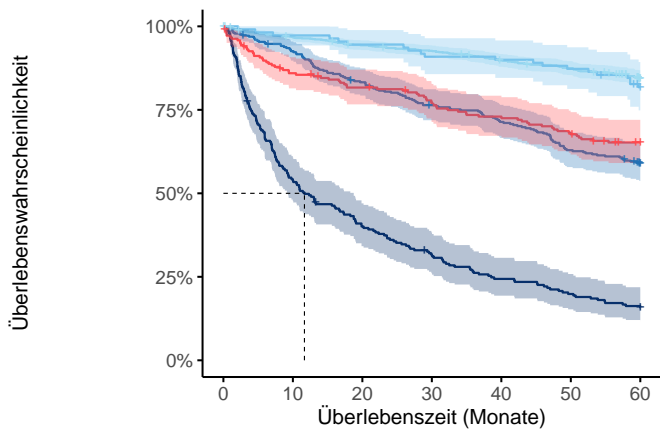


Abb. 19.14. C64: Wahrscheinlichkeit des Überlebens (Kaplan-Meier) nach Tumorgroße bei Diagnosestellung in den Jahren 2013-2017.\*



	Anzahl der Neuerkrankungen unter Beobachtung						
UICC I	977	937	912	895	864	841	794
UICC II	110	107	104	100	99	96	87
UICC III	324	298	267	244	228	201	183
UICC IV	228	122	90	70	54	44	35
Stadium unbekannt	216	182	171	159	151	140	129
nicht anwendbar	14	11	10	9	8	8	8

© KR-MV 2023

Abb. 19.15. C64: Wahrscheinlichkeit des Überlebens (Kaplan-Meier) nach UICC bei Diagnosestellung in den Jahren 2013-2017.\*

\*Die 50%-Überlebensraten sind dort, wo sie bestimmbar sind, graphisch dargestellt. Zusätzlich erfolgt pro Überlebenskurve die Darstellung des 95%-Konfidenzintervalls. Kaplan-Meier Kurven werden für Kategorien mit weniger als 30 Neuerkrankungen nicht dargestellt.

# 20 Harnblase C67

## 20.1 Consort-Statement: Darstellung der Auswertepopulation

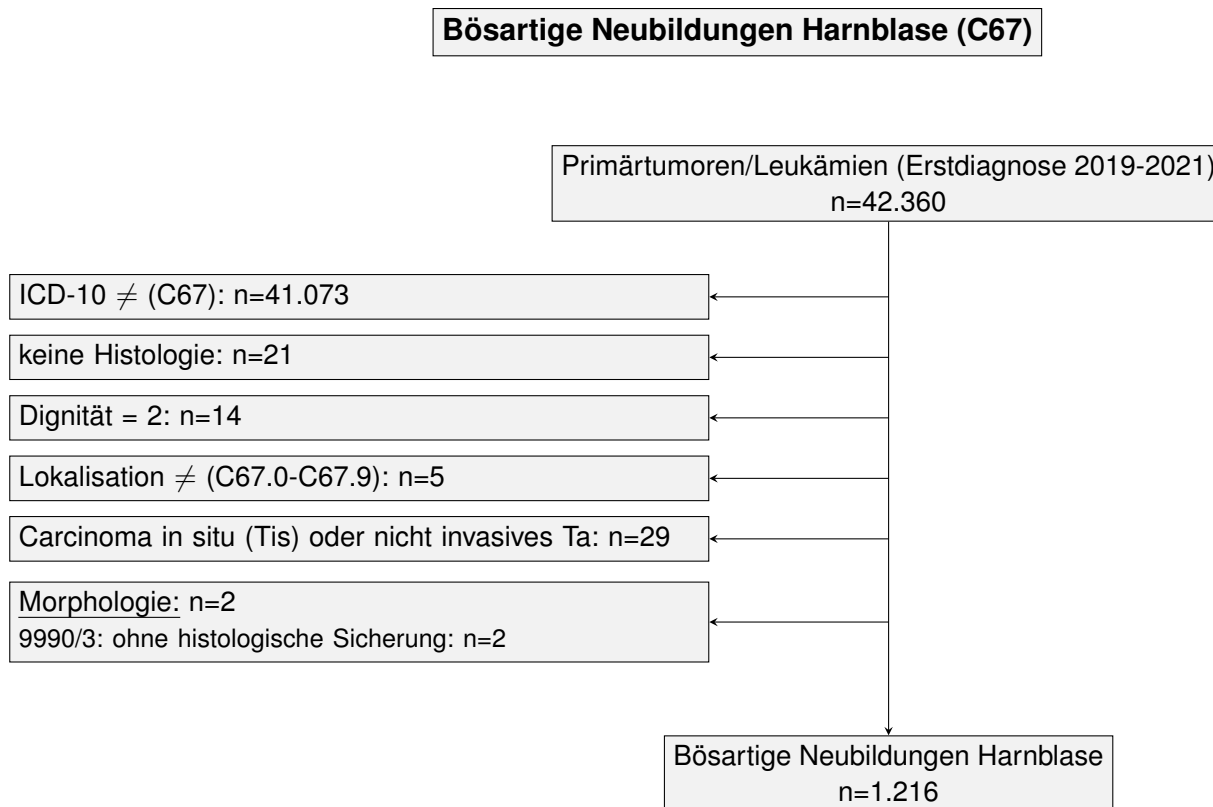
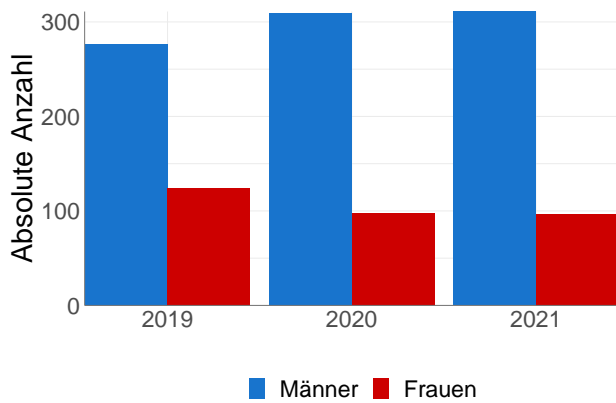


Abb. 20.1. Consort zu den bösartigen Neubildungen der Harnblase

## 20.2 Absolute Anzahl der erfassten Neuerkrankungen in M-V in den Jahren 2019-2021 nach Geschlecht und Alter

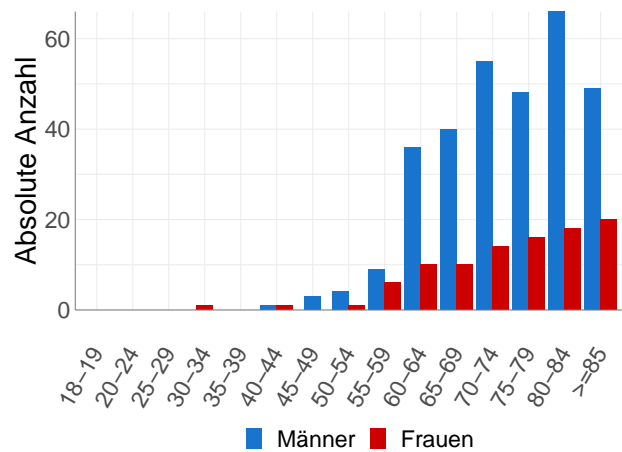
Tab. 20.1. C67: Absolute Anzahl der Neuerkrankungen nach Geschlecht

Geschlecht	Männer		Frauen		Summe
	Anzahl	%	Anzahl	%	
2019	277	69.1	124	30.9	401
2020	309	75.9	98	24.1	407
2021	311	76.2	97	23.8	408
Summe	897	73.8	319	26.2	1216



© KR-MV 2023

Abb. 20.2. C67: Absolute Anzahl der Neuerkrankungen nach Geschlecht



© KR-MV 2023

Abb. 20.3. C67: Absolute Anzahl der Neuerkrankungen aufgelistet in 5-Jahres-Altersgruppen und nach Geschlecht für das Diagnosejahr 2021

Tab. 20.2. C67: Erkrankungsalter

Diagnosejahre	Männer				Frauen			
	Anzahl	Median	Minimum	Maximum	Anzahl	Median	Minimum	Maximum
2019	277	74	36	98	124	78	32	97
2020	309	74	19	94	98	75	44	97
2021	311	76	41	99	97	78	33	93

### 20.3 Absolute Anzahl der erfassten Neuerkrankungen in M-V in den Jahren 2019-2021 nach Lokalisation

Tab. 20.3. C67: Absolute Anzahl und prozentualer Anteil der Neuerkrankungen nach der Lokalisation

Lokalisationen	2019	2020	2021	Summe	
				Anzahl	%
Trigonum vesicae (ICD-O: C67.0)	19	19	6	44	3.6
Fundus (ICD-O: C67.1)	6	5	5	16	1.3
Laterale Blasenwand (ICD-O: C67.2)	111	109	138	358	29.4
Vordere Blasenwand (ICD-O: C67.3)	17	13	13	43	3.5
Hintere Blasenwand (ICD-O: C67.4)	28	24	22	74	6.1
Blasenhals (ICD-O: C67.5)	11	4	6	21	1.7
Ureterostien (ICD-O: C67.6)	20	11	8	39	3.2
Urachus (ICD-O: C67.7)	1	1	1	3	0.2
Harnblase (mehrere Teilbereiche überlappend) (ICD-O: C67.8)	77	120	126	323	26.5
Harnblase o.n.A. (ICD-O: C67.9)	113	101	83	297	24.4
Summe	403	407	408	1218	100.0

## 20.4 Histologische Befunde bei allen neuerkrankten Patienten in M-V in den Jahren 2019-2021

Tab. 20.4. C67: Histologische Befunde bei neuerkrankten Patienten

	2019		2020		2021	
	Anzahl	%	Anzahl	%	Anzahl	%
8050/3: Papilläres Karzinom o.n.A.	4	1.0	0	0.0	1	0.2
8070/3: Plattenepithelkarzinom o.n.A.	5	1.2	10	2.5	9	2.2
8071/3: Verhornendes Plattenepithelkarzinom o.n.A.	8	2.0	13	3.2	2	0.5
8072/3: Großzelliges nichtverhornendes Plattenepithelkarzinom o.n.A.	0	0.0	1	0.2	0	0.0
8082/3: Lymphoepitheliales Karzinom	0	0.0	0	0.0	1	0.2
8120/3: Übergangszellkarzinom o.n.A.	291	72.6	283	69.5	291	71.3
8122/3: Sarkomatoides Urothelkarzinom	3	0.7	2	0.5	3	0.7
8130/3: Papilläres Urothelkarzinom	64	16.0	72	17.7	70	17.2
8131/3: Mikropapilläres Urothelkarzinom	4	1.0	2	0.5	0	0.0
<b>Übergangsepithel- und Plattenepithelkarzinome</b>	<b>379</b>	<b>94.5</b>	<b>383</b>	<b>94.1</b>	<b>377</b>	<b>92.4</b>
8010/3: Karzinom o.n.A.	1	0.2	1	0.2	7	1.7
8020/3: Undifferenziertes Karzinom o.n.A.	3	0.7	5	1.2	1	0.2
8033/3: Pseudosarkomatöses Karzinom	1	0.2	0	0.0	1	0.2
8041/3: Kleinzelliges Karzinom o.n.A.	3	0.7	5	1.2	9	2.2
<b>Karzinome o.n.A.</b>	<b>8</b>	<b>2.0</b>	<b>11</b>	<b>2.7</b>	<b>18</b>	<b>4.4</b>
8140/3: Adenokarzinom o.n.A.	4	1.0	2	0.5	6	1.5
8145/3: Diffuses Karzinom	1	0.2	0	0.0	0	0.0
8210/3: Adenokarzinom in adenomatösem Polypen	2	0.5	0	0.0	0	0.0
8490/3: Siegelringzellkarzinom	1	0.2	0	0.0	0	0.0
8550/3: Azinuszellkarzinom	0	0.0	1	0.2	0	0.0
<b>Adenokarzinome o.n.A.</b>	<b>8</b>	<b>2.0</b>	<b>3</b>	<b>0.7</b>	<b>6</b>	<b>1.5</b>
8802/3: Riesenzellsarkom (Exkl.: Riesenzellsarkom des Knochens (9250/3))	1	0.2	0	0.0	0	0.0
8890/3: Leiomyosarkom o.n.A.	0	0.0	0	0.0	2	0.5
8900/3: Rhabdomyosarkom o.n.A.	0	0.0	0	0.0	1	0.2
9120/3: Hämangiosarkom	0	0.0	0	0.0	1	0.2
<b>Sarkome</b>	<b>1</b>	<b>0.2</b>	<b>0</b>	<b>0.0</b>	<b>4</b>	<b>1.0</b>
8013/3: Großzelliges neuroendokrines Karzinom	1	0.2	2	0.5	1	0.2
8246/3: Neuroendokrines Karzinom o.n.A.	0	0.0	0	0.0	1	0.2
<b>NET/NEC</b>	<b>1</b>	<b>0.2</b>	<b>2</b>	<b>0.5</b>	<b>2</b>	<b>0.5</b>
8000/3: Maligne Neoplasie	4	1.0	8	2.0	1	0.2
<b>Nicht näher bezeichnete maligne Neoplasien</b>	<b>4</b>	<b>1.0</b>	<b>8</b>	<b>2.0</b>	<b>1</b>	<b>0.2</b>
<b>Summe</b>	<b>401</b>	<b>100.0</b>	<b>407</b>	<b>100.0</b>	<b>408</b>	<b>100.0</b>

## 20.5 Tumorgöße und Ausdehnung (TNM)

Tab. 20.5. C67: Absolute Anzahl der Neuerkrankungen klassifiziert nach der Tumorgöße

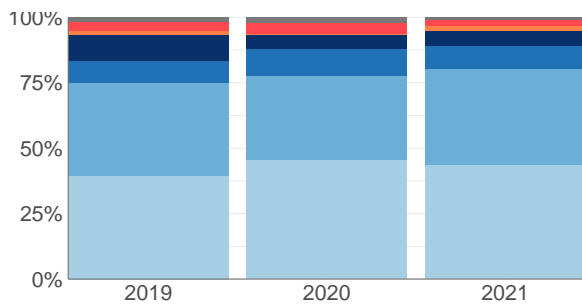
Tumorgöße (T)	2019		2020		2021		Summe	
	Anzahl	%	Anzahl	%	Anzahl	%	Anzahl	%
T1	158	39.4	185	45.5	177	43.4	520	42.8
T2	142	35.4	130	31.9	150	36.8	422	34.7
T3	34	8.5	42	10.3	36	8.8	112	9.2
T4	40	10.0	22	5.4	23	5.6	85	7.0
TX	5	1.2	2	0.5	9	2.2	16	1.3
k.A.	14	3.5	17	4.2	8	2.0	39	3.2
TNM nicht anwendbar	8	2.0	9	2.2	5	1.2	22	1.8
<b>Summe</b>	<b>401</b>	<b>100.0</b>	<b>407</b>	<b>100.0</b>	<b>408</b>	<b>100.0</b>	<b>1216</b>	<b>100.0</b>

Tab. 20.6. C67: Absolute Anzahl der Neuerkrankungen mit bzw. ohne Befall der regionären Lymphknoten

N-Kategorie	2019		2020		2021		Summe	
	Anzahl	%	Anzahl	%	Anzahl	%	Anzahl	%
N0	289	72.1	314	77.1	291	71.3	894	73.5
N1	20	5.0	17	4.2	17	4.2	54	4.4
N2	26	6.5	17	4.2	6	1.5	49	4.0
N3	6	1.5	5	1.2	2	0.5	13	1.1
NX	30	7.5	19	4.7	69	16.9	118	9.7
k.A.	22	5.5	26	6.4	18	4.4	66	5.4
TNM nicht anwendbar	8	2.0	9	2.2	5	1.2	22	1.8
Summe	401	100.0	407	100.0	408	100.0	1216	100.0

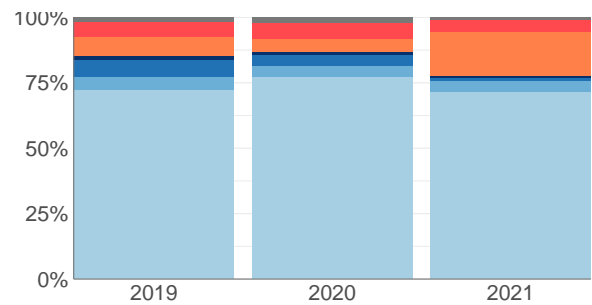
Tab. 20.7. C67: Absolute Anzahl der Neuerkrankungen mit Fernmetastasierung

M-Kategorie	2019		2020		2021		Summe	
	Anzahl	%	Anzahl	%	Anzahl	%	Anzahl	%
M0	322	80.3	330	81.1	316	77.5	968	79.6
M1	27	6.7	34	8.4	39	9.6	100	8.2
MX/k.A.	44	11.0	34	8.4	48	11.8	126	10.4
TNM nicht anwendbar	8	2.0	9	2.2	5	1.2	22	1.8
Summe	401	100.0	407	100.0	408	100.0	1216	100.0



Legend for Abb. 20.4: T1 (light blue), T2 (medium blue), T3 (dark blue), T4 (darkest blue), TX (orange), k.A. (red), TNM nicht anwendbar (grey).

© KR-MV 2023



Legend for Abb. 20.5: N0 (light blue), N1 (medium blue), N2 (dark blue), N3 (darkest blue), NX (orange), k.A. (red), TNM nicht anwendbar (grey).

© KR-MV 2023

Abb. 20.4. C67: Prozentualer Anteil der Neuerkrankungen nach Tumorgöße im Diagnosezeitraum 2019 bis 2021

Abb. 20.5. C67: Prozentualer Anteil der Neuerkrankungen mit bzw. ohne Befall der regionären Lymphknoten im Diagnosezeitraum 2019 bis 2021

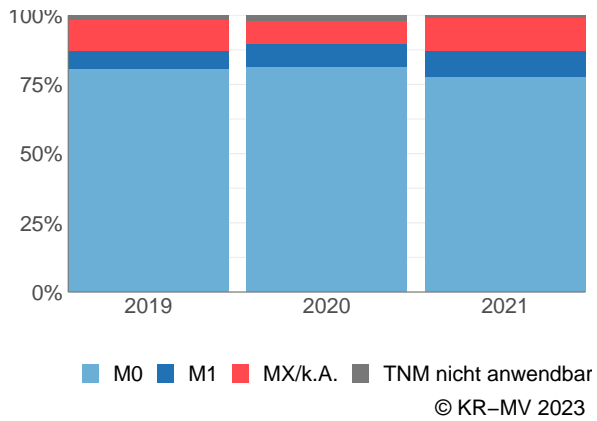


Abb. 20.6. C67: Prozentualer Anteil der Neuerkrankungen mit bzw. ohne primäre Fernmetastasierung im Diagnosezeitraum 2019 bis 2021

## 20.6 Primäre Tumorstadien nach UICC

Tab. 20.8. C67: Primäre UICC-Stadien

Diagnose-jahre	UICC I		UICC II		UICC III		UICC IV		Stadium unbekannt		nicht anwendbar*		Summe
	Anzahl	%	Anzahl	%	Anzahl	%	Anzahl	%	Anzahl	%	Anzahl	%	
2019	135	33.7	101	25.2	64	16.0	31	7.7	62	15.5	8	2.0	401
2020	168	41.3	101	24.8	51	12.5	34	8.4	44	10.8	9	2.2	407
2021	132	32.4	102	25.0	44	10.8	42	10.3	83	20.3	5	1.2	408
Summe	435	35.8	304	25.0	159	13.1	107	8.8	189	15.5	22	1.8	1216

\* Für diese Neuerkrankungen war es nicht möglich eine TNM-Angabe (TNM Auflage 8) anzugeben.

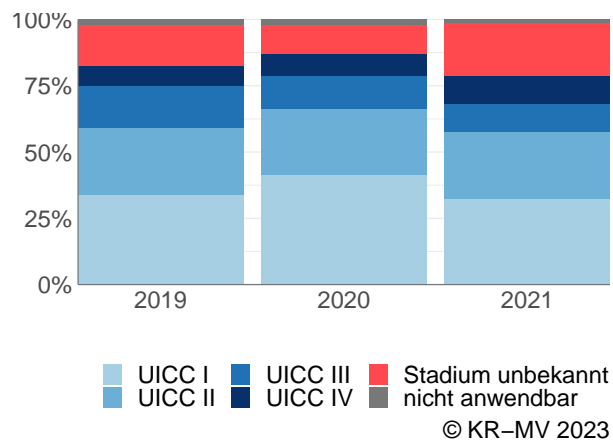
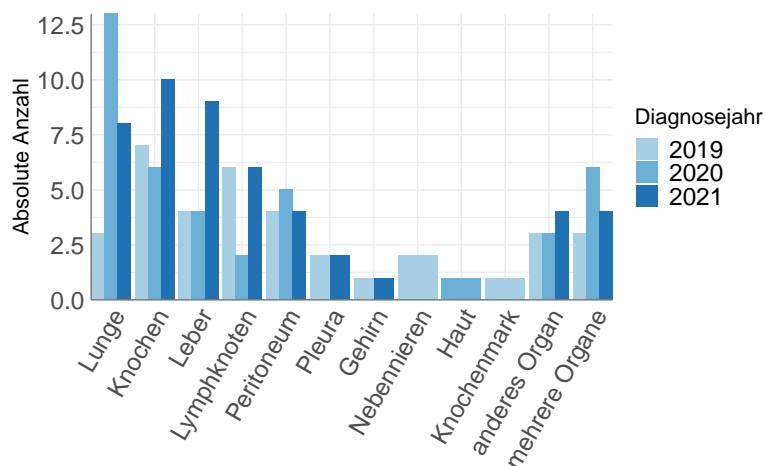


Abb. 20.7. C67: Prozentuale Anteile der primären UICC-Tumorstadien in den Diagnosejahren 2019 bis 2021

## 20.7 Lokalisation der primären Fernmetastasen



© KR-MV 2023

Abb. 20.8. C67: Lokalisation der primären Fernmetastasen bei Neuerkrankungen im Diagnosezeitraum 2019 bis 2021

## 20.8 Dokumentierte Therapie bis max. 12 Monate nach Diagnosestellung

### 20.8.1 Therapiekombinationen, Stellung der Therapie und Intention der dokumentierten Therapien

Tab. 20.9. C67: Häufigkeit der tumorbezogenen Therapien

Tumorbezogene Therapien	2019	2020	2021	Summe	
				Anzahl	%
Tumorspezifische Operation	378	366	379	1123	70.9
Systemische Therapie	99	91	94	284	17.9
Strahlentherapie	32	34	26	92	5.8
Keine Therapie gemeldet	20	38	26	84	5.3
Summe	529	529	525	1583	100.0

Tab. 20.10. C67: Zeitraum zwischen Diagnose und Beginn der ersten Therapie nach Therapieart (Angabe in Tagen)

Tumorbezogene Therapien	Median	Minimum	Maximum
Strahlentherapie	99.0	7	363
Systemische Therapie	71.5	0	363
Tumorspezifische Operation	0.0	0	350

Tab. 20.11. C67: Therapiekombinationen (Operation, Strahlentherapie, systemische Therapie) pro Diagnosejahr

Therapiekombination	2019	2020	2021	Summe	
				Anzahl	%
Alleinige tumorspezifische Operation	265	256	274	795	65.4
Alleinige systemische Therapie	3	3	1	7	0.6
Tumorspezifische Operation und systemische Therapie	81	76	81	238	19.6
Tumorspezifische Operation und Strahlentherapie	17	22	14	53	4.4
Systemische Therapie und Strahlentherapie	0	0	2	2	0.2
Tumorspezifische Operation und systemische Therapie und Strahlentherapie	15	12	10	37	3.0
Keine tumorspezifische Operation, systemische Therapie oder Strahlentherapie	20	38	26	84	6.9
Summe	401	407	408	1216	100.0

Tab. 20.12. C67: Therapiekombinationen (Operation, Strahlentherapie, systemische Therapie) in Abhängigkeit von dem UICC-Stadium

Therapiekombination	UICC				Stadium unbekannt	nicht anwendbar	Summe	
	I	II	III	IV			Anzahl	%
Alleinige tumorspezifische Operation	305	219	99	48	114	10	795	65.4
Alleinige systemische Therapie	3	0	0	1	2	1	7	0.6
Tumorspezifische Operation und systemische Therapie	101	29	42	29	36	1	238	19.6
Tumorspezifische Operation und Strahlentherapie	3	33	6	8	3	0	53	4.4
Systemische Therapie und Strahlentherapie	0	2	0	0	0	0	2	0.2
Tumorspezifische Operation und systemische Therapie und Strahlentherapie	5	10	7	12	3	0	37	3.0
Keine tumorspezifische Operation, systemische Therapie oder Strahlentherapie	18	11	5	9	31	10	84	6.9
Summe	435	304	159	107	189	22	1216	100.0

Tab. 20.13. C67: Stellung der Strahlentherapie zur operativen Therapie im ersten Jahr der Erkrankung (adjuvant/neoadjuvant)

Stellung der Strahlentherapie zur operativen Therapie	2019	2020	2021	Summe	
				Anzahl	%
Adjuvante (postoperative) Strahlentherapie	15	15	12	42	46.7
Therapie ohne Bezug zu einer operativen Therapie	17	19	12	48	53.3
Summe	32	34	24	90	100.0

Tab. 20.14. C67: Stellung der systemischen Therapie zur operativen Therapie im ersten Jahr der Erkrankung (adjuvant/neoadjuvant)

Stellung der systemischen Therapie zur operativen Therapie	2019	2020	2021	Summe	
				Anzahl	%
Adjuvante (postoperative) Therapie	60	59	52	171	62.2
Intraoperative Therapie	17	9	8	34	12.4
Therapie ohne Bezug zu einer operativen Therapie	17	19	28	64	23.3
Neoadjuvante (präoperative) Therapie	0	0	2	2	0.7
Sonstige/Keine Angabe	2	1	1	4	1.5
Summe	96	88	91	275	100.0

Tab. 20.15. C67: Intention bei der ersten Operation

Intention der Operation	2019	2020	2021	Summe	
				Anzahl	%
Kurativ	327	326	343	996	88.7
Palliativ bzw. symptomatisch	17	19	10	46	4.1
Diagnostisch	33	19	25	77	6.9
Sonstige/Unbekannt/Keine Angabe	1	2	1	4	0.4
Summe	378	366	379	1123	100.0

Tab. 20.16. C67: Intention bei der initialen Bestrahlung

Intention der Bestrahlung	2019	2020	2021	Summe	
				Anzahl	%
Palliativ bzw. symptomatisch	18	15	10	43	46.7
Kurativ	14	19	16	49	53.3
Summe	32	34	26	92	100.0

Tab. 20.17. C67: Intention bei der ersten systemischen Therapie

Intention der systemischen Therapie	2019	2020	2021	Summe	
				Anzahl	%
Kurativ	76	74	64	214	75.4
Palliativ bzw. symptomatisch	21	14	26	61	21.5
Sonstige/Unbekannt/Keine Angabe	2	3	4	9	3.2
Summe	99	91	94	284	100.0

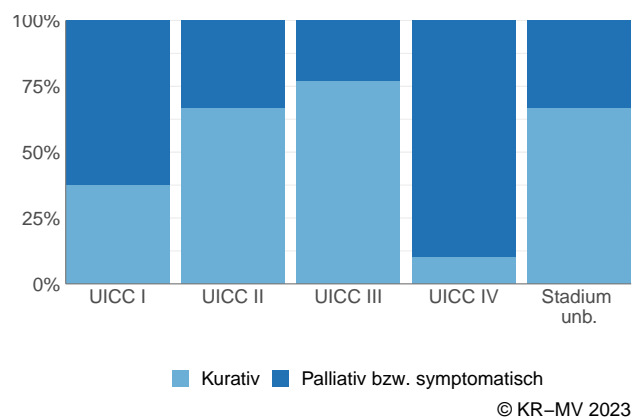
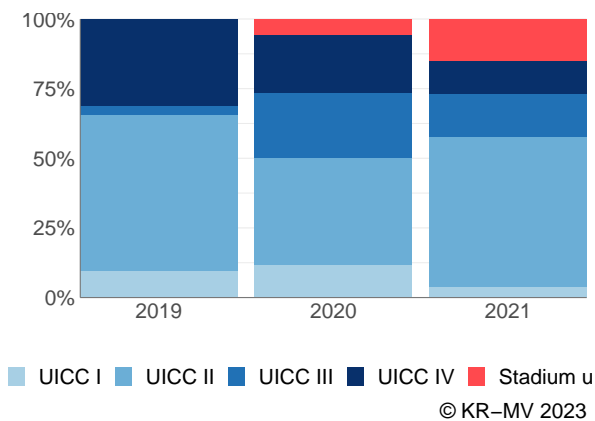


Abb. 20.9. C67: Prozentuale Verteilung der UICC-Stadien bei allen in den Jahren 2019 bis 2021 bestrahlten Neuerkrankungen

Abb. 20.10. C67: Intention der ersten Bestrahlung nach UICC-Klassifikation

## 20.8.2 Dokumentierte tumorspezifische Operation bis max. 12 Monate nach Diagnosestellung

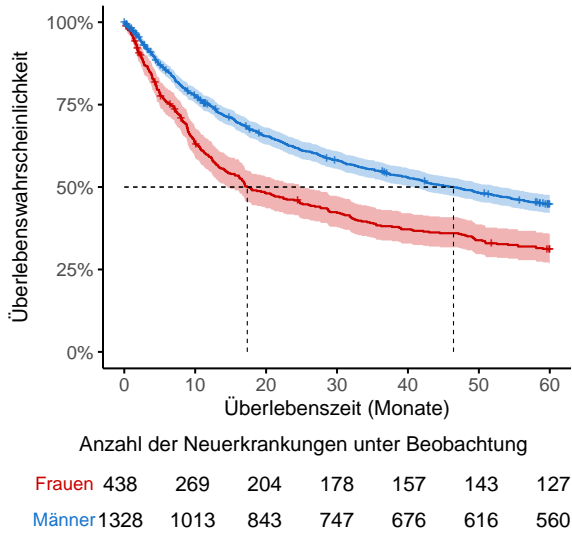
Tab. 20.18. C67: Dokumentierte tumorspezifische Operation nach UICC

Operation	UICC I	UICC II	UICC III	UICC IV	Stadium unbekannt	nicht anwendbar	Summe	
							Anzahl	%
5-573: Transurethrale Inzision, Exzision, Destruktion und Resektion von (erkranktem) Gewebe der Harnblase	412	284	132	87	154	9	1078	96.0
5-576: Zystektomie	2	7	20	10	2	1	42	3.7
5-574: Offen chirurgische und laparoskopische Exzision und Destruktion von (erkranktem) Gewebe der Harnblase	0	0	0	0	0	1	1	0.1
5-575: Partielle Harnblasenresektion	0	0	1	0	0	0	1	0.1
5-687: Exenteration [Eviszeration] des weiblichen kleinen Beckens	0	0	1	0	0	0	1	0.1
Summe	414	291	154	97	156	11	1123	100.0

Tab. 20.19. C67: Residualklassifikation nach Tumorresektion bei Neuerkrankungen in den UICC-Stadien I-IV

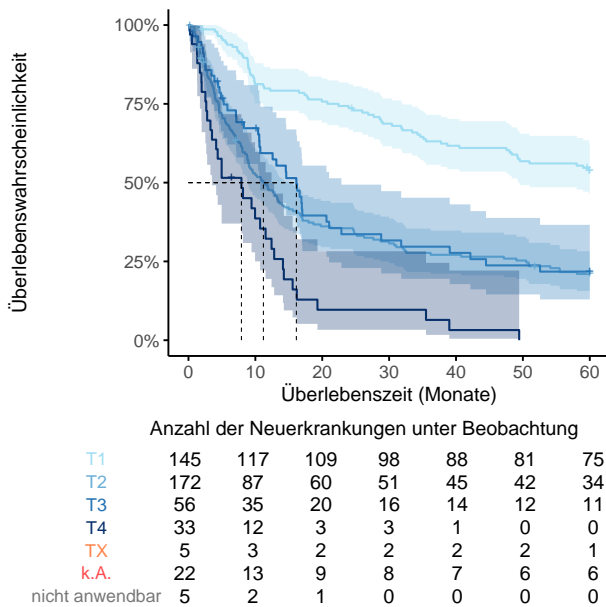
R-Klassifikation	UICC I	UICC II	UICC III	UICC IV	Stadium unbekannt	nicht anwendbar	Summe	
							Anzahl	%
R0 (kein Residualtumor)	2	7	15	4	2	1	31	2.8
R1 (mikroskopischer Residualtumor)	0	0	5	2	0	0	7	0.6
R2 (makroskopischer Residualtumor)	0	0	2	1	0	0	3	0.3
RX (Vorhandensein eines Residualtumors kann nicht beurteilt werden)	0	0	0	3	0	0	3	0.3
keine R-Klassifikation zu erwarten	412	284	132	87	154	10	1079	96.1
Summe	414	291	154	97	156	11	1123	100.0

## 20.9 Überlebensanalysen (Kaplan-Meier) bei den in den Jahren 2013-2017 primär diagnostizierten Patienten (Wohnort und Behandlung in M-V)



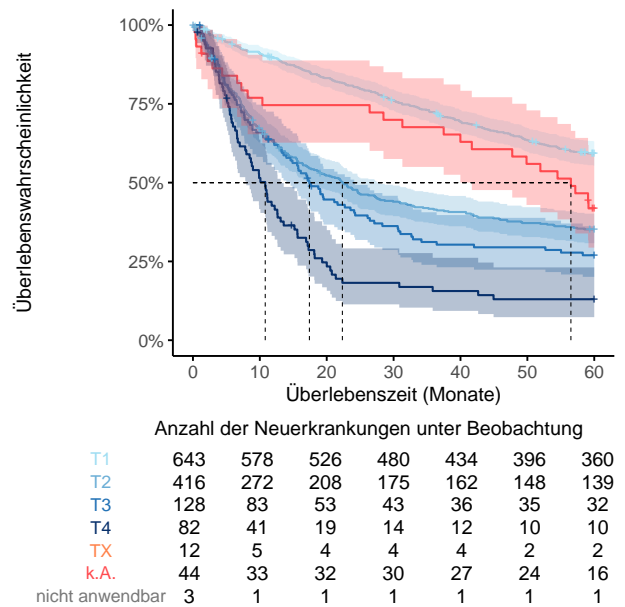
© KR-MV 2023

Abb. 20.11. C67: Wahrscheinlichkeit des Überlebens (Kaplan-Meier) nach Geschlecht bei Diagnosestellung in den Jahren 2013-2017.\*



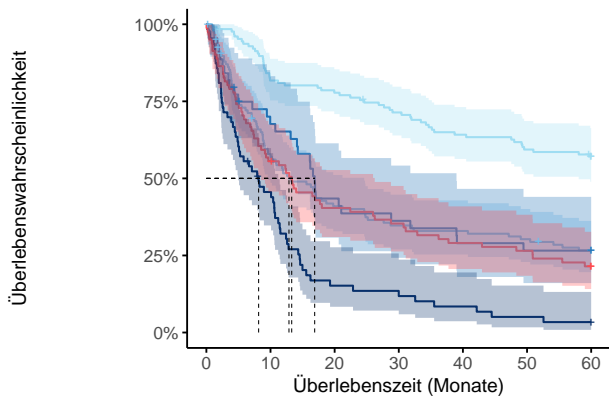
© KR-MV 2023

Abb. 20.12. C67 (Frauen): Wahrscheinlichkeit des Überlebens (Kaplan-Meier) nach Tumorgroße bei Diagnosestellung in den Jahren 2013-2017.\*



© KR-MV 2023

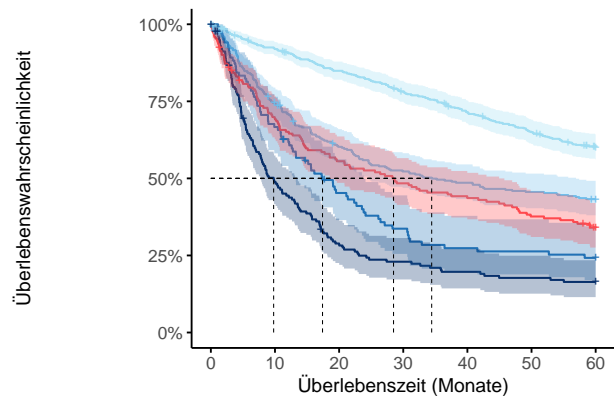
Abb. 20.13. C67 (Männer): Wahrscheinlichkeit des Überlebens (Kaplan-Meier) nach Tumorgroße bei Diagnosestellung in den Jahren 2013-2017.\*



	Anzahl der Neuerkrankungen unter Beobachtung						
UICC I	127	103	98	89	80	74	69
UICC II	118	64	46	39	37	34	29
UICC III	44	28	18	15	12	11	11
UICC IV	63	27	9	7	5	3	2
Stadium unbekannt	81	45	32	28	23	21	16
nicht anwendbar	5	2	1	0	0	0	0

© KR-MV 2023

Abb. 20.14. C67 (Frauen): Wahrscheinlichkeit des Überlebens (Kaplan-Meier) nach UICC bei Diagnosestellung in den Jahren 2013-2017.\*



	Anzahl der Neuerkrankungen unter Beobachtung						
UICC I	576	524	481	441	400	363	328
UICC II	314	228	181	157	146	137	129
UICC III	102	68	43	32	26	25	23
UICC IV	161	76	44	35	30	27	25
Stadium unbekannt	172	116	93	81	73	63	54
nicht anwendbar	3	1	1	1	1	1	1

© KR-MV 2023

Abb. 20.15. C67 (Männer): Wahrscheinlichkeit des Überlebens (Kaplan-Meier) nach UICC bei Diagnosestellung in den Jahren 2013-2017.\*

\*Die 50%-Überlebensraten sind dort, wo sie bestimmbar sind, graphisch dargestellt. Zusätzlich erfolgt pro Überlebenskurve die Darstellung des 95%-Konfidenzintervalls. Kaplan-Meier Kurven werden für Kategorien mit weniger als 30 Neuerkrankungen nicht dargestellt.

# 21 Diffuses großzelliges B-Zell-Lymphom (DLBCL) C83.3

## 21.1 Consort-Statement: Darstellung der Auswertepopulation

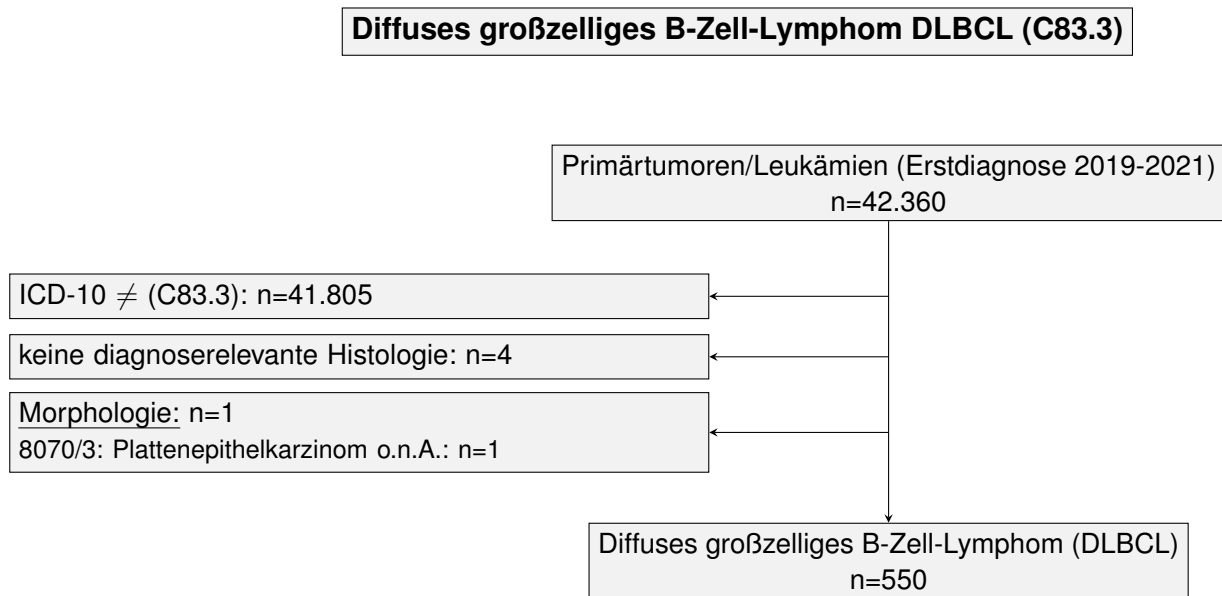
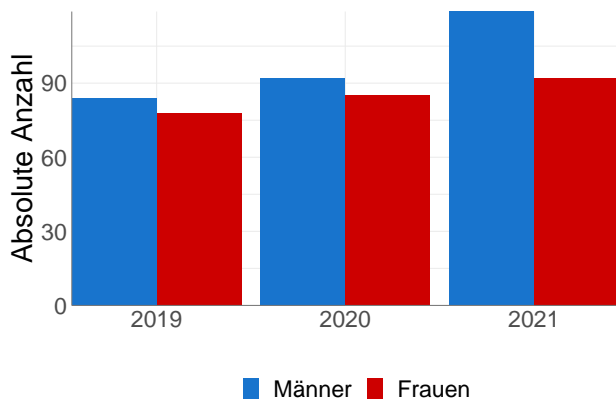


Abb. 21.1. Consort: Diffuses großzelliges B-Zell-Lymphom (DLBCL)

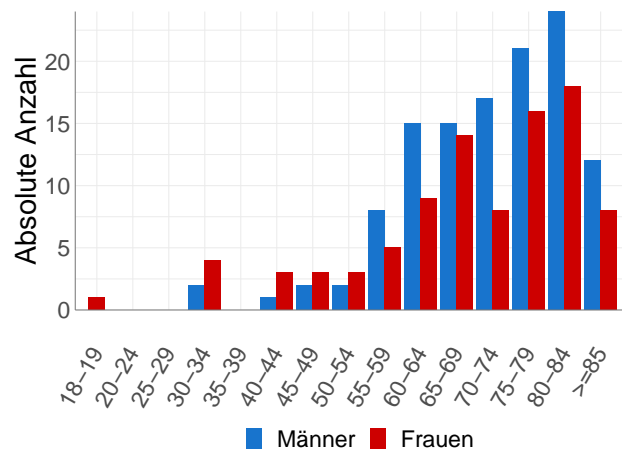
## 21.2 Absolute Anzahl der erfassten Neuerkrankungen in M-V in den Jahren 2019-2021 nach Geschlecht und Alter

Tab. 21.1. C83.3: Absolute Anzahl der Neuerkrankungen nach Geschlecht

Geschlecht	Männer		Frauen		Summe
	Anzahl	%	Anzahl	%	
2019	84	51.9	78	48.1	162
2020	92	52.0	85	48.0	177
2021	119	56.4	92	43.6	211
Summe	295	53.6	255	46.4	550



© KR-MV 2023



© KR-MV 2023

Abb. 21.2. C83.3: Absolute Anzahl der Neuerkrankungen nach Geschlecht

Abb. 21.3. C83.3: Absolute Anzahl der Neuerkrankungen aufgelistet in 5-Jahres-Altersgruppen und nach Geschlecht für das Diagnosejahr 2021

Tab. 21.2. C83.3: Erkrankungsalter

Diagnosejahre	Männer				Frauen			
	Anzahl	Median	Minimum	Maximum	Anzahl	Median	Minimum	Maximum
2019	84	74	32	90	78	77	25	89
2020	92	68	34	89	85	77	20	94
2021	119	73	32	91	92	71	18	93

### 21.3 Histologische Befunde bei allen neuerkrankten Patienten in M-V in den Jahren 2019-2021

Tab. 21.3. C83.3: Histologische Befunde bei neuerkrankten Patienten

	2019		2020		2021	
	Anzahl	%	Anzahl	%	Anzahl	%
9596/3: Kombiniertes malignes Hodgkin- und Non-Hodgkin-Lymphom	0	0.0	2	1.1	1	0.5
9679/3: Primär mediastinales großzelliges B-Zell-Lymphom	1	0.6	1	0.6	2	0.9
9680/3: Diffuses großzelliges B-Zell-Lymphom o.n.A.	158	97.5	173	97.7	204	96.7
9688/3: T-Zell-reiches/histiozytenreiches großzelliges B-Zell-Lymphom	3	1.9	1	0.6	3	1.4
9737/3: ALK-positives großzelliges B-Zell-Lymphom	0	0.0	0	0.0	1	0.5
<b>Diffuses großzelliges B-Zell-Lymphom (DLBCL)</b>	<b>162</b>	<b>100.0</b>	<b>177</b>	<b>100.0</b>	<b>211</b>	<b>100.0</b>

## 21.4 Klinische Stadien

Tab. 21.4. C83.3: Absolute Anzahl der Neuerkrankungen klassifiziert der primären Ann-Arbor-Klassifikation

Ann-Arbor	2019		2020		2021		Summe	
	Anzahl	%	Anzahl	%	Anzahl	%	Anzahl	%
Stadium I	24	14.8	25	14.1	24	11.4	73	13.3
Stadium II	10	6.2	19	10.7	28	13.3	57	10.4
Stadium III	12	7.4	25	14.1	11	5.2	48	8.7
Stadium IV	34	21.0	34	19.2	51	24.2	119	21.6
k.A.	82	50.6	74	41.8	97	46.0	253	46.0
Summe	162	100.0	177	100.0	211	100.0	550	100.0

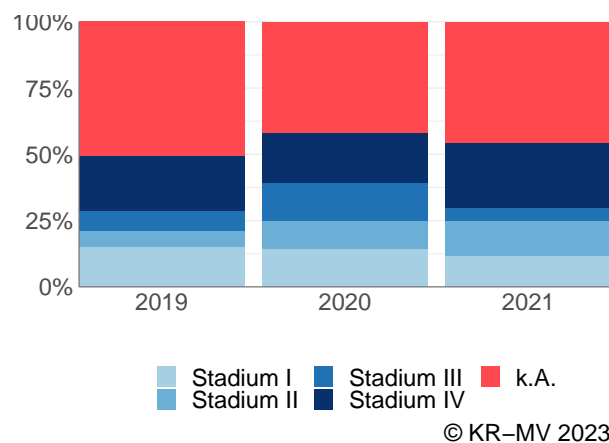


Abb. 21.4. C83.3: Prozentuale Anteile der Neuerkrankungen nach der primären Ann-Arbor-Klassifikation

## 21.5 Dokumentierte Therapie bis max. 12 Monate nach Diagnosestellung

### 21.5.1 Therapiekombinationen, Stellung der Therapie und Intention der dokumentierten Therapien

Tab. 21.5. C83.3: Häufigkeit der tumorbezogenen Therapien

Tumorbezogene Therapien	2019	2020	2021	Summe	
				Anzahl	%
Systemische Therapie	128	147	169	444	67.3
Strahlentherapie	35	49	47	131	19.8
Keine Therapie gemeldet	28	22	35	85	12.9
Summe	191	218	251	660	100.0

Tab. 21.6. C83.3: Zeitraum zwischen Diagnose und Beginn der ersten Therapie nach Therapieart (Angabe in Tagen)

Tumorbezogene Therapien	Median	Minimum	Maximum
Strahlentherapie	179	13	335
Systemische Therapie	17	0	251

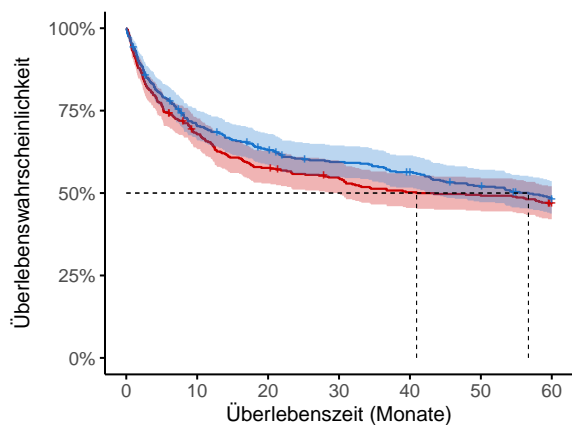
Tab. 21.7. C83.3: Therapiekombinationen (Operation, Strahlentherapie, systemische Therapie) pro Diagnosejahr

Therapiekombination	2019	2020	2021	Summe	
				Anzahl	%
Alleinige systemische Therapie	99	106	129	334	60.7
Alleinige Strahlentherapie	6	8	7	21	3.8
Systemische Therapie und Strahlentherapie	29	41	40	110	20.0
Keine systemische Therapie oder Strahlentherapie	28	22	35	85	15.5
Summe	162	177	211	550	100.0

Tab. 21.8. C83.3: Intention bei der ersten systemischen Therapie

Intention der systemischen Therapie	2019	2020	2021	Summe	
				Anzahl	%
Kurativ	99	119	147	365	82.2
Palliativ bzw. symptomatisch	23	28	19	70	15.8
Sonstige/Unbekannt/Keine Angabe	6	0	3	9	2.0
Summe	128	147	169	444	100.0

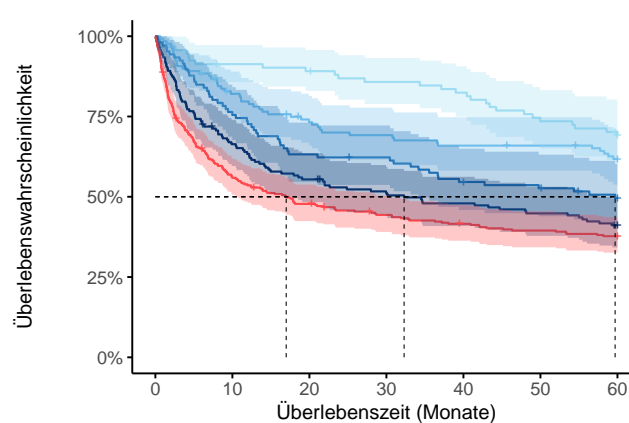
## 21.6 Überlebensanalysen (Kaplan-Meier) bei den in den Jahren 2013-2017 primär diagnostizierten Patienten (Wohnort und Behandlung in M-V)



Anzahl der Neuerkrankungen unter Beobachtung

Frauen	389	260	221	206	190	186	175
Männer	406	281	249	231	218	199	182

© KR-MV 2023



Anzahl der Neuerkrankungen unter Beobachtung

Stadium I	92	83	81	77	74	66	61
Stadium II	129	103	90	85	81	80	74
Stadium III	106	80	67	65	57	54	49
Stadium IV	167	109	91	82	77	72	65
k.A.	301	166	141	128	119	113	108

© KR-MV 2023

Abb. 21.5. C83.3: Wahrscheinlichkeit des Überlebens (Kaplan-Meier) nach Geschlecht bei Diagnosestellung in den Jahren 2013-2017.\*

Abb. 21.6. C83.3: Wahrscheinlichkeit des Überlebens (Kaplan-Meier) dem klinischen Stadium (Ann-Arbor) bei Diagnosestellung in den Jahren 2013-2017.\*

\*Die 50%-Überlebensraten sind dort, wo sie bestimmbar sind, graphisch dargestellt. Zusätzlich erfolgt pro Überlebenskurve die Darstellung des 95%-Konfidenzintervalls. Kaplan-Meier Kurven werden für Kategorien mit weniger als 30 Neuerkrankungen nicht dargestellt.

## 22 Multiples Myelom C90

### 22.1 Consort-Statement: Darstellung der Auswertepopulation

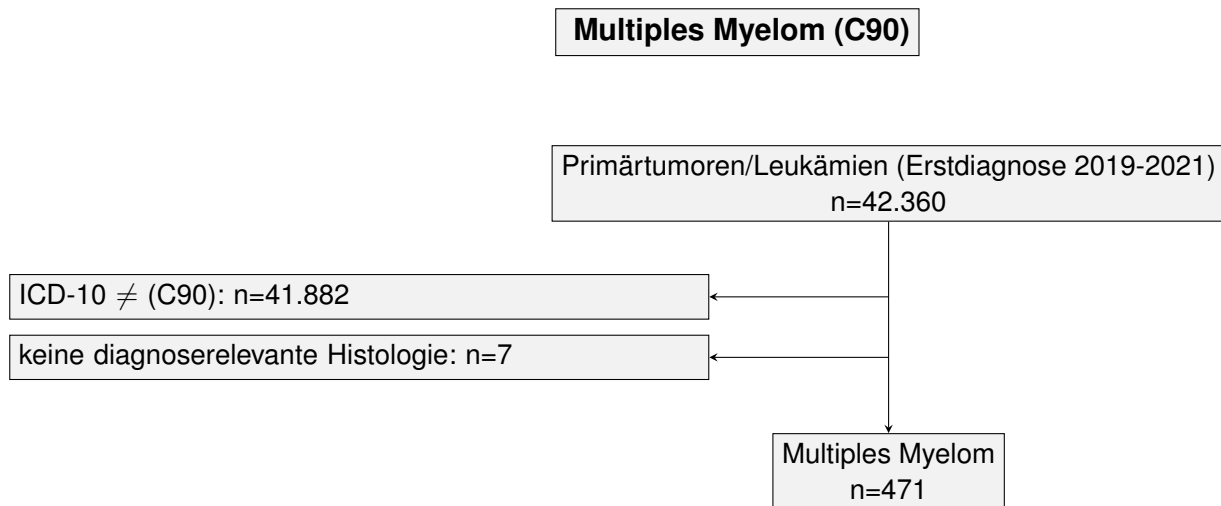
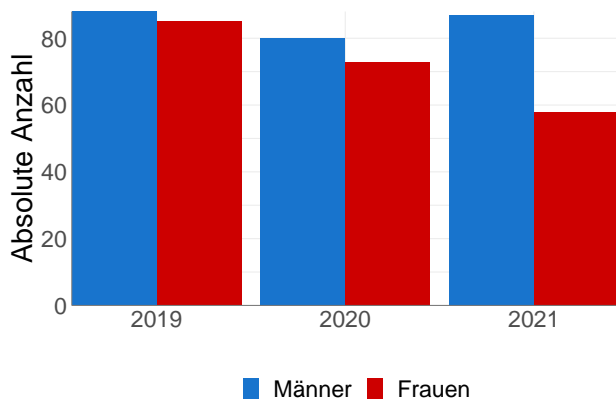


Abb. 22.1. Consort zum Multiplem Myelom

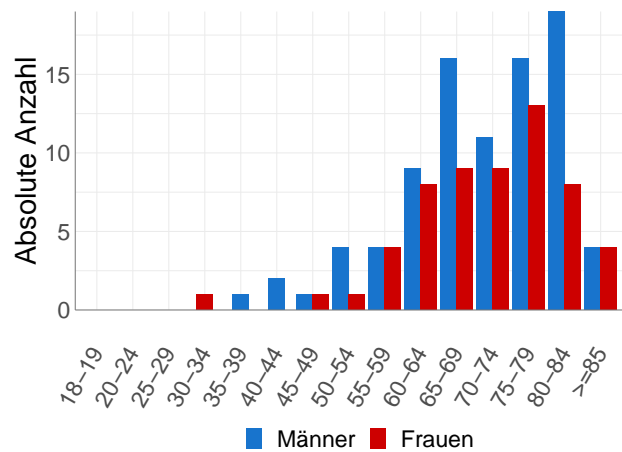
### 22.2 Absolute Anzahl der erfassten Neuerkrankungen in M-V in den Jahren 2019-2021 nach Geschlecht und Alter

Tab. 22.1. C90: Absolute Anzahl der Neuerkrankungen nach Geschlecht

Geschlecht	Männer		Frauen		Summe
	Anzahl	%	Anzahl	%	
2019	88	50.9	85	49.1	173
2020	80	52.3	73	47.7	153
2021	87	60.0	58	40.0	145
Summe	255	54.1	216	45.9	471



© KR-MV 2023



© KR-MV 2023

Abb. 22.2. C90: Absolute Anzahl der Neuerkrankungen nach Geschlecht

Abb. 22.3. C90: Absolute Anzahl der Neuerkrankungen aufgelistet in 5-Jahres-Altersgruppen und nach Geschlecht für das Diagnosejahr 2021

Tab. 22.2. C90: Erkrankungsalter

Diagnosejahre	Männer				Frauen			
	Anzahl	Median	Minimum	Maximum	Anzahl	Median	Minimum	Maximum
2019	88	71	41	88	85	71	39	90
2020	80	69	37	84	73	75	51	85
2021	87	71	36	88	58	72	32	92

## 22.3 Histologische Befunde bei allen neuerkrankten Patienten in M-V in den Jahren 2019-2021

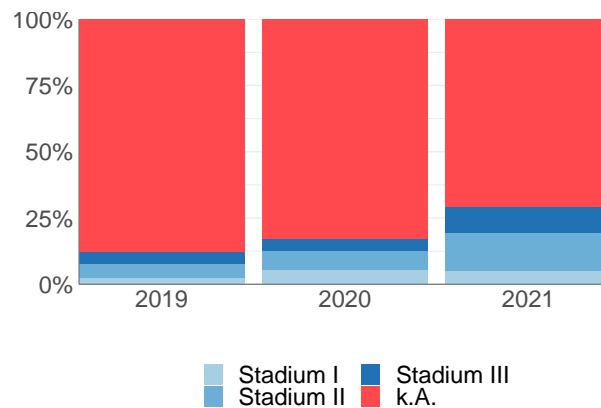
Tab. 22.3. C90: Histologische Befunde bei neuerkrankten Patienten

	2019		2020		2021	
	Anzahl	%	Anzahl	%	Anzahl	%
9731/3: Plasmozytom o.n.A.	45	26.0	25	16.3	21	14.5
9732/3: Plasmazellmyelom	127	73.4	124	81.0	122	84.1
9733/3: Plasmazell-Leukämie	1	0.6	0	0.0	0	0.0
9734/3: Extramedulläres Plasmozytom	0	0.0	4	2.6	2	1.4
<b>Multiple Myelome</b>	<b>173</b>	<b>100.0</b>	<b>153</b>	<b>100.0</b>	<b>145</b>	<b>100.0</b>

## 22.4 Klinische Studien

Tab. 22.4. C90: Absolute Anzahl der Neuerkrankungen klassifiziert dem International Staging System (ISS)

ISS	2019		2020		2021		Summe	
	Anzahl	%	Anzahl	%	Anzahl	%	Anzahl	%
Stadium I	4	2.3	8	5.2	7	4.8	19	4.0
Stadium II	9	5.2	11	7.2	21	14.5	41	8.7
Stadium III	8	4.6	7	4.6	14	9.7	29	6.2
k.A.	152	87.9	127	83.0	103	71.0	382	81.1
Summe	173	100.0	153	100.0	145	100.0	471	100.0



© KR-MV 2023

Abb. 22.4. C90: Prozentuale Anteile der Neuerkrankungen nach dem International Staging System (ISS)

## 22.5 Dokumentierte Therapie bis max. 12 Monate nach Diagnosestellung

### 22.5.1 Therapiekombinationen, Stellung der Therapie und Intention der dokumentierten Therapien

Tab. 22.5. C90: Häufigkeit der tumorbezogenen Therapien

Tumorbezogene Therapien	2019	2020	2021	Summe	
				Anzahl	%
Systemische Therapie	118	106	99	323	58.8
Strahlentherapie	29	33	26	88	16.0
Abwartende Strategie	24	22	14	60	10.9
Keine Therapie gemeldet	24	21	33	78	14.2
Summe	195	182	172	549	100.0

Tab. 22.6. C90: Zeitraum zwischen Diagnose und Beginn der ersten Therapie nach Therapieart (Angabe in Tagen)

Tumorbezogene Therapien	Median	Minimum	Maximum
Abwartende Strategie	14	0	305
Strahlentherapie	44	1	351
Systemische Therapie	14	0	346

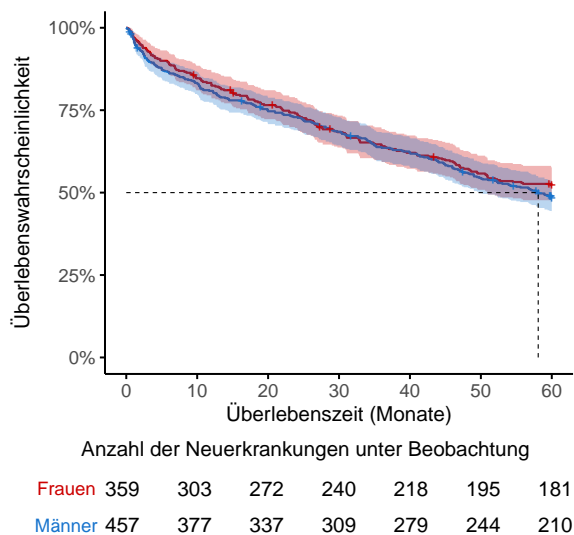
Tab. 22.7. C90: Therapiekombinationen (Operation, Strahlentherapie, systemische Therapie) pro Diagnosejahr

Therapiekombination	2019	2020	2021	Summe	
				Anzahl	%
Alleinige systemische Therapie	96	77	72	245	52.0
Alleinige Strahlentherapie	8	4	2	14	3.0
Alleinige abwartende Strategie	23	22	11	56	11.9
Systemische Therapie und Strahlentherapie	21	29	24	74	15.7
Abwartende Strategie und danach systemische Therapie	1	0	3	4	0.8
Keine systemische Therapie, Strahlentherapie oder abwartende Strategie	24	21	33	78	16.6
Summe	173	153	145	471	100.0

Tab. 22.8. C90: Intention bei der ersten systemischen Therapie

Intention der systemischen Therapie	2019	2020	2021	Summe	
				Anzahl	%
Palliativ bzw. symptomatisch	57	53	45	155	48.0
Kurativ	58	52	49	159	49.2
Sonstige/Unbekannt/Keine Angabe	3	1	5	9	2.8
Summe	118	106	99	323	100.0

## 22.6 Überlebensanalysen (Kaplan-Meier) bei den in den Jahren 2013-2017 primär diagnostizierten Patienten (Wohnort und Behandlung in M-V)



© KR-MV 2023

Abb. 22.5. C90: Wahrscheinlichkeit des Überlebens (Kaplan-Meier) nach Geschlecht bei Diagnosestellung in den Jahren 2013-2017.\*

\*Die 50%-Überlebensraten sind dort, wo sie bestimmbar sind, graphisch dargestellt. Zusätzlich erfolgt pro Überlebenskurve die Darstellung des 95%-Konfidenzintervalls. Kaplan-Meier Kurven werden für Kategorien mit weniger als 30 Neuerkrankungen nicht dargestellt.

# 23 Chronische lymphatische Leukämie (CLL/SLL) C91.1

## 23.1 Consort-Statement: Darstellung der Auswertepopulation

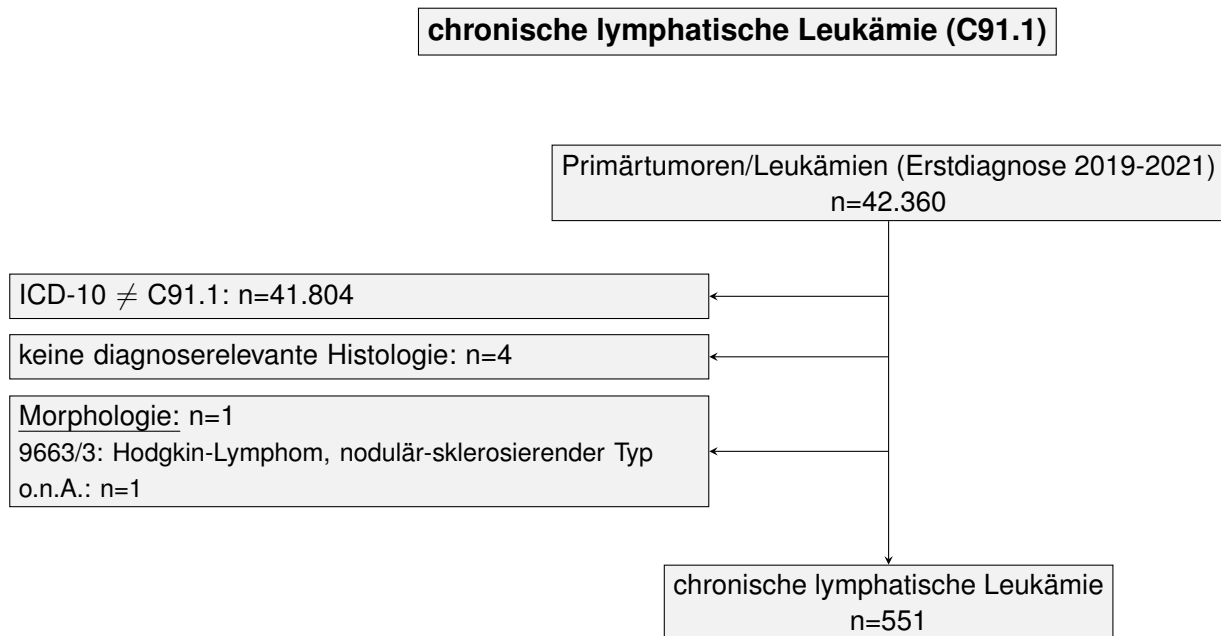
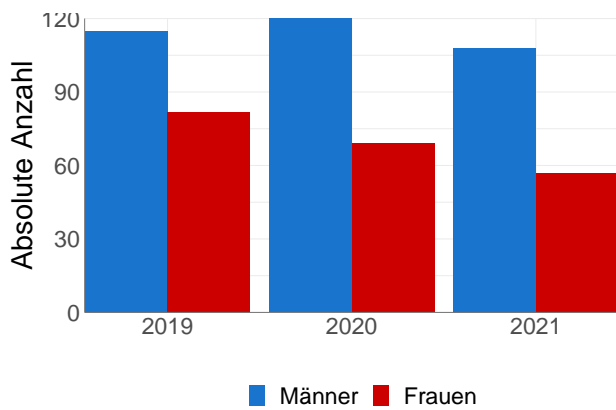


Abb. 23.1. Consort zur chronische lymphatische Leukämie

## 23.2 Absolute Anzahl der erfassten Neuerkrankungen in M-V in den Jahren 2019-2021 nach Geschlecht und Alter

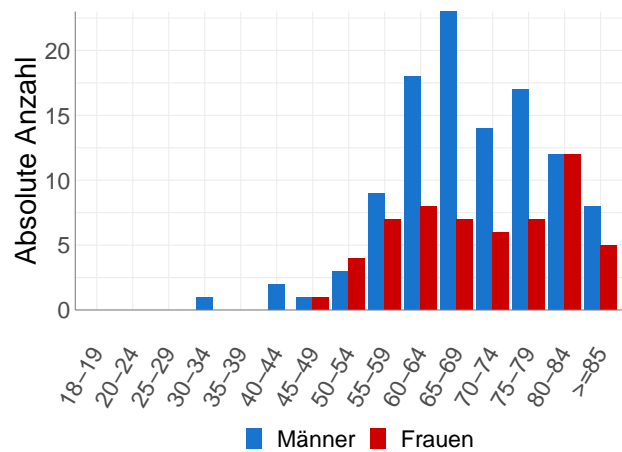
Tab. 23.1. C91.1: Absolute Anzahl der Neuerkrankungen nach Geschlecht

Geschlecht	Männer		Frauen		Summe
	Anzahl	%	Anzahl	%	
2019	115	58.4	82	41.6	197
2020	120	63.5	69	36.5	189
2021	108	65.5	57	34.5	165
Summe	343	62.3	208	37.7	551



© KR-MV 2023

Abb. 23.2. C91.1: Absolute Anzahl der Neuerkrankungen nach Geschlecht



© KR-MV 2023

Abb. 23.3. C91.1: Absolute Anzahl der Neuerkrankungen aufgelistet in 5-Jahres-Altersgruppen und nach Geschlecht für das Diagnosejahr 2021

Tab. 23.2. C91.1: Erkrankungsalter

Diagnosejahre	Männer				Frauen			
	Anzahl	Median	Minimum	Maximum	Anzahl	Median	Minimum	Maximum
2019	115	68	41	91	82	72	52	95
2020	120	71	39	91	69	73	46	91
2021	108	69	34	89	57	72	47	96

### 23.3 Histologische Befunde bei allen neuerkrankten Patienten in M-V in den Jahren 2019-2021

Tab. 23.3. C91.1: Histologische Befunde bei neuerkrankten Patienten

	2019		2020		2021	
	Anzahl	%	Anzahl	%	Anzahl	%
9823/3: Chronische lymphatische B-Zell-Leukämie/kleinzelliges lymphozytisches Lymphom	197	100	189	100	165	100
<b>CLL/SLL</b>	<b>197</b>	<b>100</b>	<b>189</b>	<b>100</b>	<b>165</b>	<b>100</b>

## 23.4 Klinische Stadien

Tab. 23.4. C91.1: Absolute Anzahl der Neuerkrankungen klassifiziert nach der primären Binet-Klassifikation

Binet	2019		2020		2021		Summe	
	Anzahl	%	Anzahl	%	Anzahl	%	Anzahl	%
Stadium A	92	46.7	86	45.5	83	50.3	261	47.4
Stadium B	14	7.1	15	7.9	21	12.7	50	9.1
Stadium C	9	4.6	6	3.2	6	3.6	21	3.8
k.A.	82	41.6	82	43.4	55	33.3	219	39.7
Summe	197	100.0	189	100.0	165	100.0	551	100.0

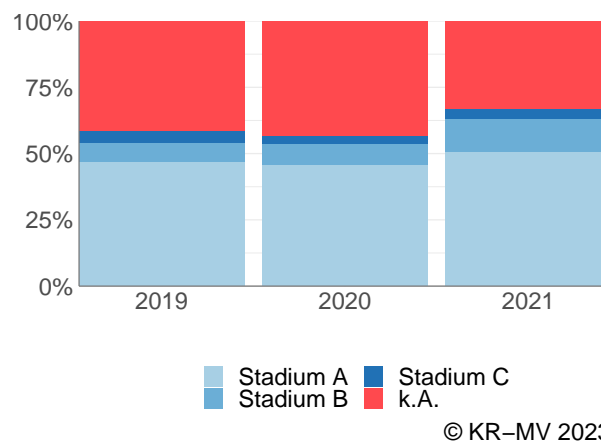


Abb. 23.4. C91.1: Prozentuale Anteile der Neuerkrankungen nach der primären Binet-Klassifikation

## 23.5 Dokumentierte Therapie bis max. 12 Monate nach Diagnosestellung

### 23.5.1 Therapiekombinationen, Stellung der Therapie und Intention der dokumentierten Therapien

Tab. 23.5. C91.1: Häufigkeit der tumorbezogenen Therapien

Tumorbezogene Therapien	2019	2020	2021	Summe	
				Anzahl	%
Systemische Therapie	28	22	21	71	12.7
Strahlentherapie	1	0	0	1	0.2
Abwartende Strategie	104	95	74	273	48.7
Keine Therapie gemeldet	70	75	71	216	38.5
Summe	203	192	166	561	100.0

Tab. 23.6. C91.1: Zeitraum zwischen Diagnose und Beginn der ersten Therapie nach Therapieart (Angabe in Tagen)

Tumorbezogene Therapien	Median	Minimum	Maximum
Abwartende Strategie	15	0	363
Strahlentherapie	108	108	108
Systemische Therapie	47	0	365

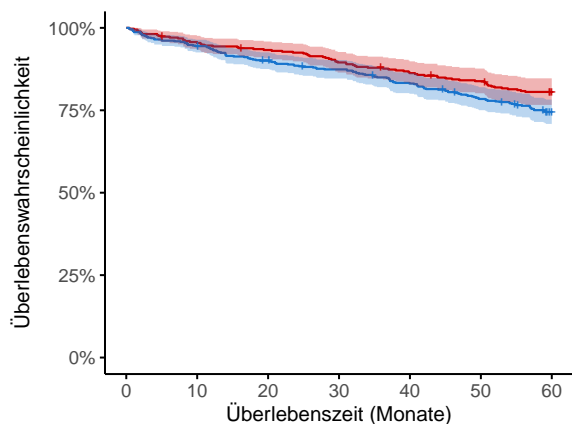
Tab. 23.7. C91.1: Therapiekombinationen (Operation, Strahlentherapie, systemische Therapie) pro Diagnosejahr

Therapiekombination	2019	2020	2021	Summe	
				Anzahl	%
Alleinige systemische Therapie	22	19	20	61	11.1
Alleinige abwartende Strategie	99	92	73	264	47.9
Systemische Therapie und Strahlentherapie	1	0	0	1	0.2
Abwartende Strategie und danach systemische Therapie	5	3	1	9	1.6
Keine systemische Therapie, Strahlentherapie oder abwartende Strategie	70	75	71	216	39.2
Summe	197	189	165	551	100.0

Tab. 23.8. C91.1: Intention bei der ersten systemischen Therapie

Intention der systemischen Therapie	2019	2020	2021	Summe	
				Anzahl	%
Palliativ bzw. symptomatisch	9	10	7	26	36.6
Kurativ	14	9	13	36	50.7
Sonstige/Unbekannt/Keine Angabe	5	3	1	9	12.7
Summe	28	22	21	71	100.0

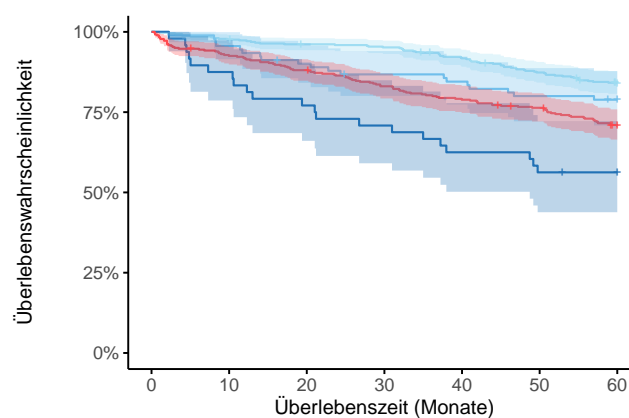
## 23.6 Überlebensanalysen (Kaplan-Meier) bei den in den Jahren 2013-2017 primär diagnostizierten Patienten (Wohnort und Behandlung in M-V)



Anzahl der Neuerkrankungen unter Beobachtung

Frauen	373	355	346	332	319	309	293
Männer	541	511	485	469	445	418	388

© KR-MV 2023



Anzahl der Neuerkrankungen unter Beobachtung

Stadium A	414	404	396	392	376	357	337
Stadium B	91	87	81	77	75	71	69
Stadium C	48	42	37	34	30	27	26
k.A.	361	333	317	298	283	272	249

© KR-MV 2023

Abb. 23.5. C91.1: Wahrscheinlichkeit des Überlebens (Kaplan-Meier) nach Geschlecht bei Diagnosestellung in den Jahren 2013-2017.\*

Abb. 23.6. C91.1: Wahrscheinlichkeit des Überlebens (Kaplan-Meier) in Abhängigkeit von dem klinischen Stadium bei Diagnosestellung in den Jahren 2013-2017.\*

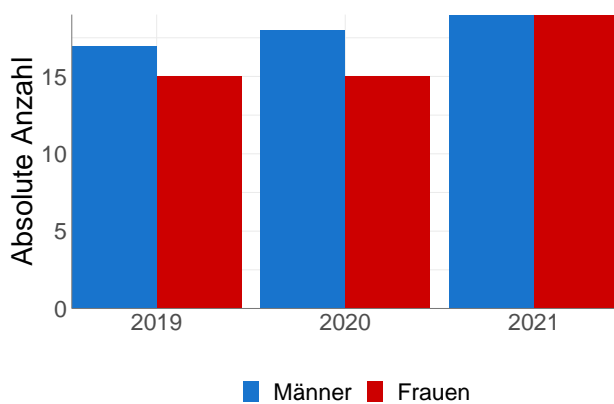
\*Die 50%-Überlebensraten sind dort, wo sie bestimmbar sind, graphisch dargestellt. Zusätzlich erfolgt pro Überlebenskurve die Darstellung des 95%-Konfidenzintervalls. Kaplan-Meier Kurven werden für Kategorien mit weniger als 30 Neuerkrankungen nicht dargestellt.

# 24 Gastrointestinaler Stromatumor (GIST)

## 24.1 Absolute Anzahl der erfassten Neuerkrankungen in M-V in den Jahren 2019-2021 nach Geschlecht und Alter

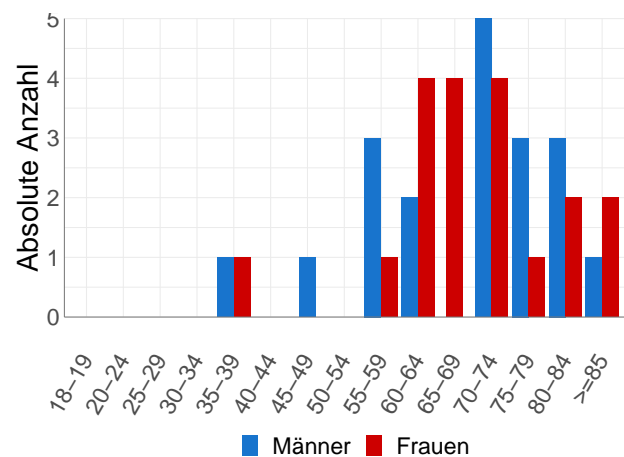
Tab. 24.1. GIST: Absolute Anzahl der Neuerkrankungen nach Geschlecht

Geschlecht	Männer		Frauen		Summe
	Anzahl	%	Anzahl	%	
2019	17	53.1	15	46.9	32
2020	18	54.5	15	45.5	33
2021	19	50.0	19	50.0	38
Summe	54	52.4	49	47.6	103



© KR-MV 2023

Abb. 24.1. GIST: Absolute Anzahl der Neuerkrankungen nach Geschlecht



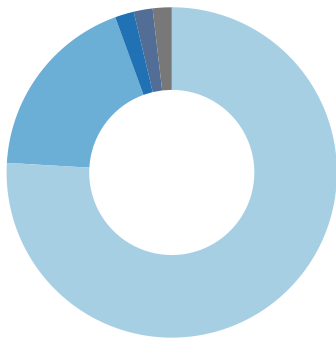
© KR-MV 2023

Abb. 24.2. GIST: Absolute Anzahl der Neuerkrankungen aufgelistet in 5-Jahres-Altersgruppen und nach Geschlecht für das Diagnosejahr 2021

Tab. 24.2. GIST: Erkrankungsalter

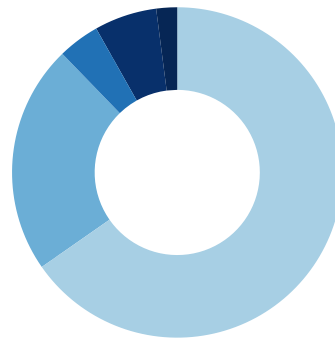
Diagnosejahre	Männer				Frauen			
	Anzahl	Median	Minimum	Maximum	Anzahl	Median	Minimum	Maximum
2019	17	64	47	85	15	68	46	84
2020	18	64	33	80	15	73	59	84
2021	19	72	35	87	19	69	37	88

## 24.2 Erfassten Neuerkrankungen in M-V in den Jahren 2019-2021 nach Lokalisation



Magen (ICD-O: C16) – 76%
Dünndarm (ICD-O: C17) – 19%
Rektum (ICD-O: C20) – 2%
Ösophagus (ICD-O: C15) – 2%
Unbekannte Primärlokalisation (ICD-O: C80.9) – 2%

Abb. 24.3. GIST: Prozentualer Anteil der Neuerkrankungen bei Frauen nach der Lokalisation im Diagnosezeitraum 2019-2021



Magen (ICD-O: C16) – 65.3%
Dünndarm (ICD-O: C17) – 22.4%
Rektum (ICD-O: C20) – 4.1%
Kolon (ICD-O: C18) – 6.1%
Retroperitoneum und Peritoneum (ICD-O: C48) – 2.0%

Abb. 24.4. GIST: Prozentualer Anteil der Neuerkrankungen bei Männern nach der Lokalisation im Diagnosezeitraum 2019-2021

## 24.3 Histologische Befunde bei allen neuerkrankten Patienten in M-V in den Jahren 2019-2021

Tab. 24.3. GIST: Histologische Befunde bei neuerkrankten Patienten

	2019		2020		2021	
	Anzahl	%	Anzahl	%	Anzahl	%
8936/3: Gastrointestinaler Stromatumor	32	100	33	100	38	100
<b>GIST</b>	<b>32</b>	<b>100</b>	<b>33</b>	<b>100</b>	<b>38</b>	<b>100</b>

## 24.4 Tumorgöße und Ausdehnung (TNM)

Tab. 24.4. GIST: Absolute Anzahl der Neuerkrankungen klassifiziert nach der Tumorgöße

Tumorgöße (T)	2019		2020		2021		Summe	
	Anzahl	%	Anzahl	%	Anzahl	%	Anzahl	%
T1	10	31.2	8	24.2	5	13.2	23	22.3
T2	5	15.6	13	39.4	14	36.8	32	31.1
T3	8	25.0	4	12.1	6	15.8	18	17.5
T4	5	15.6	4	12.1	9	23.7	18	17.5
TX	0	0.0	2	6.1	2	5.3	4	3.9
k.A.	4	12.5	2	6.1	2	5.3	8	7.8
TNM nicht anwendbar	0	0.0	0	0.0	0	0.0	0	0.0
Summe	32	100.0	33	100.0	38	100.0	103	100.0

Tab. 24.5. GIST: Absolute Anzahl der Neuerkrankungen mit bzw. ohne Befall der regionären Lymphknoten

N-Kategorie	2019		2020		2021		Summe	
	Anzahl	%	Anzahl	%	Anzahl	%	Anzahl	%
N0	25	78.1	26	78.8	32	84.2	83	80.6
N1	1	3.1	0	0.0	0	0.0	1	1.0
NX	1	3.1	5	15.2	3	7.9	9	8.7
k.A.	5	15.6	2	6.1	3	7.9	10	9.7
TNM nicht anwendbar	0	0.0	0	0.0	0	0.0	0	0.0
Summe	32	100.0	33	100.0	38	100.0	103	100.0

Tab. 24.6. GIST: Absolute Anzahl der Neuerkrankungen mit Fernmetastasierung

M-Kategorie	2019		2020		2021		Summe	
	Anzahl	%	Anzahl	%	Anzahl	%	Anzahl	%
M0	26	81.2	26	78.8	32	84.2	84	81.6
M1	1	3.1	5	15.2	2	5.3	8	7.8
MX/k.A.	5	15.6	2	6.1	4	10.5	11	10.7
TNM nicht anwendbar	0	0.0	0	0.0	0	0.0	0	0.0
Summe	32	100.0	33	100.0	38	100.0	103	100.0

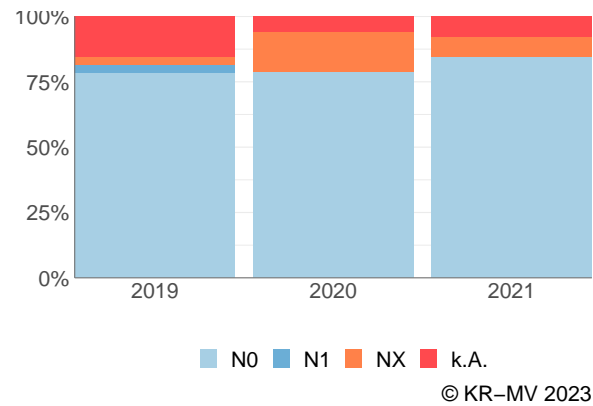
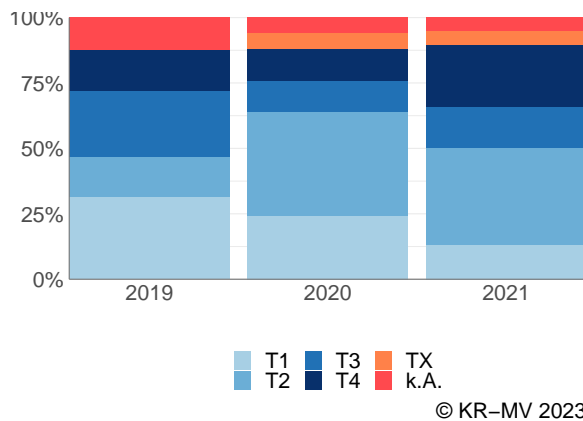


Abb. 24.5. GIST: Prozentualer Anteil der Neuerkrankungen nach Tumorgröße im Diagnosezeitraum 2019 bis 2021

Abb. 24.6. GIST: Prozentualer Anteil der Neuerkrankungen mit bzw. ohne Befall der regionären Lymphknoten im Diagnosezeitraum 2019 bis 2021

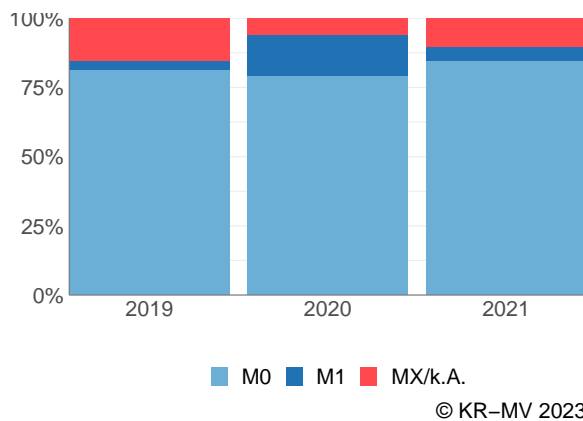


Abb. 24.7. GIST: Prozentualer Anteil der Neuerkrankungen mit bzw. ohne primäre Fernmetastasierung im Diagnosezeitraum 2019 bis 2021

## 24.5 Dokumentierte Therapie bis max. 12 Monate nach Diagnosestellung

### 24.5.1 Therapiekombinationen, Stellung der Therapie und Intention der dokumentierten Therapien

Tab. 24.7. GIST: Häufigkeit der tumorbezogenen Therapien

Tumorbezogene Therapien	2019	2020	2021	Summe	
				Anzahl	%
Tumorspezifische Operation	27	23	29	79	66.9
Systemische Therapie	5	8	7	20	16.9
Keine Therapie gemeldet	3	8	8	19	16.1
Summe	35	39	44	118	100.0

Tab. 24.8. GIST: Therapiekombinationen (Operation, Strahlentherapie, systemische Therapie) pro Diagnosejahr

Therapiekombination	2019	2020	2021	Summe	
				Anzahl	%
Alleinige tumorspezifische Operation	24	17	23	64	62.1
Alleinige systemische Therapie	2	2	1	5	4.9
Tumorspezifische Operation und systemische Therapie	3	6	6	15	14.6
Keine tumorspezifische Operation, systemische Therapie oder Strahlentherapie	3	8	8	19	18.4
Summe	32	33	38	103	100.0

Tab. 24.9. GIST: Stellung der systemischen Therapie zur operativen Therapie im ersten Jahr der Erkrankung (adjuvant/neoadjuvant)

Stellung der systemischen Therapie zur operativen Therapie	2019	2020	2021	Summe	
				Anzahl	%
Adjuvante (postoperative) Therapie	2	5	5	12	80.0
Neoadjuvante (präoperative) Therapie	1	0	0	1	6.7
Therapie ohne Bezug zu einer operativen Therapie	0	1	1	2	13.3
Summe	3	6	6	15	100.0

Tab. 24.10. GIST: Intention bei der ersten Operation

Intention der Operation	2019	2020	2021	Summe	
				Anzahl	%
Kurativ	26	22	28	76	96.2
Palliativ bzw. symptomatisch	0	1	0	1	1.3
Sonstige/Unbekannt/Keine Angabe	1	0	1	2	2.5
Summe	27	23	29	79	100.0

Tab. 24.11. GIST: Intention bei der ersten systemischen Therapie

Intention der systemischen Therapie	2019	2020	2021	Summe	
				Anzahl	%
Kurativ	4	6	5	15	75
Palliativ bzw. symptomatisch	0	2	2	4	20
Sonstige/Unbekannt/Keine Angabe	1	0	0	1	5
Summe	5	8	7	20	100

## 24.5.2 Dokumentierte tumorspezifische Operation bis max. 12 Monate nach Diagnosestellung

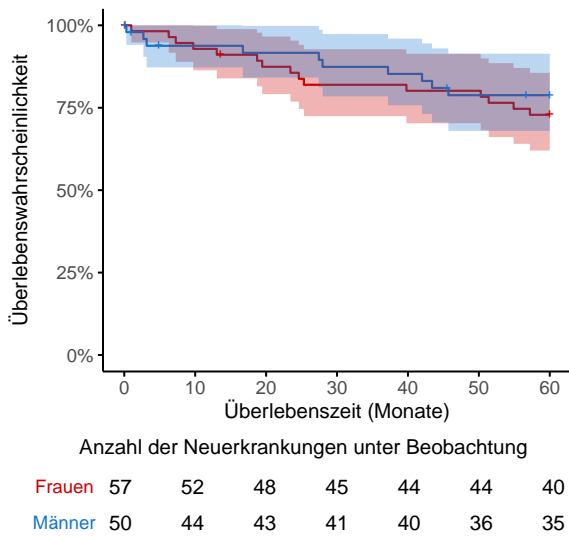
Tab. 24.12. GIST: Dokumentierte tumorspezifische Operation nach Diagnosejahr

Operation	2019	2020	2021	Summe	
				Anzahl	%
5-434: Atypische partielle Magenresektion	9	9	8	26	32.9
5-433: Lokale Exzision und Destruktion von erkranktem Gewebe des Magens	9	4	7	20	25.3
5-454: Resektion des Dünndarmes	2	1	9	12	15.2
5-437: (Totale) Gastrektomie	2	1	2	5	6.3
5-435: Partielle Magenresektion (2/3-Resektion)	2	1	1	4	5.1
5-451: Lokale Exzision und Destruktion von erkranktem Gewebe des Dünndarmes	1	2	1	4	5.1
5-436: Subtotale Magenresektion (4/5-Resektion)	1	0	1	2	2.5
5-455: Partielle Resektion des Dickdarmes	0	2	0	2	2.5
5-482: Perianale lokale Exzision und Destruktion von erkranktem Gewebe des Rektums	0	2	0	2	2.5
5-426: (Totale) Ösophagektomie mit Wiederherstellung der Kontinuität	1	0	0	1	1.3
5-439: Andere Inzision, Exzision und Resektion am Magen	0	1	0	1	1.3
Summe	27	23	29	79	100.0

Tab. 24.13. GIST: Residualklassifikation nach Tumorresektion bei Neuerkrankungen nach Diagnosejahr

R-Klassifikation	2019	2020	2021	Summe	
				Anzahl	%
R0 (kein Residualtumor)	23	18	23	64	81.0
R1 (mikroskopischer Residualtumor)	0	1	1	2	2.5
RX (Vorhandensein eines Residualtumors kann nicht beurteilt werden)	0	1	4	5	6.3
keine Angabe	2	1	0	3	3.8
keine R-Klassifikation zu erwarten	2	2	1	5	6.3
Summe	27	23	29	79	100.0

## 24.6 Überlebensanalysen (Kaplan-Meier) bei den in den Jahren 2013-2017 primär diagnostizierten Patienten (Wohnort und Behandlung in M-V)



© KR-MV 2023

Abb. 24.8. GIST: Wahrscheinlichkeit des Überlebens (Kaplan-Meier) nach Geschlecht bei Diagnosestellung in den Jahren 2013-2017.\*

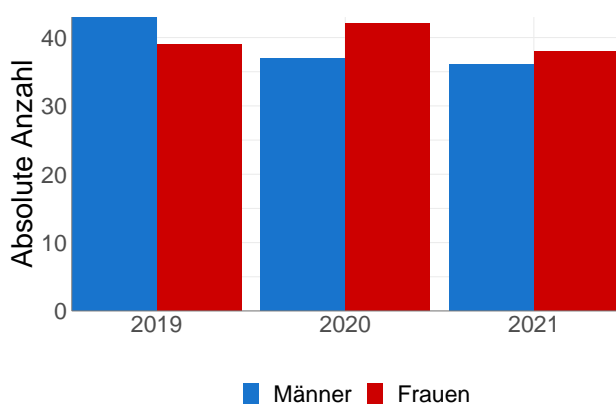
\*Die 50%-Überlebensraten sind dort, wo sie bestimmbar sind, graphisch dargestellt. Zusätzlich erfolgt pro Überlebenskurve die Darstellung des 95%-Konfidenzintervalls. Kaplan-Meier Kurven werden für Kategorien mit weniger als 30 Neuerkrankungen nicht dargestellt.

# 25 Weichteilsarkome ohne Gynäkologische Weichteilsarkome C53-C56

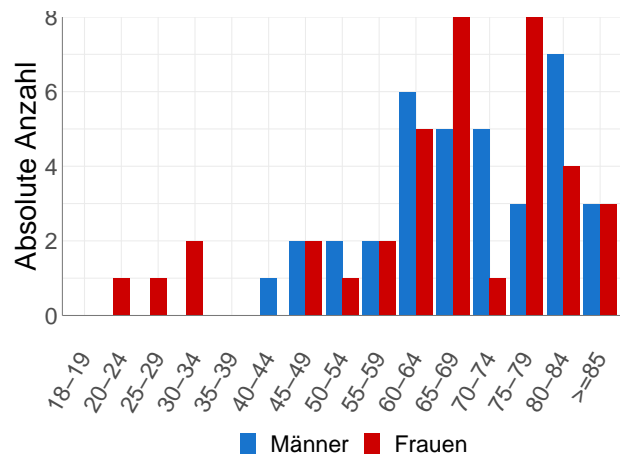
## 25.1 Absolute Anzahl der erfassten Neuerkrankungen in M-V in den Jahren 2019-2021 nach Geschlecht und Alter

Tab. 25.1. Weichteilsarkome (ohne C53-C56): Absolute Anzahl der Neuerkrankungen nach Geschlecht

Geschlecht	Männer		Frauen		Summe
	Anzahl	%	Anzahl	%	
2019	43	52.4	39	47.6	82
2020	37	46.8	42	53.2	79
2021	36	48.6	38	51.4	74
Summe	116	49.4	119	50.6	235



© KR-MV 2023



© KR-MV 2023

Abb. 25.1. Weichteilsarkome (ohne C53-C56): Absolute Anzahl der Neuerkrankungen nach Geschlecht

Abb. 25.2. Weichteilsarkome (ohne C53-C56): Absolute Anzahl der Neuerkrankungen aufgelistet in 5-Jahres-Altersgruppen und nach Geschlecht für das Diagnosejahr 2021

Tab. 25.2. Weichteilsarkome (ohne C53-C56): Erkrankungsalter

Diagnosejahre	Männer				Frauen			
	Anzahl	Median	Minimum	Maximum	Anzahl	Median	Minimum	Maximum
2019	43	70	27	87	39	70	26	87
2020	37	63	26	82	42	69	25	92
2021	36	70	41	92	38	67	21	92

## 25.2 Erfassten Neuerkrankungen in M-V in den Jahren 2019-2021 nach Lokalisation

Tab. 25.3. Weichteilsarkome (ohne C53-C56): Absolute Anzahl und prozentualer Anteil der Neuerkrankungen nach der Lokalisation

Lokalisationen	2019	2020	2021	Summe	
				Anzahl	%
Mundschleimhaut (ICD-O: C03)	0	0	1	1	0.4
Gaumen (ICD-O: C05)	0	1	0	1	0.4
Andere und nicht näher bezeichnete Teile des Mundes (ICD-O: C06)	0	1	0	1	0.4
Parotis (ICD-O: C07)	0	2	1	3	1.3
Speicheldrüse (ICD-O: C08)	0	1	0	1	0.4
Oropharynx (ICD-O: C10)	1	0	0	1	0.4
Ösophagus (ICD-O: C15)	0	0	1	1	0.4
Magen (ICD-O: C16)	2	0	0	2	0.9
Dünndarm (ICD-O: C17)	3	2	0	5	2.1
Kolon (ICD-O: C18)	0	0	1	1	0.4
Rektum (ICD-O: C20)	0	0	1	1	0.4
Leber (ICD-O: C22)	2	4	1	7	3.0
Andere und nicht näher bezeichnete Teile der Gallengänge (ICD-O: C24)	1	0	0	1	0.4
Larynx (ICD-O: C32)	0	3	0	3	1.3
Lunge (ICD-O: C34)	3	4	11	18	7.7
Herz, Mediastinum und Pleura (ICD-O: C38)	2	1	1	4	1.7
Knochen, Gelenke und Gelenknorpel der Extremitäten (ICD-O: C40)	2	1	2	5	2.1
Knochen des Hirn- und Gesichtsschädels (ausschließl. Mandibula, = C41.1) (ICD-O: C41)	5	5	0	10	4.3
Hämatopoetisches und Retikuloendotheliales System (ICD-O: C42)	0	1	0	1	0.4
Retroperitoneum und Peritoneum (ICD-O: C48)	4	4	6	14	6.0
Bindegewebe, Subkutane und andere Wichteilgewebe (ICD-O: C49)	39	37	32	108	46.0
Brustdrüse (ICD-O: C50)	4	3	3	10	4.3
Vulva (ICD-O: C51)	0	1	0	1	0.4
Tuba uterina (ICD-O: C57)	2	0	0	2	0.9
Hoden (ICD-O: C62)	1	0	0	1	0.4
Andere und nicht näher bezeichnete männliche Genitalorgane (ICD-O: C63)	2	0	3	5	2.1
Nieren (ICD-O: C64)	2	4	1	7	3.0
Harnblase (ICD-O: C67)	1	0	4	5	2.1
Meningen (ICD-O: C70)	1	0	0	1	0.4
Gehirn (ICD-O: C71)	1	1	1	3	1.3
Andere endokrine Drüsen (ICD-O: C75)	0	0	1	1	0.4
andere und mangelhaft bezeichnete Lokalisationen (ICD-O: C76)	0	1	1	2	0.9
Lymphknoten (ICD-O: C77)	0	0	1	1	0.4
Unbekannte Primärlokalisation (ICD-O: C80.9)	4	2	1	7	3.0
<b>Summe</b>	<b>82</b>	<b>79</b>	<b>74</b>	<b>235</b>	<b>100.0</b>

## 25.3 Histologische Befunde bei allen neuerkrankten Patienten in M-V in den Jahren 2019-2021

Tab. 25.4. Weichteilsarkome (ohne C53-C56): Histologische Befunde bei neuerkrankten Patienten

	2019		2020		2021	
	Anzahl	%	Anzahl	%	Anzahl	%
8800/3: Sarkom o.n.A.	3	3.7	4	5.1	3	4.1
8801/3: Spindelzellsarkom	2	2.4	3	3.8	1	1.4
8802/3: Riesenzellsarkom (Exkl.: Riesenzellsarkom des Knochens (9250/3))	11	13.4	3	3.8	6	8.1
8803/3: Kleinzelliges Sarkom	0	0.0	1	1.3	0	0.0
8804/3: Epitheloidsarkom	1	1.2	0	0.0	1	1.4
8805/3: Undifferenziertes Sarkom	2	2.4	2	2.5	6	8.1
8806/3: Desmoplastischer kleinzelliger Tumor	1	1.2	0	0.0	0	0.0
8811/3: Myxofibrosarkom	5	6.1	3	3.8	2	2.7
8815/3: Maligner solitärer fibröser Tumor	4	4.9	3	3.8	1	1.4
8825/3: Myofibroblastisches Sarkom	1	1.2	2	2.5	0	0.0
8830/3: Malignes fibröses Histiozytom	2	2.4	0	0.0	0	0.0
8840/3: Myxosarkom	0	0.0	1	1.3	0	0.0
8850/3: Liposarkom o.n.A.	6	7.3	4	5.1	3	4.1
8851/3: Gut differenziertes Liposarkom o.n.A.	1	1.2	2	2.5	3	4.1
8852/3: Myxoides Liposarkom	3	3.7	1	1.3	1	1.4
8854/3: Pleomorphes Liposarkom	0	0.0	2	2.5	1	1.4
8858/3: Entdifferenziertes Liposarkom	4	4.9	3	3.8	5	6.8
8890/3: Leiomyosarkom o.n.A.	9	11.0	14	17.7	12	16.2
8900/3: Rhabdomyosarkom o.n.A.	0	0.0	0	0.0	1	1.4
8901/3: Adultes pleomorphes Rhabdomyosarkom	2	2.4	1	1.3	1	1.4
8912/3: Spindelzelliges Rhabdomyosarkom	1	1.2	0	0.0	0	0.0
8960/3: Nephroblastom o.n.A.	0	0.0	1	1.3	0	0.0
8980/3: Karzinosarkom o.n.A.	2	2.4	3	3.8	5	6.8
8982/3: Myoepitheliales Karzinom	1	1.2	4	5.1	1	1.4
9020/3: Maligner Phylloides-Tumor	1	1.2	3	3.8	0	0.0
9040/3: Synovialsarkom o.n.A.	1	1.2	1	1.3	2	2.7
9041/3: Spindelzelliges Synovialsarkom	1	1.2	2	2.5	3	4.1
9043/3: Biphasisches Synovialsarkom	2	2.4	1	1.3	1	1.4
9044/3: Klarzellsarkom o.n.A. (Exkl.: Niere (8964/3))	0	0.0	0	0.0	1	1.4
9120/3: Hämangiosarkom	8	9.8	8	10.1	10	13.5
9130/3: Malignes Hämangioendotheliom	1	1.2	0	0.0	0	0.0
9180/3: Osteosarkom o.n.A.	1	1.2	3	3.8	2	2.7
9220/3: Chondrosarkom o.n.A.	6	7.3	3	3.8	2	2.7
9581/3: Alveoläres Weichteilsarkom	0	0.0	1	1.3	0	0.0
<b>Sarkome</b>	<b>82</b>	<b>100.0</b>	<b>79</b>	<b>100.0</b>	<b>74</b>	<b>100.0</b>

## 25.4 Tumorgröße und Ausdehnung (TNM)

Da nicht für alle Sarkome eine TNM-Angabe (TNM Auflage 8) möglich ist, konnte eine Klassifikation bei nur 54.47 % erstellt werden.

Tab. 25.5. Weichteilsarkome (ohne C53-C56): Absolute Anzahl der Neuerkrankungen klassifiziert nach der Tumorgröße

Tumorgröße (T)	2019		2020		2021		Summe	
	Anzahl	%	Anzahl	%	Anzahl	%	Anzahl	%
T1	12	14.6	11	13.9	10	13.5	33	14.0
T2	11	13.4	6	7.6	6	8.1	23	9.8
T3	4	4.9	5	6.3	6	8.1	15	6.4
T4	6	7.3	6	7.6	8	10.8	20	8.5
TX	6	7.3	7	8.9	3	4.1	16	6.8
k.A.	6	7.3	10	12.7	5	6.8	21	8.9
TNM nicht anwendbar	37	45.1	34	43.0	36	48.6	107	45.5
Summe	82	100.0	79	100.0	74	100.0	235	100.0

Tab. 25.6. Weichteilsarkome (ohne C53-C56): Absolute Anzahl der Neuerkrankungen mit bzw. ohne Befall der regionären Lymphknoten

N-Kategorie	2019		2020		2021		Summe	
	Anzahl	%	Anzahl	%	Anzahl	%	Anzahl	%
N0	30	36.6	24	30.4	26	35.1	80	34.0
N1	2	2.4	1	1.3	3	4.1	6	2.6
N2	0	0.0	0	0.0	0	0.0	0	0.0
N3	0	0.0	0	0.0	0	0.0	0	0.0
NX	5	6.1	8	10.1	3	4.1	16	6.8
k.A.	8	9.8	12	15.2	6	8.1	26	11.1
TNM nicht anwendbar	37	45.1	34	43.0	36	48.6	107	45.5
Summe	82	100.0	79	100.0	74	100.0	235	100.0

Tab. 25.7. Weichteilsarkome (ohne C53-C56): Absolute Anzahl der Neuerkrankungen mit Fernmetastasierung

M-Kategorie	2019		2020		2021		Summe	
	Anzahl	%	Anzahl	%	Anzahl	%	Anzahl	%
M0	28	34.1	21	26.6	29	39.2	78	33.2
M1	7	8.5	9	11.4	3	4.1	19	8.1
MX/k.A.	10	12.2	15	19.0	6	8.1	31	13.2
TNM nicht anwendbar	37	45.1	34	43.0	36	48.6	107	45.5
Summe	82	100.0	79	100.0	74	100.0	235	100.0

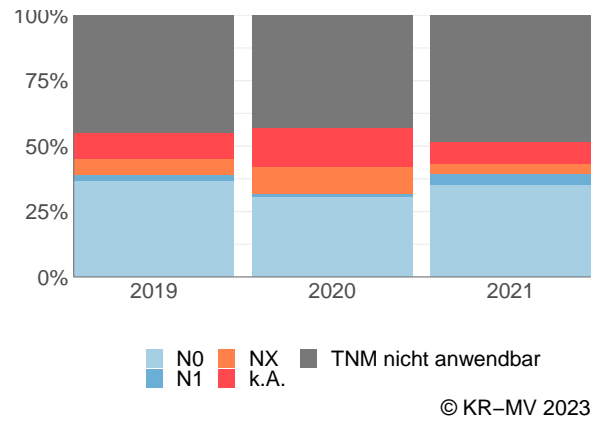
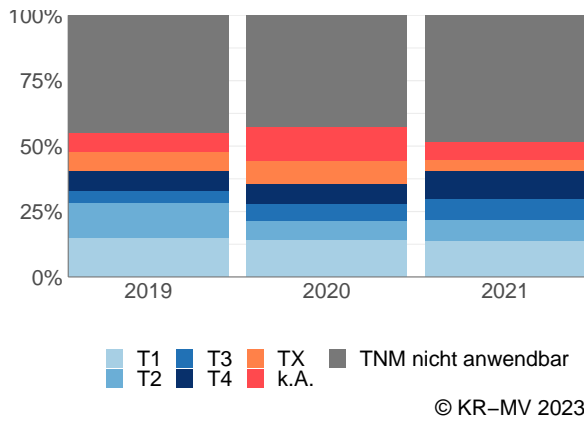


Abb. 25.3. Weichteilsarkome (ohne C53-C56): Prozentualer Anteil der Neuerkrankungen nach Tumormgröße im Diagnosezeitraum 2019 bis 2021

Abb. 25.4. Weichteilsarkome (ohne C53-C56): Prozentualer Anteil der Neuerkrankungen mit bzw. ohne Befall der regionären Lymphknoten im Diagnosezeitraum 2019 bis 2021

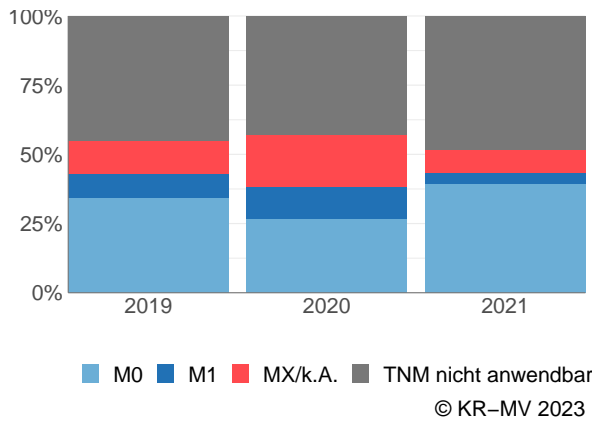


Abb. 25.5. Weichteilsarkome (ohne C53-C56): Prozentualer Anteil der Neuerkrankungen mit bzw. ohne primäre Fernmetastasierung im Diagnosezeitraum 2019 bis 2021

## 25.5 Dokumentierte Therapie bis max. 12 Monate nach Diagnosestellung

### 25.5.1 Therapiekombinationen, Stellung der Therapie und Intention der dokumentierten Therapien

Tab. 25.8. Weichteilsarkome (ohne C53-C56): Häufigkeit der tumorbezogenen Therapien

Tumorbezogene Therapien	2019	2020	2021	Summe	
				Anzahl	%
Tumorspezifische Operation	20	19	22	61	21.4
Systemische Therapie	22	16	19	57	20.0
Strahlentherapie	25	24	22	71	24.9
Keine Therapie gemeldet	35	34	27	96	33.7
Summe	102	93	90	285	100.0

Tab. 25.9. Weichteilsarkome (ohne C53-C56): Therapiekombinationen (Operation, Strahlentherapie, systemische Therapie) pro Diagnosejahr

Therapiekombination	2019	2020	2021	Summe	
				Anzahl	%
Alleinige tumorspezifische Operation	12	12	16	40	17.0
Alleinige systemische Therapie	8	7	6	21	8.9
Alleinige Strahlentherapie	11	15	10	36	15.3
Tumorspezifische Operation und systemische Therapie	2	2	3	7	3.0
Tumorspezifische Operation und Strahlentherapie	2	2	2	6	2.6
Systemische Therapie und Strahlentherapie	8	4	9	21	8.9
Tumorspezifische Operation und systemische Therapie und Strahlentherapie	4	3	1	8	3.4
Keine tumorspezifische Operation, systemische Therapie oder Strahlentherapie	35	34	27	96	40.9
Summe	82	79	74	235	100.0

Tab. 25.10. Weichteilsarkome (ohne C53-C56): Stellung der systemischen Therapie zur operativen Therapie im ersten Jahr der Erkrankung (adjuvant/neoadjuvant)

Stellung der systemischen Therapie zur operativen Therapie	2019	2020	2021	Summe	
				Anzahl	%
Neoadjuvante (präoperative) Therapie	2	1	0	3	20
Therapie ohne Bezug zu einer operativen Therapie	2	0	1	3	20
Adjuvante (postoperative) Therapie	2	4	3	9	60
Summe	6	5	4	15	100

Tab. 25.11. Weichteilsarkome (ohne C53-C56): Intention bei der ersten Operation

Intention der Operation	2019	2020	2021	Summe	
				Anzahl	%
Kurativ	16	16	22	54	88.5
Palliativ bzw. symptomatisch	4	3	0	7	11.5
Summe	20	19	22	61	100.0

Tab. 25.12. Weichteilsarkome (ohne C53-C56): Intention bei der ersten systemischen Therapie

Intention der systemischen Therapie	2019	2020	2021	Summe	
				Anzahl	%
Kurativ	10	6	12	28	49.1
Palliativ bzw. symptomatisch	12	10	7	29	50.9
Summe	22	16	19	57	100.0

## 25.5.2 Dokumentierte tumorspezifische Operation bis max. 12 Monate nach Diagnosestellung

Tab. 25.13. Weichteilsarkome (ohne C53-C56): Dokumentierte tumorspezifische Operation nach Diagnosejahr

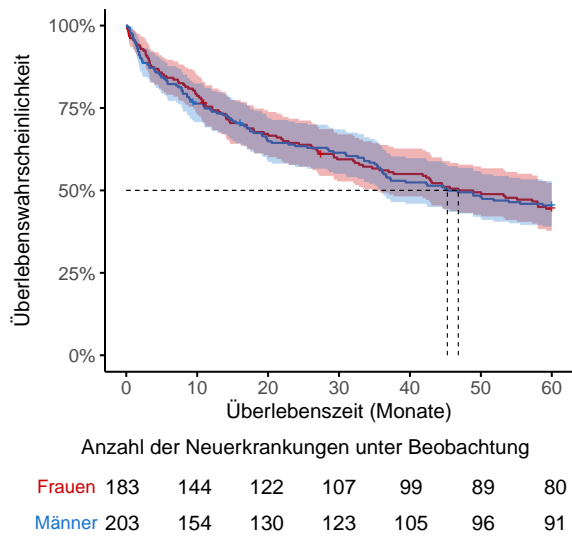
Operation	2019	2020	2021	Summe	
				Anzahl	%
5-590: Inzision und Exzision von retroperitonealem Gewebe	1	1	6	8	13.1
5-872: (Modifizierte radikale) Mastektomie	3	1	2	6	9.8

5-324: Einfache Lobektomie und Bilobektomie der Lunge	0	1	2	3	4.9
5-454: Resektion des Dünndarmes	2	1	0	3	4.9
5-553: Partielle Resektion der Niere	1	1	1	3	4.9
5-554: Nephrektomie	0	3	0	3	4.9
5-782: Exzision und Resektion von erkranktem Knochengewebe	2	0	1	3	4.9
5-864: Amputation und Exartikulation untere Extremität	0	2	1	3	4.9
5-262: Resektion einer Speicheldrüse	0	2	0	2	3.3
5-344: Pleurektomie	2	0	0	2	3.3
5-502: Anatomische (typische) Leberresektion	1	0	1	2	3.3
5-573: Transurethrale Inzision, Exzision, Destruktion und Resektion von (erkranktem) Gewebe der Harnblase	0	0	2	2	3.3
5-622: Orchidektomie	1	0	1	2	3.3
5-870: Partielle (brusterhaltende) Exzision der Mamma und Destruktion von Mammagewebe	0	2	0	2	3.3
5-015: Exzision und Destruktion von erkranktem intrakraniellm Gewebe	0	1	0	1	1.6
5-035: Exzision und Destruktion von erkranktem Gewebe des Rückenmarkes und der Rückenmarkhäute	1	0	0	1	1.6
5-261: Exzision von erkranktem Gewebe einer Speicheldrüse und eines Speicheldrüsenausführungsganges	0	1	0	1	1.6
5-302: Andere partielle Laryngektomie	0	1	0	1	1.6
5-303: Laryngektomie	0	1	0	1	1.6
5-323: Segmentresektion und Bisegmentresektion der Lunge	1	0	0	1	1.6
5-325: Erweiterte Lobektomie und Bilobektomie der Lunge	0	0	1	1	1.6
5-329: Andere Exzisionen an Lunge und Bronchus	1	0	0	1	1.6
5-373: Exzision und Destruktion von erkranktem Gewebe des Herzens	0	0	1	1	1.6
5-484: Rektumresektion unter Sphinktererhaltung	0	0	1	1	1.6
5-515: Exzision und Resektion von erkranktem Gewebe der Gallengänge	1	0	0	1	1.6
5-574: Offen chirurgische und laparoskopische Exzision und Destruktion von (erkranktem) Gewebe der Harnblase	0	0	1	1	1.6
5-683: Uterusexstirpation [Hysterektomie]	1	0	0	1	1.6
5-712: Andere Exzision und Destruktion von erkranktem Gewebe der Vulva	0	1	0	1	1.6
5-832: Exzision von (erkranktem) Knochen- und Gelenkgewebe der Wirbelsäule	1	0	0	1	1.6
5-863: Amputation und Exartikulation Hand	1	0	0	1	1.6
5-874: Erweiterte (radikale) Mastektomie mit Resektion an den Mm. pectorales majores et minores und Thoraxwandteilresektion	0	0	1	1	1.6
Summe	20	19	22	61	100.0

Tab. 25.14. Weichteilsarkome (ohne C53-C56): Residualklassifikation nach Tumorresektion bei Neuerkrankungen nach Diagnosejahr

R-Klassifikation	2019	2020	2021	Summe	
				Anzahl	%
R0 (kein Residualtumor)	13	9	10	32	52.5
R1 (mikroskopischer Residualtumor)	3	4	3	10	16.4
R2 (makroskopischer Residualtumor)	3	0	0	3	4.9
RX (Vorhandensein eines Residualtumors kann nicht beurteilt werden)	0	4	5	9	14.8
keine Angabe	0	0	1	1	1.6
keine R-Klassifikation zu erwarten	1	2	3	6	9.8
Summe	20	19	22	61	100.0

## 25.6 Überlebensanalysen (Kaplan-Meier) bei den in den Jahren 2013-2017 primär diagnostizierten Patienten (Wohnort und Behandlung in M-V)



© KR-MV 2023

Abb. 25.6. Weichteilsarkome (ohne C53-C56): Wahrscheinlichkeit des Überlebens (Kaplan-Meier) nach Geschlecht bei Diagnosestellung in den Jahren 2013-2017.\*

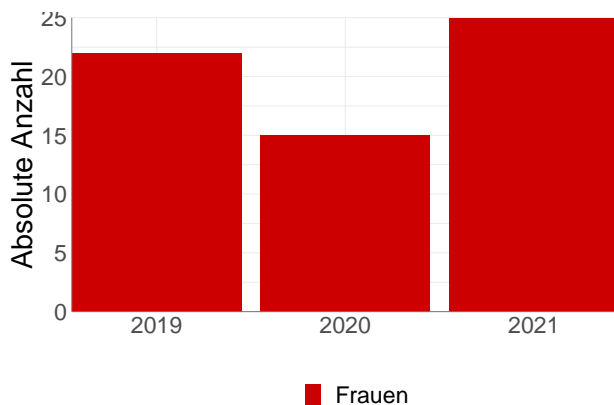
\*Die 50%-Überlebensraten sind dort, wo sie bestimmbar sind, graphisch dargestellt. Zusätzlich erfolgt pro Überlebenskurve die Darstellung des 95%-Konfidenzintervalls. Kaplan-Meier Kurven werden für Kategorien mit weniger als 30 Neuerkrankungen nicht dargestellt.

## 26 Gynäkologische Weichteilsarkome C53-C56

### 26.1 Absolute Anzahl der erfassten Neuerkrankungen in M-V in den Jahren 2019-2021 nach Alter

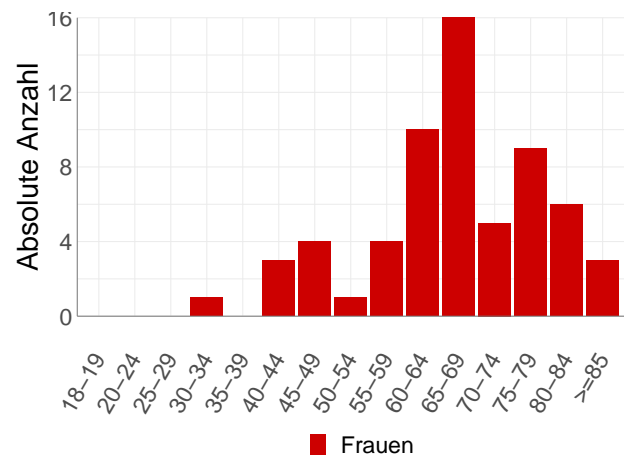
Tab. 26.1. Gynäkologische Weichteilsarkome (C53-C56): Absolute Anzahl der Neuerkrankungen nach Geschlecht

Geschlecht	Frauen		Summe
	Anzahl	%	
2019	22	100	22
2020	15	100	15
2021	25	100	25
Summe	62	100	62



© KR-MV 2023

Abb. 26.1. Gynäkologische Weichteilsarkome (C53-C56): Absolute Anzahl der Neuerkrankungen



© KR-MV 2023

Abb. 26.2. Gynäkologische Weichteilsarkome (C53-C56): Absolute Anzahl der Neuerkrankungen aufgelistet in 5-Jahres-Altersgruppen für das Diagnosejahr 2019-2021

Tab. 26.2. Gynäkologische Weichteilsarkome (C53-C56): Erkrankungsalter

Diagnosejahre	Frauen			
	Anzahl	Median	Minimum	Maximum
2019	22	65	33	83
2020	15	70	55	85
2021	25	69	42	88

## 26.2 Erfassten Neuerkrankungen in M-V in den Jahren 2019-2021 nach Lokalisation

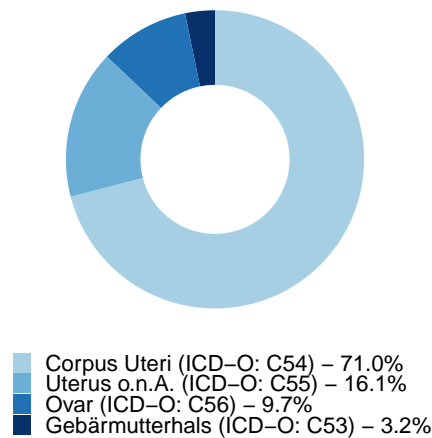


Abb. 26.3. Gynäkologische Weichteilsarkome (C53-C56): Prozentualer Anteil der Neuerkrankungen nach der Lokalisation im Diagnosezeitraum 2019 bis 2021

## 26.3 Histologische Befunde bei allen neuerkrankten Patienten in M-V in den Jahren 2019-2021

Tab. 26.3. Gynäkologische Weichteilsarkome (C53-C56): Histologische Befunde bei neuerkrankten Patienten

	2019		2020		2021	
	Anzahl	%	Anzahl	%	Anzahl	%
8800/3: Sarkom o.n.A.	0	0.0	1	6.7	1	4
8890/3: Leiomyosarkom o.n.A.	2	9.1	4	26.7	4	16
8891/3: Epitheloides Leiomyosarkom	0	0.0	0	0.0	1	4
8900/3: Rhabdomyosarkom o.n.A.	1	4.5	0	0.0	0	0
8930/3: Stromasarkom des Endometriums o.n.A.	2	9.1	3	20.0	2	8
8931/3: Niedrigmalignes Stromasarkom des Endometriums	2	9.1	1	6.7	0	0
8933/3: Adenosarkom	1	4.5	1	6.7	1	4
8935/3: Stromasarkom o.n.A.	0	0.0	0	0.0	1	4
8950/3: Maligner Müller-Mischtumor	3	13.6	0	0.0	5	20
8980/3: Karzinosarkom o.n.A.	11	50.0	5	33.3	10	40
<b>Sarkome</b>	<b>22</b>	<b>100.0</b>	<b>15</b>	<b>100.0</b>	<b>25</b>	<b>100</b>

## 26.4 Tumorgröße und Ausdehnung (TNM)

Da nicht für alle Sarkome eine TNM-Angabe (TNM Auflage 8) möglich ist, konnte eine Klassifikation bei nur 72.58 % erstellt werden.

Tab. 26.4. Gynäkologische Weichteilsarkome (C53-C56): Absolute Anzahl der Neuerkrankungen klassifiziert nach der Tumorgröße

Tumorgröße (T)	2019		2020		2021		Summe	
	Anzahl	%	Anzahl	%	Anzahl	%	Anzahl	%
T1	8	36.4	8	53.3	8	32	24	38.7
T2	2	9.1	0	0.0	2	8	4	6.5
T3	7	31.8	2	13.3	5	20	14	22.6
T4	0	0.0	0	0.0	0	0	0	0.0
TX	0	0.0	0	0.0	3	12	3	4.8
k.A.	0	0.0	0	0.0	0	0	0	0.0
TNM nicht anwendbar	5	22.7	5	33.3	7	28	17	27.4
Summe	22	100.0	15	100.0	25	100	62	100.0

Tab. 26.5. Gynäkologische Weichteilsarkome (C53-C56): Absolute Anzahl der Neuerkrankungen mit bzw. ohne Befall der regionären Lymphknoten

N-Kategorie	2019		2020		2021		Summe	
	Anzahl	%	Anzahl	%	Anzahl	%	Anzahl	%
N0	14	63.6	9	60.0	13	52	36	58.1
N1	3	13.6	1	6.7	1	4	5	8.1
NX	0	0.0	0	0.0	3	12	3	4.8
k.A.	0	0.0	0	0.0	1	4	1	1.6
TNM nicht anwendbar	5	22.7	5	33.3	7	28	17	27.4
Summe	22	100.0	15	100.0	25	100	62	100.0

Tab. 26.6. Gynäkologische Weichteilsarkome (C53-C56): Absolute Anzahl der Neuerkrankungen mit Fernmetastasierung

M-Kategorie	2019		2020		2021		Summe	
	Anzahl	%	Anzahl	%	Anzahl	%	Anzahl	%
M0	15	68.2	8	53.3	12	48	35	56.5
M1	1	4.5	2	13.3	5	20	8	12.9
MX/k.A.	1	4.5	0	0.0	1	4	2	3.2
TNM nicht anwendbar	5	22.7	5	33.3	7	28	17	27.4
Summe	22	100.0	15	100.0	25	100	62	100.0

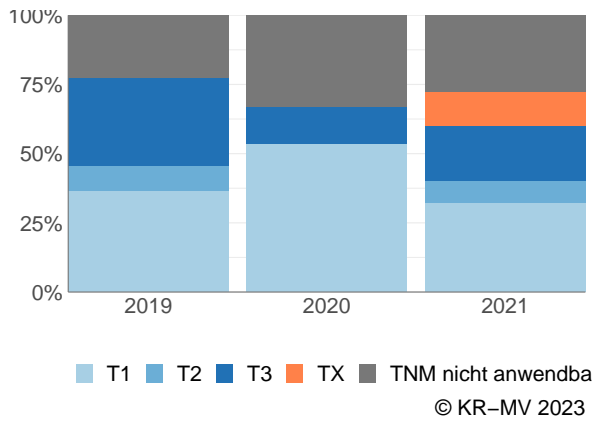


Abb. 26.4. Gynäkologische Weichteilsarkome (C53-C56): Prozentualer Anteil der Neuerkrankungen nach Tumorgröße im Diagnosezeitraum 2019 bis 2021

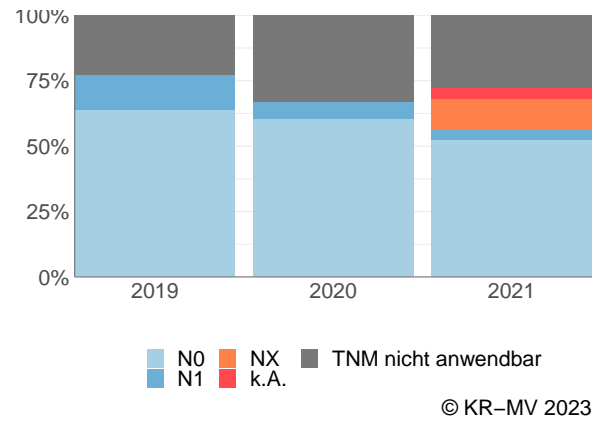


Abb. 26.5. Gynäkologische Weichteilsarkome (C53-C56): Prozentualer Anteil der Neuerkrankungen mit bzw. ohne Befall der regionären Lymphknoten im Diagnosezeitraum 2019 bis 2021

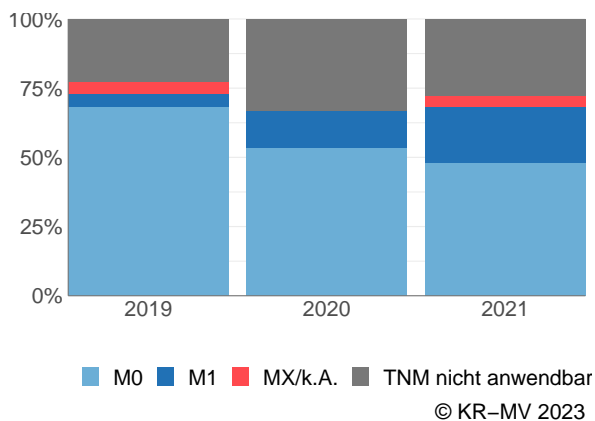


Abb. 26.6. Gynäkologische Weichteilsarkome (C53-C56): Prozentualer Anteil der Neuerkrankungen mit bzw. ohne primäre Fernmetastasierung im Diagnosezeitraum 2019 bis 2021

## 26.5 Dokumentierte Therapie bis max. 12 Monate nach Diagnosestellung

### 26.5.1 Therapiekombinationen, Stellung der Therapie und Intention der dokumentierten Therapien

Tab. 26.7. Gynäkologische Weichteilsarkome (C53-C56): Häufigkeit der tumorbezogenen Therapien

Tumorbezogene Therapien	2019	2020	2021	Summe	
				Anzahl	%
Tumorspezifische Operation	20	12	16	48	56.5
Systemische Therapie	8	3	5	16	18.8
Strahlentherapie	4	2	6	12	14.1
Keine Therapie gemeldet	0	3	6	9	10.6
Summe	32	20	33	85	100.0

Tab. 26.8. Gynäkologische Weichteilsarkome (C53-C56): Therapiekombinationen (Operation, Strahlentherapie, systemische Therapie) pro Diagnosejahr

Therapiekombination	2019	2020	2021	Summe	
				Anzahl	%
Alleinige tumorspezifische Operation	10	7	12	29	46.8
Alleinige systemische Therapie	2	0	1	3	4.8
Alleinige Strahlentherapie	0	0	1	1	1.6
Tumorspezifische Operation und systemische Therapie	6	3	0	9	14.5
Tumorspezifische Operation und Strahlentherapie	4	2	1	7	11.3
Systemische Therapie und Strahlentherapie	0	0	1	1	1.6
Tumorspezifische Operation und systemische Therapie und Strahlentherapie	0	0	3	3	4.8
Keine tumorspezifische Operation, systemische Therapie oder Strahlentherapie	0	3	6	9	14.5
Summe	22	15	25	62	100.0

Tab. 26.9. Gynäkologische Weichteilsarkome (C53-C56): Stellung der systemischen Therapie zur operativen Therapie im ersten Jahr der Erkrankung (adjuvant/neoadjuvant)

Stellung der systemischen Therapie zur operativen Therapie	2019	2020	2021	Summe	
				Anzahl	%
Therapie ohne Bezug zu einer operativen Therapie	2	0	0	2	16.7
Adjuvante (postoperative) Therapie	4	2	3	9	75.0
Sonstige/Keine Angabe	0	1	0	1	8.3
Summe	6	3	3	12	100.0

Tab. 26.10. Gynäkologische Weichteilsarkome (C53-C56): Intention bei der ersten Operation

Intention der Operation	2019	2020	2021	Summe	
				Anzahl	%
Kurativ	19	12	13	44	91.7
Palliativ bzw. symptomatisch	1	0	2	3	6.2
Sonstige/Unbekannt/Keine Angabe	0	0	1	1	2.1
Summe	20	12	16	48	100.0

Tab. 26.11. Gynäkologische Weichteilsarkome (C53-C56): Intention bei der ersten systemischen Therapie

Intention der systemischen Therapie	2019	2020	2021	Summe	
				Anzahl	%
Palliativ bzw. symptomatisch	2	3	2	7	43.8
Kurativ	6	0	3	9	56.2
Summe	8	3	5	16	100.0

## 26.5.2 Dokumentierte tumorspezifische Operation bis max. 12 Monate nach Diagnosestellung

Tab. 26.12. Gynäkologische Weichteilsarkome (C53-C56): Dokumentierte tumorspezifische Operation nach Diagnosejahr

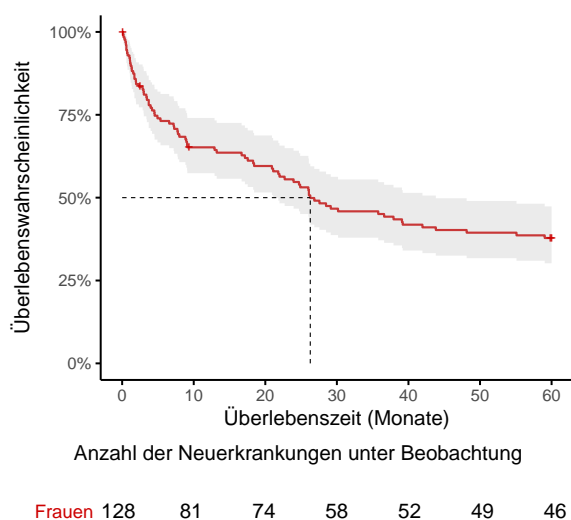
Operation	2019	2020	2021	Summe	
				Anzahl	%
5-683: Uterusexstirpation [Hysterektomie]	16	10	11	37	77.1

5-685: Radikale Uterusexstirpation	1	1	4	6	12.5
5-652: Ovariektomie	2	0	1	3	6.2
5-653: Salpingoovariektomie	1	0	0	1	2.1
5-682: Subtotale Uterusexstirpation	0	1	0	1	2.1
Summe	20	12	16	48	100.0

Tab. 26.13. Gynäkologische Weichteilsarkome (C53-C56): Residualklassifikation nach Tumorresektion bei Neuerkrankungen nach Diagnosejahr

R-Klassifikation	2019	2020	2021	Summe	
				Anzahl	%
R0 (kein Residualtumor)	12	11	12	35	72.9
R1 (mikroskopischer Residualtumor)	4	0	0	4	8.3
R2 (makroskopischer Residualtumor)	1	0	1	2	4.2
RX (Vorhandensein eines Residualtumors kann nicht beurteilt werden)	2	0	3	5	10.4
keine Angabe	1	1	0	2	4.2
Summe	20	12	16	48	100.0

## 26.6 Überlebensanalysen (Kaplan-Meier) bei den in den Jahren 2013-2017 primär diagnostizierten Patienten (Wohnort und Behandlung in M-V)



© KR-MV 2023

Abb. 26.7. Gynäkologische Weichteilsarkome (C53-C56): Wahrscheinlichkeit des Überlebens (Kaplan-Meier) bei Diagnosestellung in den Jahren 2013-2017.\*

\*Die 50%-Überlebensraten sind dort, wo sie bestimmbar sind, graphisch dargestellt. Zusätzlich erfolgt pro Überlebenskurve die Darstellung des 95%-Konfidenzintervalls. Kaplan-Meier Kurven werden für Kategorien mit weniger als 30 Neuerkrankungen nicht dargestellt.

# Literaturverzeichnis

- [1] Beschluss Plattform §65c Register. Beschlussnummer: 2022/53/17. Darstellung der Entitäten in den Jahresbericht der § 65c-Register.
- [2] Beschluss Plattform §65c Register. Beschlussnummer: 2022/53/18. Aufnahme der Parameter in die Jahresberichte der § 65c-Register.
- [3] Beschluss Plattform §65c Register. Beschlussnummer: 2022/56/32. Allgemeine Empfehlung und Festlegungen zu den Auswertungen de Jahresberichte der § 65c Register.
- [4] Beschluss Plattform §65c Register. Beschlussnummer: 2022/57/38. Tabelle OPS-Code, Lokalisation, R-Klassifikation.
- [5] Beschluss Plattform §65c Register. Beschlussnummer: 2019/25/13. Tumoren/Entitäten mit Anwendbarkeit der TNM-Klassifikation.
- [6] Beschluss Plattform §65c Register. Beschlussnummer: 2017/15/20. Weitere Klassifikationen.
- [7] Empfehlungen des Paritätischen Gremiums GKV-Spitzenverband – Klinische Krebsregister nach § 65c SGB V – zu meldende Diagnosen (Auflistung ICD-10-GM-Codes; Stand: 14.05.2020).
- [8] Christa Stegmaier, Stefan Hentschel, Ferdinand Hofstädter, Alexander Katalinic, Anett Tillack, Monika Klinkhammer-Schalke. Das Manual der Krebsregistrierung. München : W. Zuckschwerdt Verlag GmbH, 2019.
- [9] Wittekind C, Meier HJ (Hrsg.). TNM Klassifikation maligner Tumoren. 6. Auflage. Springer-Verlag: Berlin, Heidelberg, New York 2002.
- [10] Wittekind C, Meier HJ (Hrsg.). TNM Klassifikation maligner Tumoren. 7. Auflage. Wiley-VCH, Weinheim 2010.
- [11] Wittekind C, TNM Klassifikation maligner Tumoren. 8. Auflage. Wiley-VCH, Weinheim 2017.



